

UNIVERZITET U BEOGRADU

TEHNIČKI FAKULTET U BORU

Radiša S. Peri

**ISPITIVANJE OJA AVANJA
STARENJEM
LEGURA SISTEMA Au-Ag-Cu
ZA PROIZVODNJU NAKITA**

doktorska disertacija

Bor, 2014.

UNIVERSITY OF BELGRADE

TECHNICAL FACULTY BOR

Radiša S. Peri

**INVESTIGATION OF AGE-HARDENING
OF ALLOY SYSTEMS Au-Ag-Cu
FOR JEWELRY PRODUCTION**

Doctoral Dissertation

Bor, 2014.

KOMISIJA ZA PREGLED I ODBRANU DOKTORSKE DISERTACIJE

- 1.- Mentor: Dr Dragoslav Guskovi , red. prof. - Univerzitet u Beogradu, Tehni ki fakultet u Boru;
- 2.- lan: Dr Desimir Markovi , red. prof. – Univerzitet u Beogradu, Tehni ki fakultet u Boru;
- 3.- lan: Dr Svetlana Ivanov, van. prof. – Univerzitet u Beogradu, Tehni ki fakultet u Boru;
- 4.- lan: Dr Slobodan Stojadinovi , red. prof. – Univerzitet u Novom Sadu, Tehni ki fakultet „Mihajlo Pupin” u Zranjaninu;
- 5.- lan: Dr Branimir Jovan i evi , red. prof. – Univerzitet u Beogradu, Hemijski fakultet u Beogradu;

Datum odbrane: _____, u _____

Posebna zahvalnost porodici, na iskazanoj podršci pri izradi rada: supruzi Magdaleni, sinovima Ivanu i Radetu, snahama Dragani i Katarini, i unuku Konstantinu.

Veliku zahvalnost izražavam slede im osobama za pruženu pomo prilikom izrade rada:

- 1.- Prof. dr Dragoslavu Guskovi u, dipl.ing.metalurgije, na savetima i podršci prilikom izrade rada, kao i na kona nom uobli enju rada;
- 2.- Dr Zoranu Karastojkovi u, dipl.ing.metalurgije, dipl.ing. Zorici Kova evi i prof. dr Milesi Sre kovi , na pruženoj saradnji pri objavljinjanju stru nih radova, kao i pomo i pri tehnici koj obradi uzoraka za ispitivanje;
- 3.- Prof. dr Desimiru Markovi u, prof. dr Slobodanu Stojadinovi u, prof. dr Svetlani Ivanov i prof. dr Branimiru Jovan i evi u, na pruženoj podršci i savetima prilikom izrade rada;
- 4.- Prof. dr Mirjani Raj i -Vujasinovi , prof. dr Svetlani Nestorovi , prof. dr Nadeždi Talijan, i dr Vladanu osovi u na pruženoj tehnici koj pomo i i savetima prilikom izrade rada;
- 5.- Gospo i Lidiji Vujoševi i gospodinu Dušanu Vujoševi u, kolegama zlatarima na pruženoj podršci prilikom izrade rada;
- 6.- Gospodinu Zoranu Mili u, gospo i Dragani Peri -Nova iki i gospo i Danijeli Prljin evi , radnicima firme „PERI & PERI ”&Co. d.o.o., na pruženoj pomo i pri tehnici koj obradi slika i skica kao i prevodu i usaglašavanju teksta, razne jezi ke sadržine i obrade, sa srpskim jezikom;
- 7.- Svim radnicima firme „PERI & PERI ”&Co. d.o.o., na pruženoj tehnici koj podršci i pomo i prilikom izrade disertacije.

Radiša S. Peri

APSTRAKT

Proizvesti nakit od komada istog zlata, iziskuje znanja iz različitih oblasti nauke, počev od metalurgije, fizike hemije, mašinstva, preko medicine, pa do nauke o dizajnu i estetskim zahtevima, pri tome uvek uključujući i istoriju umetnosti. Sa stanovišta metalurgije, u disertaciji su razmotreni i eksperimentalno istraženi neki od veoma značajnih, ali nedovoljno izučenih aspekata, vezanih za pojedine faze proizvodnje nakita od legura na bazi zlata i srebra.

Predmet ovog rada usmeren je na izučavanje, definisanje i optimizaciju najznačajnijih uticajnih parametara na finalna svojstva i kvalitet višekomponentnih legura sistema Au-Ag-Cu, u okviru istraživanja relacije: hemijski sastav – termička obrada – mikrostruktura – tvrdoća – električna provodljivost. Sve ovo zahteva multidisciplinarni pristup problemima proizvodnje nakita, posebno što nakit ispunjava potrebe oveka za lepim.

Proučavane su tri grupe legura, shodno zakonskoj regulativi u Republici Srbiji, i potrebama tržišta. Legura „žute“ boje je Au585Ag90Cu264Zn61, legura „belo“ boje je Au585Ag65Cu277Zn16Pd57, kao i legura srebra Ag925Cu75. Dodatno legiranje osnovnog trojnog Au-Ag-Cu sistema, u svrhu poboljšanja fizikalnih osobina, kao što su vrstočna legure, obradivost, sposobnost legure za razne oblike plastične deformacije, sposobnost za lemljenje i zavarivanje, itd. Kako u raznim stadijumima proizvodnje nakita, posebno u toku termičke i/ili mehaničke obrade dolazi do značajnih i višestrukih strukturnih promena, koje utiču i na boju materijala, a koje još uvek nisu dovoljno istražene, deo istraživača je pažnje posveten je i usklađivanju istraživanih procesnih parametara sa očekivanom bojom ispitivanih legura.

Posebna pažnja, u eksperimentalnom delu rada, usmerena je na istraživanje režima termičke obrade u procesu starenja, na temperaturama koje su niže od temperature rekristalizacije, u cilju utvrđivanja uticaja temperature i vremena, u odabranom ispitnom intervalu, na mikrostrukturu i fazne promene, koje su u direktnoj vezi sa očuvanjem istraživanih sistema legura. Pojava strukturnih promena u kristalnoj rešetki legura, na granici faznih promena u vrstom stanju ($(Au,Ag,Cu) \rightarrow (Ag,Au) + (Cu,Au)$), fenomen „uređenje-enanje“ (formiranje uređenih rešetki: $AuCuI$, $AuCuII$, Au_3Cu i $AuCu_3$), pojava dvojnika žarenja, kao i drugih mikrostrukturnih promena, dovodi do toga da se značajno poveća vrstočna legura. Pored navedenih promena, takođe dolazi i do povećanja tvrdoće u žarenjem na temperaturi starenja, usled pojave precipitacija, kako po granicama zrna, tako i u samom zrnu, zajedno sa nagomilavanjem i koherencijom dislokacija, koje su nastale hladnom deformacijom, i koje pokušavaju da se oslobođe, dovođenjem spoljne energije. Očuvanje istraživanih legura u procesu starenja predstavlja sistematskim ispitivanjem promene vrednosti tvrdoće, u odnosu na početno stanje, kao i na stanje nakon izvršene rekristalizacije.

Treba posebno istaći da je, za razliku od do sada publikovanih istraživanja u kojima je ojaavanje starenjem vršeno u dugom vremenskom periodu (deset i više asova) istraživanje procesa ojaavanja starenjem u ovom radu, sprovedeno u tzv. realnom vremenu, u intervalu od 15 min do 60 min., što je sa gledišta primene u proizvodnom procesu, ekonomski znatno prihvatljivije.

Na osnovu obrade i uporedne analize dobijenih eksperimentalnih rezultata, nedvosmisleno je utvrđeno da postoji tako na dijagramu: temperatura – vreme – tvrdoća, na kojoj se postiže maksimalno poboljšana svojstva, za svaku istraženu leguru sa osnovom sistema Au-Ag-Cu. Ojaavanje, odnosno povećanje tvrdoće, je prevashodno izraženo kod legura sa komponentama koje kristališu po površ.c.k. rešetki, uključujući i cink koji kristališe po g.p.h. rešetki.

Mikrostrukturnom analizom, optičkom mikroskopijom kao i skenirajućim elektronskim mikroskopijom – SEM, uočeno je da je došlo do pojave dvojnika pri žarenju na temperaturi starenja, kao i pojave precipitata po granicama zrna, što je direktno uticalo na ojaavanje istraživanih legura sistema Au-Ag-Cu. Proučavanje mikrostrukture i mikrostrukturnih promena u procesu termičke obrade istraživanih višekomponentnih legura, dodatno je potpomognuto mikro X-ray analizom, korišćenjem EDS analize, koja je omogućila identifikaciju hemijskog sastava formiranih dvojnika i precipitata, određivanjem relativnog udela konstitutivnih elemenata i njihove distribucije.

Ključne riječi: legure zlata 585, legure srebra 925, zlato, srebro, starenje, ojaavanje, mikrostruktura, kristalno sređivanje, otvrđivanje precipitacijom, uređenje, optička mikroskopija, SEM, EDS, tvrdoća, električna provodljivost, laser;

Naučna oblast: Metalurško inženjerstvo

Uža naučna oblast: Preträđivačka metalurgija

UDK: 669.215'22'3.017.13:621.78]:739(043.3)

ABSTRAKT

It takes knowledge of different parts of science to produce jewelery out of one piece of pure gold, starting from metallurgy, physical chemistry, mechanical engineering, through medicine, all to science of design and esthetical demands, always including the history of art. From the point of view of metallurgy, in this paper some of very important, but not enough examined aspects, that are connected to single phases of production of jewelry of gold and silver alloys, were considered and experimentally investigated.

The subject of this paper was directed to research, define and optimization of the most important parameters that inflect on final properties and quality of multicomponent alloys of Au-Ag-Cu system, in terms of investigation of relation: chemical composition – thermal – processing – hardness – electrical conductivity. All of this demands multidisciplinary approach to the problem of production of jewelry, especially, because the jewelry fulfills the needs of a man of beautiful.

Three types of alloys were studied, according to law norms of the Republic of Serbia, and needs of the market. Alloy of „yellow“ color is Au585Ag90Cu264Zn61, alloy of „white“ color is Au585Ag65Cu277Zn16Pd57, and silver alloy is Ag925Cu75. An additional alloying of basic ternary system was performed in order to improve physical – mechanical properties, such as strength of alloy, workability, ability of alloy to different kinds of plastic deformation, ability to soldering and welding, etc. As in different stages of jewelry production, especially during thermal and/or mechanic processing significant and multiple structural changes occur, changes that inflect on color of the material, and are not investigated enough; a part of this research was dedicated to coordination of investigated processing parameters with expected color of investigated alloys.

Special attention, during the experimental part of the paper, was directed on investigation of regime thermal treatment in process of ageing, on temperatures below the temperature of recrystallization, in order to establish the inflection of temperature and time, i chosen investigation interval, on microstructure and phase changes, that are directly connected to age-hardening of investidated alloy's systems. Occurrence of structural changes in crystal lattice of alloys, on borders of phase changes in solid state ($(\text{Au}, \text{Ag}, \text{Cu})$ $\xrightarrow{\text{(Ag, Au)}}$ $\xrightarrow{\text{(Cu, Au)}}$), phenomena of „ordered – disordered“ (forming of ordered lattices: AuCu I , AuCu II , Au_3Cu and AuCu_3), occurrence of twining of annealing as well as other micro structural changes, bring to significant increasement in strength of this alloys. Beside these changes, there is also increasement in hardness by annealing on temperature of ageing, due to phenomena of precipitation both on borders of grains, and inside the grains, and also due to inhibition of dislocations, that now tend to release by bringing in the external energy. Hardening of investigated alloys during

the process of ageing was followed by systematic examination of change of hardness value, related to initial state, and also to the state after the recrystallization.

It must be underlined that, in difference to papers publicized by now where age – hardening was conducted in a long time period (ten and more hours), age – hardening in this paper was conducted in so called real time, the interval of 15 min to 60 min, that from the point of view of application in production process, is much more economically acceptable.

Based on interpretation and comparative analysis of experimental results, it was established that there has to be a point at the diagram: temperature – time – hardness, where maximally improved properties for every investigated alloy with base of Au-Ag-Cu system are achieved. Hardening, that is increasement of hardness, is primarily expressed in alloys with components that crystallize with f.c.c. lattice, also including zinc that crystallize with g.p.h. lattice.

By micro structural analysis, by optical microscopy as well as by scanning electronic microscopy – SEM, it was noticed that there was the occurrence of twinings during annealing on ageing temperature, and also occurrence of precipitation in grain borders, that directly inflected on hardening of investigated alloys of Au-Ag-Cu system. Investigation of microstructure and micro structural changes during the process of thermal treatment of investigated multicomponent alloys was additionally helped by micro X-ray analysis, by using of EDS analyses, that enabled the identification of chemical composition of formed twinings and precipitations, by determination of relative part of constituent elements and their distribution.

Key words: 585 gold alloys, 925 silver alloys, gold, silver, ageing, strengthening, microstructure, crystal ordering, hardening by precipitation, ordered-disordered, optical microscopy, SEM, EDS, hardness, electrical conductivity, laser;

Scientific field: Metallurgical Engineering

Scientific discipline: Manufacturing Metallurgy

UDK: 669.215'22'3.017.13:621.78]:739(043.3)

ASTRATTO

Produrre gioielli da un pezzo di oro grezzo, richiede conoscenze di diversi campi di scienza, iniziando con metallurgia, chimica fisica, meccanica, attraverso medicina, fino a design e domande estetiche, includendo sempre anche la storia dell'arte. Dal punto di vista di metallurgia, in questa tesi sono stati presi in considerazione e sperimentati alcuni aspetti molto importanti ma non sufficientemente studiati, e legati a singole fasi di produzione dei gioielli di leghe d'oro e d'argento.

Il tema di questa tesi è diretto allo studio, definizione ed ottimizzazione di più significativi parametri che influenzano le proprietà finali e la qualità di leghe multicomponenti del sistema Au-Ag-Cu, nel campo di ricerca di relazione: struttura chimica – trattamento termico – microstruttura – durezza – conduttività elettrica. Tutto questo richiede un approccio multidisciplinare al problema di produzione dei gioielli, specialmente perché essi soddisfano le esigenze dell'uomo di bello.

Sono stati studiati i tre tipi di leghe, secondo le leggi della Repubblica di Serbia, ed esigenze del mercato. La lega color „giallo“ è Au585Ag90Cu264Zn61, quella color „bianco“ è au585Ag65Cu277Zn16Pd57, mentre la lega d'argento è Ag925Cu75. Una legazione aggiuntiva del sistema ternario di base Au-Ag-Cu, è stata eseguita con lo scopo di migliorare le proprietà fisico – meccaniche, come la durezza di lega, lavorazione, abilità per varie forme di deformazione plastica, abilità per saldatura, etc. Visto che in diversi stadi di produzione, specialmente durante trattamenti termici e/o meccanici, succedono significativi e multipli cambiamenti strutturali, che influenzano il colore di materiale, ma non sono abbastanza studiati, una parte di ricerca è stata dedicata anche a coordinazione di esaminati parametri di processo con colore aspettato di lega in esame.

Un'attenzione speciale, nella parte sperimentale della tesi, è stata data allo studio di regime di trattamento termico durante il processo di invecchiamento, a temperature che sono al sotto di temperature di recristallizzazione, con lo scopo di definire influenza di temperatura e tempo, nell'intervallo di esaminazione scielto, a microstruttura e cambiamenti di fase, che sono direttamente legati a indurimento di esaminati sistemi di leghe. Comparsa di cambiamenti strutturali in reticolo cristallino delle leghe, sul limite di cambiamenti di fase in stato solido ($(\text{Au}, \text{Ag}, \text{Cu})$ \rightarrow $(\text{Ag}, \text{Au}) + (\text{Cu}, \text{Au})$), il fenomeno „ordinato – disordinato“ (la formazione di reticolii ordinati: AuCu I , AuCu II , Au_3Cu e AuCu_3), fenomeno di gemellaggio di temprazione, assieme agli altri cambiamenti microstrutturali, porta a significativo aumento di durezza in queste leghe. Oltre a cambiamenti elencati, succede anche l'aumento di durezza con temprazione sulla temperatura di invecchiamento, a causa di fenomeno di precipitazione come nei limiti di grano, così anche all'interno di grano, causato anche da frenata di dislocazione, e che tendono di liberarsi con apportazione di energia esterna. Indurimento di leghe esaminate nel processo di invecchiamento è stato seguito con esaminazione sistematica di

cambiamenti di valore di durezza, in confronto sia allo stato di partenza, e allo stato dopo di recristallizzazione completata.

Bisogna sottolineare che, a differenza di altri studi pubblicati dove indurimento con invecchiamento e' stato eseguito in intervallo di tempo prolungato (dieci e piu' ore) in questa tesi esaminazione di processo di indurimento con invecchiamento e' stata condotta in considdetto tempo reale, in intervallo da 15 minuti a 60 minuti, che, dal punto da vista di applicazione in processo di produzione, e' economicamente piu' accettabile.

In base ad elaborazione ed analisi comparativa dei risultati ottenuti con sperimentazioni, e' stato determinato inequivocabilmente che esiste un punto sul diagramma: temperatura – tempo – durezza, in quale si raggiungono proprieta' migliorate al massimo per ogni lega esaminata con la base di sistema Au-Ag-Cu. Indurimento, cioe' aumento di durezza, e' espresso innanzitutto in leghe con componenti che cristallizzano su reticolo f.c.c., includendo lo zinco che cristallizza con reticolo g.p.h.

Con un'analisi microstrutturale, con la microscopia ottica ed anche elettronica – SEM, e' stata notata comparsa di gemellaggio durante temprazione sulla temperatura di invecchiamento, cosi' come il fenomeno di precipitazione nei limiti di grano, che la direttamente influenzato indurimento di leghe in questione del sistema Au-Ag-Cu. Lo studio di microstruttura e di cambiamenti microstrutturali durante il processo termico di leghe multicomponenti in esame, e' stato aiutato da micro X-ray analisi, usando EDS analisi che permette di identificare la composizione chimica di gemellaggi formati e di precipitazioni, specificando la parte relativa di elementi costitutivi e la loro distribuzione.

Parole chiave: lega d'oro 585, lega d'argento 925, oro, argento, invecchiamento, rinforzamento, microstruttura, ordinamento di cristallo, indurimento per precipitazione, ordinato – disordinato, microscopia ottica, SEM, EDS, indurimento, condutivita' elletrica, laser;

Campo scientific: Ingegneria metallurgica

Dosciplina scientific: Produzione metallurgica

UDK: 669.215'22'3.017.13:621.78]:739(043.3)

, , , , , , , , , , ,

, , , , , , , ,

й й :
Au-Ag-Cu,
й — — — —

й,

, , , , , , , ,
“ ” “ ” “ ” — Au585Ag90Cu264Zn61,
“ ” “ ” “ ” Au585Ag65Cu277Zn16Pd57,
Ag925Cu75. , , , , , , , , , , , , , , , ,
й й , , , , , , , , , , , , , , , , , , ,
й / ,
й ,

, , , , , , , , , ,
й , , , , , , , , , , , , , , ,
й , , , , , , , , , , , , , , ,
й , , , , , , , , , , , , , , ,
“ ” “ ” “ ” “ ” ((Au,Ag,C) + (Ag,Au) + (Cu,Au)),
“ ” “ ” “ ” “ ” “ ” “ ” “ ” “ ” “ ” “ ” “ ” “ ” :
AuCu I, AuCu II, Au₃Cu (AuCu₃), ,

,
 ,
 ,
 ,
 ,
 ,
 ,
 ,

,
 ,
 ,
 ,
 ,

,
 ,
 ,
 ,
 ,

,
 ,
 ,
 ,
 ,

,
 ,
 ,
 ,
 ,

,
 ,
 ,
 ,
 ,

,
 ,
 ,
 ,

,
 ,
 ,
 ,

,
 ,
 ,

:
 :
 :

:
 :

: 669.215*22*3.017.13:621.78]:739(043.3)

S A D R Ž A J

1.- UVOD	Str.	1.-
2.- ZAKONSKA REGULATIVA		4.-
3.- TROJNI DIJAGRAM STANJA Au-Ag-Cu		5.-
3.1.- Istorische postavke izrade trojnog dijagrama stanja Au-Ag-Cu I procesa oja avanja starenjem		5.-
3.2.- Dvojni dijagrami stanja 3.2.1.- Nastajanje superstrukture u Au-Cu legurama		6.-
3.3.- Konstrukcija trojnog dijagrama stanja Au-Ag-Cu		10.-
3.4.- Optičke osobine i boje legura Au-Ag-Cu 3.4.1.- Optičke osobine plemenitih metala		16.-
3.4.2.- Boje legura trojnog sistema Au-Ag-Cu		25.-
3.5.- Uticaj dodatnih legirajućih elemenata na osobine legura Au-Ag-Cu 3.5.1.- Legure na bazi Au-Ag-Cu-Zn sistema		29.-
3.5.2.- Legure na bazi Au-Ag-Cu-Pd sistema		35.-
3.5.2.- Legure na bazi Au-Ag-Cu-Pd sistema		35.-
4.- ELEKTRIČNA PROVODLJIVOST METALA		38.-
5.- LASER U PROIZVODNJI NAKITA		40.-
6.- EKSPERIMENTALNI DEO		43.-
6.1.- Predmet i cilj istraživanja		46.-
6.2.- Izbor legura za ispitivanje		46.-
6.3.- Priprema uzorka za ispitivanje 6.3.1.- Topljenje metala – izrada legura		48.-
6.3.2.- Topljenje i livenje u kokile		50.-
6.3.3.- Izrada lima i uzorka za ispitivanje		52.-
6.4.- Metalografska ispitivanja 6.4.1.- Skeniranje a elektronska mikroskopija – SEM		53.-
6.5.- Merenje tvrdosti metodom po Vickersu (Vickers) HV0.25		57.-
6.6.- Merenje električne provodljivosti		59.-
6.7.- Rezultati ispitivanja 6.7.1.- Rezultati ispitivanja legure „L-1” – Au585Au90Cu264Zn61		61.-
6.7.1.1.- Rezultati merenja tvrdosti HV0.25		61.-
6.7.1.2.- Rezultati merenja električne provodljivosti		64.-
6.7.1.3.- Rezultati metalografskog ispitivanja		65.-
6.7.1.4.- Iskustveni rezultati		69.-
6.7.2.- Rezultati ispitivanja legure „L-2” – Au585Ag65-Cu277Zn16Pd57		70.-
6.7.2.1.- Rezultati merenja tvrdosti HV0.25		70.-

6.7.2.2.- Rezultati merenja elektri ne provodljivosti	73.-
6.7.2.3.- Rezultati metalografskog ispitivanja	74.-
6.7.3.- Rezultati ispitivanja legure „L-3” – Ag925Cu75	80.-
6.7.3.1.- Rezultati merenja tvrdo e HV0.25	81.-
6.7.3.2.- Rezultati merenja elektri ne provodljivosti	83.-
6.7.3.3.- Rezultati metalografskog ispitivanja	84.-
6.7.4.- Rezultati ispitivanja SEM/EDS	92.-
6.7.4.1.- Rezultati ispitivanja SEM/EDS legure „L-1” – Au585Ag90Cu264Zn61	93.-
6.7.4.2.- Rezultati ispitivanja SEM/EDS legure „L-2” – Au585Ag65Cu277Zn16Pd57	98.-
6.7.4.3.- Rezultati ispitivanja SEM/EDS legure „L-3” – Ag925Cu75	101.-
6.7.5.- Rezultati ispitivanja laserom, legure „L-1” – Au585Ag90Cu264Zn61	104.-
7.- DISKUSIJA	109.-
8.- ZAKLJU AK	120.-
9.- Literatura	124.-
10.- PRILOZI	135.-
°- Biografija	156.-
°- Prilog br.1	157.-
°- Prilog br.2	158.-
°- Prilog br.3	159.-
°- Prilog br.4	161.-

1.- UVOD

„Molim, dakle, da žene u pristojnom odijelu, sa stidom i poštenjem da ukrašavaju sebe, ne pletenicama, ni zlatom, ili biserom, ili haljinama skupocijenim. Nego dobrijem djelima kao što se pristoji ženama koje se obe avaju pobožnosti, žena na miru da u i sa svakom pokornošću” - (I Posl.Pavla Timotiju, 2,9-11) [1].

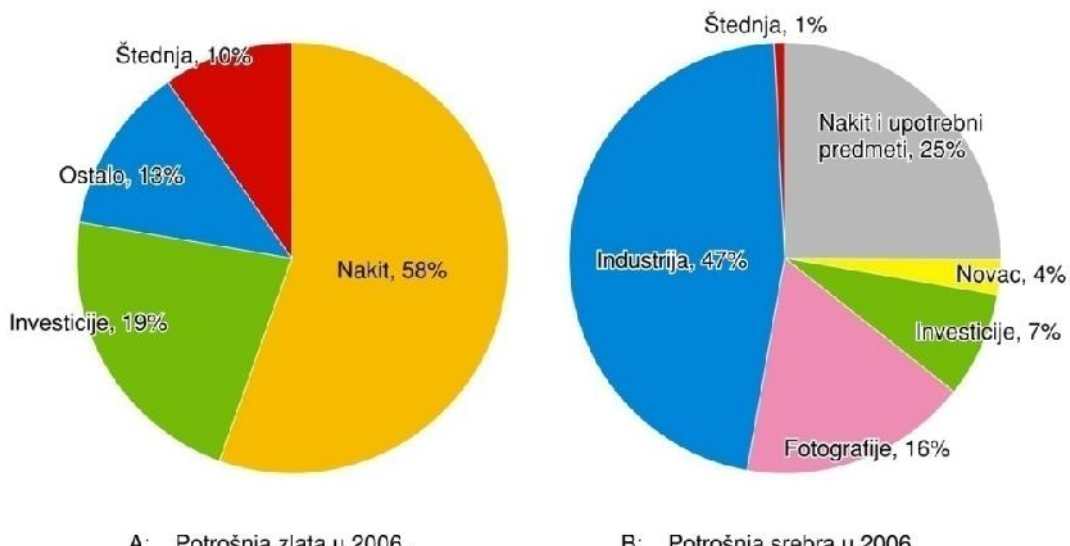
Ovako je Sveti Pavle govorio Timotiju u svojoj I Poslanici. Ali, dobro je što ni rimski moralisti, kao ni rani hrišćanski propovednici, nisu uspeli da odvrate žene da u kosi, na ušima, oko vrata ili na prstima, nose skupoceni nakit [2]. Naprotiv, posebno je zlatarsvo na kraju antike, kao zanatstvo, doživelo veliki zamah, a religija ranih hrišćana nije mogla, a u stvari ni želela da nametne skromnost, koja bi sprečila razvoj umetnosti kih tradicija u izradi nakita. Nakit, posebno od legura zlata i srebra, predstavlja specifičan izraz duhovne i materijalne kulture svakog naroda ili etničke grupe, budući da su njegova svojstva utilitarne, religijske ili estetske prirode [3].

Od osvita ljudske civilizacije, pa sve do danas zlato i srebro su dva, ako ne najtraženija, a ono najprivlačnija elementa Periodnog sistema elemenata. Po etaki izrade proizvoda od zlata i srebra u Evropi, pretpostavlja se, datira više hiljada godina pre nove ere, do perioda procvata takozvane kulture „Egejskog sveta”. Zatim, istorija prati ovaj zanat preko zlatara Stare Grčke, Rimskog carstva, Srednjeg veka i do današnjih dana. Poznato je, da je veliki mislilac antičkog sveta, Arhimed (278. – 212. g.p.n.e.), svoj uvenič „Arhimedov zakon“ otkrio, zahvaljujući tome što jedan od vladara tog vremena, nije verovao zlataru, već je od uenog oveka zatražio proveru, da li je majstor – izrađivač „krune”, izvršio pravilno legiranje i utrošio tanukolinski zlata koju je vladar predviđao. Svoznanje o izradi nakita, do sredine XIX veka, prenošeno je „s kolena na koleno”, po sistemu „crne kutije” [4], i bilo je poznato uskom krugu ljudi. Usled toga, i velike vrednosti zlata i srebra kao istih metala, a potom i u nakitu, etika i moral izrađivača nakita mora se u društvu postaviti na najviši nivo.

Zlato je usled svoje visoke otpornosti na koroziju, definisano kao osnova za kvalitet plemenitih metala, te se predlaže kao osnovni materijal ili kao površinska zaštita na radovima i ornamentima koji treba da izdrže test vremena. Karakteristična boja zlata, izdvaja ga iz monotonije sivilne i druge drugih metala, uz izuzetak bakra, cezijuma, i sl. Ove osobine zlata, uz retkost nalaženja, kvalifikuju zlato kao plemeniti metal [5], a da predmet posmatranja bude i njegova velika gustina. Zbog toga je, u većini država sveta, zlato postalo osnova za monetarnu snagu, i sredstvo rezerve, jedne države.

U razvoju industrije, zlato i srebro imaju veliku primenu, posebno u elektronici, usled svoje odlične elektrovodljivosti, a istovremeno odlične hemijske pasivnosti, u optici zbog odlične refleksije infracrvene svetlosti, a odnedavno u organskoj hemiji zbog katalitičkih svojstava zlatnih nano-estica. I pored toga, zlato se najvećim delom

koristilo, a i danas se koristi, za proizvodnju nakita, dok je srebro više korišteno u industriji provodnika. Količina zlata koja se koristi za proizvodnju nakita, je 58 – 60 %, na globalnom nivou [6], od godišnje proizvodnje svih današnjih rudnika zlata, dok se to za srebro ne može reći, jer se njegova proizvodnja od oko 25 %, na globalnom nivou, koristi u proizvodnji nakita [7].



Slika 1.- Prikaz potrošnje zlata (A), i srebra (B), na svetskom nivou u 2006. godini [7]

Trojni dijagram stanja, Au-Ag-Cu, predstavlja osnovni fazni dijagram za razumevanje legura za proizvodnju nakita i zubarskih/dentalnih legura, a proučava se u poslednjih, oko 100 godina. Najviše je proučavan, i najviše je radova bilo u industriji legura za zubarsku industriju. To saznanje je više primenjivano u legurama za proizvodnju nakita sa većim sadržajem zlata, misli se na fino u 750/1000 i više, nego u legurama fino u 585/1000. To je trojni sistem od posebnog značaja, koji dobija od dvojnog sistema Ag-Cu, solvus površinu granice rastvorljivosti u vrstom stanju, višefazno područje (*miscibility gap*), a sklonost ka nastajanju srednih faza od sistema Au-Cu [8]. Oba ova mehanizma, razdvajanje faza na Ag-bogatu i Cu-bogatu fazu, kao i atomsko sredovanje unutar Cu-bogate faze, mogu da daju leguru sa tako željenom osobinom: otvrđivanje starenjem – *age-hardening* [9]. Otvrdjivanje starenjem se uglavnom ostvaruje kao posledica sredovanja atoma pojedinih faza, usled pojave taloga po granicama zrna, usled spinodalne dekompozicije u zavisnosti od sastava legura, kao i stvaranjem dvojnika prilikom žarenja legura sa komponentama koje poseduju površinske rešetku. Pored otvrđivanja, materijal i nakon starenja mora da poseduje potrebne osobine vrste i elastičnosti potrebnih u proizvodnji nakita. Ukoliko je materijal isuviše krut, pojedini elementi, kao što su „zatvarači“ i sl., ne mogu da izdrže svakodnevna naprezanja prilikom eksploatacije, i dolazi do pojave napršline ili loma. Zbog toga je važno da se

kontroliše proces faznih transformacija za bilo koju leguru, što zahteva poznavanje temperature promene, i vreme trajanja promene [10].

Za etak razvoja proizvoda od belog zlata, što se najviše odnosi na zubne legure, je oko 1900. godine, kada je i izvedeno prvo legiranje zlata sa platinom da bi se dobila tvrda legura [9]. Međutim, taj trend je trajao do, oko 1926. godine kada je platina postala skuplja od zlata, pa su proizvedene legure sa niklom i paladijumom, koje su bile daleko jeftinije. Legure sa sadržajem nikla su od 1980. godine, zakonima EU (direktive) [11], zabranjene, iz razloga alergijskih reakcija velikog broja kupaca na nikl, tako da su danas dozvoljene legure belog zlata isključivo sa paladijumom.

Proizvodi od legura Ag-Cu, koriste se u istom periodu od kada i Au-Cu, jer su ova tri elementa sličnih fizikalnih hemijskih osobina [12], i spadaju u istu grupu Periodnog sistema elemenata, odnosno u Prvu b (I b) grupu. Srebro je veliku primenu našlo u elektronskoj industriji [13], zbog svojih odličnih fizikalnih i mehaničkih osobina u smislu elektro i termičke provodljivosti, i dobre korozione postojanosti, a takođe i u industriji nakita, posebno kao legura Ag925Cu75.

Cilj ovog rada je da doprinese fundamentalnom sagledavanju trojnog dijagrama stanja Au-Ag-Cu, kao i sagledavanje legura ovog sistema za proizvodnju nakita, koristeći i važeće u zakonsku regulativu [14], koja dozvoljava maseni sadržaj Au-585% i Ag-925%. Odabir metoda ispitivanja je takav da se kroz promene mikrostrukture, koristi enjem optičke mikroskopije kao i skenirajuće elektronske mikroskopije – SEM zajedno sa ispitivanjem hemijske analize EDS/EDX, i tvrdiće, mogu utvrditi i promene koje se dešavaju na atomskom nivou legura. Akcenat je stavljen na ispitivanje reakcija faznih preobražaja u vrstom stanju, kao posledica primene termičke obrade starenjem i drugih oblika termičke obrade, a od uticaja predhodne plastične prerade u istraživanim legurama zlata i srebra za proizvodnju nakita. Posebno su obrazene najčešće korištene legure u Srbiji: „žuto zlato – 585”, „belo zlato – 585” i „srebro – 925”. Takođe, u radu se naročito proučava dobijanje kako polufabrikata, tako i gotovih proizvoda, sa odgovarajućom homogenom strukturom i optimalnim fizikalno-hemijskim i mehaničkim osobinama, kako bi eksploatacioni vek proizvoda bio praktično neograničen.

Ispitivanje i izradu ovog rada finansira firma P.D.P.P. „PERI & PERI” & Co. d.o.o., koja je jedan od proizvođača nakita u Srbiji. Svi uzorci koji su ispitivani u ovom radu proizvedeni su u firmi „PERI & PERI” i mogu se smatrati reprezentativnim izborom od legura „žutog” i „belog” zlata, kao i legura srebra, koje su danas dostupne na tržištu. Sva korištena vremena žarenja su izvedena u realnom vremenu, tako da se uvek mogu primeniti u bilo kom procesu proizvodnje nakita.

2.- ZAKONSKA REGULATIVA

Zakonska regulativa o proizvodima od legura plemenitih metala, uključujući i legure iz sistema Au-Ag-Cu, predviđena je *Zakonom o kontroli predmeta od dragocenih metala*, [14], kojim su prihvete ene i sve odredbe zakona EU [11], koji se odnose na plemenite metale.

Platinu, zlato, paladijum i srebro, zakon prihvata kao plemenite metale, dok su ostali elementi prisutni u legurama, samo kao legirajući elementi.

Zakonom je predviđena *fino a*, što ustvari predstavlja masu plemenitog metala, sadržanog u ukupnoj masi legure, izražena u hiljaditim delovima. Vrednost predviđene *fino e*, tj. postojanje mogu nositi proizvodnje su 950, 840, 750 i 585, za legure zlata, i 950, 925 i 800, za legure srebra. Proizvodnja i prodaja nakita od legura zlata, preko 95%, je *fino e 585*, dok je preko 95% legura srebra, *fino e 925* [5]. Usled toga su za istraživanje u ovom radu odabrane legure zlata 585 i („belo“ i „žuto“ zlato) i legura srebra 925.

Zakon ne poznaje boje legura zlata, već samo *fino u*, a boja zavisi isključivo od legirajućih elemenata. Boja nakita se prilagođava potrebama tržišta, i u skladu sa time proizvodi se legura sa potrebnim legirnim elementima. Zakon je u saglasnosti sa zakonima EU, u smislu zabrane korištenja kadmijuma u legurama za lemljenje, zbog taloženja u organizmu proizvoda i korisnika proizvoda, kao i zabrane upotrebe nikla, usled alergijskih pojava.

3.- TROJNI DIJAGRAM STANJA Au-Ag-Cu – dosadašnja istraživanja

3.1.- Istorijске postavke izrade trojnog dijagrama stanja Au-Ag-Cu i procesa ojaavanja starenjem

Prouvoavanje kompleksnih višekomponentnih legura sa osnovom zlata, vezano je najviše za zubne legure, i aktivno se prouvoava poslednjih 90-100 godina [15]. U prošlom veku veoma malo su izu avane legure za proizvodnju nakita, kako zbog visokih cena nakita, samim time i slabog interesovanja istraživača. Znanje je, kao što je već naglašeno, prenošeno po sistemu „crne kutije“ [4], tako da se ustvari svoje znanje o izradi nakita svodilo na majstorsko znanje.

Zlato je jedan od najstarijih materijala koji se koristi u zubnoj praksi, kao i izradi nakita, prvo zbog svoje hemijske pasivnosti i otpornosti na koroziju u kiseloj sredini, a i zbog svoje lepe žute boje. Od Egiptana, Feniksa i Etruraca, preko Stare Grčke i Rimljana, pa sve do kraja XIX veka, svoje znanje i rad u ovoj oblasti, svodilo se, mahom, na majstorsko znanje.

Krajem XIX veka u SAD je korišten zlatni novac, koji je bio tada u opticaju, i koji je bio sledećeg sastava: 90,0 mas.% Au i 10,0 mas.% Cu [16]. Međutim, ova legura je jako mekana i nema dovoljno vrstoće za razne zubne aplikacije, ali se mogla koristiti u izradi nakita.

Po etkom XX veka, cena platine je bila niža od cene zlata, i tada je pokušano, a potom i nastavljeno legiranje zlata sa platinom. Kasnije, posle 1920. godine, cena platine je postala viša od cene zlata, ali je nastavljeno sa ovom praksom, obzirom da je poznata ekstremna hemijska stabilnost platine u uštima, kao i dobre mehaničke osobine, uključujući i vrstoću, plastičnost i elastičnost.

S.S. *Dental Manufacturing Company*, u SAD, 1905-1906. godine, prvi put je postavila na tržište legure Au-Pt-Ag-Cu, kod kojih se pojavio efekat povećanja tvrdoće starenjem [16]. Mišljenje je tada postojalo, da je do ove pojave došlo usled formiranja AuCu – super-rešetke. Interesantan je podatak, da je otvrđenjavanje starenjem u zubarškoj praksi ranо tako rano, obzirom da je A.Wilm, objavio rad o fenomenu otvrđenjavanja kod legura Al-Mg posle kaljenja sa visoke temperature, tek 1906. godine [17].

Coleman je 1926. godine [18], uspeo da proizvede zlatne legure, koje je podelio u pet grupa, u zavisnosti od sadržaja zlata i platine, kao i prema mehaničkim osobinama, i to: I grupa - „meke“, II grupa - „srednje“, III grupa - „tvrdе“ i IV grupa - „ekstra tvrde“, a što je postalo osnova za tadašnju *American Dental Association's*. Legura IV, je još tada određena za termički tretman otvrđenjavanja, tj. otvrđenjavanje starenjem.

Napredak u metalurgiji, kao i ekonomski pokazatelji, doveli su do rezultata, da postoje širok izbor Au-Ag-Cu osnovnih legura, koje će biti na raspolaganju, kako zubarima, tako i proizvođačima nakita – zlatarima. Godine 1926., u velikom broju evropskih

država, uključujući i tu i tadašnju Rusiju, uvedene su mere i oznake za količinu zlata u leguri [19]. Tada je postavljen karatni sistem, po kome je isto zlato od 100,0 mas.% Au, sadrži 24 uslovnih jedinica – karata. Odavde sledi da legura fino je 1 karat sadrži: $100,0/24 = 4,166$ mas.% Au. Drugi sistem mere zlata u leguri je metrički sistem, po kome je sadržaj zlata u leguri označen brojem delova mase od 1000 delova (oznake u promilima). Veza između ova dva sistema mere je da 1 karat = 41,66 %.

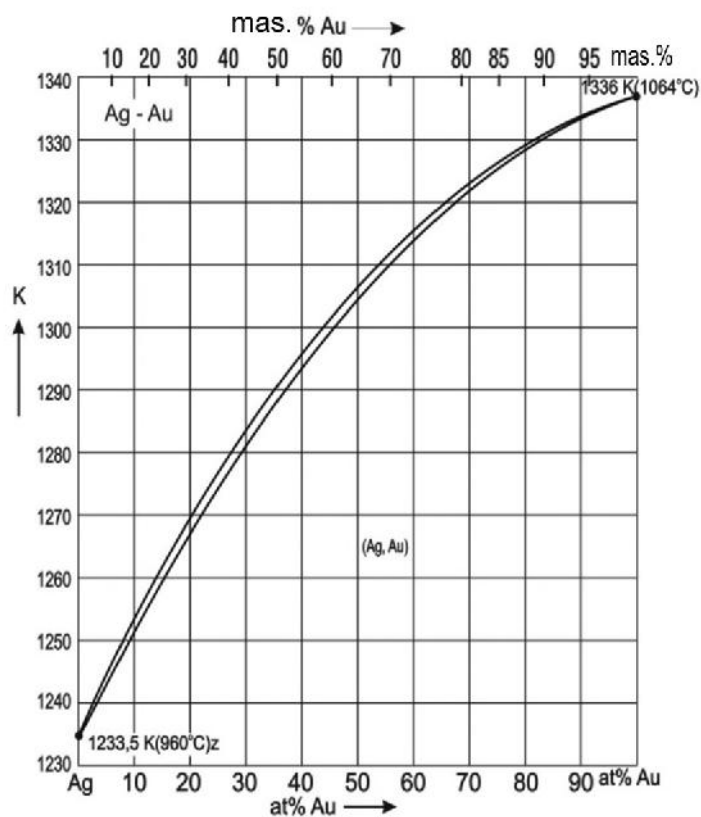
3.2.- Dvojni dijagrami stanja

Proučavanje trojnog dijagrama stanja Au-Ag-Cu, zahteva prethodnu obradu dvojnih dijagrama stanja: Au-Ag, Ag-Cu i Au-Cu, koji ustvaraju predstavljaju osnovu i polazne postavke trojnog dijagrama, i koji su prikazani na sl.2, 3 i 4.

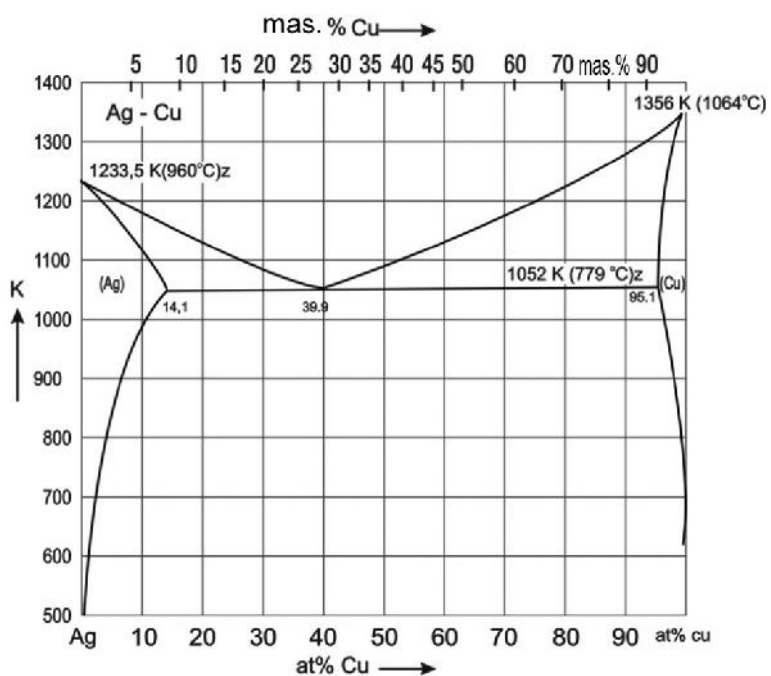
Zlato, srebro i bakar, su elementi koji pripadaju I b – grupi Periodnog sistema elemenata. Osobine ovih elemenata, zajedno sa osobinama cinka i paladijuma, koji se ovde koriste kao legirajući elementi, pri proizvodnji nakita, za izradu nakita različitih boja, kao i drugih zahtevanih osobina, prikazane su u tabeli 1.

Tabela 1.- Osnovne fizikalne osobine elemenata koji se koriste pri izradi legura [20]

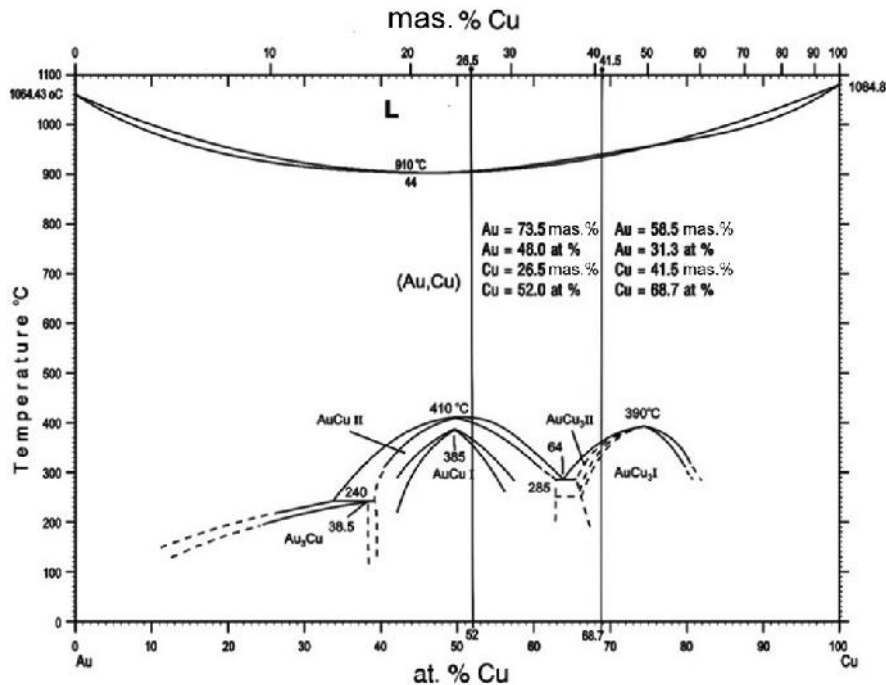
Red. Br.	Osobina	Au	Ag	Cu	Zn	Pd
1	Atomski broj	79	47	29	30	46
3	Grupa	Ib	Ib	Ib	IIb	VIIIb
4	Atomski prečnik, pm	144.2	144.5	127.8	133.5	137.6
5	Gustina, g/cm ³	19.32	10.50	8.96	7.133	12.00
6	Kristalna rešetka	pov.c.k.	pov.c.k.	pov.c.k.	g.p.h c/a > 1.633	pov.c.k.
7	Temperatura topljenja °C	1064.43	961.93	1083.00	419.6	1552.00
8	Boja	zlatna	srebrna	Crveno/ ružičasta	plavičasta	bela/ metalna
2	Atomska masa	196.97	107.87	63.546	65.39	106.42



Slika 2.- Dvojni dijagram stanja Ag-Au [6]



Slika 3.- Dvojni dijagram stanja Ag-Cu [6,22]



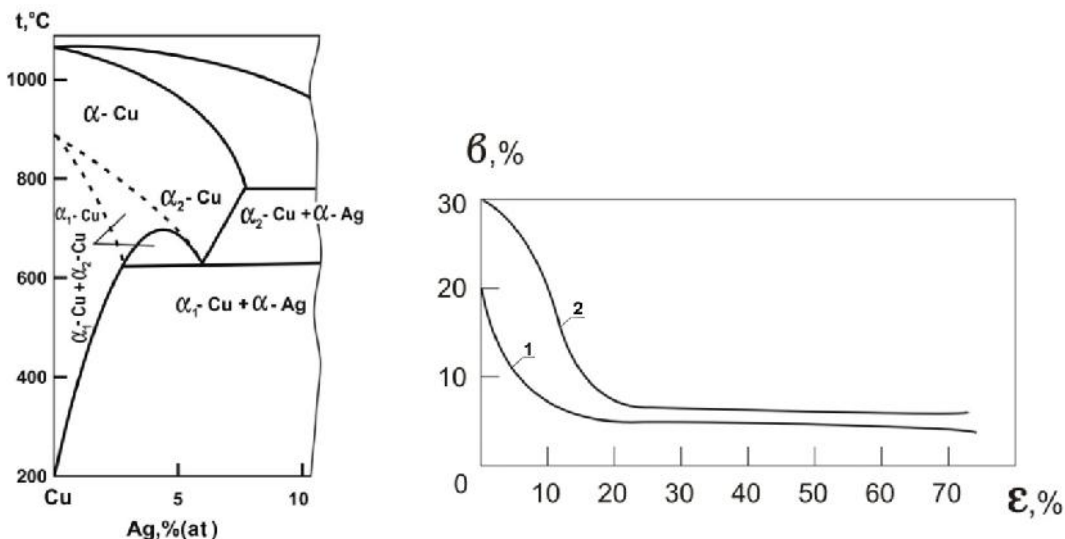
Slika 4.- Dvojni dijagram stanja Au-Cu [23]

U dvojnom sistemu Au-Ag, slika 2, postoji potpuna međusobna rastvorljivost komponenata u vrstom stanju, obrazujući neprekidan niz vrstih rastvora. Kao što je i prikazano, linije likvidusa i solidusa ujednačeno se snižavaju od tačke topljenja zlata, 1064°C (1337K), pa do tačke topljenja srebra, 960°C (1223K) [19]. Legure Au-Ag, poseduju dobre livne osobine, kao i otpornost ka oksidaciji [19,26], veoma su mekane i plastične. Tehnicka primena ovih legura, zbog svojih tehničkih karakteristika, [27], niske vrednosti $R_p = 215 \text{ kg/mm}^2$, pri $50 - 60 \text{ at.\% Ag}$, i pri relativnom izduženju $40 - 50 \%$, relativno je ograničena. Mala gama boja i mala vrstočnost (slaba otpornost na kidanje), ne dozvoljavaju korištenje ove legure ni u zubarstvu, a ni u zlatarstvu. Upotreba ovih legura ograničena je na tehniku kontakata. Za potrebe u zubarstvu i zlatarstvu, koriste se višekomponentne legure koje sadrže pre svega bakar i cink, kao neplemenite, a takođe paladijum i platinu, kao plemenite metale.

Dijagram stanja Ag-Cu, smatra se od strane velikog broja istraživača [24], prostim eutektičkim dijagrame, sa ograničenom rastvorljivošću u komponenti u vrstom stanju, prikazanim na slici 3. Međutim, autori radova [25], na osnovu ispitivanja, smatraju da postoji eutektoidni preobražaj, sa strane bogate bakrom, pri $630 - 640^{\circ}\text{C}$, pri približno 6,0 at. % Ag, i što je prikazano na slici 5.

Dvokomponentne legure Ag-Cu, sa strane bogate srebrom, poseduju visoku plastičnost, koja se oštro snižava pri stepenu hladne deformacije od 20%, ali zatim malo zavise od stepena deformacije, slika 6, [19]. Uticaj hladne deformacije na osobine od koje zavisi vrstočnost, pokazuje da kod legura Ag-Cu, slika 7 [7], postoji od 8,0 – 10,0 mas. % Cu,

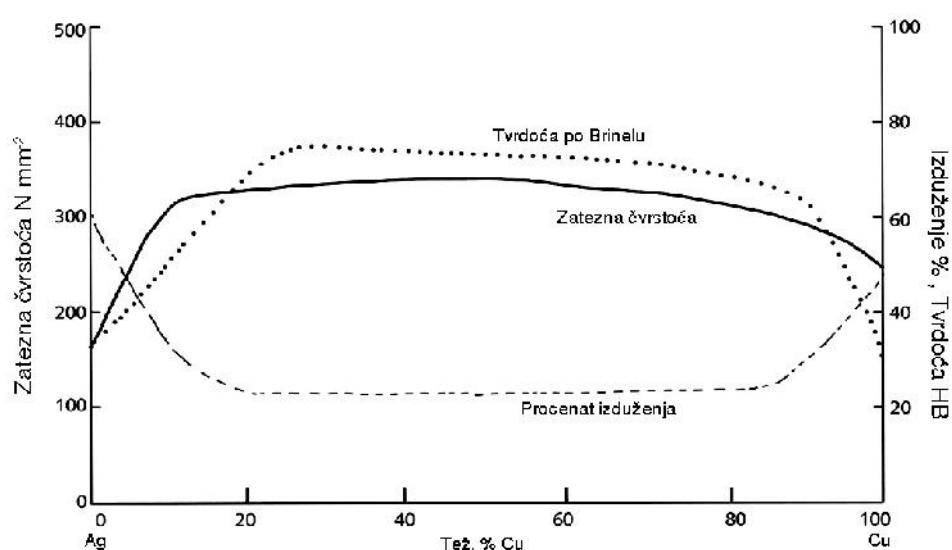
dok kod legura koje sadrže eutektikum ($30,0 - 50,0$ mas. % Cu), granica te enja u žarenom i deformisanom stanju, praktično ne zavisi od sadržaja Cu, slika 8, [19].



Slika 5.- Dvojni dijagram stanja Ag-Cu. sa strane bogate bakrom, po rez.[19,25]

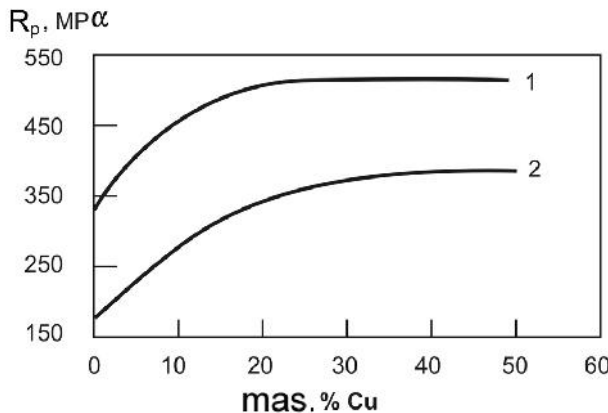
Slika 6.- Zavisnost relativnog izduženja , od stepena hladne deformacije:

1.- Ag-28,0 mas % Cu; 2.- Ag-7,5 mas. % Cu [19]



Slika 7.- Uticaj sastava na mehaničke osobine Ag-Cu legura [7]

Značajna zavisnost rastvorljivosti bakra u srebru, u vrstom stanju, u zavisnosti od temperature, određuje mogućnost ojačanja legura bogatih srebrom, kao rezultat raspada presi enog vrstog rastvora srebra pri starenju. Na osnovu ovoga, legure sa različitim sadržajem bakra različito se i ponašaju. Maksimalno ojačanje postiže se kod legura sa sadržajem 7,5 mas. % Cu.



Slika 8.- Zavisnost granice teženja, R_p , u zavisnosti od sadržaja bakra u legurama Ag-Cu, [19]:

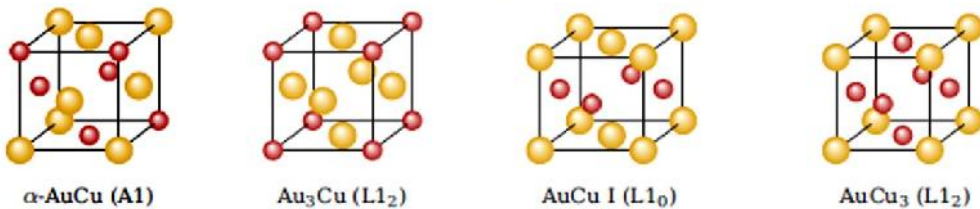
- 1.- hladno deformisana kriva, $\epsilon = 49\%$
- 2.- žareni materijal

Dvojni dijagram stanja Au-Cu, prikazan na slici 4, pored dijagrama Au-Ag i Ag-Cu, takođe je jedan od konstitutivnih dijagrama pri izradi trojnog dijagrama stanja Au-Ag-Cu. Dvojni dijagram stanja Au-Cu, sličan je dijagramu Au-Ag, u zoni likvidus-solidus, ali su promene u vrstom stanju složenije [19, 23]. Zlato i bakar se potpuno mešaju u tehom stanju, grade i niz rastvora, sa minimalnom tačkom topljenja od 910°C , i 44,0 at. % Cu [23], tj. na oko 80,0 mas. % Au. Ispod linije solidusa, komponente Au i Cu, grade neprekidan niz vrstih rastvora [28], od potpunog ovršavanja legure, minimalne temperature solidusa oko 910°C , pa sve do oko 410°C , kada dolazi do pojave karakterističnih struktura srećivanja, i to u obliku superstruktura: Au_3Cu , AuCu i AuCu_3 , što ovaj dijagramini daleko složenijim u odnosu na dijagram stanja Au-Ag. Istraživanja rečena kod legura Au-Cu, su najviše usmeravana u ispitivanje zubnih legura, sa velikom koljinom zlata, 85,0 mas. % Au (65,0 – 75,0 at. % Au), kao i delimično kod legura za nakit sadržaja 75,0 mas. % Au (18-ct), dok je to kod legura sa 58,5 mas. % Au (14-ct) malo ili nimalo raneno.

3.2.1.- Nastajanje superstrukture u Au-Cu legurama

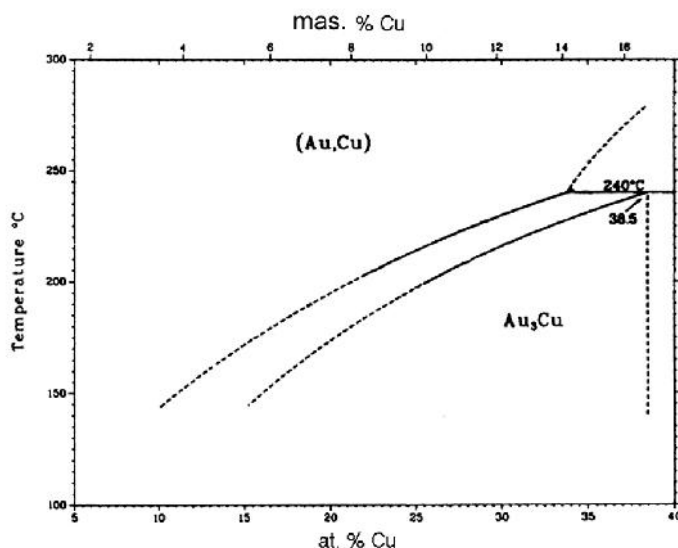
Kao što se vidi sa dijagrama stanja Au-Cu, komponente grade neprekidan niz vrstih rastvora, te postoji potpuna rastvorljivost u vrstom stanju, tj. prisutan je samo – vrsti rastvor sa komponentama Au i Cu. Obe komponente kristališu povr.c.k. rešetkom, i tu dolazi do nastajanja supstitucijskog vrstog rastvora, sa statističkim rasporedom atoma na određenim mestima u povr.c.k. rešetki.

Super rešetke, koje se pojavljuju, nakog laganog žarenja ispod 410°C su: Au_3Cu , AuCu kao i AuCu_3 , normalno u zavisnosti od koljine zlata i bakra u leguri. Na Slici 9, prikazan je stehiometrijski sastav neštećine – (Au, Cu) , kao i tri srećive strukture.



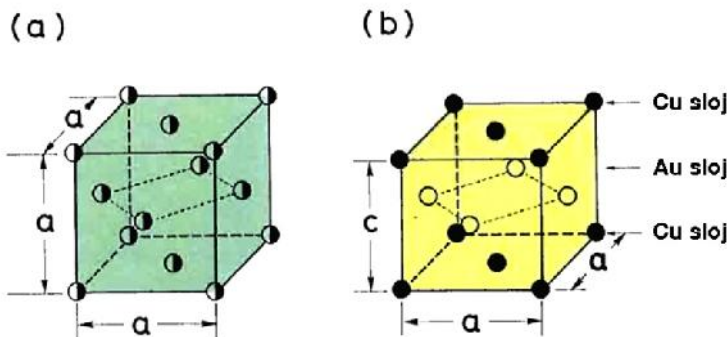
Slika 9.-Jedini na rešetka nesre enog vrstog rastvora (Au,Cu) , i tri stehiometrijske sreene strukture Au,Cu legura. Simetrija/tip superstrukture prikazana je u zagradama, [6]

Struktura Au_3Cu , pojavljuje se do sadržaja od 38,5 at. % Cu (17,3 mas. % Cu), što ustvari predstavlja leguru sa velikom koli inom zlata, preko 82,7 mas. % Au, a koja se ne koristi, ni u zubarstvu, ni u proizvodnji nakita, tako da u ovom radu ne će biti obrađvana. Interesantno je pomenuti da se ovde pojavljuje, pri sadržaju od 38,5 at. % Cu, i manje, pojava peritektoidnog postupka sređivanja strukture u obliku Au_3Cu [29]. Na slici 10, prikazan je deo oblasti dijagrama Au-Cu, na kome je vidljiva transformacija (Au,Cu) u Au_3Cu [30].



Slika 10.- Detalj granice faza $(\text{Au,Cu})/\text{Au}_3\text{Cu}$, eksperimentalno uraena,[23]

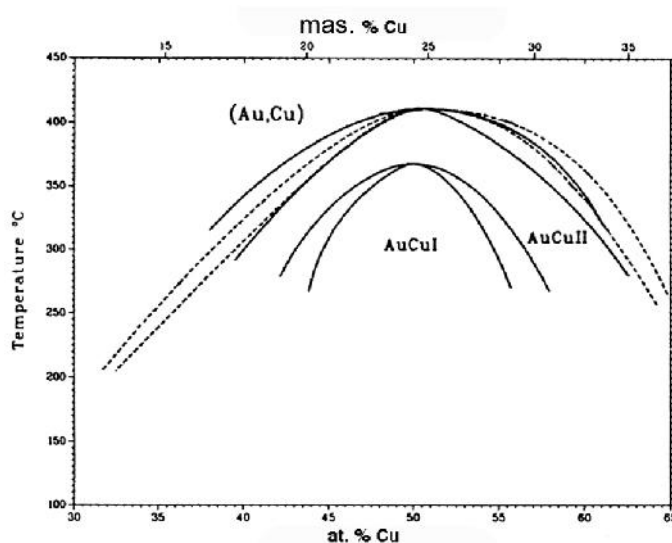
Mogući izgled rešetke – (Au,Cu) vrstog rastvora, prikazan je i na slici 11. Na slici 11 su prikazane paralelne kristalne rešetke – (Au,Cu) , kao i srednje rešetke AuCu I .



Slika 11.- Šematski prikaz nastanka AuCu I – superstrukture, [6,16]:

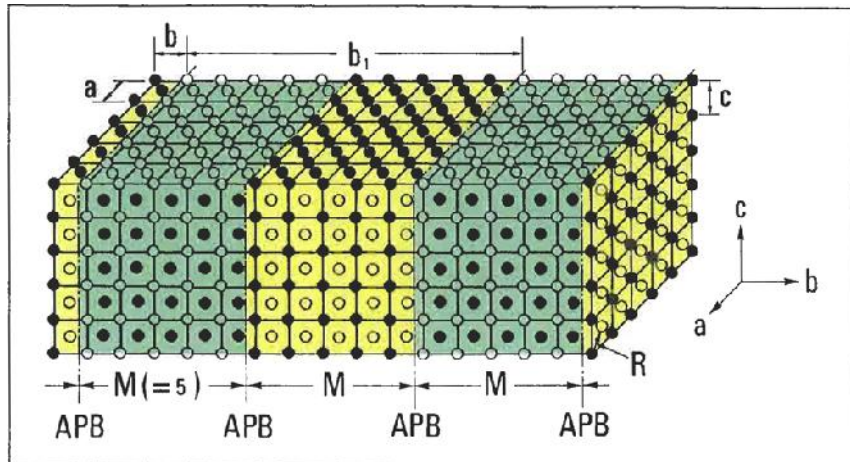
- a) Prikaz površ.c.k. rešetke (Au,Cu) , sa statističkom raspodelom atoma
- b) Jedini način elija AuCu I – super rešetke, koja poseduje površ.c.t – rešetku (površinski centriranu tetragonalnu, $c/a=0.92$). Svetli krugovi predstavljaju atome Au, dok su tamni krugovi atomi Cu

U leguri Au-Cu, vrsti rastvor poseduje površ.c.k. rešetku, i stabilan je do 410°C (683K), kao što je i prikazano na slici 12, [23]. Na nižoj temperaturi pojavljuju se dve komplikovane kristalografske strukture, [31, 32], (AuCu I i AuCu II). Na nižoj temperaturi, ispod 385°C (658K) stabilna je srećna faza po površ.c.t. rešetki AuCu I, gde su naizmenično (002) ravni zauzete bilo atomima zlata ili atomima bakra, a što je prikazano na slici 11.b. Zbog različitih atomskih prenika mikrokonstituenata, srećivanje je dovelo do toga da je došlo do iskrivljivanja rešetke i da je površ.c.k. rešetka prešla u iskrivljenu površ.c.t.



Slika 12.- Detalj transformacije $(Au,Cu)/AuCu$ II, granice faza dobijene eksperimentalnim rezultatima, [23,31,32]

Između 410 °C i 385 °C, i dalje prateći dijagram sa slike 12, stabilna je ortorombijska struktura AuCu II, [16], koja se kao elija sastoji od deset jedinih tetragonalnih AuCu I rešetki [33,34], prikazana na slici 13.



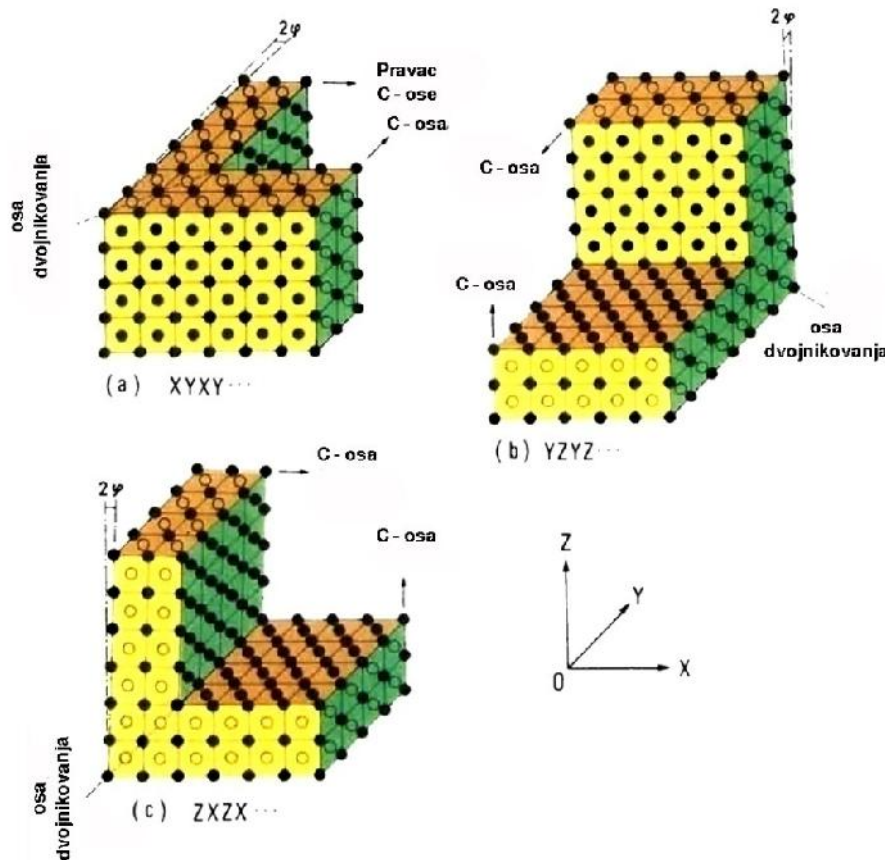
Slika 13.- Uređene granice antifaznog polja – domena u dugoj periodi stvaranja rešetke – AuCu II. Prazni i puni krugovi predstavljaju atome Au i Cu – pojedinačno, [16, 34]

Ovih deset jedinih tetragonalnih elija AuCu I, poređanih u pravcu b – ose, na slici 13 prikazane dimenzijom „ b_1 ”, uređene su tako da su prvih pet identične, a drugih pet takođe međusobno identične, pri čemu je atom Au zamjenjen sa atomom Cu, te no na polovini ove tzv. „dugačke elije”. Dakle, struktura je sub-podeljena na domene, koji su označeni sa „M”, a mesto promene naziva se antifaža, odnosno to je antifazna promena. Granice domena, tj. antifaže je paralelna sa [100] pravcima i ima periodnost na pet jedinih tetragonalnih elija u pravcu b-ose [16,35]. Prilikom rasta elije AuCu II dolazi do povećanja vrsto dvojnih Au-Cu legura, posebno u predelu oko 48,0 at. % Au (73,5 mas. % Au), a što je vezano za legure zlata fino do 750 %. Rastom elije AuCu II, dolazi do smenjivanja po c-osi, u rešetki AuCu I, a time i do zakrivljenja ravanske rešetke, te na taj način dolazi do stvaranja dvojnika, a što je prikazano na slici 14, [16,36].

Sa slike 14 se vidi da je granica dvojnika paralelna sa ravninama $(101)_{\text{tet}}$, i da se smenjivanje po „c” osi izvodi na tri načina i to prema rasporedu pakovanja atoma Au i Cu:

- a) XYXY.....,
- b) YZY... i
- c) ZXZX.....

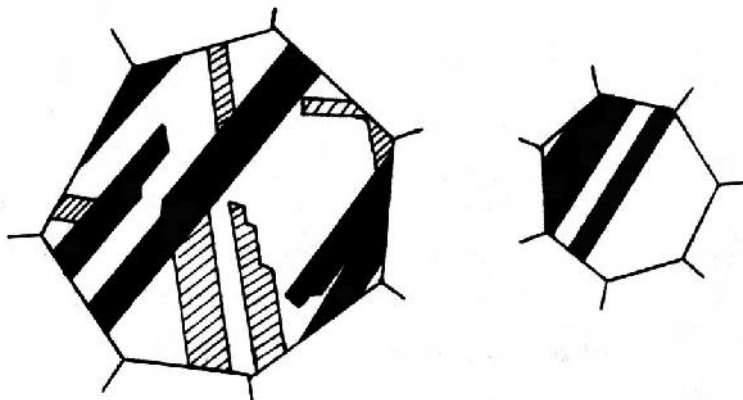
Pojava dvojnika žarenja u mikrostrukturi, esto se zapaža u obliku mnogobrojnih traka, koje prolaze od jednog do drugog kraja zrna, i koje su granice prave i međusobno paralelne [28,37]. Ova pojava se zapaža kod većine metala i legura koji kristališu po površinskim rešetkama, a što je šematski prikazano na slici 15.



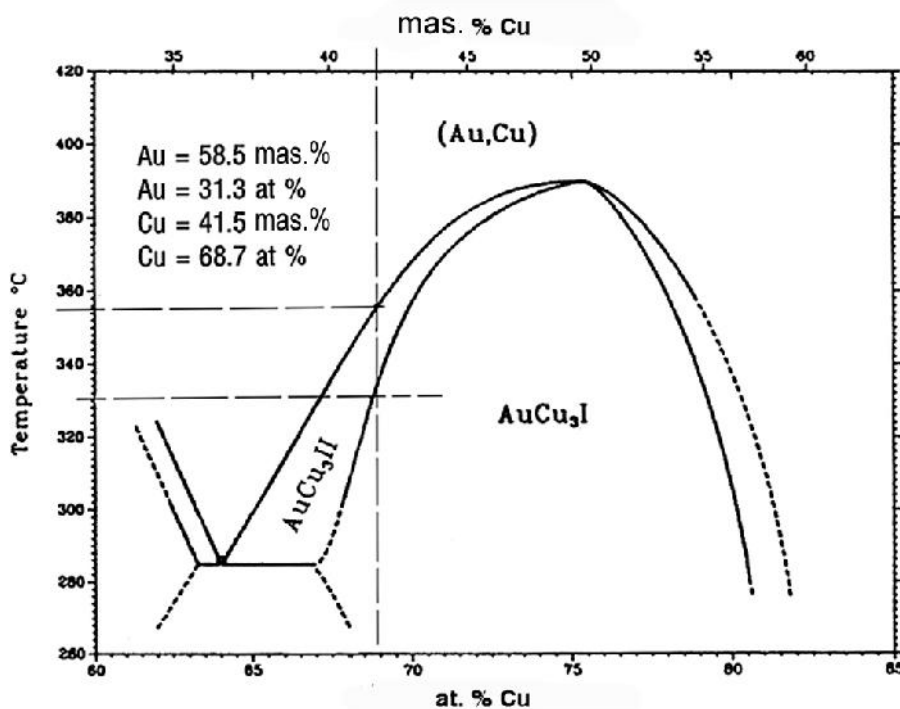
Slika 14.- Povezanost AuCu I – kristalne super-rešetke, sa nastanjem dvojnika, u tri varijante,[16]

Uticaj legiranja razliitim elementima, na oblast domena antifazne strukture, tj. na veliku domenu, je jedno od najinteresantnijih pitanja iz ove oblasti. Efekat dodavanja 16 razliitim elemenata, u razliitim koncentracijama, na veliku domenu antifaze kod AuCu II, proučavano je korišćenjem elektronske difrakcione tehnike [30]. Pri ovom proučavanju došlo se do zaključka, da legiranje sa Ni, Pd, Ag ili Ge, kod ravnotežnog Au-Cu, izaziva porast domena AuCu II – faze, sa povećanjem koncentracije legirajućih elemenata, dok se legiranjem sa Al, Ga, In, Sn, Mn i Zn, dolazi do smanjenja domena. Konstatovano je, takođe, da promena veličine domena kod AuCu II – faze, u velikoj je zavisnosti od broja valentnih elektrona po atomu legirnih elemenata.

Za ispitivanje faznih promena na temperaturama starenja, za legure fino do 585%, saglasno dijagramu stanja Au-Cu prikazanom na slici 16, najvažniji je deo fazne transformacije: $(\text{Au}, \text{Cu}) \rightarrow \text{AuCu}_3$.



Slika 15.- Šematski prikaz traka dvojnika žarenja u površ.c.k. zrnu metala, nakon žarenja [18]



Slika 16.- Detalj transformacije $(\text{Au}, \text{Cu})/\text{AuCu}_3$ -granice faza, dobijene eksperimentalnim rezultatima, [23,32]

Stehiometrijska tačka (Au, Cu) AuCu_3 I, je na oko 25,0 at.% Au i 390 °C. Eutektoidna tačka transformacije je na 36,0 at.% Au i 284 °C [23]. Linija 585 ‰, sa 31,9 at.% Au (58,5 mas.% Au) i 68,7 at.% Cu (41,5 mas.% Cu), prikazane su na slici 16, a transformacija je (Au, Cu) AuCu_3 II_(360 °C) AuCu_3 I_(330 °C).

Kristalna struktura AuCu_3 (I)-faze formira prototip $\text{L}1_2$ -tip urene kubne strukture, u kojoj je na uglovima rešetke Au, koja je površinski centrirana sa Cu atomima. Kristalna struktura AuCu_3 (II), je sastavljena od 18 kristalnih rešekti AuCu I, sa granicom antifaznog domena nakon 9 kristalnih jedinica, [23]. AuCu_3 II je prelazni oblik od (Au, Cu) do AuCu_3 I.

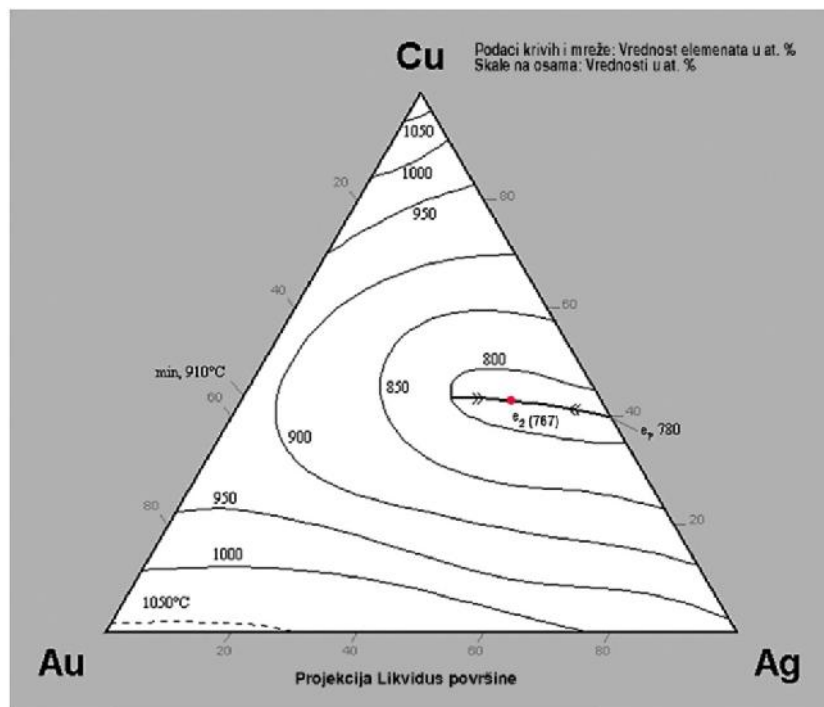
3.3.- Konstrukcija trojnog dijagrama stanja Au-Ag-Cu

Pored toga što je proučavanje i poznavanje dvojnih dijagrama stanja veoma važno u proučavanju faznih transformacija, za određivanje kvaliteta legure a potom i kvaliteta proizvoda [38], potrebno je i poznavanje trojnog dijagrama stanja Au-Ag-Cu. Korištenje tro- i više – komponentnih legura u proizvodnji nakita je neophodno, da bi se dobile dobre mehaničke osobine, a pri tome nijednog momenta ne zaboravljujući, da je kod nakita, jedna od najvažnijih komponenti za dobar plasman, lep izgled i lepa i prijatna boja proizvoda [39,40]. Usled složenosti trokomponentnih legura, iz razumljivih razloga, iste su manje izučavane od dvokomponentnih legura.

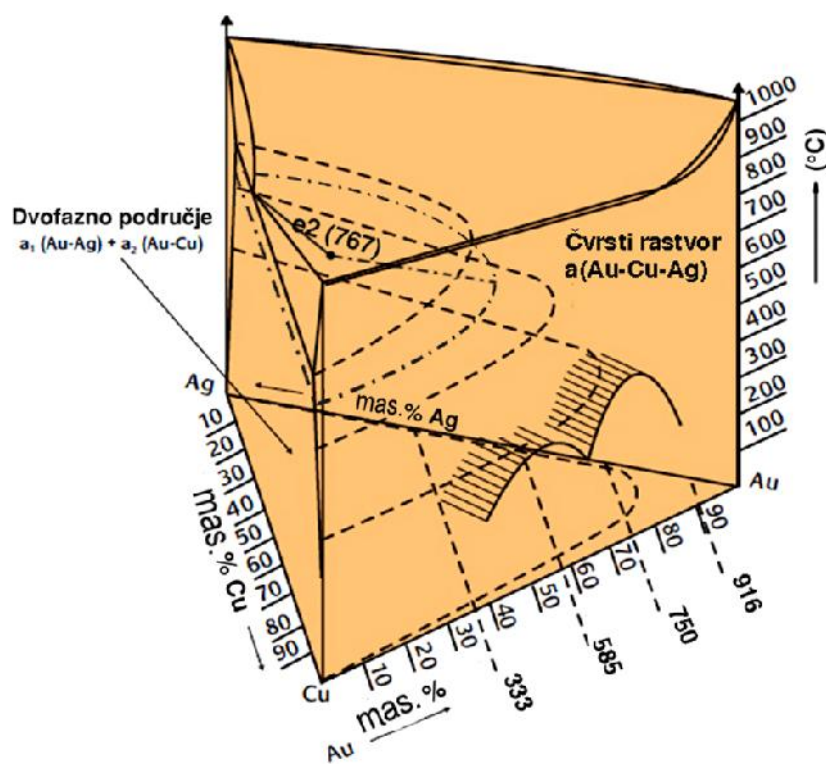
Kao što je poznato, zlato može da se legira sa velikim brojem metala i nemetala [19], ali kada su u pitanju legure za izradu nakita, onda su to uglavnom legure koje potiču iz sistema Au-Ag-Cu.

Trokompotentne legure Au-Ag-Cu sistema, odlikuju potpuna rastvorljivost u tehom stanju, i prilično velika rastvorljivost u vrstom stanju, prate i odgovarajuće dvojne dijagrame stanja, koji su osnova ovog trojnog dijagrama stanja. Najniža temperatura topljenja je trojni eutektikum, pri temperaturi od 767°C , sastava 14,0 at.% Au, 43,0 at.% Ag, 43,0 at.% Cu, prikazan na slici 17. Eutektika je trojni dijagrama Au-Ag-Cu [41], pomera se, dodavanjem zlata, prema uglu bogatim zlatom, sa po etkom od eutektike do dijagrama stanja Ag-Cu, sa slike 3. Dvofazni minimum kod likvidus linije Au-Cu dijagrama stanja, koji se nalazi na temperaturi od 910°C [23], projektuje se u trojni dijagram stanja, a na kraju prelazi u monovariantan eutektikum, koji se završava u eutektici u dvojnog Ag-Cu dijagrama stanja, na temperaturi od 780°C .

Radi lakšeg sagledavanja ravnotežnog dijagrama stanja trokomponentnih legura Au-Ag-Cu, uobičajeno je i prikazan na slici 18, prostorni izgled trojnog dijagrama stanja Au-Ag-Cu, u ne tako detaljnem nacrtu [7]. Na dijagramu su naznačeni preseci, iskazani u promilima, za najvažnije zlatarske legure. Sigurno, da je u jednom ovakvom prostornom dijagramu, teško, i skoro nemoguće predstaviti sve moguće faze i reakcije njihovog nastanka, pa je tako i u ovom slučaju. Međutim, poznavanje i tumačenje prostornog trojnog dijagrama stanja je od velike pomoći u razumevanju ponašanja legiranjem, kako sa teorijskog tako i sa praktičnog znanja. Za razjašnjenje pojedinih faznih promena, koriste se vertikalni preseci trojnog dijagrama, sa pregledom tzv. kvazi-binarnih dijagrama, kao i horizontalni preseci, dobijeni eksperimentalnim putem na konstantnoj temperaturi.

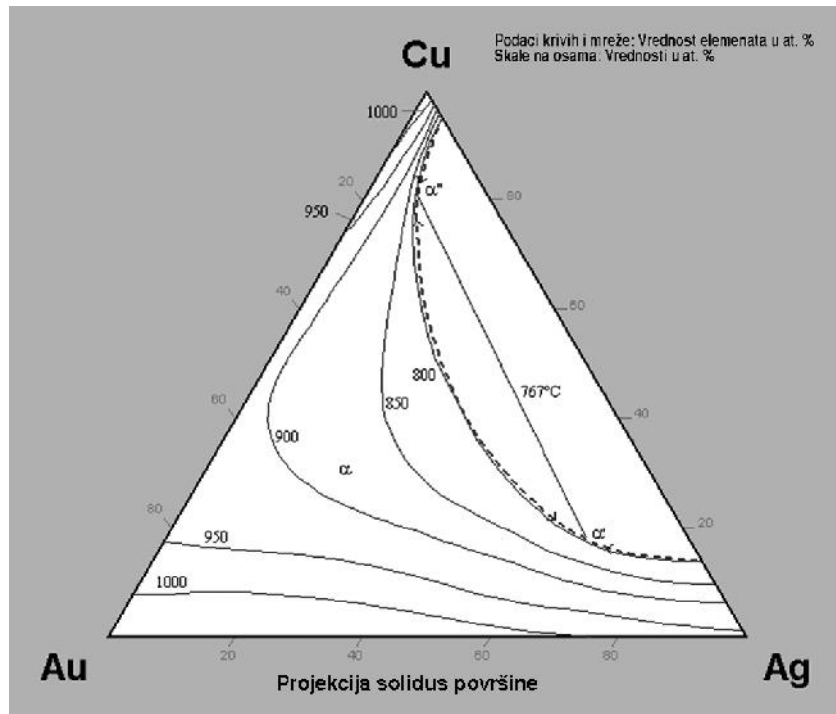


Slika 17.- Temperature izotermi površine likvidusa u trojnom sistemu Au-Ag-Cu [7,15]



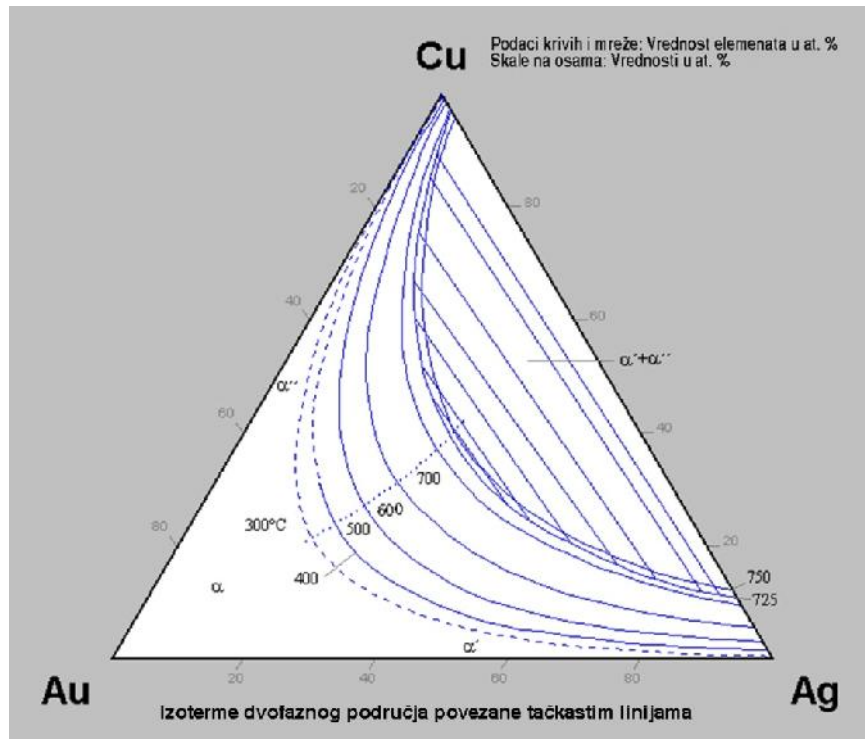
Slika 18.- Prostorni izgled trojnog ravnotežnog dijagrama stanja Au-Ag-Cu [7]

Na slici 19, prikazana je solidus površina sa odgovarajućim izotermalnim linijama, kao i temperature za ovršavanje trojnih legura, a koje su van poluloptastog dvofaznog prostora $(\text{Ag}, \text{Au}) + (\text{Cu}, \text{Au})$, koji nastaje iz $(\text{Au}, \text{Ag}, \text{Cu})$ - jednofaznog područja, na 800°C , a što je kritična temperatura vezne linije, između linije likvidusa i ‘/’, [42,43]. Kritična linija povezivanja za ‘+’, kao i minimum solidusa prikazan je na 767°C . Ovaj prostor je veoma važan za pojavu starenja legura kao i ovršavanja starenjem, jer u ovom prostoru dolazi do faznih transformacija u vrstom stanju.

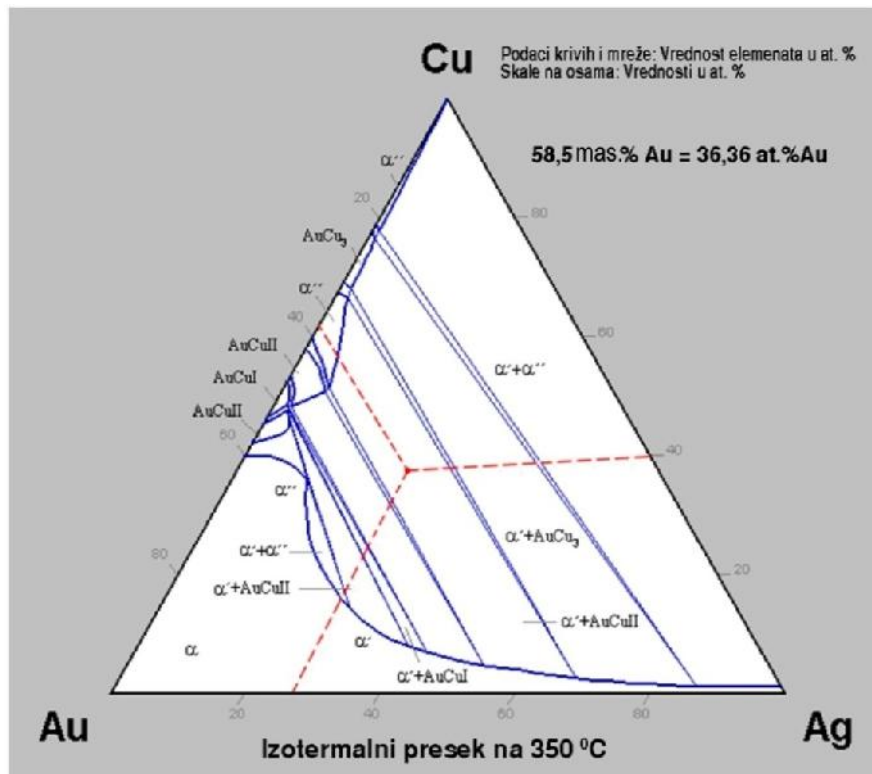


Slika 19.- Solidus površina trojnog dijagrama stanja, Au-Ag-Cu, [15]

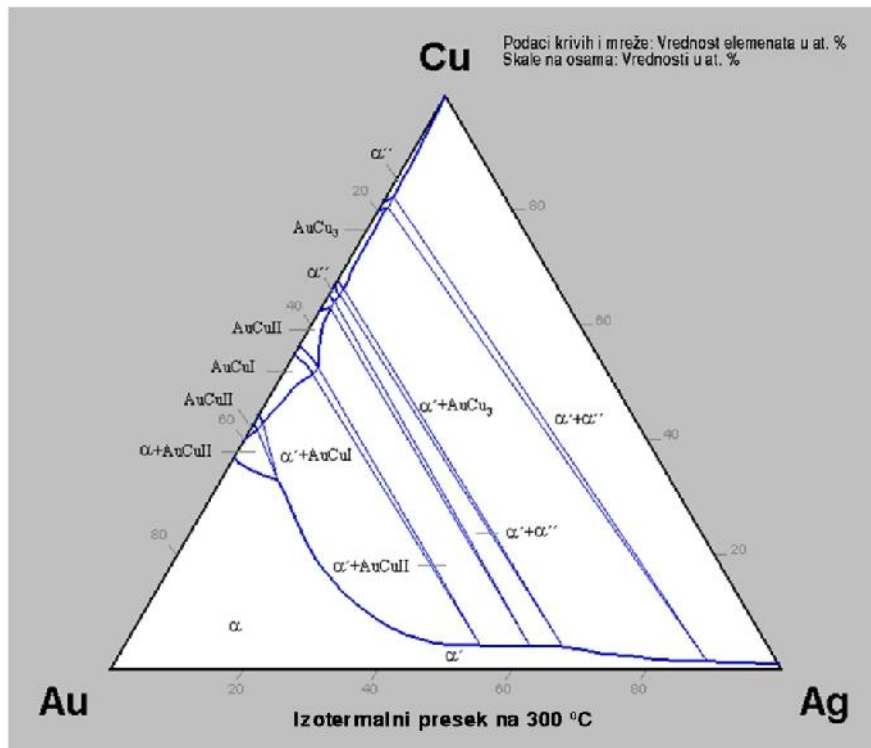
Dvofazni prostor, ‘+’, proteže se u prostoru trojnog dijagrama stanja, formirajući solvus površinu, iako je po etno stanje, u stvari, dvofazno polje, ‘+’, Ag-Cu dvofaznog dijagrama stanja [41,44]. Oblik ovog prostora prikazan je na slici 20, sa izotermama od 750°C do 300°C . Na ovoj slici je prikazana povezanost između ovih linija sa tačkom linijom [45]. Treba napomenuti da izoterma na 300°C , nije uzeta u obzir reakciju sređivanja, koja se odvija ispod 400°C , izotermalne linije, na temperaturi nižoj od 725°C , nisu paralelne sa linijama dvojnog ‘+’, Ag-Cu dijagrama stanja, ali lagano naginju i padaju ka uglu zlata (Au).



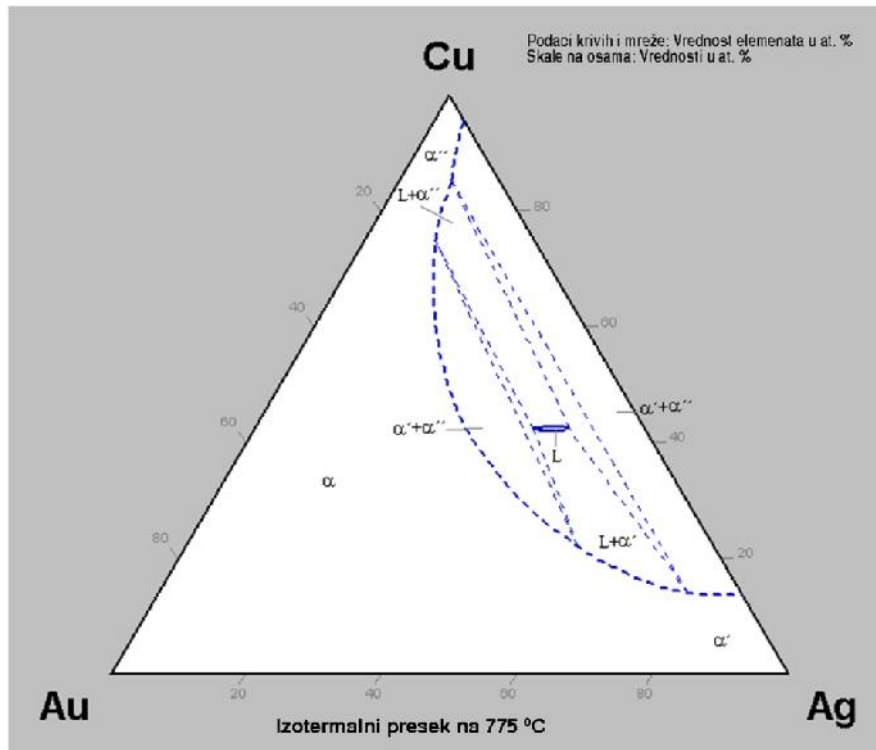
Slika 20.- Izoterme dvofaznog područja, povezane tačkastom linijom, [15]



Slika 21.- Izotermalni presek na 350 °C [15]

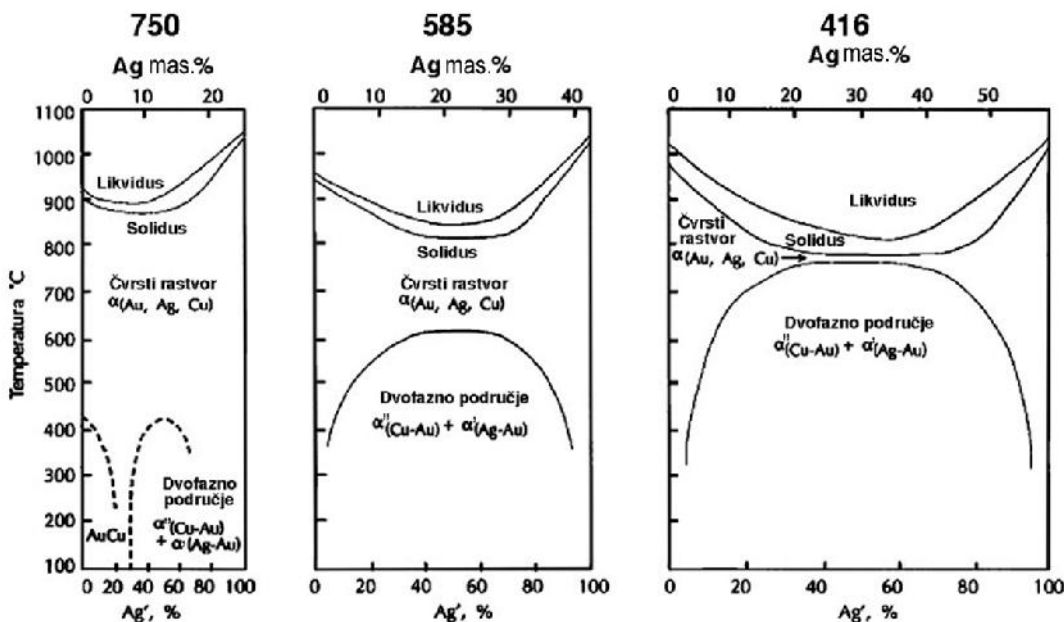


Slika 22.- Izotermalni presek na 300 °C, [15]



Slika 23.- Izotermalni presek na 775 °C, [15]

Izotermalni preseci trojnog dijagrama, na temperaturama od 300 °C i 350 °C, prikazani su na slikama 21 i 22 [15]. Izotermalni preseci, ustvari prikazuju rastvorljivost nesre enog – vrstog rastvora, kao i ‘+’ – dvofaznog područja, koji sa sre enom fazom, AuCu i AuCu₃, koegzistiraju u ravnoteži na niskoj temperaturi. Na temperaturama, koje su iznad 350 °C ne postoje fazne promene u vrstom stanju koje stvaraju sre enu fazu, ali se promene u vrstom stanju dešavaju sve do eutekti ke temperature, koja je na minimumu likvidus površine, tj. na $e_2 = 767$ °C, što je i prikazano na slici 17, kao i slici 23, koja ustvari, predstavlja izotermalni presek na 775 °C, neposredno iznad trojne eutekti ke ta ke.



Slika 24.- Šematski kvazi-binarni dijagram, vertikalni presek konstantne fini e kod Au-Cu-Ag dijagrama stanja,[40]

U cilju boljeg razjašnjenja prelaska iz $(\text{Au}, \text{Ag}, \text{Cu})$ – $(\text{Ag}, \text{Au}) + (\text{Cu}, \text{Au})$, dvofazno područje, na slici 24, prikazani su kvazi – binarni dijagrami, tj. vertikalni presek trojnog dijagrama stanja Au-Ag-Cu, sa konstantnim sadržajem Au, za pojedine tipove legura sa promenljivim količinama Ag i Cu, a koji odgovaraju za nakit fino e 750 %, 585 % i 416 %. Sigurno da ovde ne može da se prikažu i promene u srednjem stanju, jer bi to bilo suviše komplikovano.

Koncentracija Ag i Cu, na apscisi, određuje sastav legure, koristeći parametre Ag⁺ [40], prema sledećoj relaciji:

$$\text{Ag}^+ = \{[\text{Ag}(\text{mas.\%})]/[\text{Ag}(\text{mas.\%}) + \text{Cu}(\text{mas.\%})]\} \times 100\% \dots \quad (1)$$

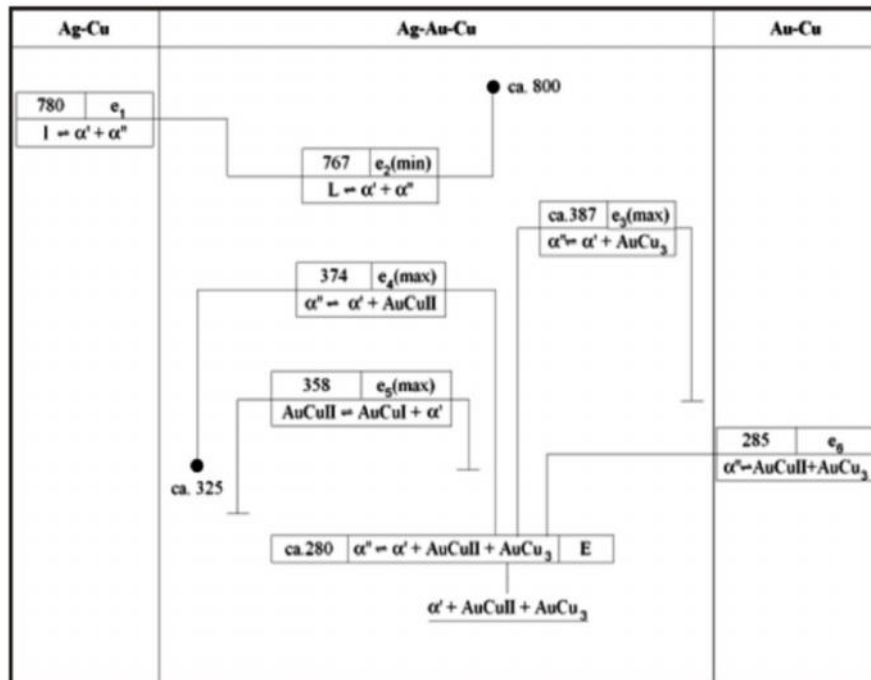
Na osnovu ove jedne inove (1), legure za proizvodnju nakita definišu se i razmatraju na osnovu zahtevane finoće, i parametra Ag⁺, a na osnovu dvofaznog područja, sa slike 24, i parametra Ag⁺, proizlaze tri tipa legura, [40]:

- Tip I, u kojoj se Ag⁺ kreće od 0 do 10 % ili oko 90 do 100%, koje postoje kao homogeni vrsti rastvori na svim temperaturama, ispod linije solidusa. Ove legure su mekane i u žarenom stanju ne dolazi do povećanja tvrdoće.
- Tip II, u kojoj se Ag⁺ kreće u opsegu od 10 do 25 %, ili oko 75 do 90%, koje postoje kao homogeni vrsti rastvori na temperaturama iznad dvofaznog područja, ali, ukoliko je lagano hlađenje, ravnoteža na sobnoj temperaturi $\alpha_{(\text{Ag}-\text{Au})}$ dovodi do pojave precipitata u Ag – bogatoj leguri i $\beta_{(\text{Cu}-\text{Au})}$ u Cu – bogatoj leguri. Ovaj tip II legure, postaje umereno mekan u žarenom stanju, ali otvrđivanje starenjem se ostvaruje izdvajanjem taloga – precipitata.
- Tip III, u kojoj je Ag⁺ u opsegu od oko 25 do 75 %. Legure ovog tipa su homogeni vrsti rastvori iznad dvofazne oblasti, ali ukoliko se lagano hlađe do ravnotežne sobne temperature, dolazi do razlaganja na dve faze: $\alpha_{(\text{Ag}-\text{Au})} + \beta_{(\text{Cu}-\text{Au})}$. Legure ovog tipa su povećane tvrdoće i pri hlađenju na vazduhu, i za iste je otežano izvesti gašenje. Ove legure potvrđuju starenjem, jer dolazi do fenomena sređivanja faza.

U saglasnosti sa slikama 17 do 23, kao i sa opisom istih, može se prikazati tabela sa šemom ravnotežnih reakcija koje se pojavljuju u trojnom dijagramu stanja Au-Ag-Cu.

Kod trojnog dijagrama prikazano je pet ravnotežnih takava, a što je i posebno opisano u tabeli 2: e_{2(min)} – eutektičko vršavanje trokomponentne legure, e_{3(max)} – dekompozicija povr.c.k. α – vrstog rastvora, obogaćenog sa Cu, u β – vrsti rastvor, obogaćen srebrom i sređeni AuCu_3 , i tako e, e₄ – dekompozicija povr.c.k. β – vrstog rastvora, u α – vrsti rastvor i sređeni AuCu II; e_{5(max)} – eutektoidna dekompozicija ortonombične AuCu II u povr.c.k. sređeni AuCu I i povr.c.k. γ – obogaćen sa Ag; Na kraju, u tablici E, eutektoidna dekompozicija povr.c.k. β u povr.c.k. γ , kao i sređeni AuCu II i AuCu_3 , [46].

Tabela 2.- Tabelarni i šematski prikaz ravnotežnih tvariaka u dvojnim, Au-Cu i Ag-Cu, kao i u trojnom, Au-Ag-Cu, dijagramu [15, 42, 43]

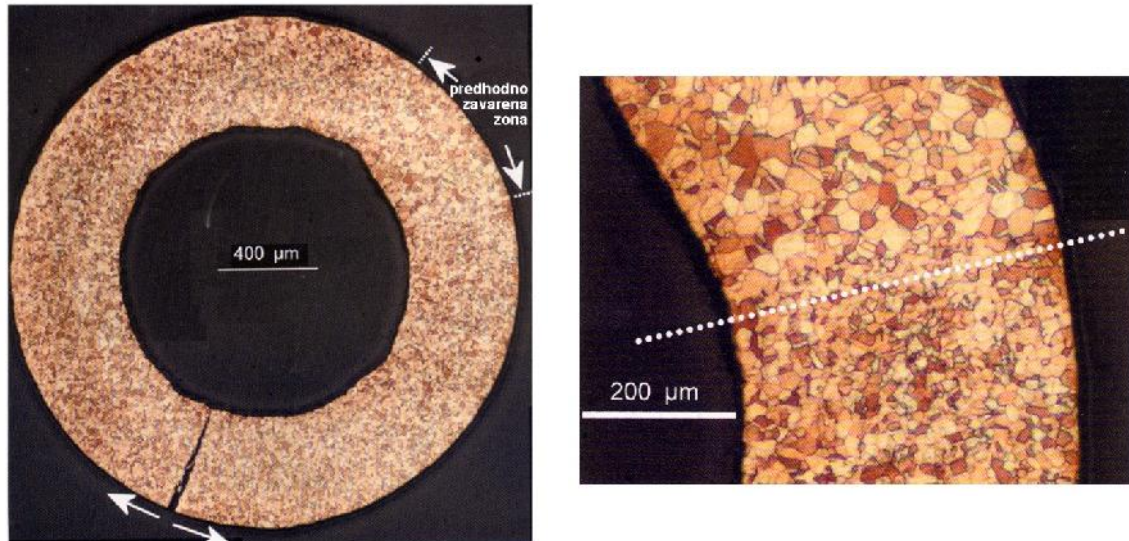


Reakcija	T(°C)	Tip	Faza	Sastav (at%)		
				Au	Ag	Cu
$L \rightleftharpoons \alpha' + \alpha''$	767	$e_{2(\min)}$	L	14	~ 43	~ 43
			α'	~ 16	~ 66	~ 18
			α''	~ 11	~ 8	~ 81
$\alpha'' \rightleftharpoons \alpha' + AuCu_3$	387	$e_{3(\max)}$	α''	22.5	2.0	74.5
			α'	19.8	77.7	2.5
			$AuCu_3$	25.6	1.0	73.4
$\alpha'' \rightleftharpoons \alpha' + AuCu II$	374	$e_{4(\max)}$	-	-	-	-
$AuCu II \rightleftharpoons AuCu I + \alpha'$	358	$e_{5(\max)}$	-	-	-	-
$\alpha'' \rightleftharpoons \alpha' + AuCu II + AuCu_3$	~ 280	E	-	-	-	-

Svi prikazani delovi trojnog dijagrama, od slike 17 do slike 23, uključuju i tabelu 2, predstavljaju male delove jedne velike celine, tj. trojnog dijagrama stanja Au-Ag-Cu, koji su dobijeni mahom eksperimentalnim metodama od strane velikog broja istraživača [15]. Hemijska stabilnost Au-Ag-Cu legura, predstavlja osnovu izrade legura za izradu nakita, sa konstantnim sadržajem Au od 58,5 mas.%, što iznosi od 31,2 at.% do 43,5 at.% Au. Legure koje se koriste za proizvodnju nakita, trebalo bi da poseduju visoku otpornost na koroziju, posebno u elektrolitu, koji postoji prilikom eksploatacije proizvoda, a to je „ove živote“ [47,48]. Pored otpornosti na koroziju, koje poseduju

ovakvi proizvodi, potrebno je, u finalnim proizvodima, ostvariti žarenje na temperaturama starenja, da bi se, pored ostalog, izbegla zaostala naprezanja u proizvodima, koja su nastala usled različite vrste obrade, a samim time i nastajanjem različite veličine zrna, kao i do nastajanja naponske korozije, koja je najčešće interkristalnog tipa [49], kada i najčešće dolazi do naprslina po granicama zrna, a što posebno utiče na vek trajanja proizvoda.

Pojava interkristalne korozije usled zaostalih naprezanja, nastaje kod proizvoda legure zlata, ukoliko žarenje zbog uklanjanja zaostalih napona, kao i starenje, nije adekvatno izvedeno i na vreme. Prikaz na slici 24/1, predstavlja jedan od ovakvih slučajeva, pri čemu je vidljiva razlika u krupno i maleni zrna na liniji zavarivanja, (b), što izaziva pojavu unutrašnjih napona u materijalu pri eksploataciji, kada može doći do pojave interkristalne korozije i pojava naprslina, (a).



a).-

b).-

Slika 24/1.-Napukao popreki presek cevi, legure 585, usled poprenih i zaostalih naprezanja. Cev je varena TIG postupkom, pri čemu se vidi razlika u veličini zrna (a), i uvećani deo na mestu varanja, gde dolazi do zaostalih naprezanja u materijalu (b), [50]

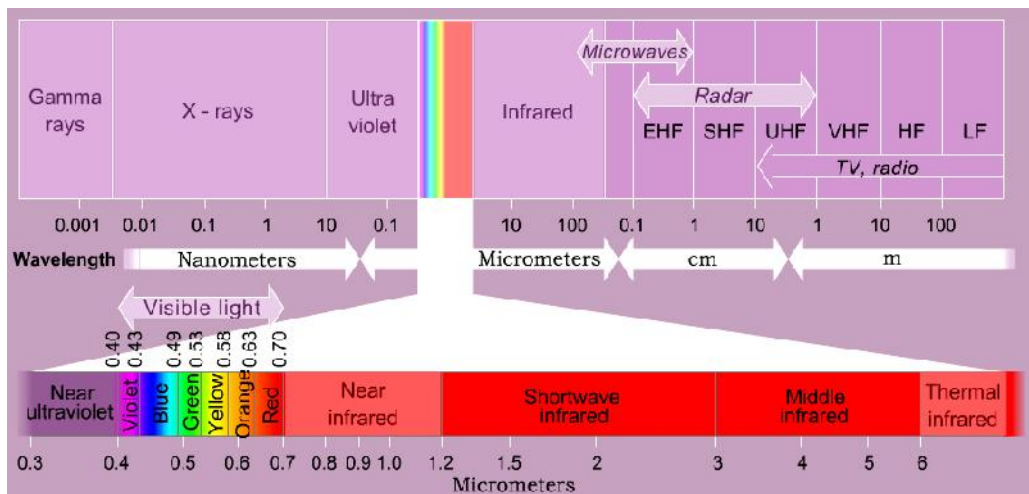
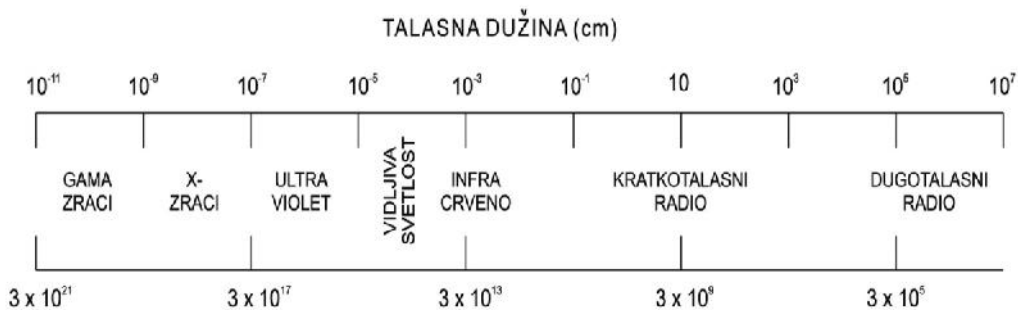
Na osnovu navedenog, konstrukcija trojног dijagrama stanja Au-Ag-Cu, predstavljena je parcijalno, sa mogućnošću proučavanja pojedinog dela dijagrama, prema tekućoj potrebi. Obzirom da je većina ovih dijagrama urađena eksperimentalno, i, kao što je već rečeno, od strane velikog broja istraživača, dalji rad na izradi trojног dijagrama, zahteva konstantni rad i proučavanje.

3.4.- Optičke osobine i boje legura Au-Ag-Cu

3.4.1.- Optičke osobine plemenitih metala

Na skali vrednosti talasnih dužina elektromagnetskih talasa, talasna dužina vidljive svetlosti zauzima veoma mali prostor. U tabeli 3, šematski je prikazana približna talasna dužina i oblasti frekvencije kod različitih elektromagnetskih talasa, dok je na slici 25, uvezan pojas vidljive svetlosti, i prikazan u manjim jedinicama da bi bio uobičajeniji.

Tabela 3.- Približna talasna dužina i oblasti frekvencije kod različitih elektromagnetskih talasa, [51]



Slika 25.- Zračenje vidljive svetlosti, [52]

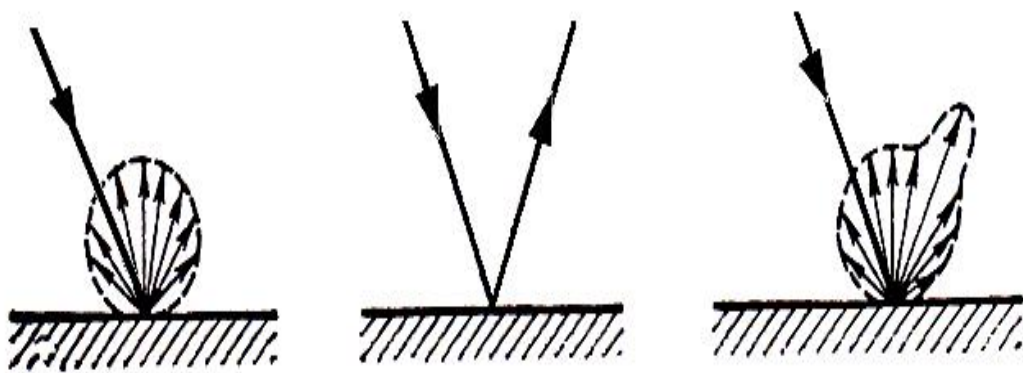
Bela svetlost, u stvari, predstavlja mešavinu svih vidljivih boja, tj. svih onih boja za koje je normalno oko osetljivo. Među ovim bojama crvena ima najveću talasnu dužinu, od približno $7,60 \times 10^{-5}$ cm, dok ljubičasta ima najmanju talasnu dužinu, od približno $3,85 \times 10^{-5}$ cm [51]. Vrednosti za talasne dužine svih ostalih vidljivih boja, nalaze se između ovih granica u vrednostima.

Priroda svetlosti je veoma složena, i u proučavanju problema svetlosti prihvata se da je svetlost dualne prirode: talas – estica, tj. pokazuje talasnu i korpuskularnu prirodu.

Najvažnije optičke osobine metala, u ovom slučaju vezano za plemenite metale, su: boja legure za izradu nakita i reflektivnost metalova.

Boju doživljavamo tako, što se elektromagnetični talasi, od kojih je sastavljeno belo svetlo, selektivno mešaju, uključujući i absorpciju, refleksiju, refrakciju i rasejanje [53]. Formiranje boje kod metala i njihovih legura, neposredno je povezano sa elektronskom strukturom, kako osnovnog metala tako i legirnih elemenata. Potrebna boja legure, ostvaruje se dodavanjem legirnih elemenata. Naprimjer, dodavanjem paladijuma, dobija se fina bela boja legure, povećanjem količine bakra u odnosu na srebro, dobija se crvenkasta boja legure, itd., o čemu će posebno biti reč u sledećim kapitama.

Druga veoma važna optička karakteristika, vezana za plemenite metale i legure, je reflektivnost, [19]. Plemeniti metali sa svoje površine reflektuju veliki procenat upadne svetlosti, a samim time i energije lasera. Koeficijent refleksije predstavlja osnovu za primenu laserske tehnike prilikom postupka zavarivanja laserskim snopom pri proizvodnji nakita [54-56]. Takva refleksija se odvija na jedan od prikazanih oblika sa slike 26.



Slika 26.- Oblici refleksije sa površine: a) difuzno, b) ogledalasto, i c) kombinovano; [55]

Obzirom da se u proizvodnju nakita sve više uvode savremeni postupci obrade, od kojih je jedan i zavarivanje laserom, to se javlja potreba sagledavanja reflektivnosti i namenjene smanjenja koeficijenta reflektivnosti, da ne bi dolazilo do rasipanja energije, [54,57].

Bez obzira na talasnu prirodu, idealna refleksija svetlosti najčešće se posmatra korišćenjem jedne linije, prikazano na slici 26 b), što je matematički najjednostavnije. Preostala dva slučaja, difuzno i kombinovano rasejanje, slika 26 a) i c), su mnogo složenija za analizu.

Koeficijent refleksije (R), predstavlja odnos intenziteta reflektovanog (I_R) i upadnog svetlosnog zraka – po etnog intenziteta (I_0), tj. $R = I_R / I_0$. Odavde proizlazi da, što je veći koeficijent refleksije to će biti veći reflektivnost metala. Kada se koeficijent refleksije (R) razmatra korišćenjem tzv. realnog, (n), i imaginarnog, (k), indeksa prelamanja, što se izvodi i dokazuje u optici, [19,58], onda se za normalan upadni snop, vrednost refleksije izražava u obliku:

$$R = \frac{(n-1)^2 + k^2}{(n+1)^2 + k^2} \quad (2)$$

U jednostavnijem odnosu između koeficijenta reflektivnosti (R) i indeksa prelamanja (n) u vakumu ili vazduhu postoji relacija, kada je $k = 0$:

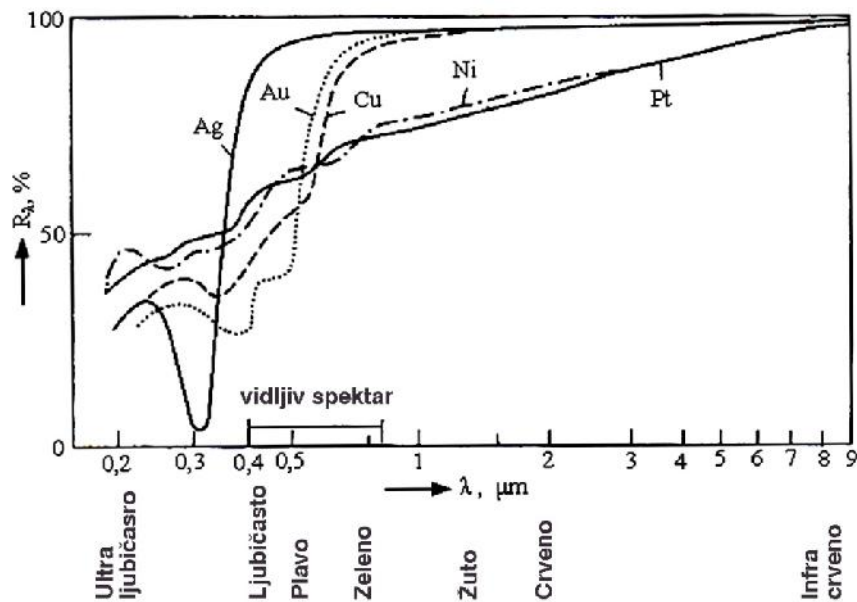
$$R = \frac{(n-1)^2}{(n+1)^2} \quad (2a)$$

Kod plamenitih metala reflektivnost je reda veličine 0,9 – 0,95. Neprozornost metala dovodi do velike reflektivnosti. Radi sagledavanja odnosa, npr. kod vrlo prozračnog materijala – dijamanta, koeficijent $n = 2,41$, za $k = 0$, dobija se $R = 0,17$, a to znači da se 17% reflektuje.

Koeficijent refleksije zavisi od talasne dužine upadnog svetlosnog snopa, što je prikazano na slici 27. Kako se koeficijent refleksije menja u zavisnosti od talasne dužine svetlosnog snopa, tako će se menjati i reflektivnost, te zato treba posmatrati koeficijent refleksije (R) u širem opsegu talasnih dužina.

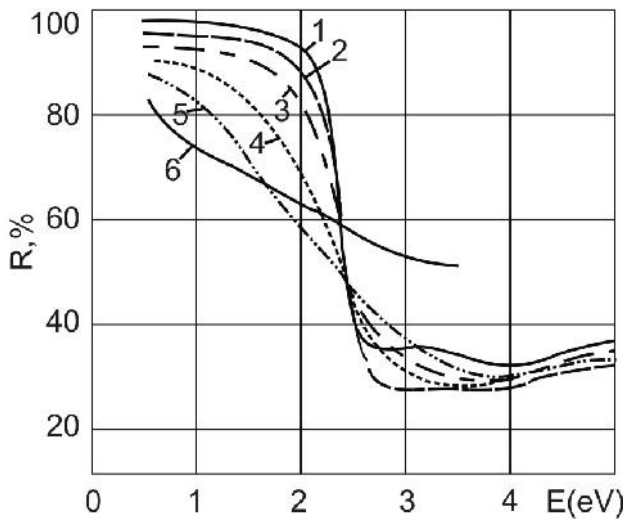
Krive promene koeficijenta refleksije u zavisnosti od talasnih dužina, za zlato i bakar, imaju veoma sličan karakter i slične vrednosti, dok srebro pokazuje izražen minimum pri raspodeli talasnih dužina oko $0,3 \mu\text{m}$. Nadalje, pri $\lambda > 0,3 \mu\text{m}$, najpre srebro, a zatim i zlato i bakar pokazuju nagli rast refleksivnosti.

Nikl i platina imaju sličnu prirodu ponašanja, kada se posmatra zavisnost refleksije od talasne dužine. Nikl je, inače, jedan od metala koji se koristi kod metalnih ogledala ili reflektora, i to je razlog njegovog pojавljivanja na slici 27.

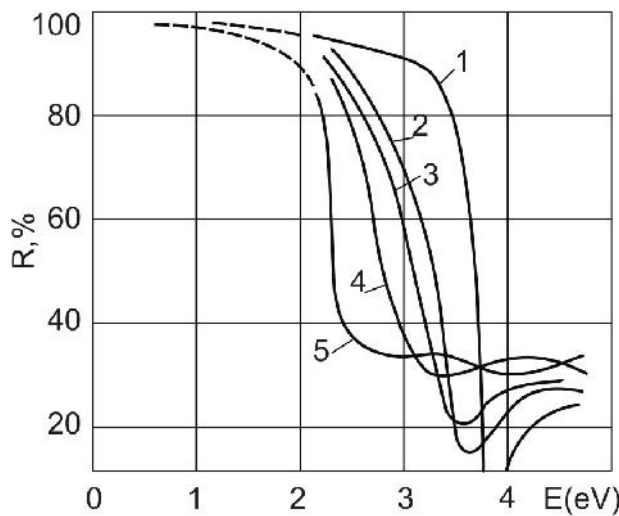


Slika 27.- Zavisnost koeficijenta refleksije (R) u širem opsegu talasnih dužina svetlosnog snopa, mereno upravno na površinu plemenitih metala i nikla [59,60]

U vidljivom delu spektra, u intervalu od oko $0,4 - 0,7 \mu\text{m}$, najveće vrednosti se javljaju kod srebra, zatim kod zlata, bakra, nikla i platine. Pri većim talasnim dužinama, oko $10 \mu\text{m}$, vrednosti refleksija svih navedenih metala postaju identične i po obliku i po vrednosti, [54, 61].



Slika 28.- Zavisnost koeficijenta refleksije (R) od energije zračenja (E), kod legura sa različitim sadržajem paladijuma: 1 – isto zlato; 2 – $\text{Au} + 5 \text{ at.\% Pd}$; 3 – $\text{Au} + 10 \text{ at.\% Pd}$; 4 – $\text{Au} + 20 \text{ at.\% Pd}$; 5 – $\text{Au} + 30 \text{ at.\% Pd}$; 6 – isto paladijum, [19]



Slika 29.- Zavisnost koeficijenta refleksije (R) od energije zrajenja (E), kod legura sa različitim sadržajem srebra: 1 – isto srebro; 2 – Ag + 5 at.% Au; 3 – Ag + 10 at.% Au; 4 – Ag + 50 at.% Au; 5 – isto zlato, [19]

Boja zlata značajno se menja legiranjem. U većini slučajeva, promena boje zlata legiranjem, ne može da se objasni teorijom prelaska elektrona iz d-zone u nepotpunjenu zonu provodljivosti, odnosno na osnovu predstave o zonskom prelasku elektrona. Primer refleksije kod legura zlata sa paladijumom i srebrom, koji su približno iste boje, a i približno iste elektronske konfiguracije [20]. Na slici 28 prikazana je zavisnost reflektujućih sposobnosti legura Au-Pd od energije zrajenja, sa kojom je povezana jarka boja zlata. Kao što se vidi iz slike 28, dodatak paladijuma smanjuje reflektujuće sposobnosti, a samim time i strmost krivih. Energetske karakteristike krivih pri ovome se u osnovi zadržavaju. Kao rezultat dodatka paladijuma brzo dolazi do obezbojenja zlata.

Znajući, na drugi način dolazi do promene boje zlata pri legiranju srebrom, slika 29. Tačka sniženja reflektujuće sposobnosti, sa povećanjem sadržaja srebra, premešta se od veličine, karakteristične za isto zlato do veličine karakteristične za isto srebro, tj. u stranu veće energije.

3.4.2.- Boje legura trojnjog sistema Au-Ag-Cu

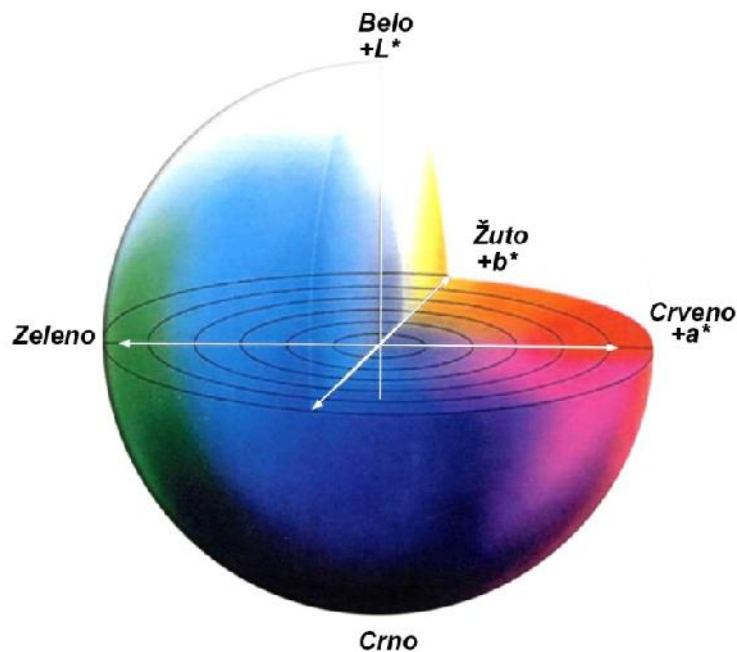
Zlato se od davnina koristi za izradu dekorativnih predmeta, i boja zlata igra veoma važnu ulogu u ovoj oblasti primene. Bogata i plamenita žuta boja zlata plenila je i bila atraktivna za čovječanstvo, više od 3.000 godina pre nove ere pa do danas [62].

Zlato i bakar su elementi koji poseduju i pokazuju boju. Usled ovih osobina, legure zlata mogu da poseduju veliki opseg boja, u zavisnosti od legirnih dodataka.

U proizvodima industrije za proizvodnju nakita, boja legure igra veoma važnu ulogu, posebno u ranijem periodu, koja je procenjivana individualno, od proizvođača do proizvođača. Međutim, danas više to nije moguće, jer je ljudsko oko subjektivno. Postoje slučajevi, kada se boja određuje slučajno, posebno pri izboru lemovaca u proizvodnji i popravci nakita. Takvi slučajevi su danas fabrički i zahtevaju objektivna merenja boje. Ako i male varijacije u boji su znak neprofesionalnosti i lošeg kvaliteta, i posebno danas, može biti veoma skupo za proizvođača nakita.

Potreba za tačnim određivanjem boje dovele je do različitih sistema, uređenih da bi se pravilno procenile boje. MUNSELL sistem opisuje boju koristeći tri koordinate, koji se i dalje oslanja na ljudsko oko, a boje su opisane vizuelnim uporedivanjem sa standardnim uzorcima i pronalaženjem najsljadjih, [39,63].

Odbor udruženja zlatara i kujundžija Amerike, odredio je referentni sistem za određivanje boja, tzv. CIELAB sistem, [39,64]. Ovaj sistem je u prednosti, nad MUNSELL sistemom, jer opisuje boju matematički, [65], bez intervencije ljudskog oka, i sastavni je deo u sistemu američkog društva za ispitivanje boja i izgleda materijala.



Slika 30.- Koordinate boja u sistemu CIELAB, [66]

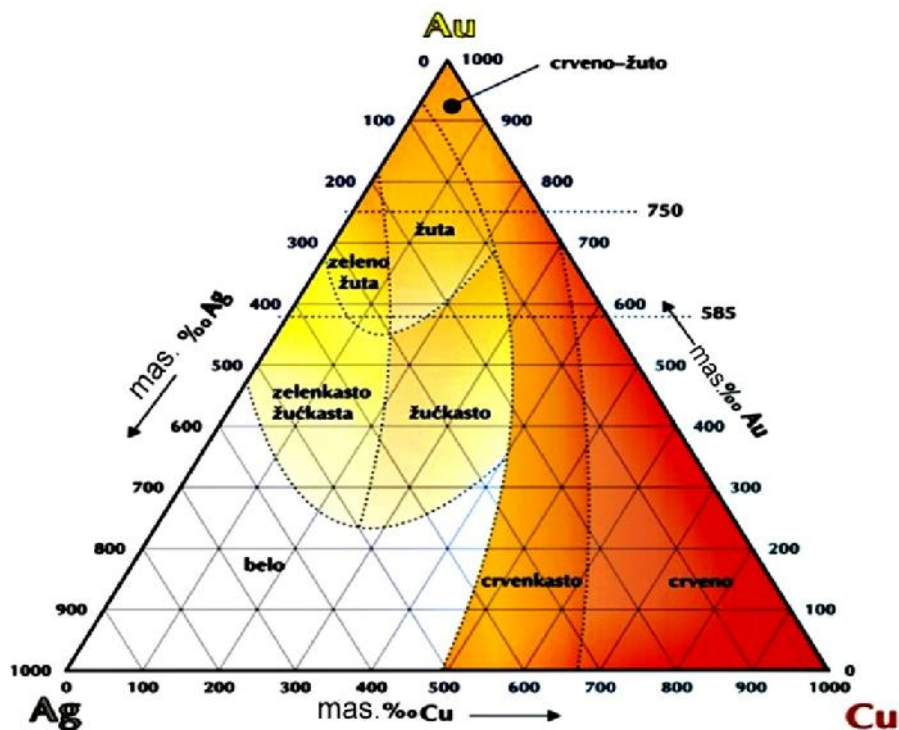
Na slici 30, prikazan je sistem za određivanje boje po CIELAB sistemu, gde se vrednost boje određuje kao $C_{\text{chroma}}^2 = a^2 + b^2$, dok je svetlost boje konstantna velicina, koja se kreće od „bele” do „crne” boje.

DIN sistem, se koristi kao Evropska referenca za boje zlata, i zasniva se na fizičkoj boji koja se upoređuje sa standardnom bojom uzorka. Nedostaci ovog sistema su da identifikacija boja zavisi od oka, a postoji i problem kod legiranja niže finote, npr. „333” ili „416”, usled tzv. „vremenske senke”, koja je rezultat reakcije legure sa sredinom, [39].

Za proizvodnju nakita koriste se legure u velikom dijapazonu boja. Metalurški posmatrano, dobijanje boje legura zlata, klasificuje se u tri kategorije:

- Trojni dijagram stanja Au-Ag-Cu i veza između boje i sastava;
- Boje intermetalnih jedinjenja;
- Obojeni površinski oksidni slojevi.

Trojni dijagram stanja Au-Ag-Cu, na kom je prikazana veza između boje legure i sastava, i koji predstavlja osnovu za proučavanje legura za nakit, prikazan je na slici 31.



Slika 31.- Trojni dijagram stanja Au-Ag-Cu, sa prikazom odnosa sastava legure i boje, u mas. %, [67]

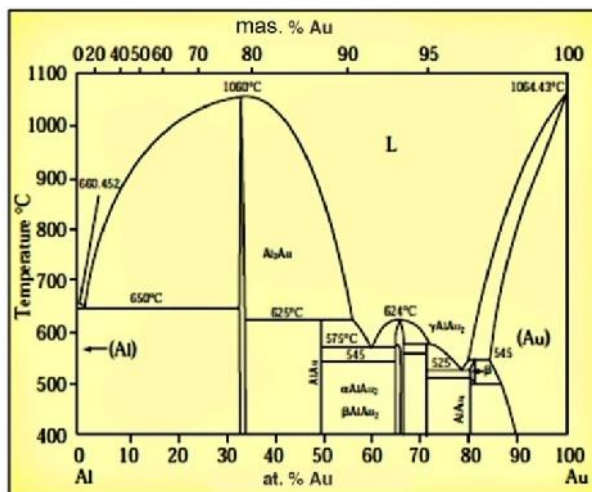
Varijacije boje od žute, crvene i zelene mogu se dobiti u različitim odnosima Au:Ag:Cu. Veliki broj nijansi i boja u Au-Ag-Cu sistemu, može se dobiti samo od varijacija komponenti, kao što je i prikazano na slici 31. Povećanjem kolичine bakra, dobija se crvenkasta (reddish) nijansa legure, dok dodavanje srebra daje leguru zelenkastom (greenish).

„Belo” zlato je takođe zasnovano na Au-Ag-Cu dijagramu stanja, ali bela boja proizilazi kao rezultat legiranja sa elementima koji poseduju osobinu da daju belu boju kao što su Ni, Pd ili Mn. Legiranje sa raznim elementima u trojnom Au-Ag-Cu sistemu, takođe se koristi za poboljšanje mehaničkih osobina, livačkih osobina, tvrdoće, itd.

Dodavanjem Zn, do 15,0 mas.%, u legure Au-Ag-Cu sistema, može se promeniti crvena boja legure bogate sa bakrom do crvenkasto-žute ili tamno-žute [41,66]. Ove legure karakteriše i dobra obradivost. Dodatak Zn utiče na odnos srebrno-nesrebrno kod AuCu, kao i na veliku dvofazne oblasti, „+”, a samim time i na karakteristike otvrdnjavanja starenjem legura, [68,69]. Odnos između sastava i boje razvijen je za legure fino zlato, „585” koje sadrže cink [70].

Legure „belog” zlata, u industriji za proizvodnju nakita, razvijene su kao zamena za platinu. Danas se najviše koriste za ugradnju dragog kamena (*diamond setting*), za izradu visoko kvalitetnog nakita visoke otpornosti, za žuto-bele zlatarske proizvode, i sl. Legure „belog” zlata koje se koriste u industriji su, danas, najviše na bazi Au-Pd-Ag, kao i više-komponentne legure na bazi Au-Ag-Cu-Zn-Pd. Nikl je korišten kao legirni element za dobijanje belog zlata, unazad dve do tri godine, ali je zakonima EU zabranjen zbog pojave alergije kod korisnika (tačka 3). Legiranje sa cinkom i paladijumom u radu je posebno obraćeno, usled njihovog uticaja na proces otvrdnjavanja starenjem, kao i uticaja na druge promene u trojnom dijagramu stanja Au-Ag-Cu.

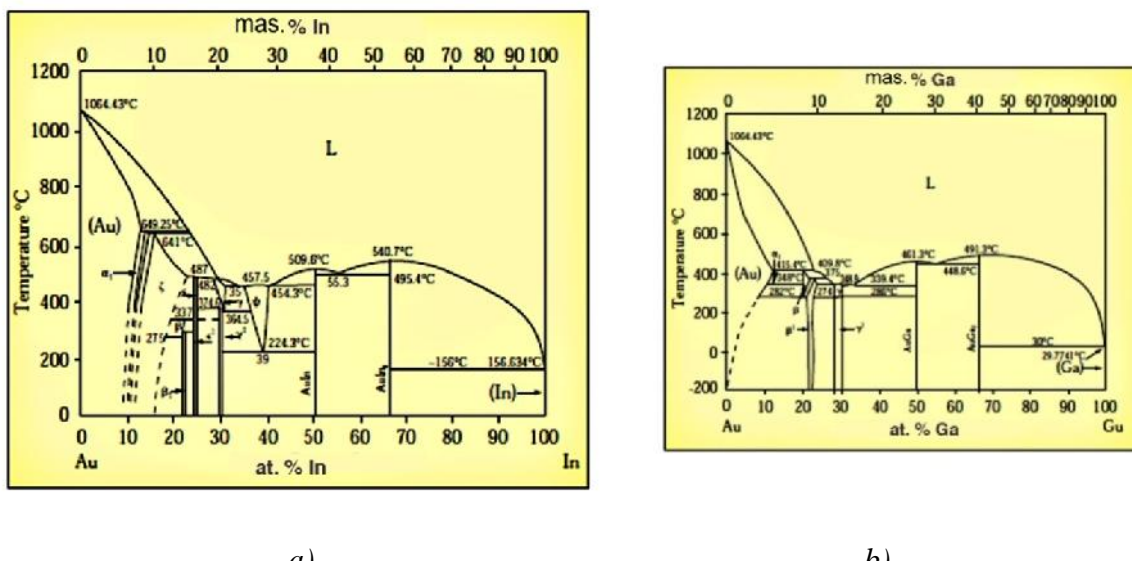
Intermetalna jedinjenja su specijalna grupa materijala, sa osobinama koje se razlikuju od osobina pojedinačnih metala, koji su u sastavu jedinjenja [21]. Intermetalna jedinjenja su obično kruta, što ih čini, u tradicionalnom smislu proizvodnje nakita, praktično neupotrebljivim, ali mogu da se koristi kao ukras na nakitu, kao intarzija, „nugget”, i sl.



Slika 32.- Dvojni dijagram stanja Al-Au, [39]

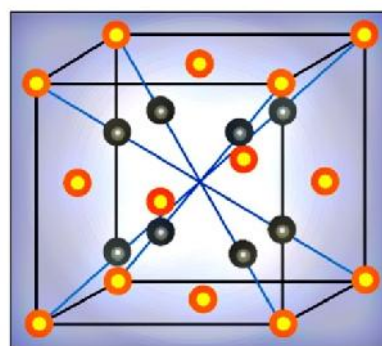
Najpoznatije među njima je jedinjenje AuAl_2 , koje se formira sa 79,0 mas.% Au i 21,0 mas.% Al, [9]. AuAl_2 ima višu tanku topljenja od svojih komponenata, kao što je i prikazano na slici 32, što ukazuje da su komponente termodinamički stabilne. Jedinjenje se odlikuje prelepom ljubičastom bojom. Pojava ovog jedinjenja, koje je veoma krto, naziva se „ljubičasta kuga”. Međutim, i pored toga što je ovo jedinjenje krto, ljubičasto zlato je stabilno jedinjenje i ne dezintegriše se termičkom obradom, [39].

Dva druga intermetalna jedinjenja koja proizvode obojene legure su AuIn_2 – sa jasno plavom bojom, i AuGa_2 – sa blago plavom bojom.

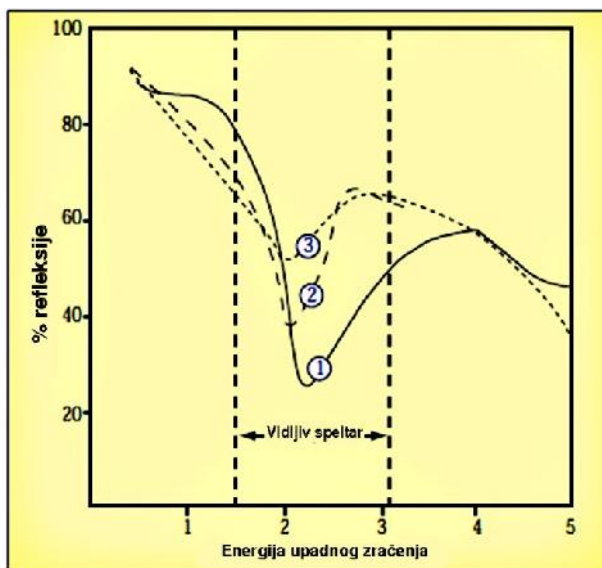


Slika 33.- Dvojni dijagram stanja Au-In, a), i Au-Ga, b), [39]

Na slici 33 prikazani su dvojni dijagrami stanja, Au-In, a), i Au-Ga, b). AuIn_2 , intermetalno jedinjenje formirano je sa 46,0 mas.% Au, a AuGa_2 sa 58,5 mas.% Au. Oba jedinjenja imaju sličnu kristalnu strukturu, kao i jedinjenja zlata ljubičaste boje, koja se zasniva na prototipu rešetke CaF_2 , što je i prikazano na slici 34.



Slika 34.- Kristalna struktura CaF_2 – prototip za AuAl_2 , AuIn_2 i AuGa_2 , [39]



Slika 35.- Zavisnost koeficijenta refleksije (R), od energije zračenja (E) kod intermetalnih jedinjenja: 1 - AuAl_2 , 2 - AuIn_2 , 3 - AuGa_2 , [39]

Intermetalna jedinjenja se, prema mnogim osobinama, ponašaju kao isti metali, što omoguava da se izrauna strukturni opseg. Refleksija, u sredini vidljivog spektra, se nalazi u minimumu, i ponovo raste u delu ljubiastog spektra, dajući raznovrsnost boja, u svakom slučaju [39,70,71]. Slika 35 prikazuje refleksiju kao funkciju energije zračenja – upadne svetlosti za AuAl_2 , AuIn_2 i AuGa_2 .

Opisane boje legure Au-Ag-Cu, imaju zajedničku karakteristiku, da je ista nijansa boje po celom poprečnom preseku. U potrazi za raznim bojama nakita, koristi se još jedna tehnika, a to je formiranje sloja oksida na površini legure, u različitim bojama, prilikom termičke obrade na vazduhu. Obzirom da zlato ne menja boju na vazduhu, koristi se osobina što legirajući elementi imaju nizak oksidacioni otpor, koji sa različitim hemijskim agensima formira oksidni sloj. Oksidni sloj je kao film na površini, i ima ograničenu debljinu, tako da može da se veoma lako pohaba prilikom eksploatacije.

Kalijum sulfid, K_2S , poznat kao „sumporna džigerica”, koristi se za legure zlata sa većom količinom bakra, pri čemu mogu da se dobiju varijacije boje od braon do crne, [72].

U praksi su poznati i drugi slučajevi, kada se dobijaju žarenjem i oksidacijom na raznim temperaturama, dobijaju se različite nijanse boja nakita od legure zlata. Rutenijum i rodijum daju lepu i bogatu safirno-plavu boju. Železo i nikl da je lepi plavo-zeleni oksidni sloj, dok je kobalt dat i približno crnu boju, itd. Otpornost na habanje povećava se dodatkom hroma, pri čemu tanki oksidni sloj Cr_2O_3 daje zeleno-maslinastu boju.

Znanje i tehnologija, stalno streme ka novim izazovima, da bi se našlo rešenje za neke nove boje legura, a samim time, i uvo enje laserske tehnologije u obradu proizvoda zlatarske industrije.

3.5.- Uticaj dodatnih legirajućih elemenata na osobine legura Au-Ag-Cu

Prikazati potpuni uticaj dodatnih legirajućih elemenata i primesa na promene osobina trokomponentnih legura sistema Au-Ag-Cu, je obiman rad, i izašao bi van ove disertacije. U radu će biti obuhvaćeni oni elementi koji se najčešće koriste za dobijanje legure određene boje, koja se koristi za proizvodnju nakita. U ovom slučaju su to legure sa dodatkom cinka, za dobijanje legure žute boje, kao i sa dodatkom paladijuma za dobijanje legure bele boje.

Na tehnološke osobine legura za proizvodnju nakita iz sistema Au-Ag-Cu, veliki uticaj imaju i primese, koje prema važećem standardu (GOST 6835-72)[12,19], ne mogu da budu, ukupno veće od 0,28mas.%. Strogo je ograničeno prisustvo najčešće pojavljivanih elemenata kao primesa u legurama za izradu nakita, i to: olovo, antimон, bizmut i železo. U procesu proizvodnje legura za proizvodnju nakita mogu da se pojave kao primese: aluminijum, kalaj, silicijum, fosfor i sumpor, koji takođe imaju uticaj na karakteristike legura.

Izrada lemove za proizvodnju nakita, stavlja pred proizvodnju nakita, pored drugih legirnih elemenata, i posebne zahteve, kao što su: niska temperatura topljenja, dobra tečljivost, boja identična sa bojom osnovne legure, odgovarajuća vrstota, i sl., što zahteva posebnu tehničko-tehnološku obradu, te ovim radom, kompletna obrada ove problematike ne bi bila moguća.

3.5.1.- Legure na bazi Au-Ag-Cu-Zn sistema

Uticaj cinka na legure Au-Ag-Cu sistema je višestrukog karaktera, i može da se karakteriše kao:

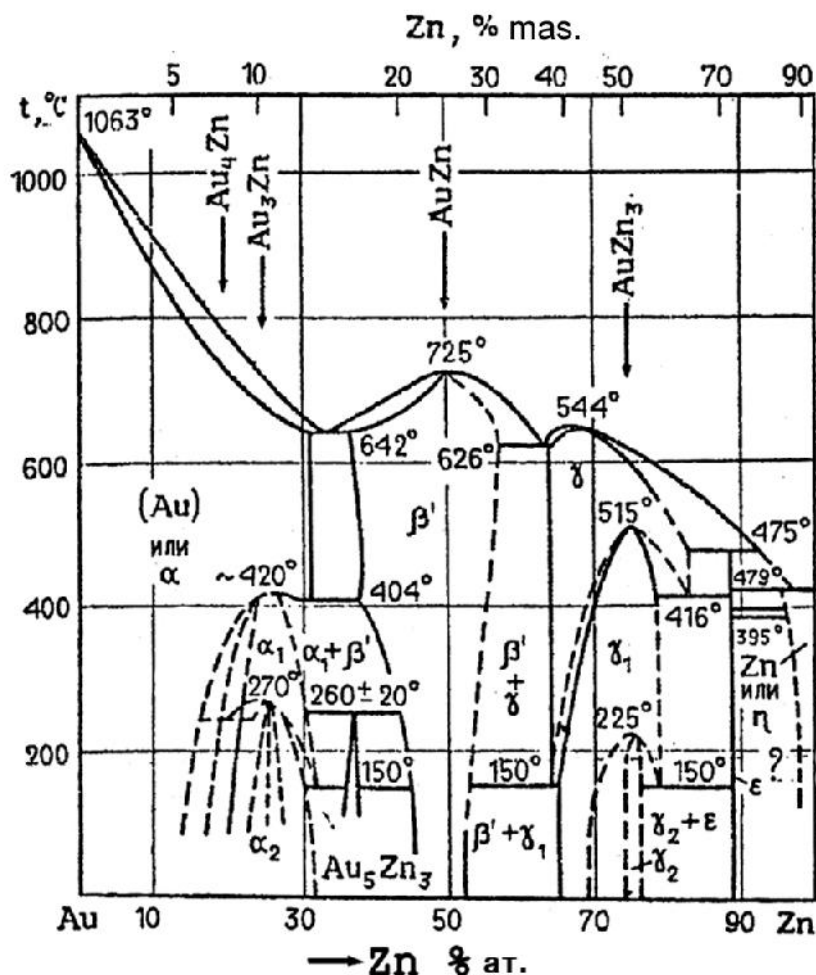
- Uticaj na kvalitet legure;
- Uticaj na boju legure.

Boja i kvalitet, kod legura Au-Ag-Cu-Zn sistema, su u direktnoj zavisnosti od količine pojedinih legirnih elemenata, obzirom da je matrica legure 58,5 mas.%Au.

Uticaj cinka na kvalitet Au-Ag-Cu legura, ogleda se u tome, da na primer, dodavanje do 0,5 mas.% Zn, kod stomatoloških legura kao i legura za proizvodnju nakita, dovodi do toga da se ubrzava proces disperzionog otvrđivanja a prilikom topljenja i livenja dolazi do dezoksidacije [19].

Sa povećanjem sadržaja cinka u leguri, dolazi do uticaja na temperaturu preobražaja iz jednofazne u dvofaznu oblast, $(\text{Au}, \text{Ag}, \text{Cu})$ – $(\text{Ag}, \text{Au})^+$ – (Cu, Au) , uticaj na smanjenje dvofazne oblasti [19,73], a što je prikazano na slici 24.

Uvo enje cinka u koli ini do 15,0 mas.% [9,74], koji može biti prisutan u Au-Ag-Cu-Zn, zlatnim legurama za proizvodnju nakita, smatra se da u ovim legurama obavlja ulogu modifikatora, tj. u metalurškom smislu usitnjavanje kristalnih zrna prilikom livenja.



Slika 36.- Dvojni dijagram stanja Au-Zn, [19]

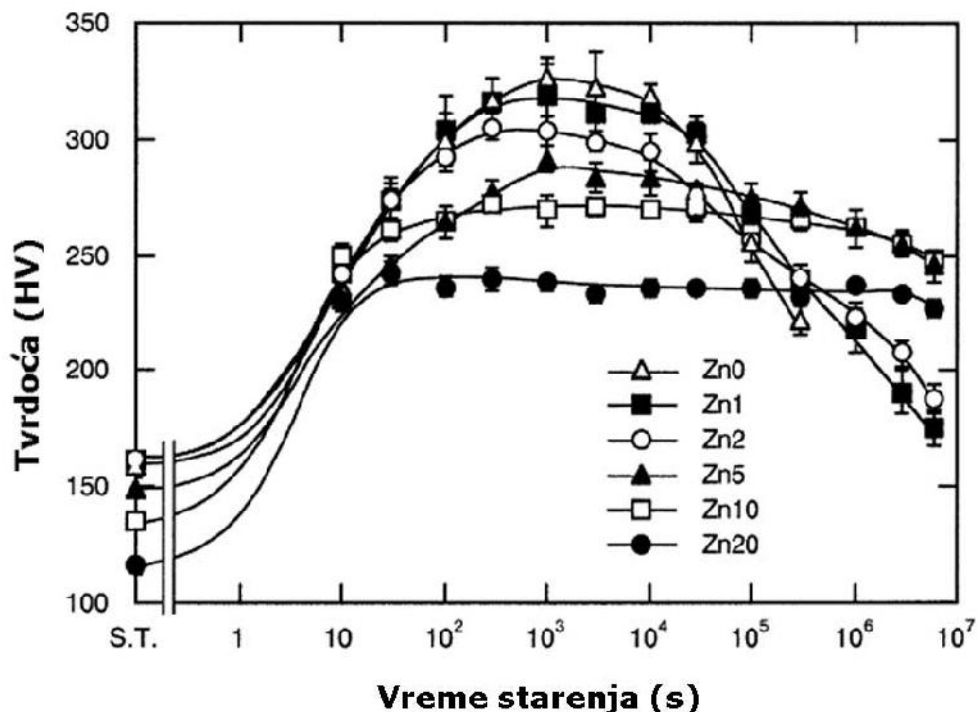
Na slici 36, prikazan je dvojni dijagram stanja Au-Zn, onako kako je danas prihvaten [19]. Kao što se vidi sa dijagrama, maksimalna rastvorljivost cinka u zlatu je oko 33,0 at.%, dok je rastvorljivost zlata u cinku max. 4,5 at.%. U sistemu se obrazuje pet hemijskih jedinjenja, tako da prilikom legiranja treba obratiti pažnju na koli inu cinka kao legirnog elementa.

Odnos između boje i sastava Au-Ag-Cu legura, prikazan je na slici 31, i to od zlatno-žute boje u uglu bogatim zlatom, preko srebrne boje u uglu bogatim srebrom, do bakarno-crvene boje u uglu bogatim bakrom. Kao što se i vidi sa same slike, bakarno-

crvena boja, nije samo dominantna u uglu bogatim bakrom, već i najveći im delom na bojnoj liniji od ugla bogatim bakrom do ugla bogatim zlatom.

Injenica, da su ove legure u crvenoj i crvenkastojoj oblasti, da bi postale žute kaste (yellowish), dodaje se u praksi cink, prilikom eksploatacije. Legiranje cinkom, što može biti do 15,0 mas.%, ima tendenciju da smanji nerastvorljivu dvofaznu oblast vrstog rastvora ($(\text{Ag}, \text{Au})^+$ – (Cu, Au)), sa slike 24, ali i u trojnom dijagramu stanja, što je vidljivo sa slike 18. Prouzrokovanjem suženja i smanjenja visine u dvofaznoj oblasti, na svakom delu sa konstantnim sadržajem zlata, dovodi do toga da Au-Ag-Cu-Zn legure su mekšе od sličnih Au-Ag-Cu legura, u žarenom stanju, i u stanju otvrđivanja precipitacijom, [40].

Poznato je da cink, koji kristališe po g.p.h. – rešetki, zbog prenika atoma, koji ulazi u opseg $\pm 14,0\%$ veličine ostalih prenika atoma u leguri,[21], da bi došlo do supstitucijskog vrstog rastvora, po tom osnovu ulazi u rešetku AuCu I, koja je površ.c.t. rešetka, i pakuje se po ravni (002) u kristalnoj površ.c.k. – rešetki, po kojoj kristališu svi ostali legirajući elementi, [33,75]. Ulaskom cinka u AuCu – površ.c.t. rešetku, dolazi do smanjenja domena, prikazano na sl.13, što dovodi do stabilizacije ovih struktura, AuCu I i AuCu II, [30].



Slika 37.- Krive otvrđivanja starenjem za legure sa matricom Au-50,0 at.%, Zn – na slici, Cu – resto, $t_{const.} = 250^\circ\text{C}$, u zavisnosti od vremena starenja, [76]

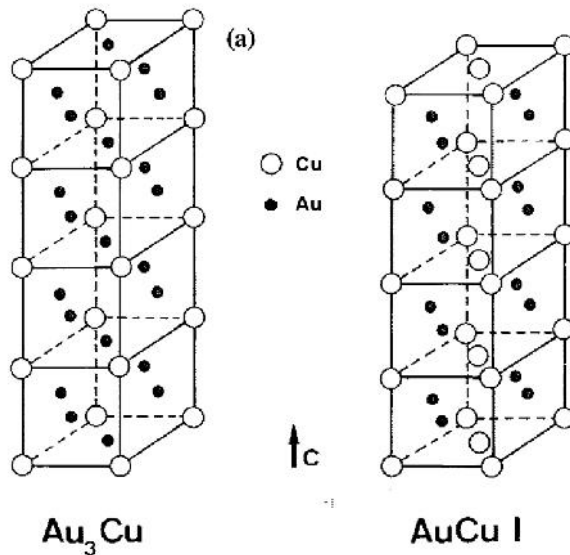
Slika 37 prikazuje promene tvrdoće pri različitom sadržaju cinka kod pseudo-binarnih legura AuCu-Zn [76], pri konstantnoj temperaturi od 250°C, a pri različitom vremenu trajanja starenja. Dodavanje cinka ravnotežnom AuCu, povećava brzinu starenja, ali se na taj način izbegava prestarevanje [68,76].

3.5.2.- Legure Au-Ag-Cu-Pd sistema

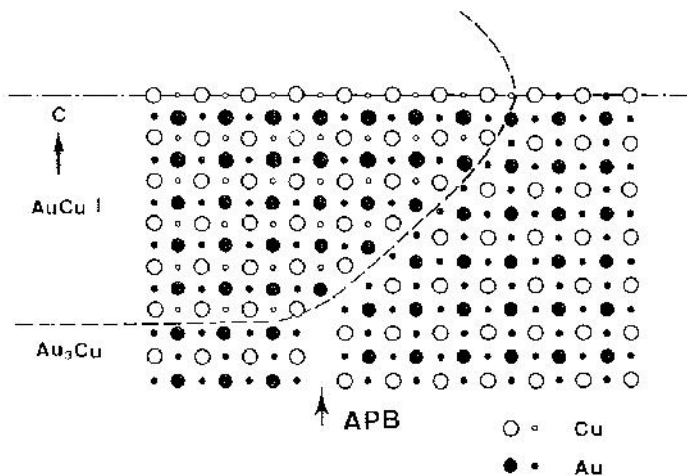
Do 2002. godine, praktično sa prelaznim periodom od 2002. do 2004. godine, kada su usvojeni Zakoni o zabrani legiranja niklom, usled utvrđivanja pojave alergije na nikl, [4,77], za dobijanje legura, tzv. „belo“ zlato, u zlatarstvu je otpočelo legiranje sa paladijumom. Legure paladijuma sa prelaznim elementima, se relativno lako dobijaju u amorfnom stanju, metodom brzog hlađenja iz rastopa [78,79]. Legure zlata sa paladijumom su korišćene i ranije, tokom dvadesetog veka, ali najčešće kao zubne legure, i to najčešće iz razloga što je skupa platina zamjenjena jevtinijim paladijumom.

Kod legura Au-Ag-Cu-Pd sistema sa dodatkom cinka, otvrđivanje usled starenja postiže se u sistemima Au-Cu i Ag-Cu, [80]. U Au-Cu sistemima ovačavanje legure se ostvaruje stvaranjem AuCu I, srećne strukture, što je i delom objašnjeno u tački 3.2.1 – rada, pri čemu je relevantno da se na ravni (002) površi će rešetke naizmenično smenjuju ili svi atomi zlata ili svi atomi bakra, [16, 81]. Obzirom da je, velika različica atoma zlata i bakra dolazi do stvaranja i krivljivanja rešetke. Ovim načinom, povećanjem srećne oblasti posebnog mehanizma dovodi do stvaranja dvojnika, slika 14, [16,33]. U Ag-Cu sistemu, legure otvrđuju zahvaljujući mehanizmu faznog razdvajanja, usled čega dolazi do stvaranja dvofaznog područja tokom procesa starenja, [80].

Uvećanjem paladijuma i cinka u trojne legure Au-Ag-Cu, dolazi do veoma kompleksnih promena u strukturi materijala, [82,83]. U toku proučavanja mehanizma otvrđivanja usled starenja [80], kod legura Au-Ag-Cu sa paladijumom i cinkom, pri starenju na 400°C, došlo je do spinodalnog razlaganja po etne (γ) faze na “-bogatu srebrom i “-bogatu bakrom, što je dovelo do naglog povećanja tvrdoće, i vidno odloženog omekšavanja zbog ujednačenje fine spinodalne strukture, [84]. Tako je pri starenju ovih legura u opsegu od 200°C do 500°C, [82], došlo do stvaranja metastabilne AuCu I pločaste strukture koja sadrži Pd, i što je dovelo do vidnog otvrđivanja. Tako je pronađeno da, kod legura koje sadrže relativno veću količinu paladijuma, odgovarajući termičkim obradama dolazi do prelaska deformacije sa srećne AuCu I u srećnu Au_3Cu fazu, [81].



Slika 38.- Šematski prikaz četiri jedini ne-elije Au₃Cu-super rešetke i AuCu I-super rešetke, (odnos c/a prikazan je u razmeri),[79]



Slika 39.- Šematski prikaz jednog AuCu I – taloga u Au₃Cu – matrici, za odnos c/a = 0.9. (Veliki krugovi su na nivou „0”, dok su mali krugovi na nivou „1/2”), [79]

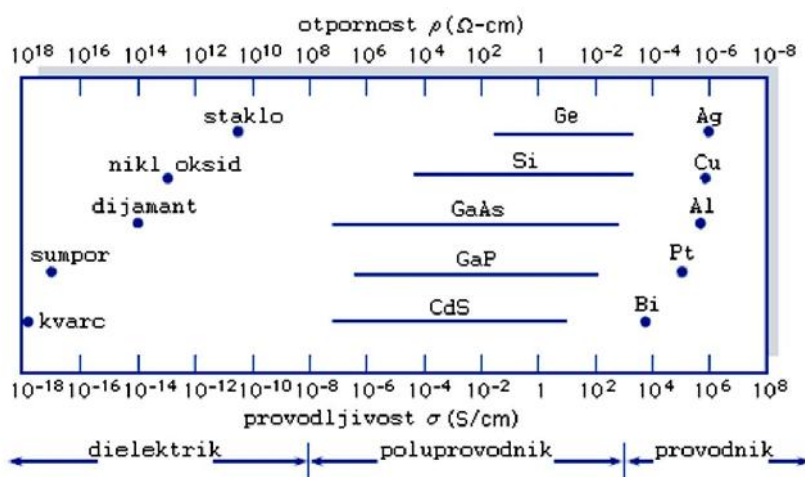
Kao primer, kod zubnih legura, sa visokim sadržajem zlata, i relativno visokim sadržajem paladijuma, stvaranjem Au₃Cu – pločica, kao matrica legure, AuCu I se pojavljuje kao talog, koji je koherentan sa matricom, dovodi do značajnog naprezanja, što daje veliki doprinos pri otvrdnjavanju legura starenjem, [80-84]. Na slici 39, šematski je prikazan AuCu – talog u matrici Au₃Cu, pri čemu je odnos c/a = 0.9 [81]

Granica antifaznog domena (APB), se automatski generiše, u obliku kontinuiteta atoma bakra, duž centra taloga (precipitata), kao što je i prikazano na sl.39, što ustvari predstavlja koherentnost taloga sa matricom.

4.- ELEKTRIČNA PROVODLJIVOST METALA

Jedna od veoma važnih osobina materijala je lakoća sa kojom materijal provodi električnu struju, odnosno specifična električna otpornost materijala (ρ m). U praksi se za izražavanje električnih osobina materijala takođe koristi i specifična električna provodljivost (σ m $^{-1}$) ili (Sm^{-1}), koja predstavlja recipročnu vrednost specifične električne otpornosti. Njena vrednost zavisi od niza inimaca (sastav i struktura materijala, temperatura, pritisak, vlažnost, itd.).

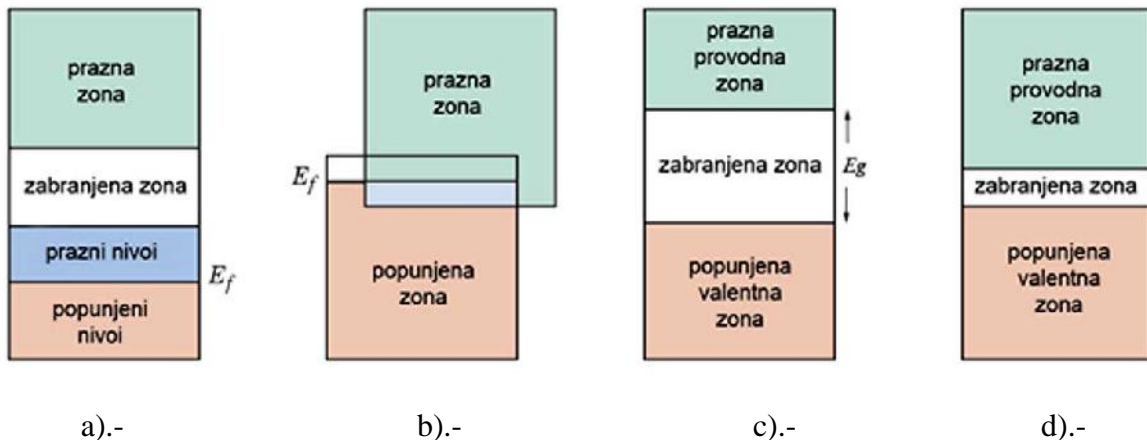
Prema vrednosti specifične električne provodljivosti, odnosno otpornosti, može se izvršiti podjela materijala na: provodnike, poluprovodnike i dielektrike (izolatore). Na sobnoj temperaturi i ostalim normalnim uslovima specifična električna provodljivost dielektrika je od 10^{10} do 10^{20} (m) $^{-1}$, poluprovodnika od 10^6 do 10^4 (m) $^{-1}$ i provodnika od 10^4 do 10^8 (m) $^{-1}$. Najveća u grupu provodnih materijala spadaju metali i njihove legure, i njihova je električna provodljivost reda veličine 10^7 (m) $^{-1}$. Na slici 40, prikazane su vrednosti specifične električne provodljivosti (otpornosti) za nekoliko odabralih materijala [85]



Slika 40.- Specifična električna provodljivost (otpornost) nekoliko materijala, [86]

Električna provodljivost, kod većine istih materijala potiče od kretanja elektrona unutar materijala, pod uticajem spoljašnjeg električnog polja. Praktično, kod svih provodnih i poluprovodnih materijala kao i većine dielektrika, električna provodljivost je direktno zavisna od broja raspoloživih elektrona koji mogu da učestvuju u procesu provođenja. Broj ovih elektrona zavisi od raspodele elektrona po energetskim nivoima, kao i načina na koji su ovi nivoi popunjeni. Koncept, koji se zasniva na energetskom stanju elektrona uvodi pojam energetskih zona (traka) elektrona, koje nastaju, cevanjem energetskih nivoa elektrona pod uticajem susednih atoma i direktno zavisi od

među atomskog rastojanja. Na slici 41 prikazane su četiri strukture energetskih zona koje se mogu razlikovati na temperaturi od 0K, [87].



Slika 41.- Struktura energetskih zona materijala u vrstom stanju na 0K, [87]

Prva prikazana struktura, slika 41 a), koja je tipična za metale, sadrži delimićno popunjenu energetsku zonu, a energija koju poseduju elektroni iz popunjenoj energetskog nivoa na 0K, naziva se Fermijeva energija ili Fermijev nivo, E_f . Druga struktura, slika 41 b), takođe je karakteristična za metale, u kom slučaju se popunjena i prazna energetska zona preklapaju. U ovom su električne energije u estvuju samo slobodni elektroni tj. elektroni sa energijom većom od energije Fermijevog nivoa. Obzirom da se odmah iznad poslednjeg popunjeno nivoa, E_f , nalaze prazni energetski nivoi, potrebna je veoma mala količina energije da bi elektroni slobodni, odnosno i slabu električnu polje je dovoljno da ekscitira veliki broj elektrona u provodnu zonu.

Treća i četvrta struktura na slici 41 c) i d), su slične i sastoje se iz potpuno popunjene valentne zone i prazne provodne zone, koje su razdvojene zabranjenom energetskom zonom. Kod dielektričnih materijala, pri temperaturama bliskim apsolutnoj nuli, zabranjena energetska zona širine nekoliko elektron volti (obično > 2 eV) razdvaja u potpunosti popunjenu valentnu zonu od potpuno prazne provodne zone. Da bi se elektroni oslobodili atomskih veza i postali slobodni kod dielektrika, tj. da bi prešli iz valentne u provodnu zonu, potrebno im je predati relativno veliku energiju. To predstavlja, da pri relativno normalnoj veličini električnog polja u dielektriku materijalu ne postojati slobodni elektroni, pa su, usled te osobine, ovi materijali izolatori.

Širina zabranjene energetske zone, kod poluprovodnika je različita od nule, ali je manja nego kod dielektrika. Na slici 41 d), vidi se da je kod poluprovodnika, na apsolutnoj nuli (0K), valentna zona potpuno popunjena dok je provodna zona potpuno prazna. To odgovara strukturi dielektrika, pa na niskim temperaturama poluprovodnici i imaju dielektrična svojstva. Sa porastom temperature poluprovodnih materijala, neki od valentnih elektrona dobijaju toplostnu energiju, koja je veća od širine zabranjene

energetske zone i postaju slobodni. Pošto se ovakvi elektroni mogu usmereno kretati, ak i pod dejstvom slabog električnog polja, oni će provoditi električnu energiju.

Zlato kao plemeniti metal poseduje visoku vrednost električne provodljivosti, odnosno samo srebro i bakar imaju veću električnu provodljivost po jedinici zapremine [88], ali se njegova prednost, u odnosu na pomenute metale, ogleda u izuzetnoj otpornosti na koroziju i oksidaciju. Navedene osobine su uticale na injenicu da je zlato postalo nezaobilazan i veoma značajan materijal za razvoj najsavremenijih i visokopouzdanih tehnoloških rešenja u elektronici i komunikacijama [88]. Primena zlata u elektricnim kontaktorima osigurava dobru i pouzdanu vezu, te se zlato koristi za povezivanje različitih i skupih elektronskih, audio, video i USB kablova.

Primena zlata u izradi električnih kontakata je takođe znana, posebno za izradu klizajućih kontakata koji rade u vlažnim sredinama ili drugoj vrsti korozionih atmosfera. Posebno je znana za izradu elektro-kontakata u skupim i zahtevnim uređajima, kao što su kompjuteri i komunikaciona oprema za specijalnu namenu, narođeno ito u vazduhoplovnoj i kosmičkoj tehnologiji [88].

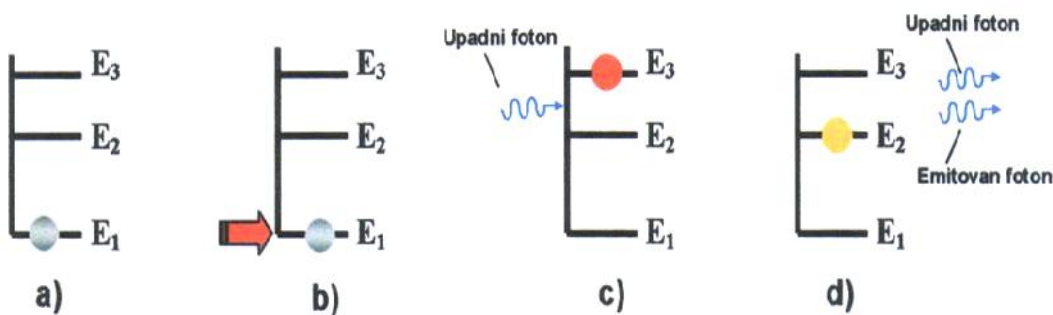
Zlato se u elektronici primenjuje kao legura sa drugim plemenitim metalima, kao što su Pt, Rh, Pd, Ag, a takođe i sa bakrom. Zbog svojih električnih osobina, otpornosti na koroziju kao i izrazite duktilnosti, i injenice da je ekološki veoma prihvativljivo, nije štetno po ovekovo zdravlje i okolinu [89], zlato je, bez obzira na visoku cenu, našlo veliku primenu u poluprovodničkoj tehnologiji, ili u obliku tankih filmova ili za povezivanje u poluprovodničkim uređajima finim zlatnim žicama, tzv. „wire bonding“.

Iako je u ovom radu težište sprovedenih istraživanja na legurama Au-Ag-Cu, prvenstveno za primenu u zlatarskoj industriji, eksperimentalni deo istraživanja obuhvatilo je i ispitivanje električne provodljivosti legura, obzirom na znane ajzlate i legura sistema Au-Ag-Cu, za primenu u elektrotehnici i elektronici.

5.- LASER U PROIZVODNJI NAKITA

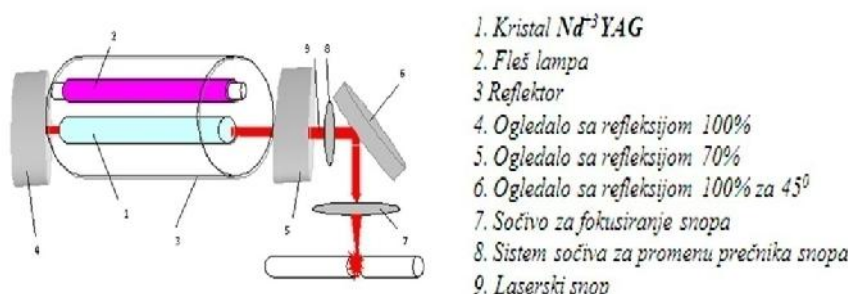
Rez LASER je akronim za „Light Amplification by Stimulated Emission of Radiation“ (Povećanje svetlosti stimulisanom energijom radijacije), i proizvodi laserski zrak, koji je izvor konzistentne i monohromatske svetlosti, koja može biti jasno fokusirana sa obezbeđivanjem jake i kontrolisane topline na limitiranu zonu proizvoda. Najčešći tip lasera u proizvodnji nakita je tipa Nd³⁺YAG (Kristal: *Ytrium Aluminium Garnet*, u koji su uključeni joni *Neodimijuma* – Nd³⁺).

Nastanak laserskog zračenja i dobijanja laserskog snopa, vezuje se za kvantne procese koji se javljaju u fizici atomskih i molekularnih procesa [90]. Emitovanje laserskog snopa nastaje kao posledica prelaska elektrona sa jednog višeg, na drugi niži nivo.



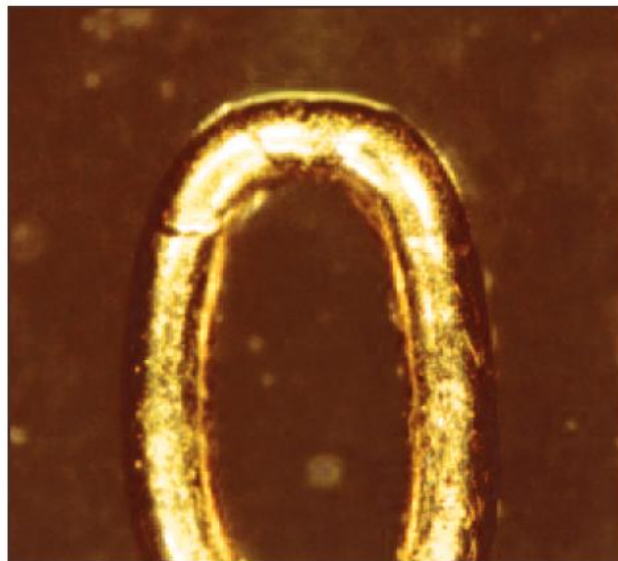
Slika 5.1.- Nastanak laserskog zračenja stimulisanim emitovanjem fotona

Na slici 5.1 a) predstavljeno je polazno energetsко stanje atoma. U stanju slika 5.1b), na atom se deluje nekom energijom, i prelazi u poboljšano stanje, slika 5.1c) [91-93]. Oslobođanjem dva fotona, slika 5.1d) atom se vraća u niže energetsко stanje. Ponavljanjem procesa nastaje lančana reakcija, pri čemu se emituje veoma koherentan svetlosni snop, tzv. laserski snop.

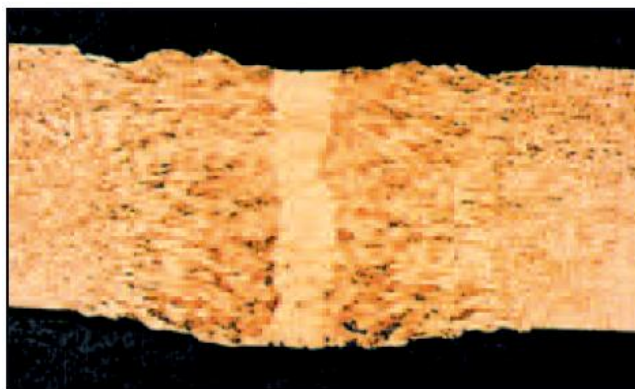


Slika 5.2.- Šematski prikaz laserskog uređaja za zavarivanje [94]

Lasersko zavarivanje je posebno dobilo na značaju u proizvodnji nakita, kao i za zavarivanje alkica pri proizvodnji lanaca [95]. Razvojem opreme za lasersko zavarivanje, postale su moguće razne druge delatnosti u proizvodnji nakita, kao što su: popravke i slične intervencije na nakitu, pri vršivanju i privarivanje delova za naknadno lemljenje gotovih proizvoda, i sl.



Slika 5.3.- Alkica lanca, u zlatu fino e 750/1000, zavarena laserom [95]



Slika 5.4.- Optička mikrofotografija osnove prstena zavarene laserom [95]

Laseri za zavarivanje u zlatarstvu su pulsirajući i relativno male snage. Sistem od više ogledala fokusira zrak i daje mu oblik, i koji je idealan, ukoliko je u zoni zavarivanja cilindričnog oblika. Na taj način se povećava dubina polja delovanja za nekoliko milimetara, što nadoknada uvećane varijacije koje su posledica rukog pozicioniranja komada. Prenosivi laserski aparati, za zavarivanje u proizvodnji nakita, imaju ugrađeni stereoskopski mikroskop sa rešetkom, za pozicioniranje mesta za zavarivanje.

Promenljive veličine, prilikom laserskog zavarivanja, su: napon pri stvaranju impulsa (V), vremenu trajanja impulsa (ms), frekvencija (Hz) i fokus (numerik a vrijednost) [94].

Povećanjem napona, povećava se dubina penetracije zraka u metal, dok se povećanjem impulsa povećava ukupna energija impulsa i lateralno gubljenje toplote. Povećanjem prenika zraka, povećava se lateralno gubljenje toplote pre nego penetracije.

Velika refleksija zlata i legura zlata za proizvodnju nakita, može stvoriti probleme prilikom zavarivanja laserom. Laser Nd³⁺YAG, najpogodniji je za ove uslove, ali je u nekim slučajevima potrebno povećati apsorpciju zatamnjivanjem zone delovanja.

Zavarivanje laserom nudi mnoge prednosti, u odnosu na zavarivanje i lemljenje plamenom:

- °- Obzirom da se van zone varanja stvara mala količina toplote, može se izvesti var u neposrednoj blizini kamena, tj. na držačima kamena na nakitu - „krapna“;
- °- Za zavarivanje nije neophodan dodatni materijal: elektrode, lem, i sl.;
- °- Izvršioc može rukama držati komade za zavarivanje, te se može reći da je potrebno mnogo manje alata za pridržavanje i pri vršivanje. Ruke se uvlače kroz otvore sa strane uređaja, pa se i ruke i proizvod nalaze u unutrašnjosti aparata;
- °- Zagrevanje je lokalizovano i može se izvesti više zavarivanja na jednom mestu bez straha da će se predhodno uravnavati varovi otopiti;
- °- Ukoliko se koristi dodatni materijal, to je ista legura kao i sam proizvod, tako da se ne može pojaviti problem razlike finog ili neu jednačenosti boje. Ovo je posebno važno u slučaju ajevima legura zlata visoke finčine, 900/1000 i više, za koje ne postoje odgovarajuće legure za lem;
- °- Osnova prstena može biti zavarena laserom, slika 5.4, ali zbog dobijanja dovoljne debljine, kao i poliranja koje sledi, neophodno je više slojeva varanja;
- °- Iskustvo je pokazalo da su laserski varovi otporniji i duktilniji od klasičnih, i da je njihova poroznost niska ili jednaka nuli;
- °- Zavarivanjem laserom izbegavaju se problemi toksičnosti, koji su posledica nekih komponenata legura, kao što npr. kadmijum, i sl.;

Pri zavarivanju laserom postoje i nedostaci u proizvodnji nakita. Kod zavarenih spojeva dolazi do pojave mehurića metala na mestu varanja, koji se naknadno moraju ukloniti brušenjem i poliranjem. Sa izuzetkom proizvodnje lanaca, teško se prilagodi varu serijskoj proizvodnji. U nekim slučajevima pozicija sastava onemogućava operaciju spajanja, jer se lasersko zavarivanje odvija na „liniji vidljivosti“, [95].

6.- EKSPERIMENTALNI DEO

6.1.- Predmet i cilj istraživanja

Opšte je poznato da je osnovna namena nakita za upotrebu kao modnog detalja. Korišćenjem nakita, pokazuje se društveni položaj, imovno stanje, a proučavajući nivo nakita, može se utvrditi i stepen obrazovanja vlasnika, kulturni nivo, i to od pre oko 3000 - 4000 godina pa do danas.

Postoji uvreženo mišljenje, uključujući i veliki broj inženjera i tehničara, da samo „teška industrija“ poseduje najsloženije tehnologije. Međutim, za izradu nakita, koji su delovi sitni i malih dimenzija, da bi savršeno izgledali, potrebno je uključiti stručnjake raznih profila, i to: dizajna, metalurgije, mašinstva, površinske zaštite, i druge. Tako je potrebno, a danas se i primenjuje, najsavremenija oprema sa kompjuterskim upravljanjem, počev od opreme za obradu i preradu metala, pa sve do lasera. Proizvodnja nakita predstavlja izuzetan skup složenih tehnologija obrade, kakav se retko sreće kod nekih drugih proizvoda, bilo iz tehnike ili iz običnog života.

Nakit je prilikom eksploracije izložen jednoj agresivnoj sredini - „ljudskom znoju“, koji je približnog sastava: 5 delova $C_2H_4O_2$ (sirćeta kiselina), 5 delova NaCl (kuhinjska sol) i 100 delova H_2O (voda), i kiselog je karaktera, što može negativno uticati na pojavu napravljiva na proizvodu, a i na sam vek trajanja proizvoda, [47-49]. Atmosferski uticaj okoline, tako je negativno uticati na rok trajanja nakita [96], koji u sadejstvu sa ljudskim znojem, stvara još agresivnija jedinjenja.

Nakon obrade plastičnom deformacijom i drugim oblicima mehaničke obrade, kao i lemljenjem i zavarivanjem, u proizvodu i dalje postoje unutrašnji naponi, tzv. zaostali naponi. Zaostali naponi se definišu kao naponi koji ostaju u nekom materijalu ili proizvodu nakon proizvodnje i obrade, bez prisustva spoljašnjih sila ili termičkih razlika u unutrašnjosti [28,97]. Zaostali naponi se definišu, tako je, i u zavisnosti od mesta nastanka, kao naponi: I vrste – makroskopski zaostali naponi, II vrste – zaostali naponi među zrnima ili III vrste – zaostali naponi koji deluju na atomskom nivou, i koji su uvek štetni, jer uvek dovode do napravljiva i lomova kako u materijalu tako i u gotovom proizvodu.

Ispitivanje trojnog dijagrama stanja Au-Ag-Cu, još uvek je u toku, i još uvek nije dovoljno istražen. Promene dijagrama na temperaturama ispod 400°C, odnosno na temperaturama starenja, kada nastaju strukturni preobražaji u prvom stanju, su nepoznana u svetu nauke. Procesi zagrevanja i hlađenja, prilikom izrade predmeta od legura zlata, su redovno prisutni, i sa ovim parametrima treba biti veoma osetljiv i pažljiv, jer mogu dovesti do napravljiva u gotovom proizvodu, od transkristalnih do vidljivih golim okom.

Trojni sistem Au-Ag-Cu, je sistem legura od posebnog značaja, kod koga se stvara spoj dvofaznog područja od dvojnih Ag-Cu legura, kao i sklonost ka nastajanju srećnih faza

od sistema Au-Cu. Oba mehanizma, razdvajanje faza (u Ag-bogatu i Cu-bogatu fazu), kao i atomsko sređivanje (unutar Cu-bogate faze), mogu da daju legure sa toliko željenom osobinom, otvrđivanje starenjem.

Materijal koji poseduje mogunost za otvrđivanje starenjem, nudi prednost da, mašinski ili ručno zlatarski proizvod od mekane i lako plastične obradive legure dobijene raznim oblicima plastične i termičke obrade, nakon izrade se putem jednostavne termičke obrade, prevede u proizvod koji je tvrd i otporniji. Međutim, akcijski u gotovom proizvodu materijal treba da poseduje zahtevane osobine u smislu odgovarajuće elastičnosti, i ostalih mehaničkih osobina, obzirom na potrebe pri eksploataciji, [98].

Cilj istraživanja u radu, (takođe 2), pored doprinosa fundamentalnog proučavanja trojnog dijagrama stanja Au-Ag-Cu, je i određivanje optimalnih tehnoloških parametara za dobijanje kvalitetnih proizvoda. Cilj ovog rada, je takođe, uzimajući u obzir vrednost, kako ekonomsku tako i emocionalnu, da se dobije proizvod sa maksimalnim vekom trajanja, tj. praktično neograničenim vekom trajanja, sa osobinama koje se posebno zahtevaju od legura za proizvodnju nakita, a to je, odličan estetski efekat.

Legure zlata koje mogu da termički održavaju starenjem igraju veoma važnu ulogu u zubarstvu – stomatologiji, a sve više i u proizvodnji nakita. Za povećanje tvrdoće starenjem odgovorni su, kako sređeno kristalne strukture, tako i pojava taloga (precipitata), i njihova kompleksnost još uvek nije dovoljno razjašnjena. Ovo i nije iznenadujuće, obzirom da je dosta teško objasniti mehanizam otvrđivanja složenih legura sa etiri ili pet komponenti.

U eksperimentalnom delu korištene su različite savremene analitičke metode i tehnike, da bi se uradila:

- °- analiza mikrostrukture za sve tipove istraživanih sistema više-komponentnih legura na bazi zlata i na bazi srebra, u kojoj je konvencionalnom metodom optičke mikroskopije za uzorke u početnom stanju - „O.S.”, uzorke sa maksimalno ostvarenom tvrdoćom u procesu starenja i za uzorke izložene procesu starenja na temperaturi rekristalizacije;
- °- analiza mikrostrukture primenom visoko-rezolutivne skeniranje elektronske mikroskopije (SEM), vršena je sa reprezentativnim uzorcima istraživanih sistema legura, odnosno na uzorcima na kojima su postignuti maksimalni rezultati održavanja u procesu starenja;
- °- analiza hemijskog sastava za reprezentativne uzorke radijena je primenom energo-disperzionalne spektrometrijske analize (EDS), tj. mikroanaliza na posmatranoj površini poprečnog preseka ispitnih uzoraka legura.

U radu je posebna pažnja usmerena na promene tvrdoće istraživanih sistema legura, kao posledica mikrostrukturnih promena, u realnom vremenu, na temperaturama od sobne

pa do temperature rekristalizacije. Pod realnim vremenom podrazumeva se vreme koje se najčešće primenjuje u termičkoj obradi u proizvodnom procesu a to je, za proizvode debljine do 1 mm, do maksimalno 60 min.

Tako je proučena i promena električne provodljivosti istraživanih legura, što može da daje dobar uvid u promene u samom materijalu, u okviru relacije: hemijski sastav – režim termomehaničke obrade – mikrostruktura.

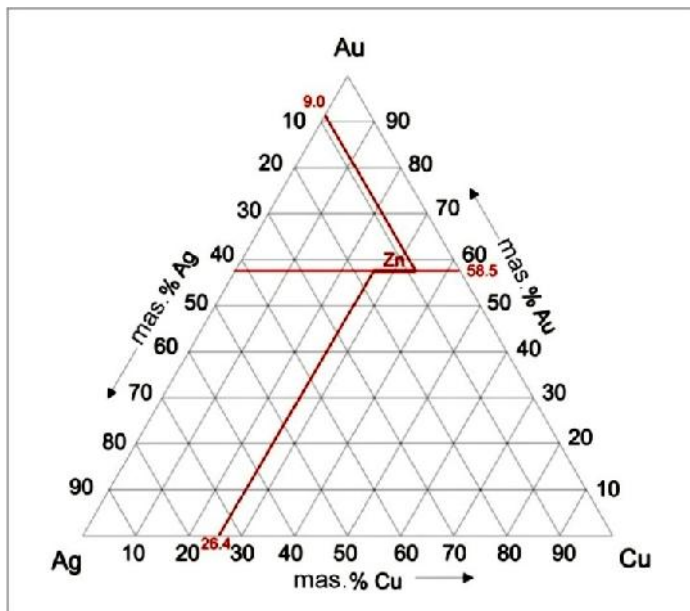
Sa posebnom pažnjom, su predstavljeni i razmatrani rezultati metalografskih ispitivanja kao i rezultati ispitivanja SEM uređajem, odnosno mikrostrukturne analize, za sve tipove legura koje su proučavane u radu. Razmotren je uticaj mikrostrukturnih promena na mehaničku i električnu svojstva najvažnijih višekomponentnih sistema legura na bazi zlata i srebra.

6.2.- Izbor legura za ispitivanje

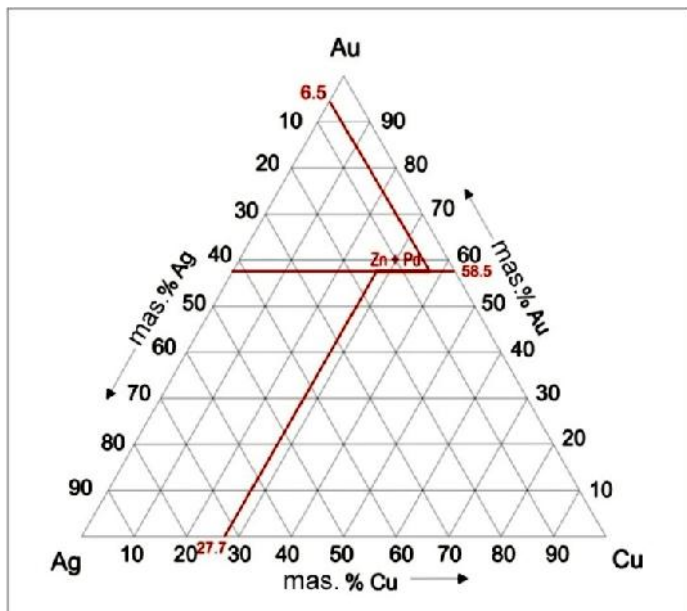
Za ispitivanje su odabrane legure koje najčešće koristi većina proizvođača nakita pri masovnoj proizvodnji [5]. Saglasno potrebama tržišta u Republici Srbiji odabrana su tri tipa legura najčešće korištene, od kojih je jedna „žute“ boje, druga „bele“ boje a jedna je legura srebra (tab. 4.4.2.), [66,67]. Sastav ovih legura prikazan je u tabeli 3, iz koje se vidi sadržaj pojedinih elemenata u masenim udelicima (mas.%), i to kako za leguru zlata, tako i za leguru srebra. Sve tri legure se nalaze na trojnom dijagramu stanja Au-Ag-Cu;

Tabela 3.- Sastav i oznake legure za ispitivanje

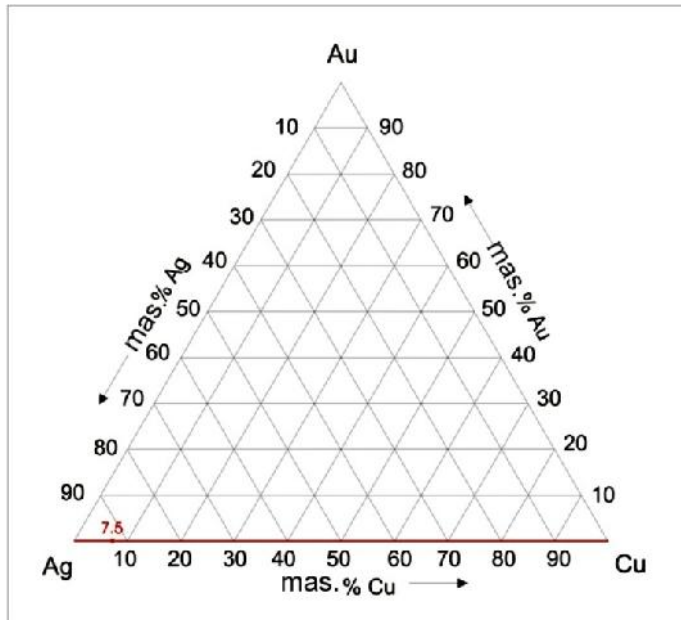
Oznaka legure	Sastav legure, Mas. %					Boja	Primedba
	Au	Ag	Cu	Zn	Pd		
L-1	58,5	9,0	26,4	6,1		„žuta“	
L-2	58,5	6,5	27,7	1,6	5,7	„bela“	
L-3		92,5	7,5			„srebro“	



Slika 42.- Pložaj legure „L-1“ na trojnom dijagramu stanja Au-Ag-Cu,[5]



Slika 43.- Položaj legure „L-2“, na trojnom dijagramu stanja Au-Ag-Cu, [5]



Slika 44.- Položaj legure „L-3“, na trojnom dijagramu stanja Au-Ag-Cu, [5]

Na slici 42 prikazan je položaj legure „L-1“, na trojnom dijagramu stanja Au-Ag-Cu, na slici 43 prikazan je položaj legure „L-2“, dok je na slici 44 prikazan položaj legure „L-3“ (tabela 3). Legure „L-1“ i „L-2“, nalaze se na liniji „585“ (58,5 mas.% Au), i kao što je prikazano na slikama 42 i 43, između srebra i bakra do 100,0 mas.%, nema je legiranje cinkom, odnosno cinkom i paladijumom. Legura „L-3“ nalazi se na ivici trojnog dijagrama stanja Au-Ag-Cu, odnosno na dijagramu Ag-Cu (slika 3).

6.3.- Priprema uzoraka za ispitivanje

6.3.1.- Topljenje metala – izrada legura

Topljenje, izrada i livenje legura plemenitih metala su, kao i u proizvodnji svih ostalih metalnih proizvoda, prve tehnološke operacije, bez obzira na to kakav će biti finalni proizvod.

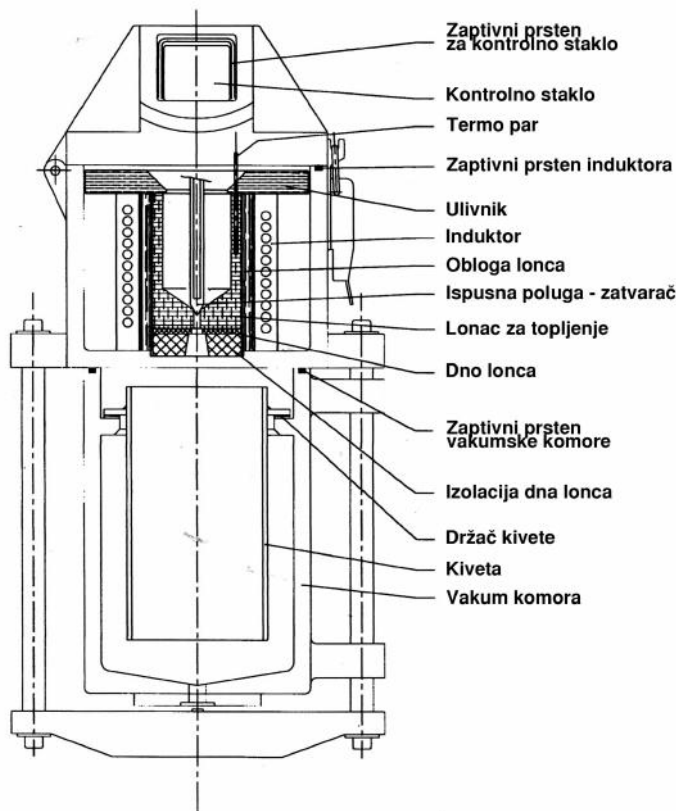
Kao polazni materijal za izradu legura „585“, za ispitivanje u radu, kao i u samoj proizvodnji, koristi se zlato fino čiste 999/1000, koje se dobija rafinacijom iz sekundarnih sirovina. Druga komponenta su predlegure poznatog sastava i proizvoda a a, i to:

- Za dobijanje legure „L-1“ - „žutog“ zlata, predlegura oznake YE145TW – LEGOR group – Italy [99];
- Za dobijanje legure „L-2“ - „belog“ zlata, predlegura oznake NF 504 – LEGOR group – Italy [99].
- Za izradu legure „L-3“ - srebro fino čiste 925/1000, kao polazna sirovina koristi se srebro fino čiste 999/1000, dobijeno rafinacijom iz sekundarnih sirovina koje se legira sa elektrolitima bakrom, dobijenim iz proizvodnje RTB-a Bor.

Zagrevanje, topljenje i izrada legure izvodi se u indukcionoj peći, u liva komloncu, u atmosferi azota, tj. bez prisustva kiseonika, a zatim se izliva direktno iz grafitnog lonca u hladnu vodu, da bi se dobile sitne granule, max. veličine do $\varnothing 5-7$ mm, koje se kasnije koriste, kako za livenje po voštanim modelima u istoj peći, tako i za livenje ingota u eliničnim kalupima, koji se koriste za dobijanje limova i traka valjanjem, [100].

Na slici 45, prikazan je šematski presek indukcione peći, za topljenje i izradu legure. Iste peći se primenjuju i za livenje nakita po topivim voštanim modelima po sistemu vakuum – pritisak. Vakuum se proizvodi vakuum pumpom, dok se pritisak stvara azotom iz boce.

Priprema legure se izvodi u indukcionoj peći u struji azota, pri čemu se postiže brzo i isto zagrevanje, a ne sme se zanemariti ni mali odgor skupih plemenitih metala, [101]. Odgor je posebno važan da se izbegne usled lako topivih metala, u ovom slučaju je to cink, što bi uticalo negativno na povećanu količinu plemenitih metala u leguri, a samim time i na ekonomiju proizvodnje. Potrebna temperatura za topljenje najvećih legura zlata za proizvodnju nakita je oko 1000°C , i to je u ovakvoj peći lako ostvarljivo. Radne temperature topljenja i livenja su nešto više od navedene, što je dobro i poznato u metalurškoj praksi.

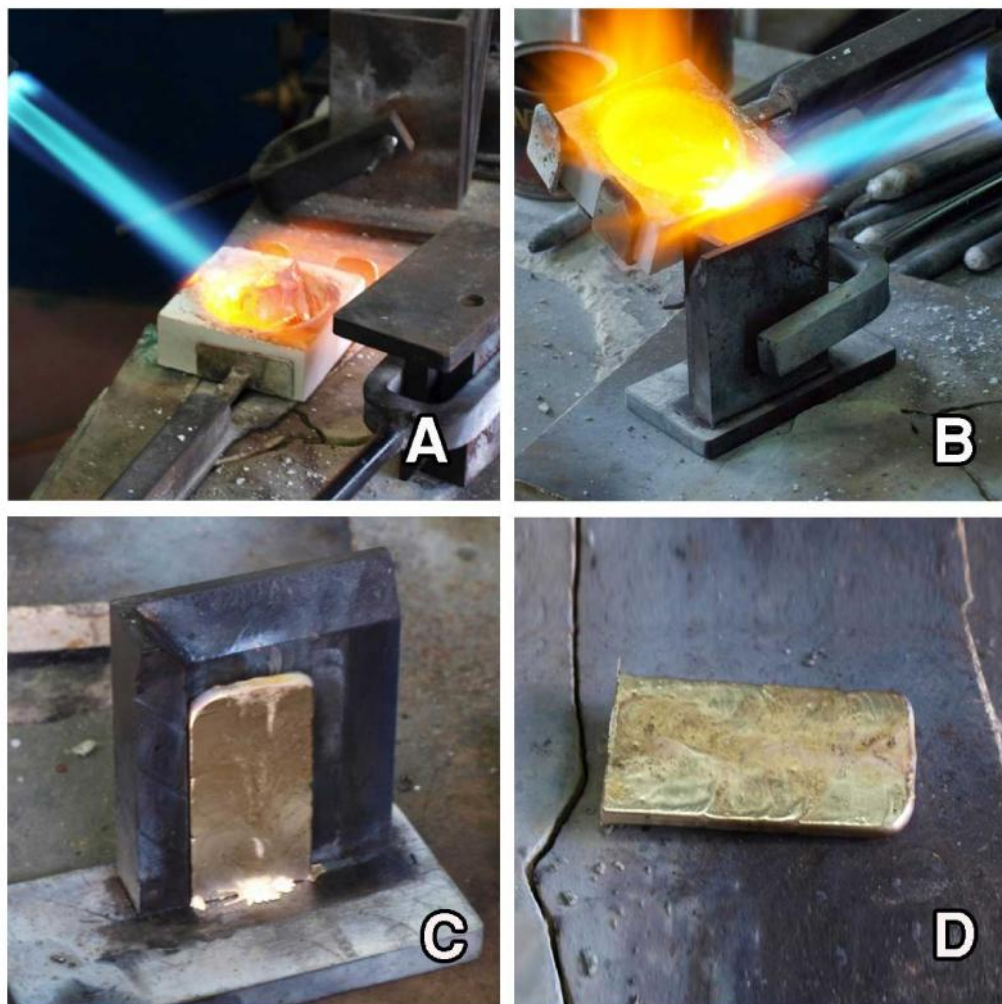


Slika 45.- Vertikalni šematski presek indukcione vakuum-pritisak peći korišćene za dobijanje legure, [100]

6.3.2.- Topljenje i livenje u kokile

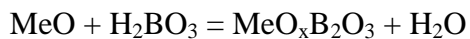
Topljenje i livenje u kokile, prikazano na slici 46, izvodi se sa propan-butan plamenom (kućišni gas), uz dodatak komprimovanog vazduha. Svakako da je ovaj način izvodljiv u svakoj zlatarskoj radionici, a ima mogućnost izrade i od minimalnih količina legura. Problemi kod gasnog zagrevanja se javljaju usled nemogućnosti održavanja konstantne temperature sistema, ali se to nadoknada uvek iskustvom izvršioca.

Pokrivka koja se koristi pri topljenju u keramičkim posudama u gasnoj atmosferi je smeša H_3BO_3 – borne kiseline i soli borne kiseline $Na_2B_4O_7$ – natrijumtetraborat, poznatog trgovca koga naziva, boraks.



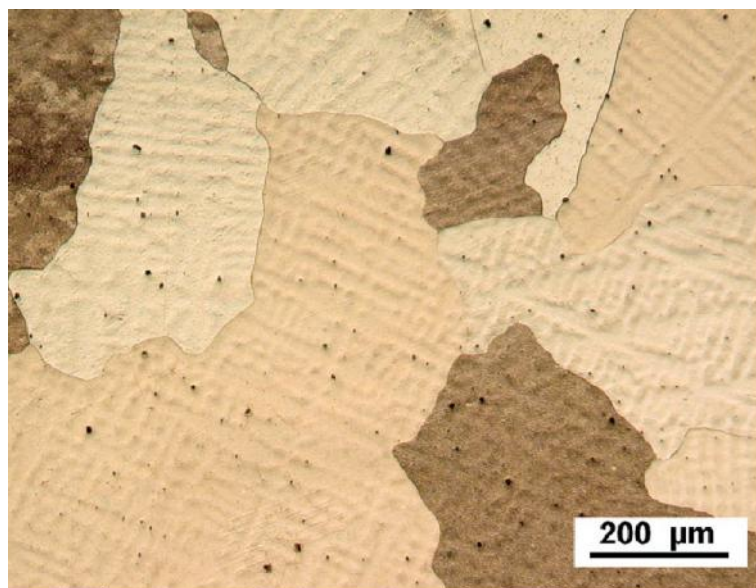
Slika 46.- Gasno topljenje i livenje u kokili: A) Topljenje legure u keramičkoj posudi i predgrevanje kokile. B) Izlivanje tečnog metala u eli nu nu kokilu. C) Odlivak – ingot u kokili. D) Odlivak nakon kristalizacije i vanjske obrade

Hemijeske reakcije koje se dešavaju prilikom rafinacije na površini te nog metala su:



U toku procesa topljenja, usled opasnosti od oksidacije legure, konstantno se stvara pokrivka od smeše boraksa i borne kiseline na površini metala, u iskustvenim kolodinama, [5].

Odlivak – ingot veličine $70 \times 45 \text{ mm}$ i po etne visine $h_0 = 4,5 \text{ mm}$, iz kokile, koristi se za dobijanje limova i traka, valjanjem u hladnom stanju [4,102].



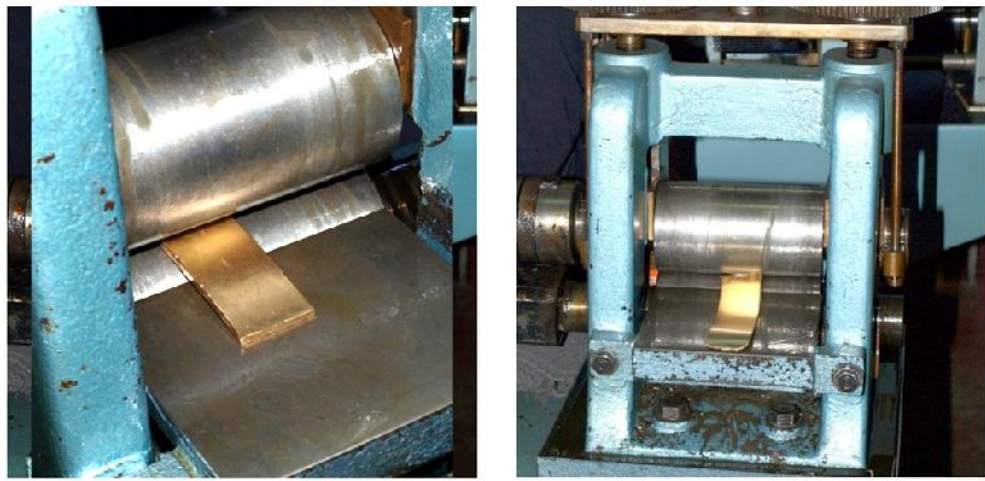
Slika 47.- Dendritna struktura legure zlata, Au750Ag139Cu103Zn8, odlivene u kokili, nagriženo u vrelom vodenom rastvoru 5%KCN + 5% amonijumpersulfata,[103,104]

Na slici 47 prikazan je metalografski snimak (optička mikrografija) odlivene legure zlata u kokili [95], koja prikazuje izraženu dendritnu strukturu, a koja je karakteristična za odlivke i drugih metala i legura. Struktura može da bude i drugačija, u zavisnosti od tretiranja rastopa pre izlivanja, stanja i temperature kokile, vrste premaza, kao i drugih mnogobrojnih livalnih parametara, [21,56].

6.3.3.- Izrada lima i uzoraka za ispitivanje

Svi uzorci koji su ispitivani u radu, rađeni su od lima debljine $h_z = 0,5 \text{ m}$, valjanjem iz ingota, tačka 6.3.2. Valjanje se izvodi na valja kom duo stanu, poštujući zakone prerade metala plastičnom deformacijom [105-107]. Ingoti, kao odlivci, su retko, ili skoro nikada, sami sebi cilj, već se ovaj deo dalje preradi u deformatijskom procesu. Jedan od najzastupljenijih oblika dalje prerade u zlatarstvu je hladno valjanje. Valjanje odlivaka,

odnosno dobijanje limova i traka, u zlatarstvu se isključivo izvodi u hladnom stanju. Tako dobijeni limovi i trake, radi izrade gotovih proizvoda, naknadno se deformišu (savijanjem, dubokim izvlačenjem, prosecanjem, i sl.), na istima se izvodi lemljenje i zavarivanje, brušenje, poliranje, i tako dalje. Svaka dalja obrada izaziva određene promene u materijalu, bilo da je određeno ojačanje ili otpuštanje.



a).-

b).-

Slika 48.- Valjanje limova na valjačkom duo-stanu, sa ulazne strane (a), i izlazne strane (b)

Na slici 48, prikazan je valjački duo stan, koji se koristi u zlatarskoj proizvodnji, s sledećih karakteristika: $\varnothing 85$ i $L = 160$ mm, reverzibilan sa hidrauličnim podmazivanjem.

Plan provlaka za dobijanje trake za izradu za ispitivanje u radu, ne razlikuje se ni u emu od dobijanja trake za redovnu proizvodnju, završne debljine $h_z = 0,5$ mm, prikazan je u tabelama 4 i 5, i isti je za sve tri legure, koje su korišćene, obzirom da su sličnih plastinih osobina [5].

Tabela 4.- Plan provlaka predhodnog valjanja

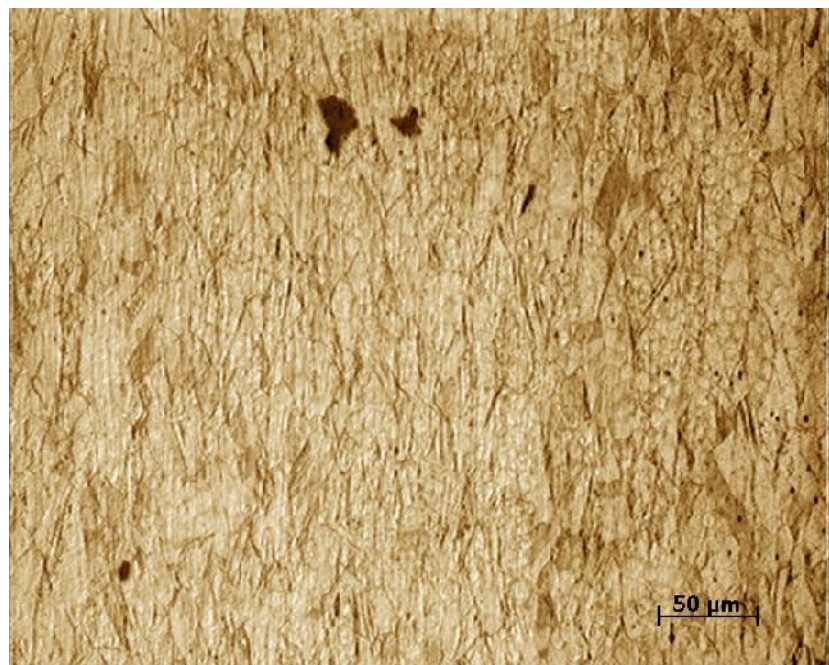
Redni broj provlaka	1	2	3	4	5	6
Početna debljina, h_0 (mm)	4.5	3.8	3.2	2.7	2.2	1.8
Završna debljina, h_1 (mm)	3.8	3.2	2.7	2.2	1.8	1.5
Redukcija po provlaku, (%)	15.5	15.7	15.6	18.5	18.1	16.6
Ukupna redukcija, (%)	15.5	28.8	40.0	51.1	60.0	66.6

Kao što je prikazano u tabeli 4, ukupna predhodna deformacija iznosi $\epsilon_1 = 66,6\%$. Nakon valjanja izvršeno je rekristalizaciono žarenje, prema sledećim parametrima: $t = 680^\circ\text{C}$, $\tau = 1/2\text{h}$, [4, 108].

Završno valjanje, iji opis sledi, izvedeno je prema planu provlaka, tabela 5, odnosno od $h_1 = 1,5 \text{ mm}$ do $h_z = 0,5 \text{ mm}$, pri čemu je, takođe, ostvaren stepen deformacije $\epsilon_z = 66,6 \%$.

Tabela 5.- Plan provlaka završnog valjanja

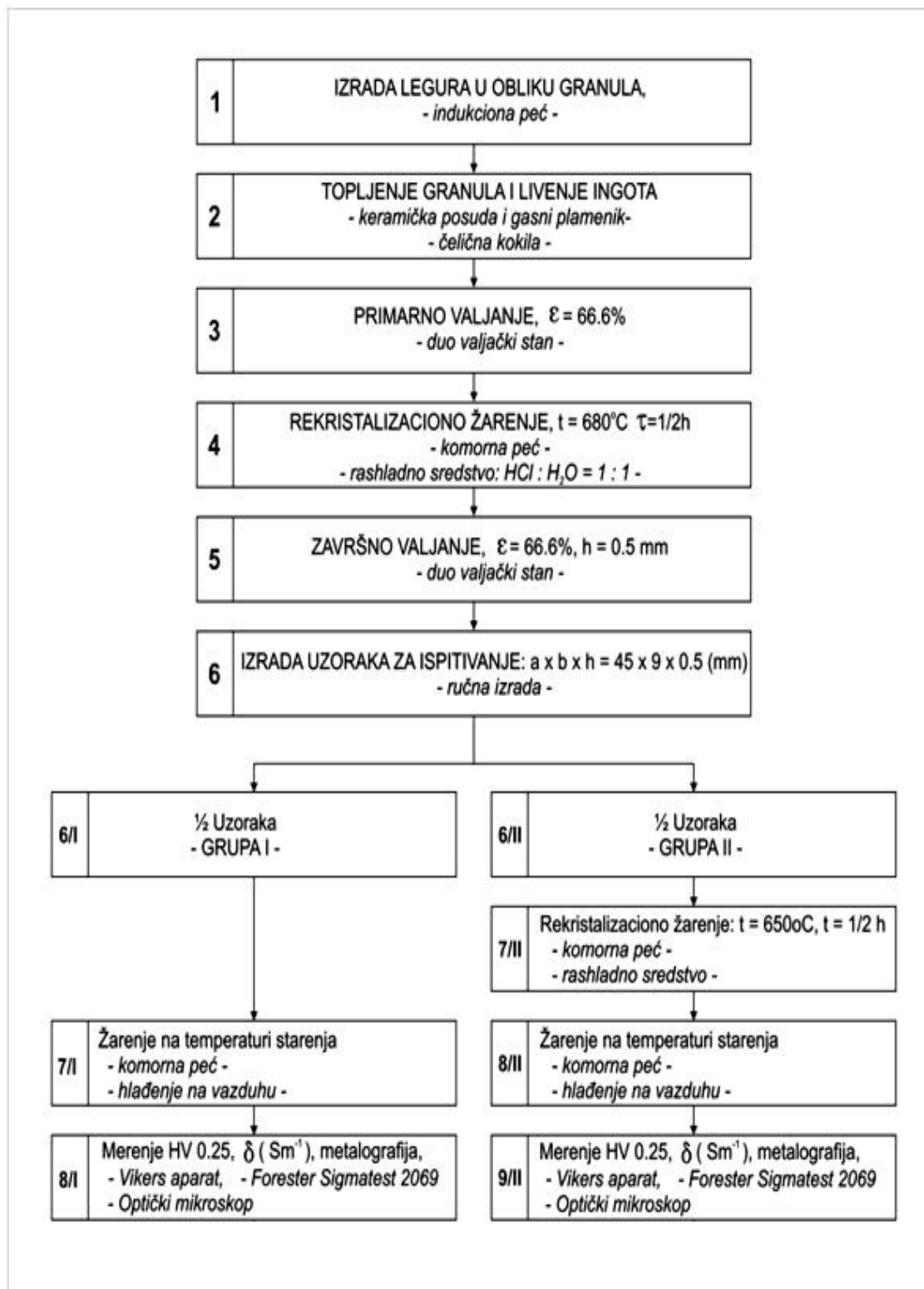
Redni broj provlaka	1	2	3	4	5	6	7
Početna debljina, h_0 (mm)	1.50	1.25	1.05	0.85	0.71	0.60	0.55
Završna debljina h_1 (mm)	1.25	1.05	0.85	0.71	0.60	0.55	0.50
Redukcija po provlaku, (%)	16.6	16.0	19.0	16.4	15.4	8.30	9.00
Ukupna redukcija (%)	16.6	30.0	43.3	52.6	60.0	63.3	66.6



Slika 49.- Optička mikrografija uzorka legure zlata „585/1000”, žute boje, u pravcu valjanja, stepen deformacije $\epsilon_z = 66,6\%$; uvećanje x200; nagrizanje: kao na slici 47

Nakon završnog valjanja pristupa se isecanju uzoraka iz dobijenih limova, sledećih dimenzija: $a \times b \times h = 45 \times 9 \times 0,5 \text{ (mm)}$, i to za svaku leguru posebno, prema tabeli 3.

Tabela 6.- Tok izrade uzorka i eksperimenta



Pripremljeni uzorci svake pojedinačne legure zatim se dele u dve grupe, u količini po 1/2 uzorka, i završna priprema se izvodi na sledećem način, prikaz u tabeli 6:

- **Grupa I:** Uzorci se termi ki predhodno ne obra uju, odnosno ispitivanje starenjem se izvodi na uzorcima u hladno valjanom stanju;
- **Grupa II:** Uzorci se termi ki predhodno obra uju na na in da se izvrši rekristalizaciono žarenje pojedine legure na $t = 680^{\circ}\text{C}$ u vremenu $= 30$ min, i gašenje koje se vrši u rashladnom sredstvu, u rastvoru $\text{HCl}:\text{H}_2\text{O} = 1:1$;

Sa ovakvim uzorcima, posebno za grupu I i posebno za grupu II, za sva tri tipa legure, izvodi se ispitivanje starenjem na temperaturama, koje su niže od temperature rekristalizacije, u različitom vremenskom trajanju.

Temperature koje se koriste za starenje pojedinih uzoraka su od $t = 50^{\circ}\text{C}$ pa do 600°C , u temperaturnom razmaku od $t = 50^{\circ}\text{C}$, dok su vremena od $= 15$ min, 30 min i 60 min. To su realna vremena, kao i temperature, koje se mogu koristiti i primenjivati u procesu proizvodnje.

6.4.- Metalografska ispitivanja

Proizvodnja nakita iziskuje primenu različitih oblika prerade plemenitih metala i različite oblike termičke obrade. Da bi se, kao konacan rezultat rada u fabrici za proizvodnju nakita, dobio proizvod, praktično, neograničeno roka trajanja, potrebno je poznavanje raznih oblasti nauke, kao što su: kristalografska sistema klizanja, teorija legiranja, odvijanje faznih transformacija, teorija elastičnosti i/ili plastičnosti, nauke o materijalima, kao i ostalih primenjenih režima prerade metala, uključujući i režime termičke obrade. Konačni zaključak o najboljem tehnološkom postupku u proizvodnji, uzimajući u obzir već naznane oblasti nauke, da je i metoda ispitivanja metalografskom analizom, korištenjem bilo svetlosnog ili elektronskog mikroskopa. Metalografska analiza je esto od presudnog značaja za opis stanja materijala, proučavanjem mikrostrukturnih promena, [111,112].

Metalografskom analizom se određuju i promene koje nastaju u materijalu prilikom termičke obrade, i kako te iste promene utiču na strukturu i kvalitet materijala, [21,115].

Odabir uzorka za metalografsku analizu u ovom radu, izvršen je tako, da su odabrani uzorci: a) sa polaznim tehnološkim parametrima, označene „O.S.” - *original states* (po etno stanje), b) sa maksimalnom vrednošću tvrdosti postignutom starenjem, i c) sa vrednošću maksimalno predviđene temperature starenja, za pojedine legure, kao i za pojedine oblike prethodne termomehaničke obrade.

6.4.1.- Skenirajuća elektronska mikroskopija – SEM

Skenirajući elektronski mikroskop (*Scanning Electron Microscopy – SEM*), je vrsta elektronskog mikroskopa, pomoću koga se dobija slika – mikrofotografija visoke rezolucije površine uzorka. Usled nainakanosti koji se slika formira, SEM snimci imaju karakteristični trodimenzionalni izgled i daju mogunost izučavanja strukture površine uzorka [113]. Glavna osobina ovog mikroskopa je da se objekat može posmatrati

direktno u reflektovanom snopu elektrona sa znatno boljom rezolucijom nego kod obi nog mikroskopa. Obzirom da je energija reflektovanih elektrona veoma bliska energiji upadnih, dobijena slika donekle predstavlja i dubinu uzorka. Slika uzorka se može formirati i od sekundarnih elektrona, ali, kako je energija ovih elektrona veoma mala, oni dolaze sa male dubine od svega nekoliko nanometara, pa je i dobijena slika, ustvari, prava slika površine. Ukoliko je mikroskop opremljen odgovaraju im detektorima za energodisperzionu spektroskopiju (EDS) ili talasno disperzionu mikroskopiju (WDS), može se izvršiti i istovremena hemijska mikroanaliza posmatranog dela površine uzorka. Odgovaraju im podešavanjem detektora, tako da on reaguje na određenu talasnu dužinu (određeno elementa), može se formirati slika i od karakterističnog X-zra enja, i ona ustvari predstavlja raspodelu odgovarajućeg elementa po ispitivanoj površini (*EDS, EDX – Energy Dispersive Spectroscopy – X – ray analysis*), [114].

U tipom skeniraju em elektronskom mikroskopu, elektroni su emitovani od strane katode od volframa ili lantanheksaborida (LaB_6), i ubrzani u pravcu anode, alternativno, elektroni mogu biti emitovani i preko emisije polja (field emission – FE). Energija elektronskog snopa je obično u opsegu od nekoliko stotina eV do 100 keV. Elektronski snop je fokusiran pomoću jednog ili dva kondenzatorska sistema u veoma mali prečnik snopa veličine od 0.4 do 5 nm. Snop prolazi kroz parove skenirajućih kalemova ili parova deflektorskih placa u optičkoj koloni, obično u objektivu koji skreće snop horizontalno i vertikalno tako da on skenira pravougaoni deo površine uzorka. Pri interakciji snopa primarnih elektrona sa uzorkom, elektroni gube energiju u zastopnim ponovljenim rasejanjem i apsorpcijom unutar zapreme u obliku kapljice koja se naziva interakciona zaprema. Veličina ove zapreme unutar uzorka može biti ispod 100 nm do 5 μm, i ona zavisi od energije primarnih elektrona, atomskog broja elementa i njihovog uzorka se posmatra kao i od gustine uzorka. Razmena energije između elektronskog snopa i uzorka rezultuje emisijom elektrona i elektromagnetskog zračenja koji se mogu detektovati i upotrebiti za formiranje slike.

Uzorci za SEM moraju obavezno da budu elektroprovodni, jer se neprovodni uzorci pod dejstvom snopa elektrona stave i nanelektrišu i pomeraju snop, pa izgleda kao da snop beži sa mesta koje se posmatra. Da bi mogli da se posmatraju neprovodni uzorci, na njih je potrebno napraviti provodni sloj od ugljenika ili metala koji ne premeti topologiju uzorka.

Elektronski snop pomoću koga se vrši posmatranje je određen dijametrom, divergencijom i strujom, a parametri snopa se biraju u zavisnosti od odabrane metode formiranja slike, tipa uzorka i željenog uvećanja.

6.5.- Merenje tvrdoće metodom po (Vickerss) Vikersu HV0.25

Pod pojmom tvrdoće podrazumeva se fizikalna osobina – otpor, kojim se suprotstavlja jedno telo ka prodiranju drugog tela u njegovu površinu.

Tvrdoća se može odrediti statičkim, dinamickim i specijalnim metodama.

Kod statičkih metoda sila utiskivanja postepeno raste do maksimalne vrednosti. Kod dinamickih ispitivanja sila na utiskivaču se ostvaruje udarom, ili se pak tvrdoća određuje na osnovu elastičnog odskoka utiskivača od površine koja se ispituje, [109].

Za merenje tvrdoće tankih limova, debljine $t = 0,5 \text{ mm}$, primarnu silu utiskivanja može da bude promenljiva veličina, najbolja je statička metoda po Vickersu.

Tvrdoća po Vickersu se definiše kao kolnik sile, kojom se deluje na dijamantski utiskivač oblika piramide, sa uglom pri vrhu od 136° , i površine otiska utiskivača, vidljivog preko uveljenog stakla, na površini predmeta koji se meri.

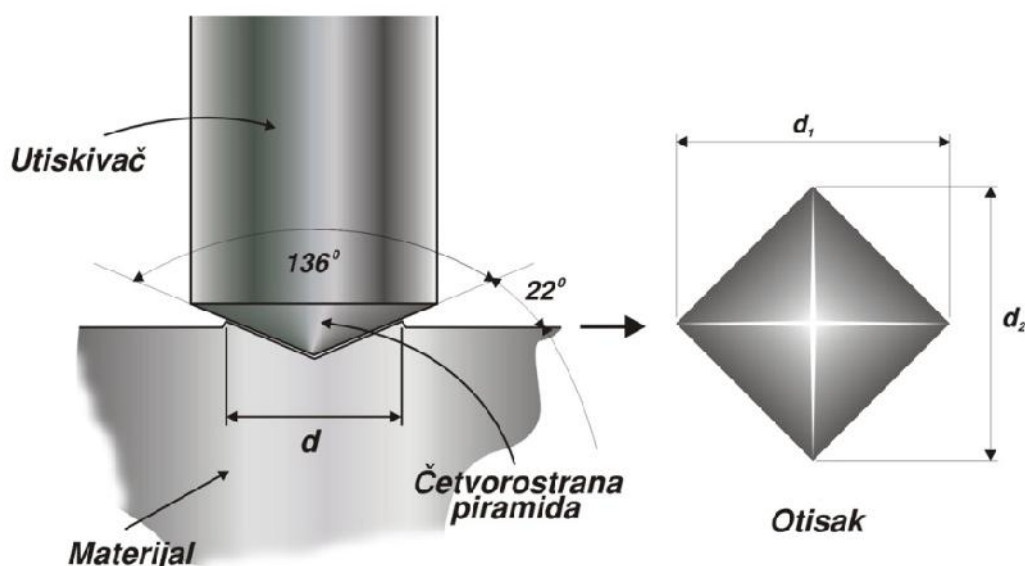
$$HV = F/A = (2F\sin 136^\circ/2)/d^2 = 1,854F/d^2 \text{ (daN/mm}^2\text{)}, \text{ gde je:}$$

F – sila utiskivanja u, daN,

A – površina otiska u obliku četverostruge piramide sa kvadratnom osnovom u, mm^2 .

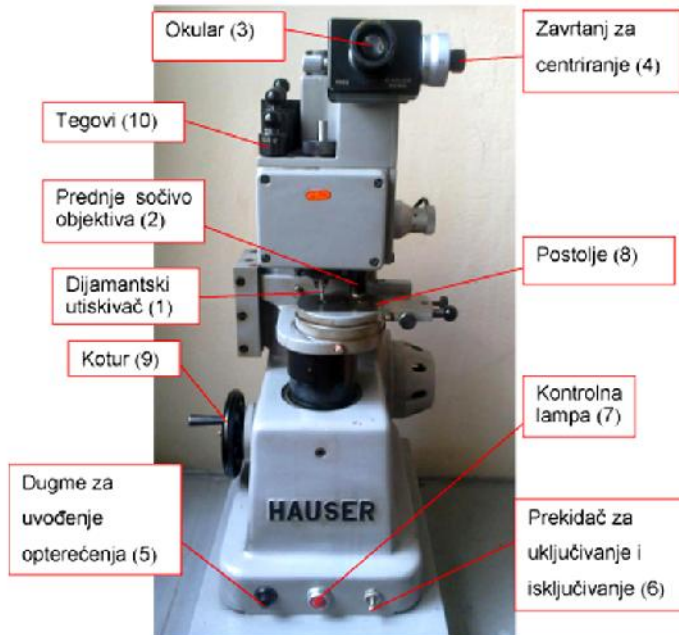
$$A = d^2/2\cos 22^\circ = d^2/2\sin(136/2)^\circ,$$

d – dijagonala otiska u, mm.



Slika 50.- Šema merenja tvrdoće po Vickersu, [109];

Na slici 50, šematski je prikazana statička metoda merenja tvrdoće po Vikersu.



Slika 51.- Opšti izgled aparata za merenje mikrotvrdoće;

U zavisnosti od uređaja za merenje tvrdoće izbor opterećenja se prilagođava proizvodu i ja se tvrdoće određuje. Na slici 51, prikazan je izgled uređaja za ispitivanje tvrdoće po Vikersu, na kome su vršena ispitivanja u ovom radu.

Na ovom uređaju može da se odabere opterećenje dijamantskog utiskivača, za merenje tvrdoće sa malim opterećenjima od 100, 150, 200, 250, 500 i 1000 g. Za ispitivanje svih uzoraka u radu, odabранo je i korišteno konstantno opterećenje od 250 g, tj. tvrdoća je izražena kao HV0.25, prema standardu EN ISO 6507-1:2011.

Potrebno vreme utiskivanja u površinu uzorka materijala treba da obezbedi ravnomerni prirast sile do odabrane vrednosti. Ovo vreme nanošenja sile iznosi, prema standardu, od 10 – 15 s. Za slučaj prekoračenja ovog vremena neophodno je naznačiti u oznaci.

Do izvesne granice, tvrdoća je direktno proporcionalna zateznoj vrstoti i materijala, tako da se na osnovu promene tvrdoće, mogu izvesti zaključci i o drugim mehaničkim osobinama materijala, kao što su σ_m , ν , i sl. Za pojedini tip materijala, u praksi postoje, naročito za elike, uporedne tabele tvrdoće i zatezne vrstote, [110].

Rezultati merenja tvrdoće, HV0.25, za pojedine legure koje su projektovane za obradu u ovom radu, prikazani su u prilogima rada, dok su dijagrami zavisnosti promene tvrdoće od promene temperature i vremena starenja, prikazani kao rezultati merenja za pojedine legure.

6.6.- Merenje električne provodljivosti



Slika 52.- Uređaj „Foerster Sigmatest 2.069”;

Za merenje električne provodljivosti proučavanih legura korišten je instrument „Foerster Sigmatest 2.069”, koji je predviđen za ispitivanje metala i legura koje ne poseduju feromagnetne osobine, prikazan je na slici 52. Električna provodljivost se određuje merenjem promene kompleksne impedance merne sonde. Pretežnik merne sonde je 8 mm, a merni opseg od 0.5 do 65 MS/m (1% - 112% IACS). Uzimajući u obzir malu debljinu uzoraka za merenje je izabrana radna frekvencija od 960 kHz.

Električna provodljivost je merena u tri tačke sa obe strane uzoraka, koji su predhodno izrađeni, kao što je opisano u tablici 6.3.

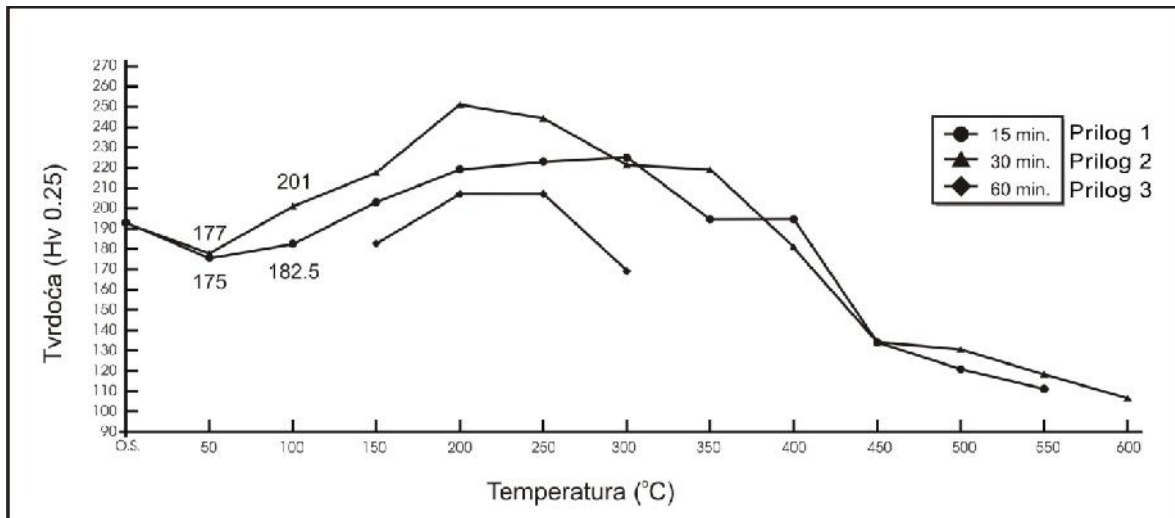
Rezultati merenja električne provodljivosti uzoraka pojedinih legura prikazani su u prilozima disertacije, dok su dijagrami promene električne provodljivosti u zavisnosti od temperature starenja prikazani u rezultatima merenja za pojedine legure.

6.7. - Rezultati ispitivanja

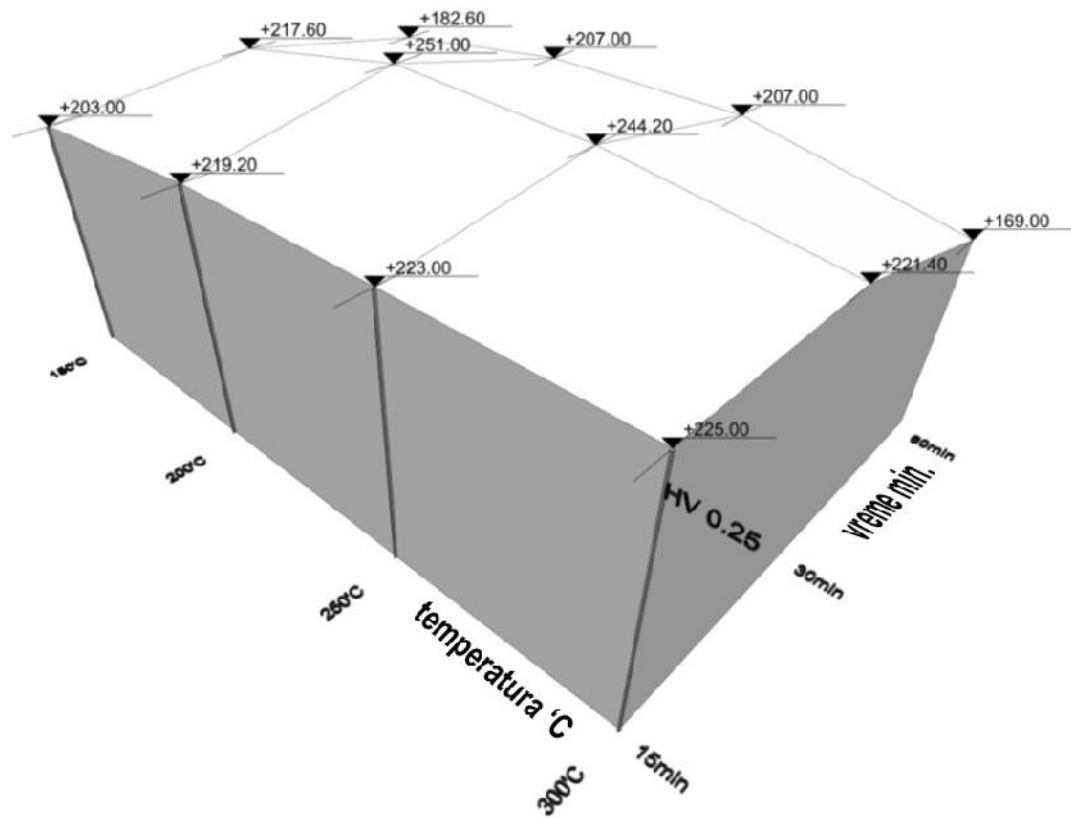
6.7.1.- Rezultati ispitivanja legure „L-1” – Au585Ag90Cu264Zn61

6.7.1.1.- Rezultati merenja tvrdosti HV0.25

Dijagrami promene tvrdosti, u zavisnosti od temperature starenja, za leguru „L-1”, grupe I i II (tablica 6.3.3), prikazani su na slikama 53 – 56, [33,37,68,117], a na osnovu rezultata merenja tvrdosti na uzorcima (prilog 1 do prilog 6), što je i označeno neposredno na svakoj slici ponaosob.



Slika 53.- Dijagram promene tvrdoće HV0.25 u zavisnosti od temperature starenja za leguru „L-1“- Grupa I

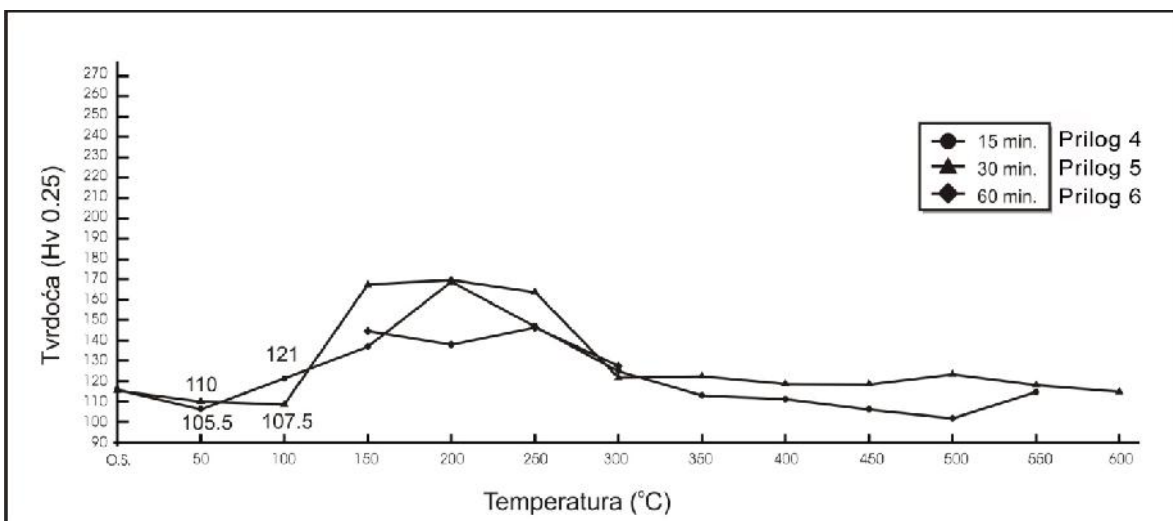


Slika 54.- Prostorni dijagram promene tvrdoće, HV0.25, u zavisnosti od temperature i vremena starenja, za leguru „L-1“- grupa I

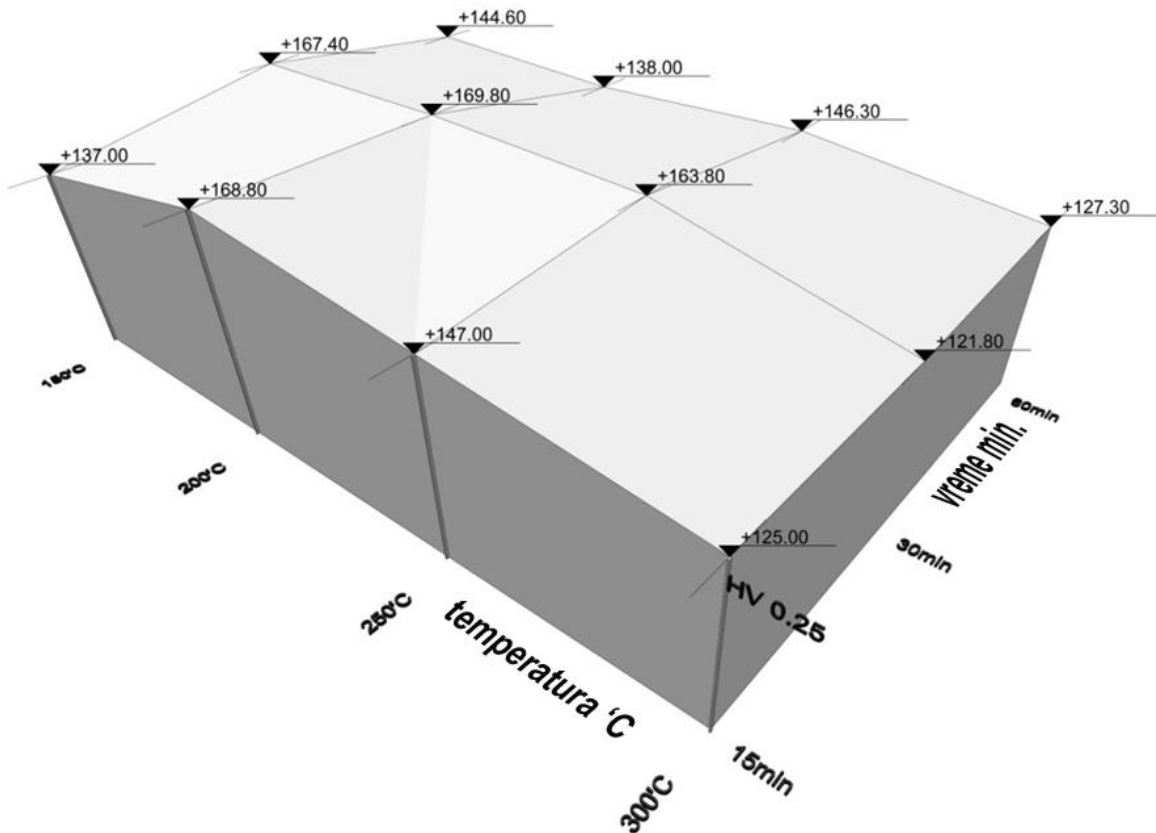
Na slici 53, prikazani su dijagrami promene tvrdoće u zavisnosti od temperature starenja, za različita vremena trajanja procesa. Po etno tako ka za dijagrame je „O.S.” na apscisi dok je na ordinati, vrednost HV0.25 za materijal u polaznom stanju pre starenja („O.S.” – *original states*), a potom su uzorci žareni/stareni na temperaturi od $t = 50^{\circ}\text{C}$ do 600°C , sa povećanjem temperature od po $t = 50^{\circ}\text{C}$, i to za vreme starenja od 15 min i 30 min. Vreme starenja od 60 min, korišteno je za temperaturu od 150°C do 300°C , sa ciljem da se bolje sagleda ponašanje materijala kao i promene tvrdoće, obzirom da je u ovom temperaturnom opsegu dostignuta maksimalna tvrdoća.

Na slici 54, prikazan je deo dijagrama sa slike 53, i to u opsegu temperature od $t = 150^{\circ}\text{C}$ do 300°C . Na ovoj slici je predstavljen prostorni dijagram promene tvrdoće u zavisnosti od temperature i vremena starenja. Izrada ovakvog dijagrama je značajna usled mogućnosti sagledavanja promene tvrdoće koje nastaju oko jedne temperature, u ovom slučaju maksimalne tvrdoće 251,00 HV0.25.

Slika 55, kao i slika 56, takođe prikazuju leguru „L-1”, s tim što je po etno stanje uzoraka, grupa II (tab. 6.3.3), odnosno svi uzorci su nakon hladne deformacije žareni na temperaturi rekristalizacije za ovu leguru [4], tj. na 680°C , u vremenu od $1/2\text{ h}$, i gašeni u rashladnom sredstvu. Obzirom da se radi o istoj leguri, maksimalna tvrdoća je postignuta u istom temperaturnom opsegu kao i na slici 53, tj. od 150°C do 300°C , tako da je i prostorni dijagram utražen za isti temperaturni opseg starenja i vreme trajanja procesa.



Slika 55.- Dijagram promene tvrdoće, HV0.25, u zavisnosti od temperature starenja za leguru „L-1”- grupa II



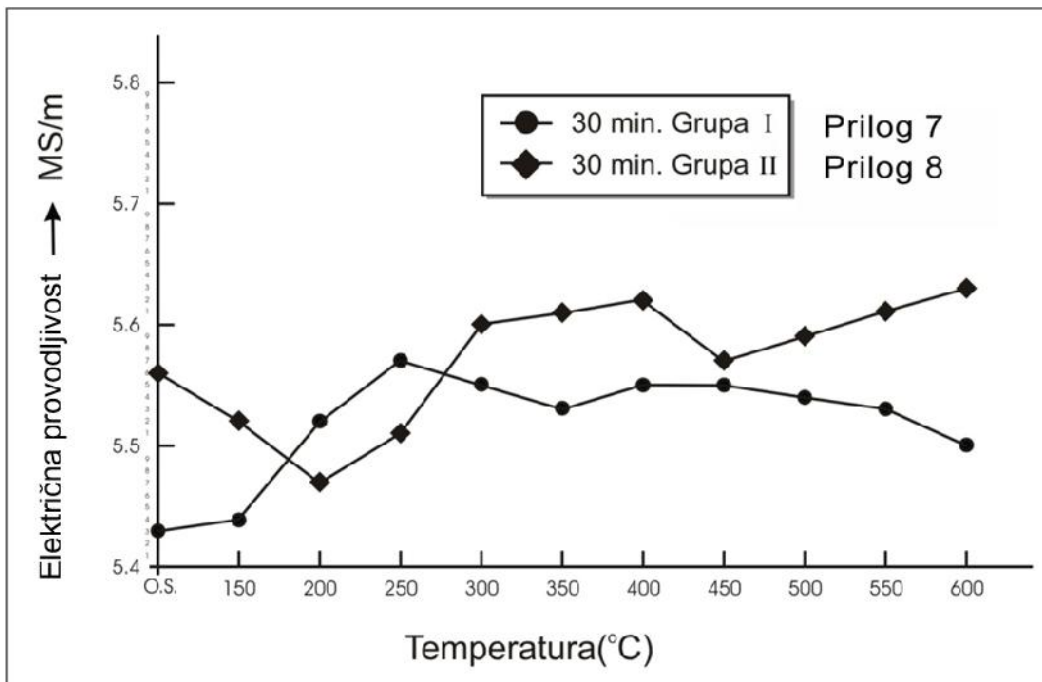
Slika 56.- Prostorni dijagram promene tvrdosti, HV0.25, u zavisnosti od temperature i vremena starenja, za leguru „L-1” - Grupa II

6.7.1.2.- Rezultati merenja električne provodljivosti

Dijagram promene električne provodljivosti, u zavisnosti od temperature starenja, prikazan je na slici 57, i to za leguru „L-1”, grupe I, kao i grupe II, za vreme držanja na temperaturi starenja od 30 min. Ovo vreme je uzeto, obzirom da su u vremenu od 30 min postignute maksimalne vrednosti izmerene tvrdost. Rezultati merenja električne provodljivosti, na osnovu kojih su urađeni dijagrami, prikazani su u prilozima 7 i 8.

Rezultati su prikazani za „O.S.”, i to za temperature od $t = 150^{\circ}\text{C}$ do 600°C , sa promenom od $t=50^{\circ}\text{C}$. Za temperaturu starenja od 50°C i 100°C , rezultati nisu prikazani, obzirom da nisu pokazali promene u odnosu na polazno stanje „O.S.”.

Bez obzira što se ove legure ne koriste kao provodnici, kao što je i rečeno u tački 4, ocena promene provodljivosti materijala u zavisnosti od temperature starenja, pružiće mogućnost sagledavanja promena u strukturi legure, obzirom da se legure sličnih karakteristika koriste u elektrotehnici i elektronici, posebno u uređajima savremene komunikacije.



Slika 57.- Dijagram promene električne provodljivosti u zavisnosti od temperature starenja za leguru „L-1”, grupe I i grupe II

6.7.1.3.- Rezultati metalografskog ispitivanja

Rezultati metalografskog ispitivanja optičkom mikroskopijom, za leguru „L-1”, za pojedine ekstremne rezultate prikazani su na slikama od 58 do 63. Saglasno dobijenim rezultatima merenjem tvrdoće i električne provodljivosti, odabrani su uzorci na kojima je urađena metalografska analiza optičkom mikroskopijom. Na slikama su prikazani rezultati, kako za prethodnu obradu hladnom deformacijom – grupa I, tako i za prethodnu obradu rekristalizacionim žarenjem – grupa II. Uočava se razlika u mikrostrukturi materijala, sa različitim vrednostima tvrdoće, kao i sa različitim oblicima prethodne obrade i obrade starenjem.

Male dimenzije uzorka za ispitivanje, kao i samih proizvoda, zahtevaju posebnu pripremu svakog uzorka zatapanjem u tvrde smole, a potom pripremu prema potrebama materijala, [112,115,116].

Odabir uzorka za ispitivanje optičkom mikroskopijom, izvršen je na način, da su odabrani uzorci sa polaznim tehnološkim parametrima, zatim sa maksimalno postignutom vrednošću tvrdoće, i na kraju su uzorci žareni na temperaturi rekristalizacije (tablica 6.4.).



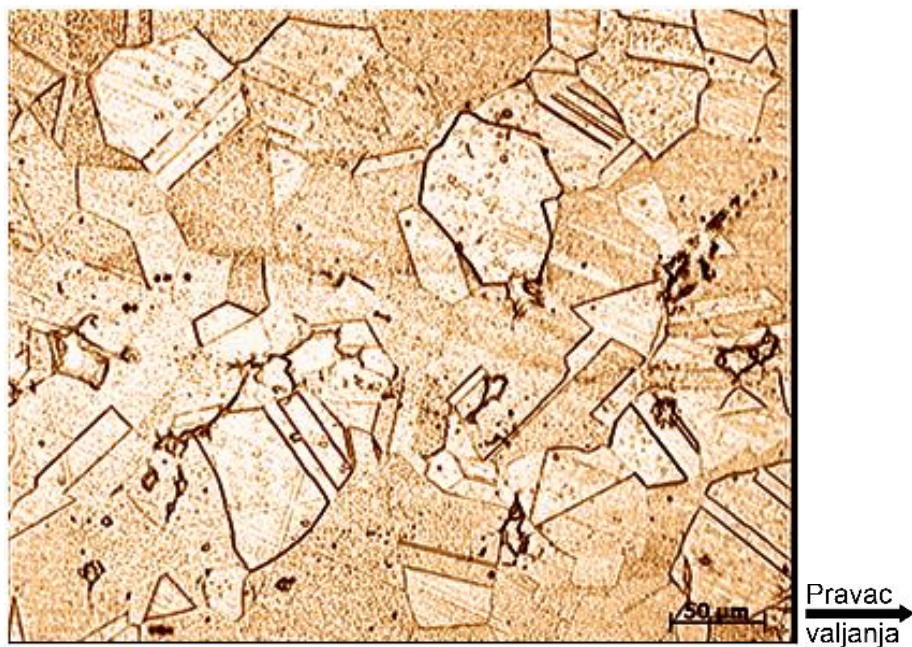
Slika 58.- Uzorak „L-1”- grupa I; Tačka: „O.S.”-193.00HV0.25; Po etno tačka na dijagramu sl.53, hladno-valjani lim sa stepenom deformacije = 66,6%; uvećanje: x200. Izdužena zrna u pravcu deformacije valjanjem



Slika 59.- Uzorak „L-1”; grupa I. Elementi obrade: temperatura $t = 200^{\circ}\text{C}$, vreme = 30 min, hlađenje na vazduhu, ostvarena tvrdo na sl. 53 i 54; maksimalno ostvarena tvrdo na dijagramu. Uvećanje: x200. Izražena usmerenost zrna u pravcu valjanja, sa istaknutom pojmom dvojnika žarenja



Slika 60.- Uzorak „L-1”; grupa I. Elementi obrade: temperatura $t = 550^{\circ}\text{C}$, vreme = 30 min, hlađenje na vazduhu, ostvarena tvrdo a 118.20HV0.25, sl.53. Uve anje: x200. Završena rekristalizacija uzorka sa sl. 58, sa veoma finom sitnozrnom strukturu koja se javlja rekristalizacionim žarenjem nakon hladne deformacije



Slika 61.- Uzorak „L-1”, grupa II, takođe „O.S.” – 115.40HV0.25, po etnata ka na dijagramu sl.55. Krupnozrna kompleksna struktura etvorokomponentne legure. Obrada uzorka prema ta . 6.3.3



Slika 62.- Uzorak „L-1”, grupa II; Elementi obrade: temperatura $t = 200^{\circ}\text{C}$, vreme = 30 min, hlađenje na vazduhu, ostvarena tvrdo a 169,80HV0.25, sl.55 i 56. Uve anje: x200. Maksimum ostvarene tvrdoće je na dijagramu, sa krupnozrnom strukturu i sa velikim brojem dvojnika žarenja



Slika 63.- Legura „L-1”, grupa II. Elementi obrade: temperatura $t = 550^{\circ}\text{C}$, vreme = 30 min, hlađenje na vazduhu, ostvarena tvrdo a 118,20HV0.25, sl. 55. Uve anje: x200. Struktura veoma slična strukturi sa slike 61; krupnozrna struktura žarenog stanja kompleksne eftvorokomponenetne legure, pogodna za dalju obradu hladnom deformacijom

6.7.1.4.- Iskustveni rezultati

U proizvodnji nakita, veliku važnost zauzimaju iskustveni rezultati, posebno u završnoj obradi nakita. Za savršen izgled nakita, potrebno je da proizvod nakon završne obrade bude ogledalastog sjaja, što se postiže odgovarajućom završnom obradom proizvoda, uz prethodno izvršenu odgovarajuću pripremu, u smislu, ostvarivanja žarenjem takve strukture, koja će proizvodu dati željene osobine.



a).-



b).-

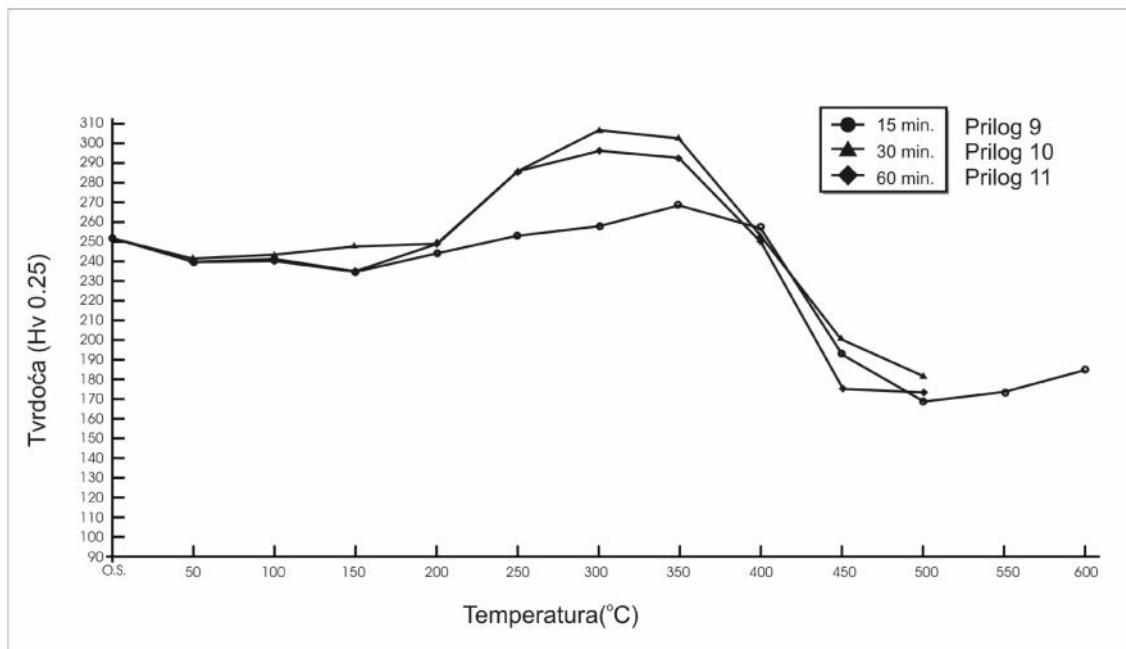
Slika 64.- Proizvodi dobijeni dubokim izvlačenjem od legure „L-1”, pre završnog žarenja a), i polirano nakon žarenja starenjem na $t = 200^{\circ}\text{C}$, $t = 30 \text{ min}$, hlađeno na vazduhu b)

Na slici 64, prikazane su uporedno makrofotografije proizvoda dobijenih dubokim izvlačnjem, i to odmah nakon dubokog izvlačnja (a), kao i nakon žarenja starenjem na $t = 200^{\circ}\text{C}$, u vremenu od $\tau = 30$ min, pri čemu su dobijeni proizvodi ogledalastog sjaja (b), što predstavlja i cilj u proizvodnji nakita, [5,118].

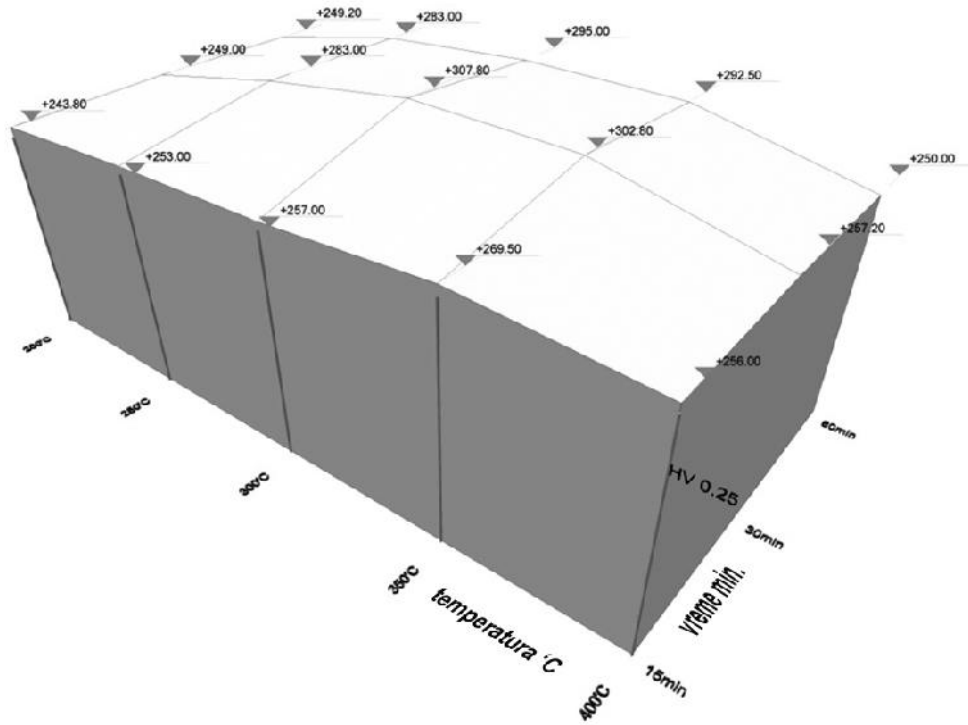
6.7.2.- Rezultati ispitivanja legure „L-2” – Au585Ag65Cu277Zn16Pd57

6.7.2.1.- Rezultati merenja tvrdoće HV0.25

Dijagrami promene tvrdoće, u zavisnosti od temperature starenja za leguru „L-2”, tzv. „belo” zlato, za obrade grupe I i II (tačka 5.3.3), prikazane su na slikama 65 do 69. Rezultati merenja tvrdoće, na osnovu kojih su konstruisani dijagrami sa označenih slika prikazani su tabelarno u prilozima, i to od priloga br.9 do priloga br.14, a što je neposredno označeno na pojedinim slikama.



Slika 65.- Dijagram promene tvrdoće, HV0.25, u zavisnosti od temperature starenja za leguru „L-2”, grupu I, „belo zlato”

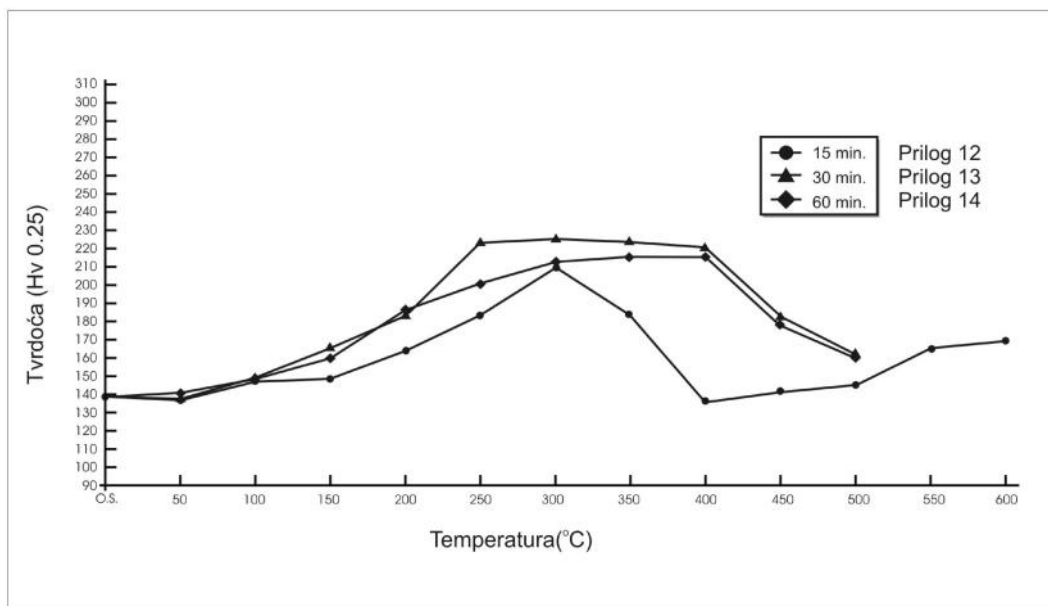


Slika 66.- Prostorni dijagram promene tvrdoće, HV0.25, za temperaturni interval od $t = 200^{\circ}\text{C}$ do 400°C , za vreme trajanja procesa od 15 min, 30 min i 60 min, za leguru „L-2“ – grupa I (deo slike 65)

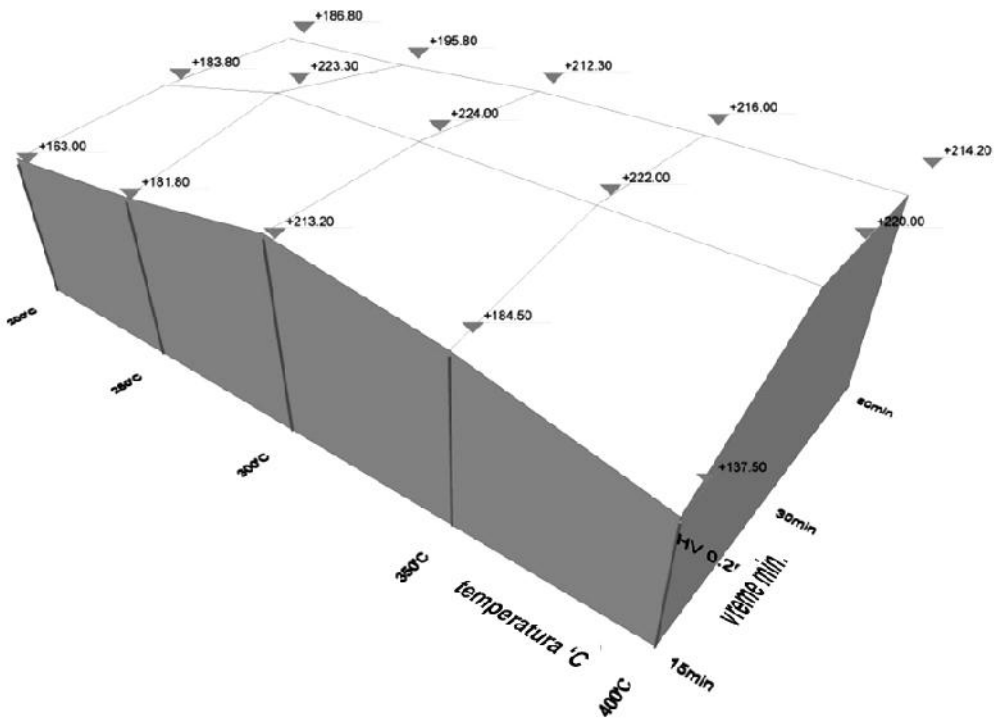
Slika 65 prikazuje tri uporedna dijagrama promene tvrdoće, u zavisnosti od temperature starenja, a za različita vremena trajanja procesa: $t_1 = 15 \text{ min}$, $t_2 = 30 \text{ min}$ i $t_3 = 60 \text{ min}$, što je na slici prikazano različitim oblicima tako da kojima je označena pojedina tvrdoća.

Po etno tako da dijagrama promene tvrdoće, na horizontalnoj osi, je tako da „O.S.“, dok je na vertikalnoj osi vrednost od $251,00 \text{ HV}0.25$. Uzorci koji su korišteni za izradu dijagrama sa slike 65 i 66, pripadaju po obradi grupi I, potom su žareni na temperaturi starenja od $t = 50^{\circ}\text{C}$ do 600°C , sa $t = 50^{\circ}\text{C}$, i to za vreme $t_1 = 15 \text{ min}$, dok je za vreme od $t_2 = 30 \text{ min}$ i $t_3 = 60 \text{ min}$, žarenje vršeno na temperaturi starenja do $t = 500^{\circ}\text{C}$, sa ciljem da se sagleda ponašanje materijala, za leguru „L-1“, u delu kada se ostvaruje maksimum povećanja tvrdoće, a što je u ovom temperaturnom opsegu postignuto.

Na slici 66 prikazan je deo dijagrama sa slike 65, u temperaturnom opsegu od $t_1 = 200^{\circ}\text{C}$ do 400°C , i to prostorni dijagram promene tvrdoće u zavisnosti od temperature starenja i vremena držanja. Izrada ovakvog dijagrama značajna je, kao što je već naglašeno u radu, da bi se sagledalo ponašanje materijala u okolini jedne tačke, tj. postignute maksimalne tvrdoće, za ovu leguru „L-1“ to je $307,80 \text{ HV}0.25$, a za temperaturu od 300°C , kao i vreme trajanja procesa od 30 min.



Slika 67.- Dijagram promene tvrdoće, HV0.25, u zavisnosti od temperature starenja, za leguru „L-2” – obrada grupa II („belo zlato”)

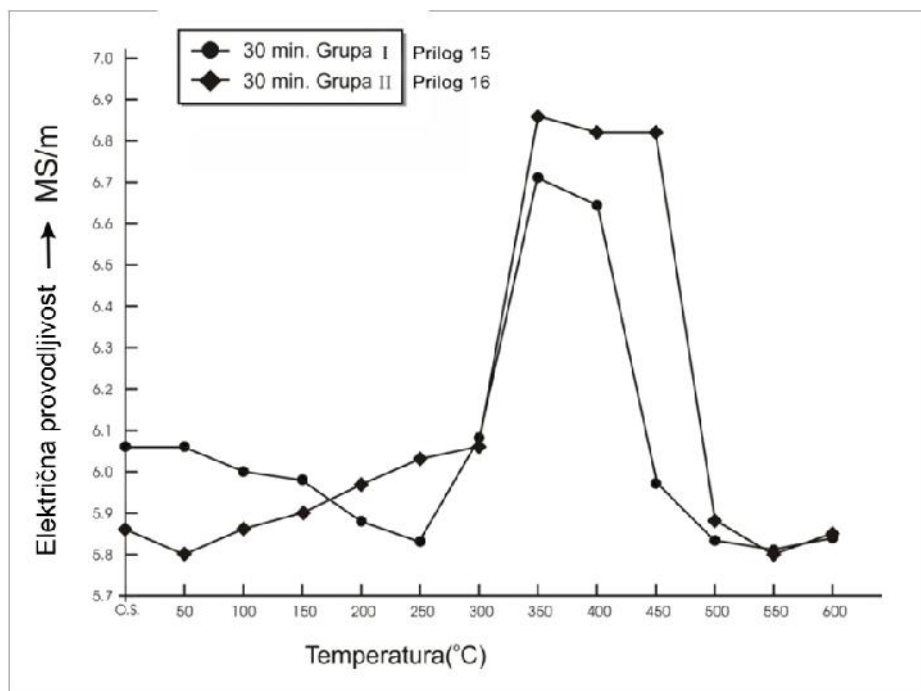


Slika 68.- Prostorni dijagram promene tvrdoće, HV0.25, za temperaturni interval od 200°C do 400°C, za vreme trajanja procesa od 15 min, 30 min i 60 min, za leguru „L-2”-grupa II (deo slike 67)

Slike 67 i 68, takođe, prikazuju leguru „L-2, tzv. „belo” zlato, s tim što je polazno stanje uzorka predstavljeno u grupi II (tačka 6.3.3), odnosno, svi uzorci su nakon hladne deformacije, a pre žarenja na temperaturi starenja, žareni na temperaturi rekristalizacije [4], tj. na $t = 680^{\circ}\text{C}$, u vremenu od $\tau = 30$ min, i gašeni u rashladnom sredstvu. Obzirom da se radi o istoj leguri „L-2”, kao i na leguri prikazanoj na slici 65, postignuta maksimalna tvrdoća je u istom temperaturnom intervalu, od $t_1 = 200^{\circ}\text{C}$ do 400°C , takođe i prostorni dijagram konstruisan za isti temperaturni opseg starenja kao i vreme trajanja procesa, a što je i prikazano na slici 68.

6.7.2.2.- Rezultati merenja električne provodljivosti

Dijagram, promene električne provodljivosti u zavisnosti od temperature starenja, prikazan je na slici 69, za leguru „L-2”, i to za obradu grupe I i grupe II, za vreme trajanja procesa na temperaturi starenja od $\tau = 30$ min, kada su i postignute maksimalne vrednosti tvrdoće. Rezultati na osnovu kojih su konstruisane krive prikazani su u prilozima 15 i 16.



Slika 69.- Dijagram promene električne provodljivosti u zavisnosti od temperature starenja za leguru „L-2”- grupa I i grupa II

Prikazani rezultati su za polaznu tačku „O.S.”, a potom za temperature starenja od $t = 50^{\circ}\text{C}$ do 600°C , sa razmakom od $\Delta t = 50^{\circ}\text{C}$. Kod ovog tipa legure, pojavljuju se velike promene vrednosti električne provodljivosti, u zavisnosti od temperature starenja, u temperaturnom opsegu kada su i postignute maksimalne vrednosti tvrdoće. Može se

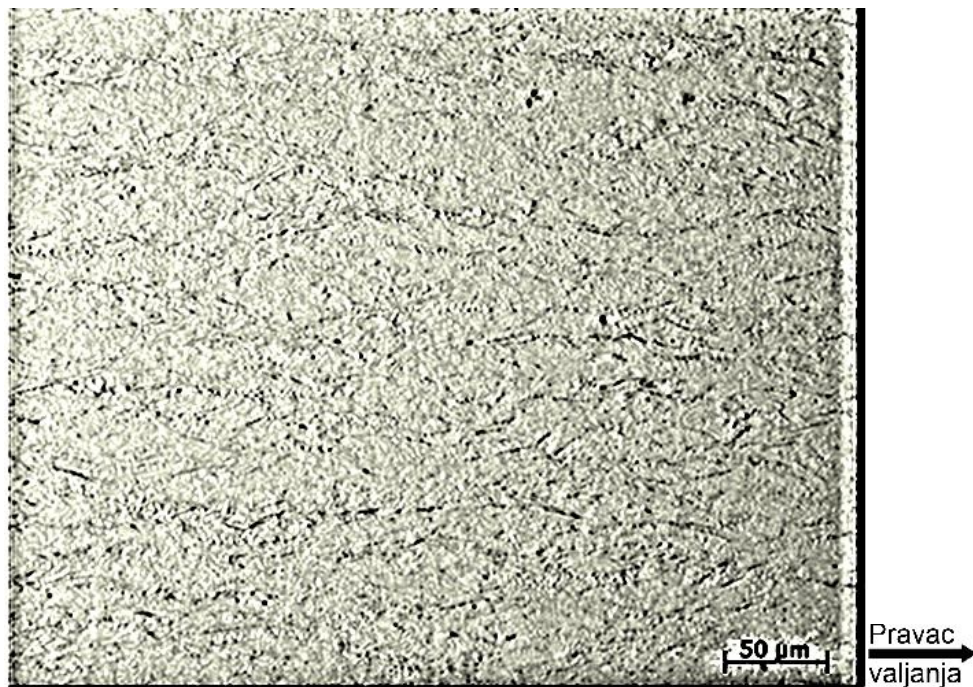
konstatovati da sa porastom tvrdoće, kod ovog tipa legure, raste i vrednost električne provodljivosti.

6.7.2.3.- Rezultati metalografskog ispitivanja

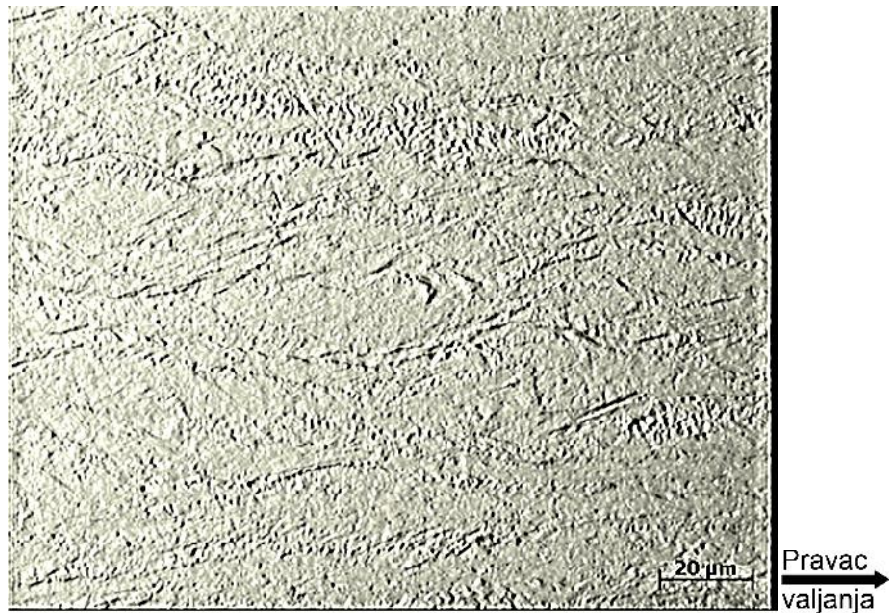
Metalografska ispitivanja, za leguru „L-2”, obavljena su metodom optičke mikroskopije i rezultati su prikazani na slikama od broja 70 do broja 82. Odabrani uzorci za metalografsko ispitivanje, su, za potetno „O.S.” stanje, za rezultate maksimalno dobijene tvrdoće i električne provodljivosti, a takođe i za rezultate dobijene žarenjem na temperaturi neposredno ispod temperature rekristalizacije.

Na slikama su prikazani rezultati, kako sa prethodnom obradom hladnom deformacijom valjanjem – grupa I, tako i sa prethodno izvršenim žarenjem na temperaturi rekristalizacije [4] – grupa II (tačka 6.3.3). Na slikama se uočava razlika u mikrostrukturi uzoraka, kako za različite vrednosti tvrdoće, tako i za razlike oblike prethodne obrade i obrade starenjem.

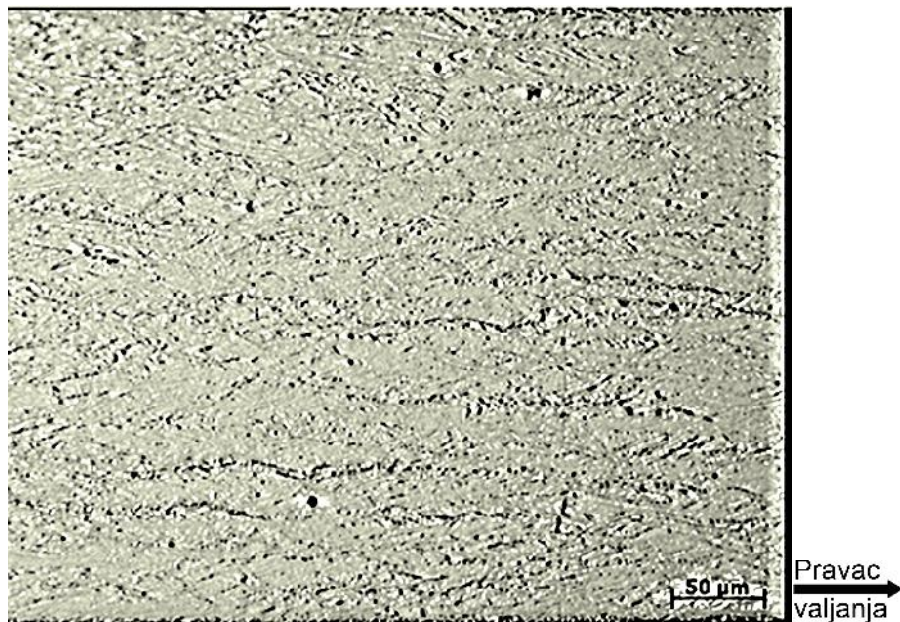
Uzorci su posebno tretirani za ispitivanje optičkom mikroskopijom, upravo iz razloga problema nagrizanja belog zlata toplim rastvorom KCN [110-112]. Za pravilno sagledavanje mikrostrukture, za svaku ispitivanu taku na dijagramu, korištene su dve slike, i to jedna sa uvećanjem od x200 i druga sa uvećanjem x500, tako da se lakše mogu uočiti mikrostrukturne promene.



Slika 70.- Uzorak „L-2”- grupa I, takođe „O.S.” – 251,00HV0.25, po etno tako ka sa dijagrama sika 65, hladno-valjani lim sa stepenom deformacije = 66,6%. Uvećanje x200. Jako izdužena zrna u pravcu hladne deformacije valjanjem



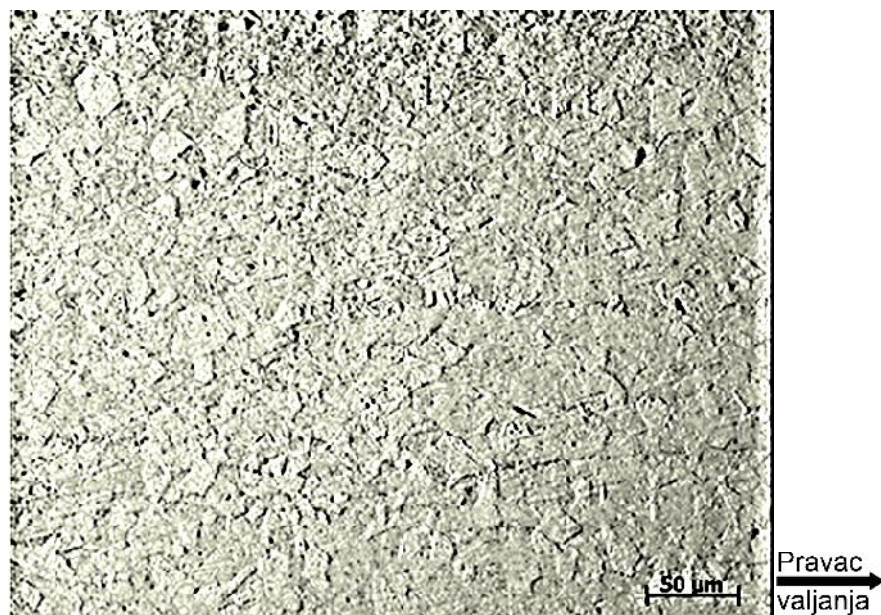
Slika 71.- Uzorak „L-2”- grupa I, takođe „O.S.” – 251,00HV0.25, po etno takođe sa dijagrama slika 65, hladno-valjani lim sa stepenom deformacije = 66,6%. Uvećanje x500. Jako izdužena zrna u pravcu hladne deformacije valjanjem



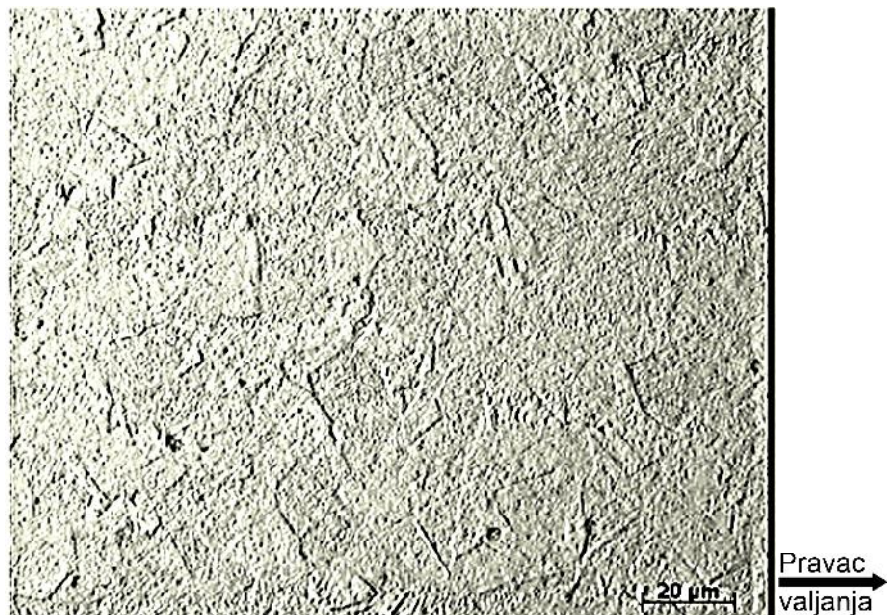
Slika 72.- Uzorak „L-2”- grupa I, elementi obrade: temperatura $t = 300^{\circ}\text{C}$, vreme = 30 min, hlađenje na vazduhu, ostvarena tvrdo a 307,80HV0.25, na slike 65 i 66, maksimalno ostvarena tvrdo a na dijagramu. Uvećanje x200. Izdužena zrna u pravcu valjanja sa veoma finim dvojnicima žarenja



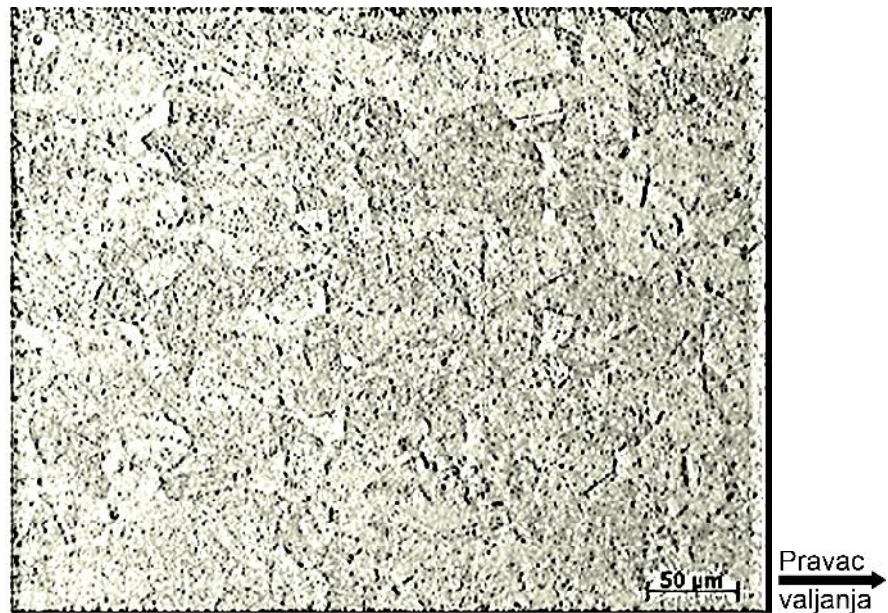
Slika 73.- Uzorak „L-2” – grupa I. Elementi obrade kao na slici 72. Uve anje x500. Izdužena zrna u pravcu valjanja sa izraženom pojavom dvojnika žarenja, koji se javljaju po grupama



Slika 74.- Uzorak „L-2”- grupa I. Elementi obrade: temperatura $t = 600^{\circ}\text{C}$, vreme = 30 min, hla enje na vazduhu, ostvarena tvrdo a 186,50HV0.25. Uve anje x200. Završena rekristalizacija sa slike 70; veoma fina struktura koja se postiže rekristalizacionim žarenjem nakon hladne deformacije, i koja je pogodna za narednu obradu hladnom deformacijom



Slika 75.- Uzorak „L-2” – grupa I. Elementi obrade: kao na slici 74. Uve anje x500. Završena rekristalizacija, uzorak „L-2” – grupa I. Ta ka „O.S.” sa slike 70; struktura koja se postiže rekristalizacionim žerenjem sa sivo-belim poljima kod Au-Ag-Cu legura sa paladijumom i cinkom



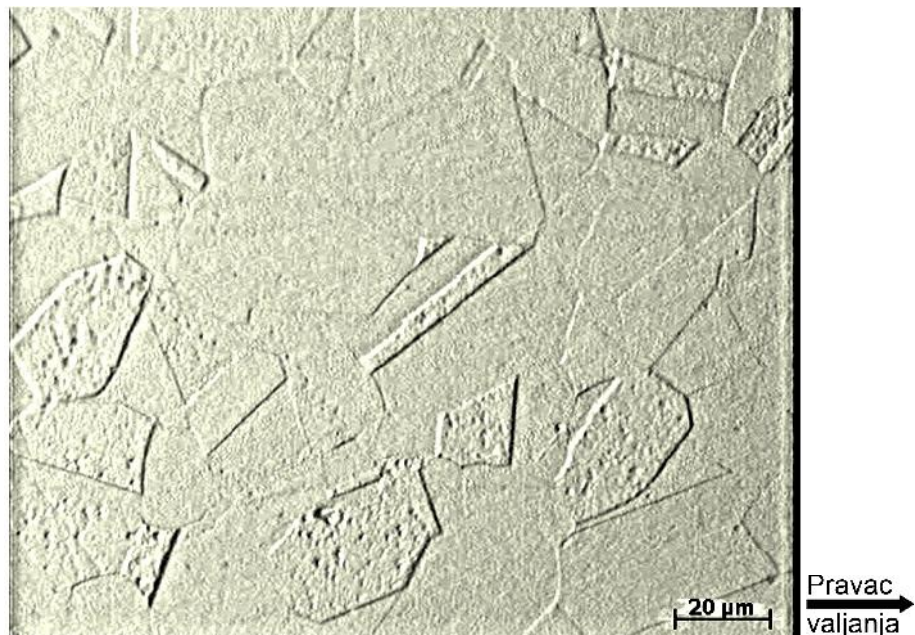
Slika 76.- Uzorak „L-2“- grupa II, ta ka: „O.S.“- 139.70HV0.25, polazna ta ka na dijagramu sl. 67. Uve anje: x200. Krupnozrna kompleksna struktura petokomponentne legure. Obrada uzorka prema ta . 6.3.3



Slika 77.- Uzorak „L-2“- grupa II, tako isto kao na slici 76. Uve anje: x500. Vidljivo nekoliko zrna rekristalizovane kompleksne strukture Au-Ag-Cu-Zn-Pd legure, kao i formiranje lamelarne structure



Slika 78.- Uzorak „L-2“- grupa II. Elementi obrade: temperatura starenja $t = 300^{\circ}\text{C}$, vreme = 30 min, hlađenje na vazduhu, ostvarene tvrdo a 224,00HV0.25, maksimalno ostvarena tvrdo a na dijagramu slići 67. Uve anje x200. Pojava izdvajanja dvojnika iz osnovne strukture i sve veća pojava taloga po granicama zrna



Slika 79.- Uzorak „L-2”- grupa II. Prikazan je deo slike 78. Ostvarena maksimalna tvrdoća na dijagramu slici 67, od 224,00HV0.25. Uve anje x500. Pojava dvojnika žarenja sa postignutom maksimalnom tvrdoćom uzorka



Slika 80.- Legura „L-2”- grupa II. Elementi obrade: temperature starenja $t = 600^{\circ}\text{C}$, vreme $= 30 \text{ min}$, hlađenje na vazduhu, ostvarena tvrdoća 170,50HV0.25, slika 67. Uve anje x200. Kristali ravnoosne strukture i delova dvojnika zaostalih u strukturi



Slika 81.- Uzorak „L-2”- grupa II, kao slika 79. Uve anje x500. Ravnoosni kristali sa delovima dvojnika koji se utapaju u strukturi rekristalizacije

6.7.3.- Rezultati ispitivanja legure „L-3” – Ag925Cu75

6.7.3.1.- Rezultati merenja tvrdoće HV0.25

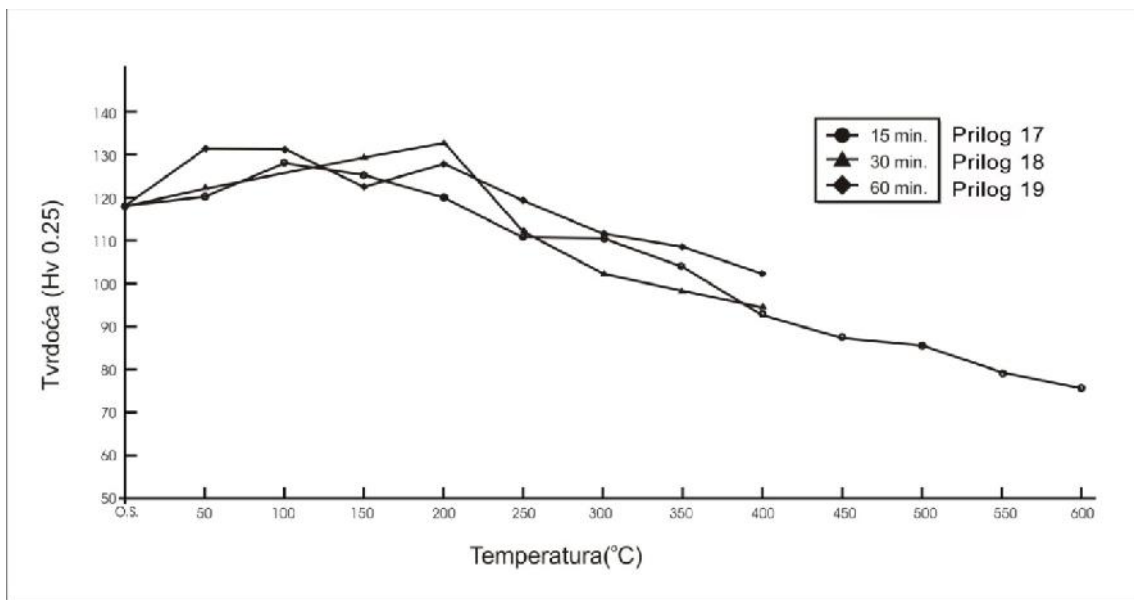
Rezultati merenja tvrdoće, prikazani su u obliku dijagrama zavisnosti od temperature starenja, na slici 82 do slići 85, kao i u obliku tabele u prilozima br.17 do 22, za leguru „L-3“, obrada grupa I i II (ta . 6.3.3). Neposredno na dijagramima zavisnosti tvrdoće od temperature starenja, označeni su i prilozi na osnovu kojih je svaki dijagram konstruisan.

Rezultati su za leguru Ag925Cu75, koja je takođe deo trojnog dijagrama Au-Ag-Cu, ali je legura bez prisustva zlata, sastava; Au 0,0mas%Au, Ag 92,5mas.%Ag, Cu 7,5mas.%Cu, prikazana na slici 44, i nalazi se na ivici trojnog dijagrama.

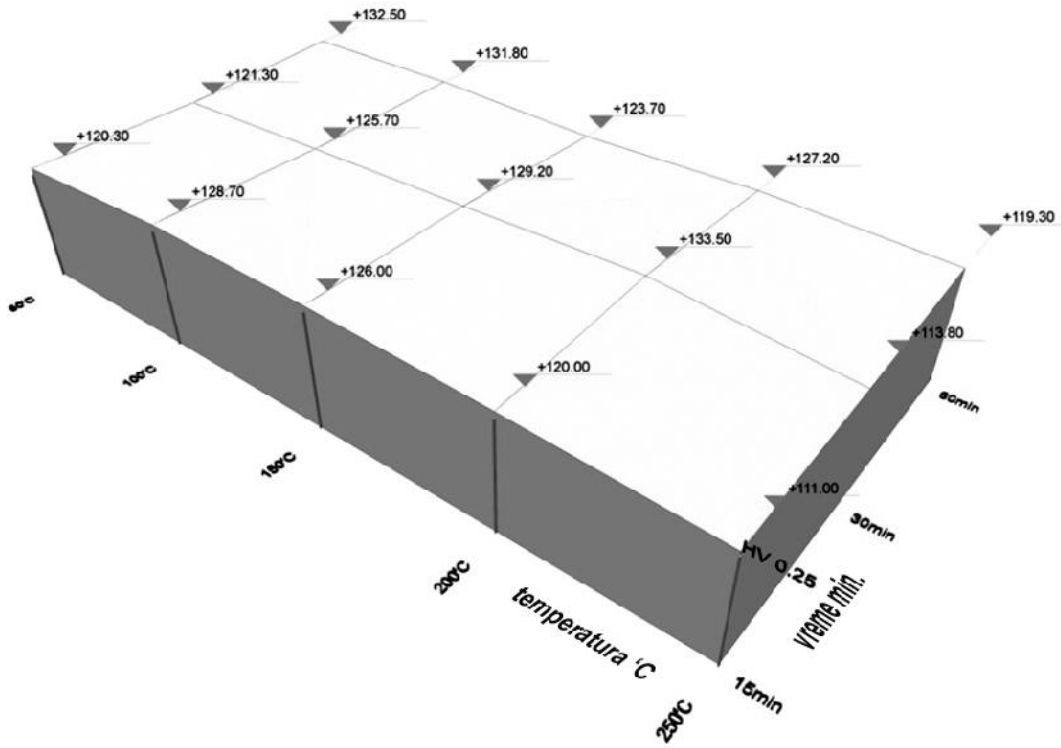
Na slici 82 prikazani su uporedni dijagrami tvrdoće u zavisnosti od temperature starenja, a takođe za različito vreme trajanja procesa, i to: $t = 15$ min, 30 min i 60 min, što je prikazano različitim tačkama na dijagramu.

Polazna tačka dijagrama na horizontalnoj osi „O.S.”, kojoj odgovara tvrdoća na vertikalnoj osi, na hladno deformisanom uzorku sa stepenom deformacije $\epsilon = 66,6\%$ (tabela 5), u iznosu od 118,00HV0.25 („L-3” - grupa I)

Nakon ove tačke, za dalje ispitivanje, upotrebljavani su uzorci iste legure „L-3”, kao i iste obrade – grupa I, pri čemu su žareni na temperaturi starenja od $t = 50^{\circ}\text{C}$ do 600°C , u vremenu $t = 15$ min, 30 min i 60 min.

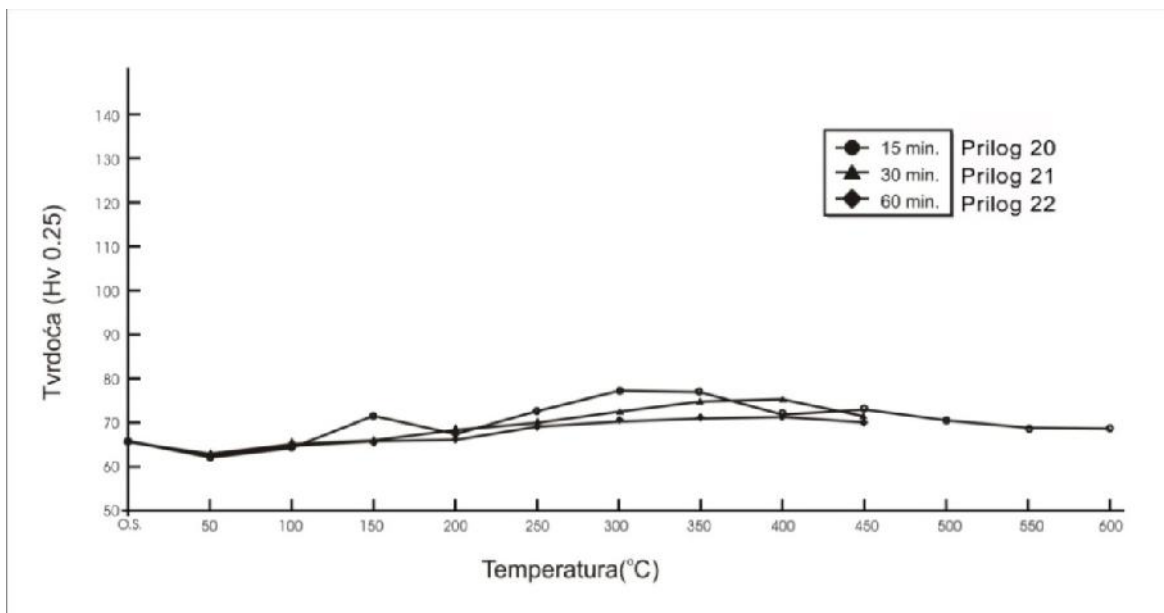


Slika 82.- Dijagram promene tvrdoće, HV0.25, u zavisnosti od temperature starenja za leguru „L-3”- grupa I, legura Ag925Cu75



Slika 83.- Prostorni idjagram promene tvrdoće, HV0.25, za tempereturni interval od 50°C do 250°C, za vreme trajanja procesa od 15 min, 30 min i 60 min, za leguru „L-3” – grupa I (deo slike 82)

Za izradu prostornog dijagrama na slici 83, korišten je deo dijagrama sa slike 82, u temperaturnom opsegu od $t = 50^{\circ}\text{C}$ do 250°C , a za vreme starenja od $\tau = 15 \text{ min}, 30 \text{ min}$ i 60 min . Na ovom dijagramu se vidi ponašanje legure „L-3” starenjem u okolini tačke sa maksimalnom vrednošću tvrdoće, od $133,5 \text{ HV0.25}$, sa elementima: temperature $t = 200^{\circ}\text{C}$ i vremena trajanja procesa starenja $\tau = 30 \text{ min}$.



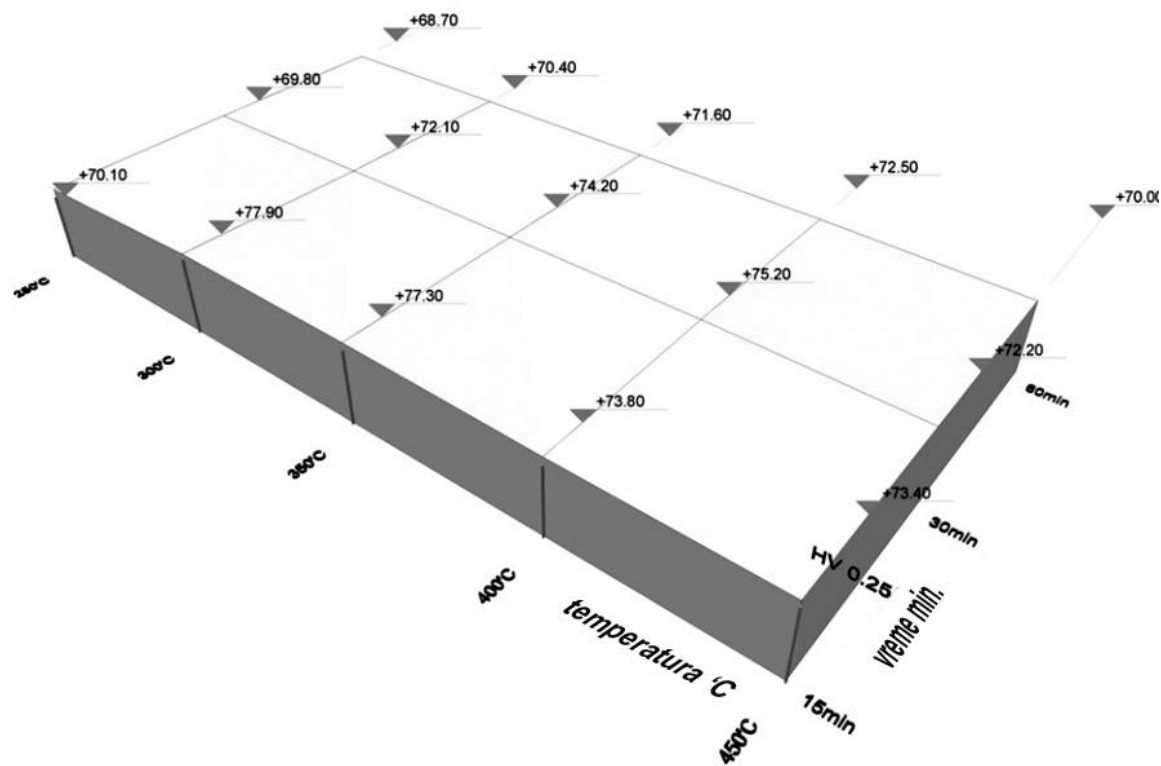
Slika 84.- Dijagram promene tvrdoće, HV0.25, u zavisnosti od temperature starenja, za leguru „L-3” – grupa II (Ag925Cu75)

Slike 84 i 85, takođe prikazuju ponašanje legure „L-3” – grupa II (tablica 6.3.3), tj. svi uzorci su nakon završene hladne deformacije žareni na temperaturi rekristalizacije za ovu leguru [4,121], i to na $t = 680^{\circ}\text{C}$, $\tau = 30 \text{ min}$, gašenje u rashladnom sredstvu.

Konstrukcija dijagrama na slikama 84 i 85, urađena je na osnovu rezultata prikazanih u prilogu br.20, 21 i 22.

Polazna tabela dijagrama na horizontalnoj osi „O.S”, nakon obrade, grupa II, dospila je vrednost tvrdoće od $66,8 \text{ HV0.25}$. Nakon toga urađeno je žarenje starenjem na temperaturi od $t = 50^{\circ}\text{C}$ do 600°C , sa $t = 50^{\circ}\text{C}$.

Bez obzira što je ista legura „L-3”, kao na slikama 82 i 83, samo je druga obrada (grupa II), temperaturni opseg, na osnovu koga je konstruisan prostorni dijagram na slici 85, i kada je došlo do rasta vrednosti tvrdoće i dostizanja maksimuma tvrdoće, nije isti, već je temperaturni opseg, prema postignutim rezultatima, od $t = 200^{\circ}\text{C}$ do 450°C .

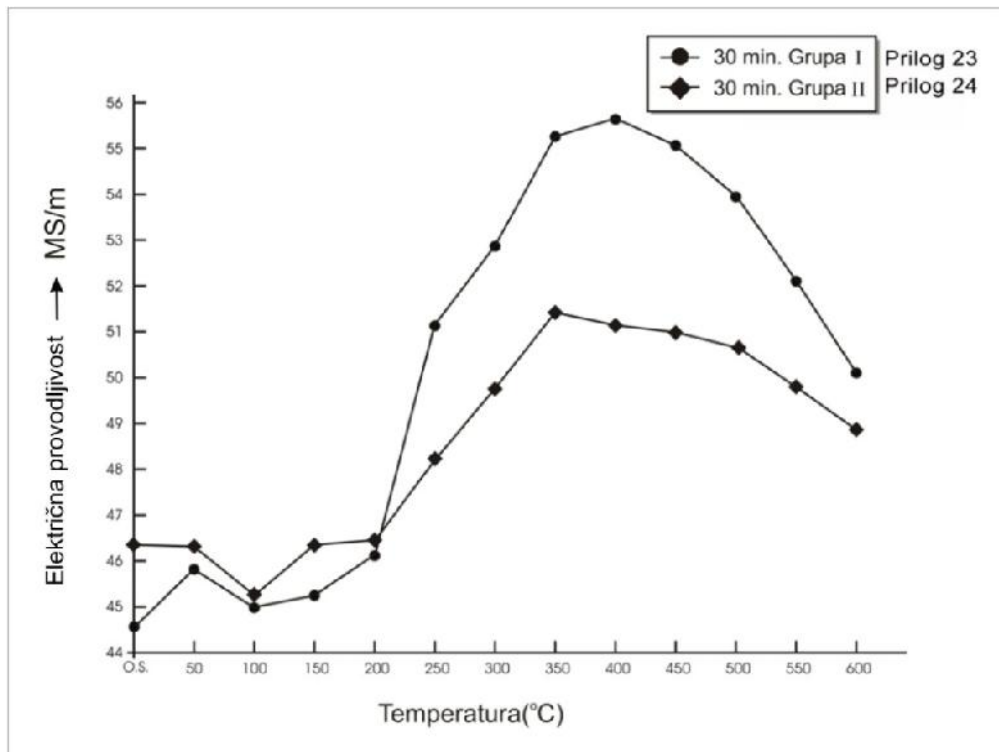


Sliak 85.- Prostorni dijagram promene tvrdoće, HV0.25, za temperaturni interval od 200°C do 450°C , za vreme trajanja procesa od 15 min, 30 min i 60 min, za leguru „L-3” – grupa II (deo slike 84)

Maksimalna tvrdoća postignuta ovim na inom obrade starenjem, kao što se i vidi na prostornom dijagramu na slici 85, u iznosu od $75,20\text{HV}0.25$, za elemente obrade: temperatura $t = 400^{\circ}\text{C}$ i vreme $= 30 \text{ min}$.

6.7.3.2.- Rezultati merenja električne provodljivosti

Dijagram prikazan na slici 86, predstavlja krivu zavisnosti električne provodljivosti od temperature starenja za leguru „L-2” – grupa I i grupa II, koja je konstruisana na osnovu rezultata merenja iz priloga br. 23 i 24.



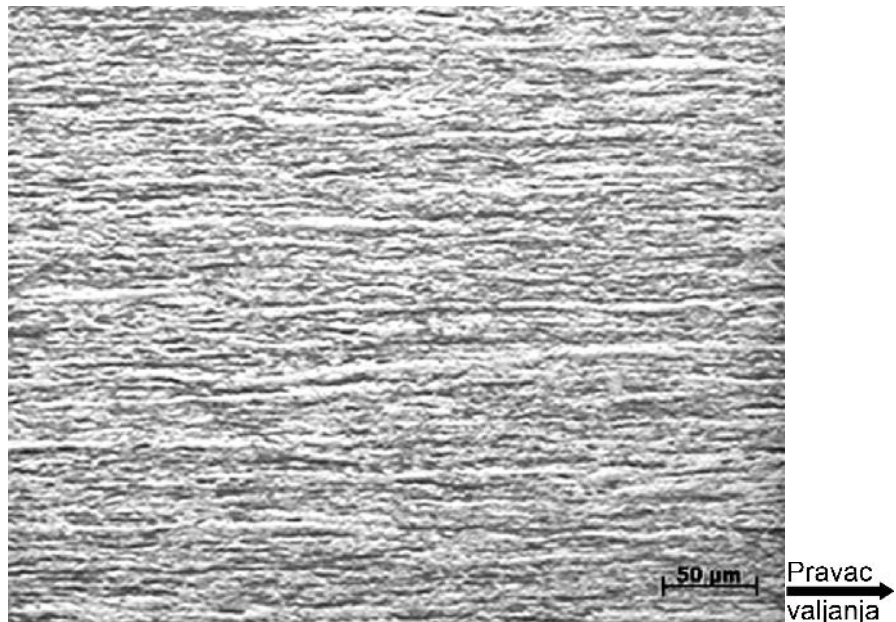
Slika 86.- Dijagram promene električne provodljivosti u zavisnosti od temperature starenja za leguru „L-3” – grupa I i grupa II

Prikazani rezultati su, počev od polazne „O.S.” tada, a potom za temperature starenja od $t = 50^{\circ}\text{C}$ do 600°C , sa $t = 50^{\circ}\text{C}$.

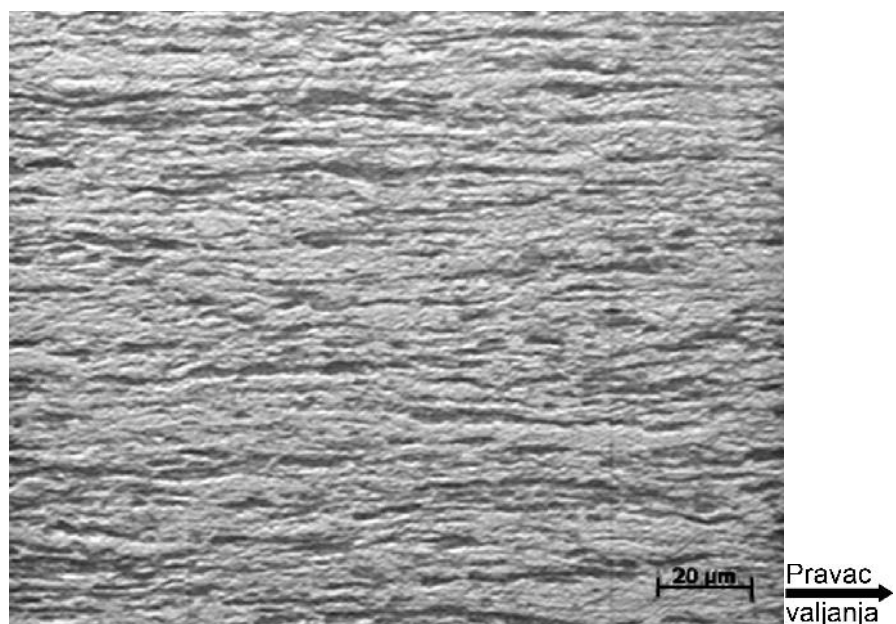
Legure srebra, uključujući i leguru Ag925Cu75, pored upotrebe u proizvodnji nakita, koriste se i kao kontaktni elementi u elektro-postrojenjima usled dobre električne provodljivosti, koja je približno 10 puta veća od vrednosti električne provodljivosti za legure sa sadržajem zlata, u ovom slučaju „L-1” i „L-2”.

6.7.3.3.- Rezultati metalografskog ispitivanja

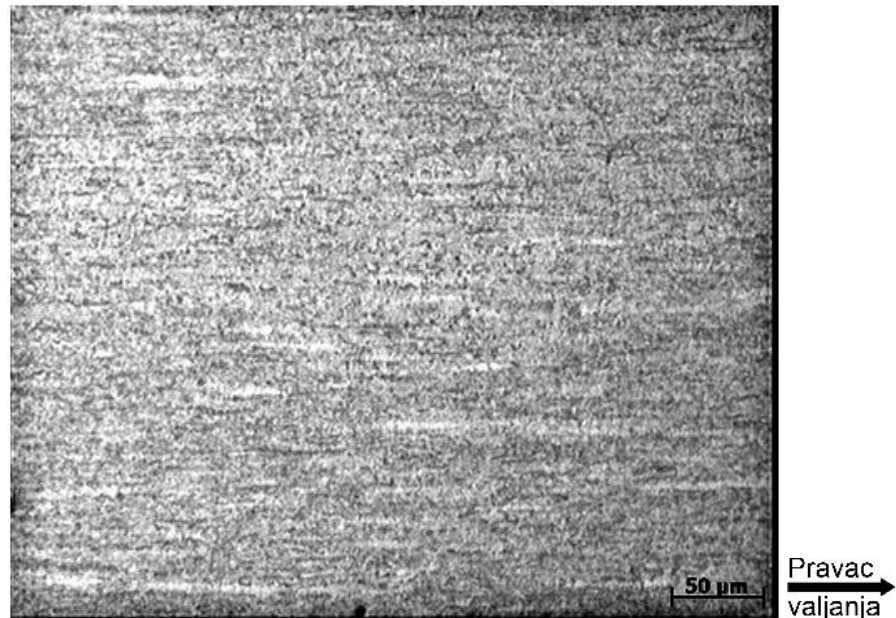
Metalografska ispitivanja optičkom mikroskopijom, za leguru „L-3”, prikazana su na slici 87 do sl.100. Odabrani uzorci za metalografsko ispitivanje su, kao i kod prethodne dve legure, počev od polaznog stanja „O.S.”, za grupu I i grupu II (tablica 6.3.3), pa preko uzoraka sa maksimalno postignutom tvrdinom i maksimalno ostvarenom električnom provodljivošću, sve do uzoraka sa strukturom kod kojih je završena rekristalizacija.



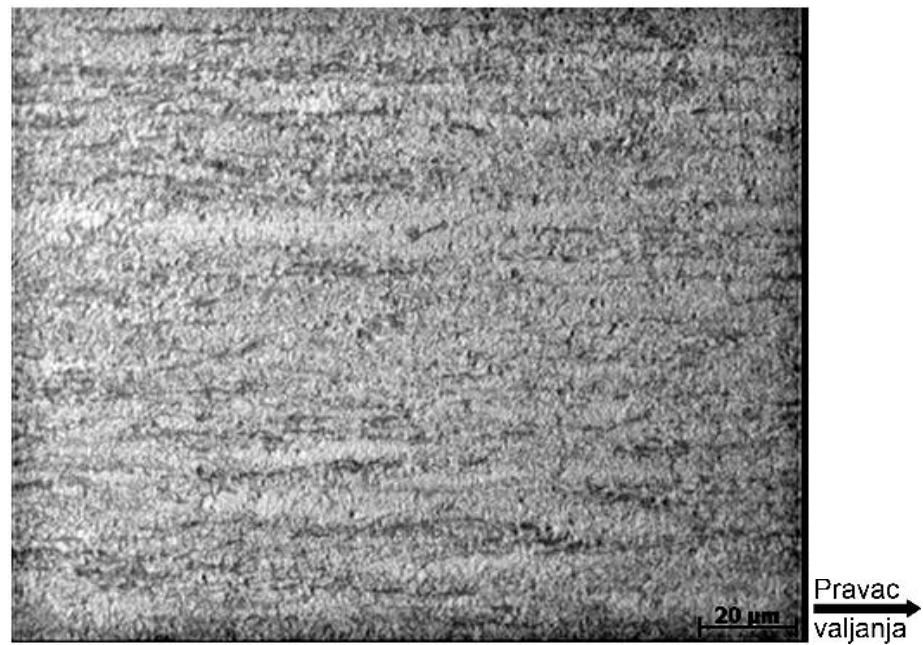
Slika 87.- Legura „L-3” – grupa I. Tačka „O.S.” – 118,00HV0.25, po etno taka sa dijagrama slika 82, hladno-valjani lim sa stepenom deformacije = 66,6%. Uvećanje x200. Izdužena zrna u pravcu hladne deformacije valjanjem



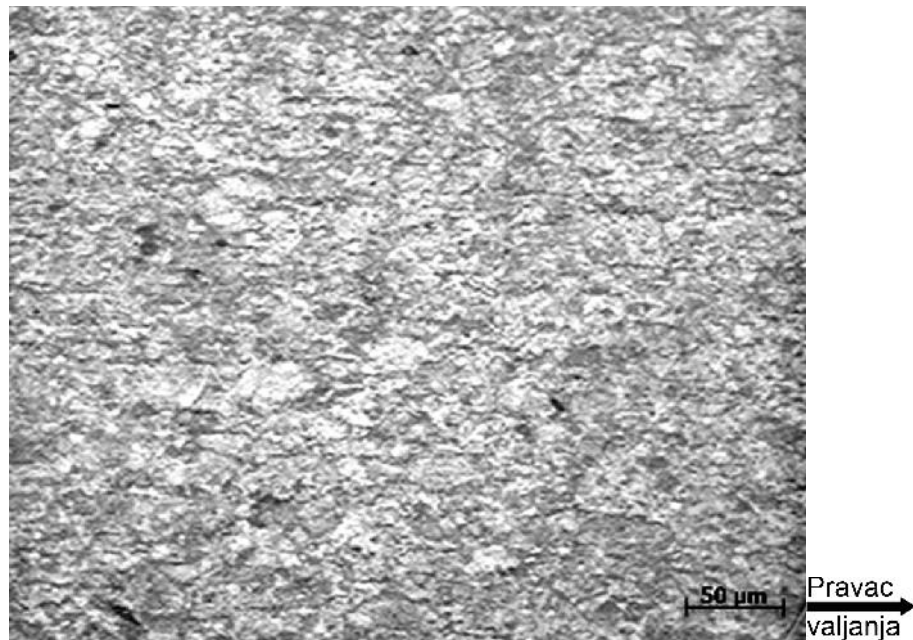
Slika 88.- Legura „L-3”- grupa I. Tačka „O.S.”- 118,00HV0.25, po etno taka sa dijagrama slika 82, hladno-valjani lim sa stepenom deformacije = 66,6%. Uvećanje x500. Izdužena zrna u pravcu hladne deformacije



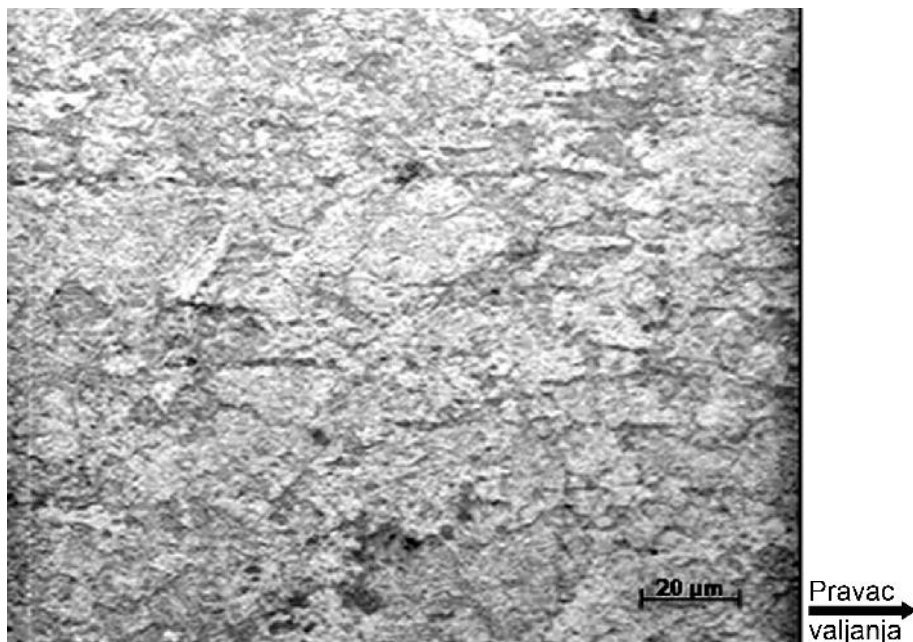
Slika 89.- Legura „L-3”- grupa I. Elementi obrade: temperatura $t = 200^{\circ}\text{C}$, vreme = 30 min, hla enje na vazduhu, maksimalno ostvarena tvrdo a na dijagramu 133,50HV0.25 usled mehanizma pojave taloga. Uve anje x200. Izdužena zrna u pravcu valjanja sa veoma finim dvojnicima žarenja



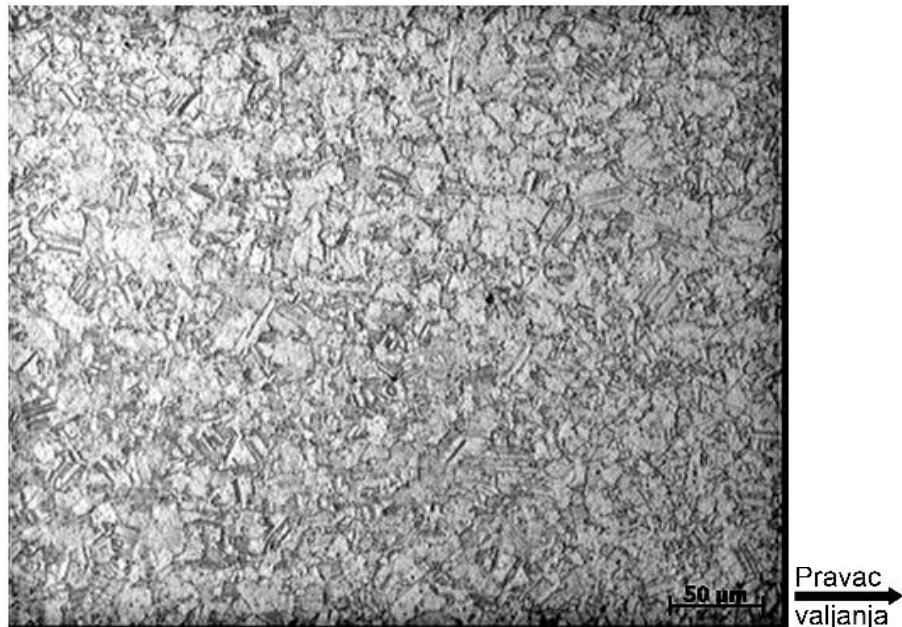
Slika 90.- Legura „L-3”- grupa I. Elementi obrade: kao na slike 89. Uve anje x500. Izdužena zrna u pravcu valjanja sa veoma finim dvojnicima žarenja



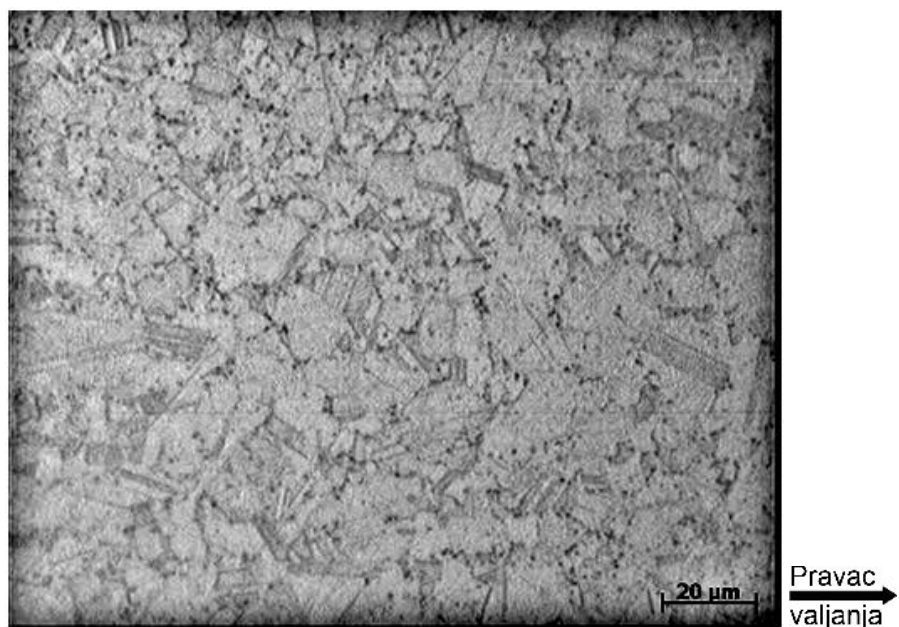
Slika 91.- Legura „L-3”- grupa I. Elementi obrade: temperatura $t = 600^{\circ}\text{C}$, vreme = 15 min, hlađenje na vazduhu, ostvarena tvrdo a 76,80HV0.25. Uve anje x200. Završena rekristalizacija sa sika 87/88; struktura koja se postiže rekristalizacionim žarenjem nakon hladne deformacije, i koja je pogodna za narednu obradu hladnom deformacijom



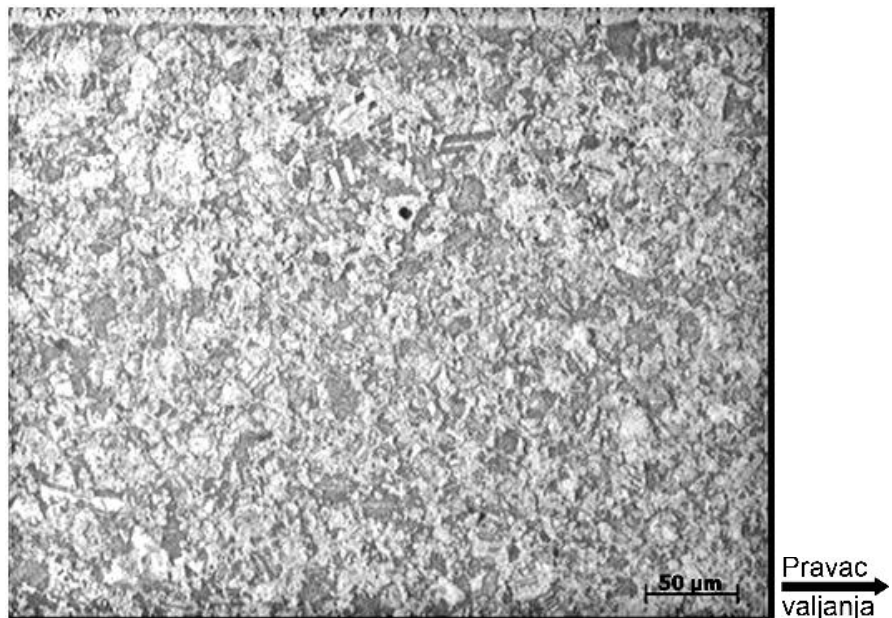
Slika 92.- Legura „L-3”- grupa I. Elementi obrade: kao na sl.91. Uve anje x500. Završena rekristalizacija sa slike 87/88; rekristalizaciona struktura, pogodna za sledeću obradu hladne deformacije



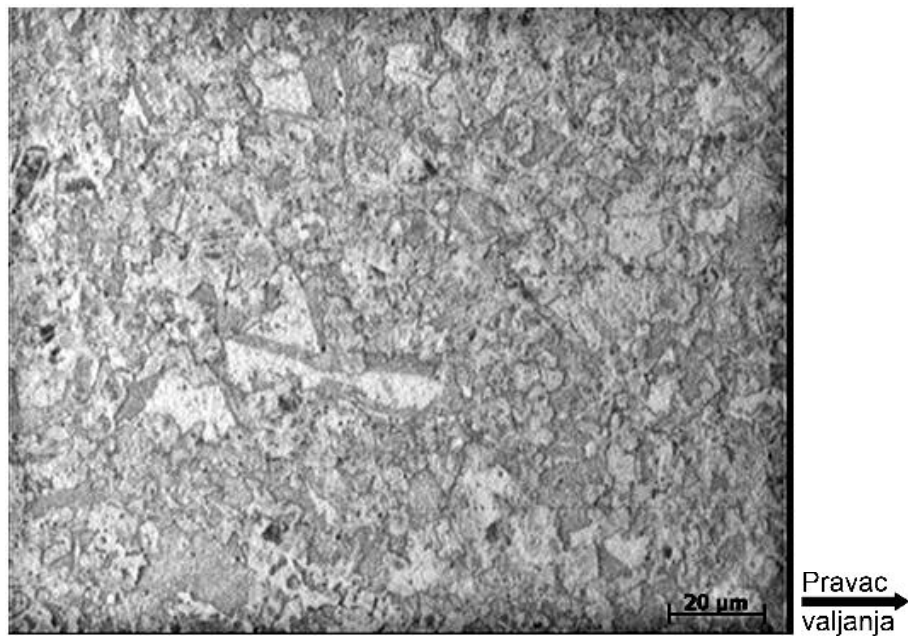
Slika 93.- Legura „L-3”- grupa II. Tačka „O.S.”- 66,80HV0.25, polazna tačka na dijagramu slike 84. Uveanje x200. Primarni kristali - vrstog rastvora, dobijenog hlađenjem sa 680°C u vodi; sitnozrna struktura sa pojavom dvojnika žarenja



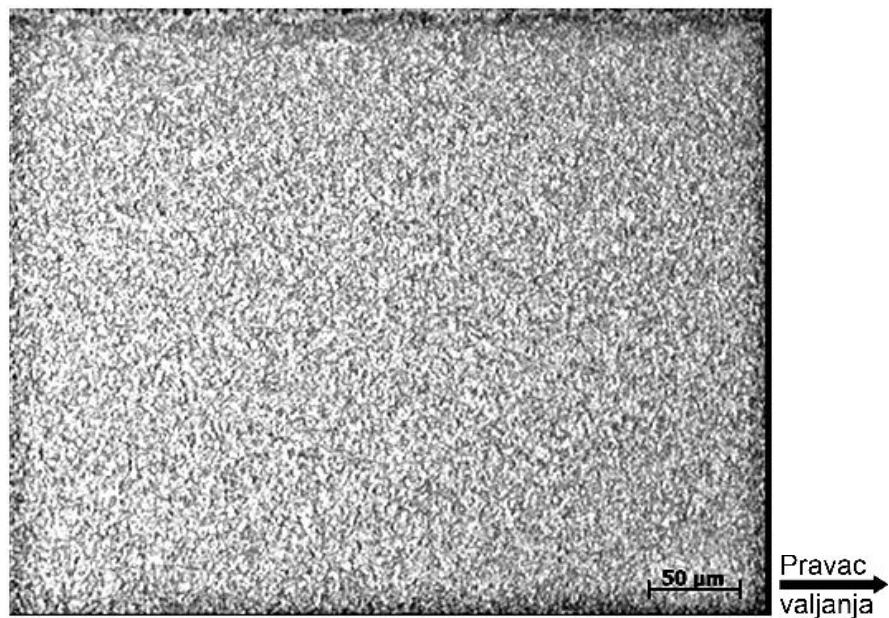
Slika 94.- Legura „L-3”- grupa II. Tačka „O.S.”- 66,80HV0.25, polazna tačka na dijagramu slike 84. Uveanje x500, sl.93. Primarni kristali - vrstog rastvora, dobijenog hlađenjem sa 680°C u vodi; struktura pogodna za dalju obradu



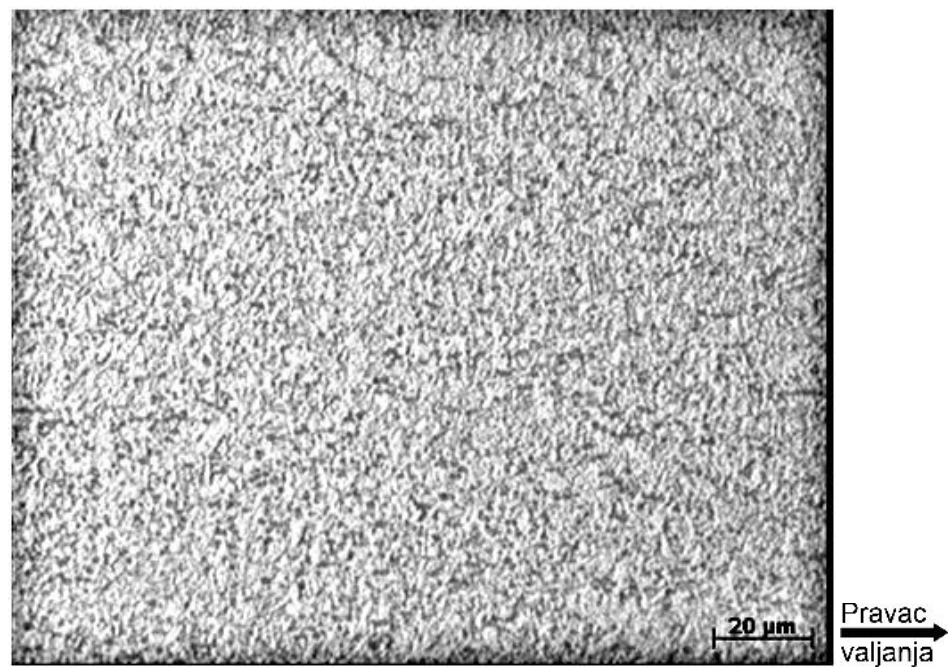
Slika 95.- Legura „L-3“- grupa II. Elementi obrade: temperatura $t = 300^{\circ}\text{C}$, vreme = 15 min, hla enje na vazduhu, maksimalno ostvarena tvrdo a na dijagramu 77,90HV0.25. Uve anje x200; Pove anje tvrdo e usled pojave dvojnika kao i pojave taloga po granicama zrna



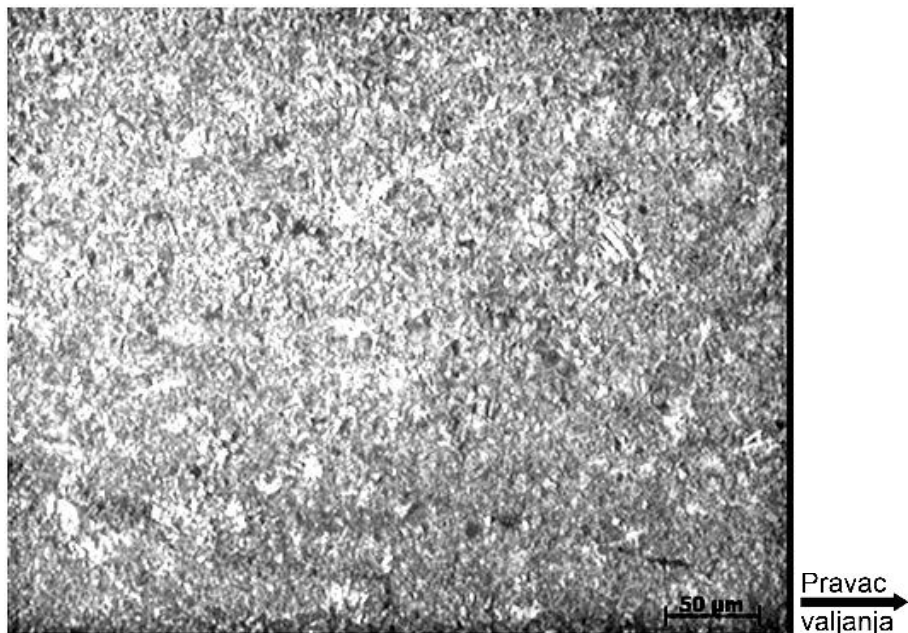
Slika 96.- Legura „L-3“- grupa II. Elementi obrade: kao na slike 95. Uve anje x500. Pove anje tvrdo e usled pojave dvojnika, kao i usled pojave taloga po granicama zrna



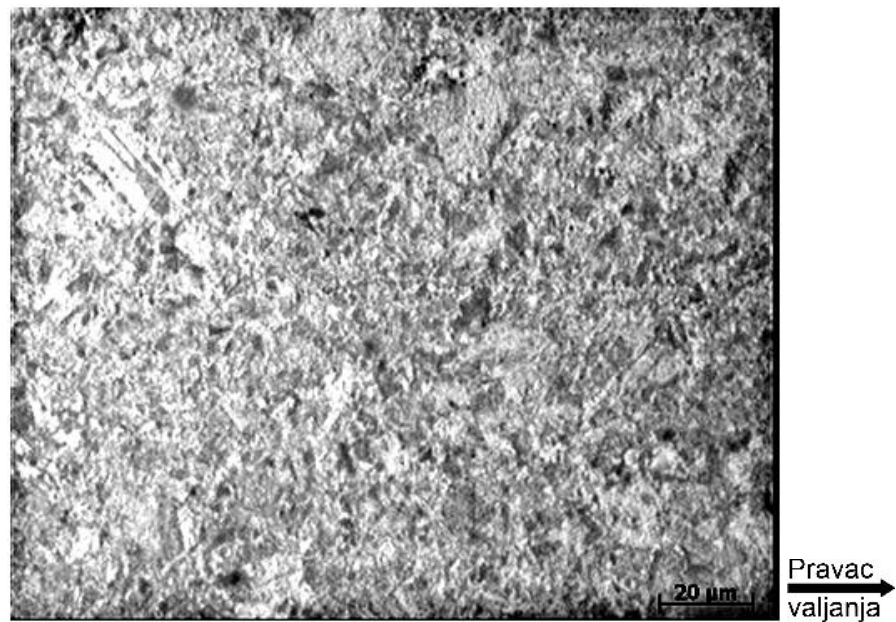
Slika 97.- Legura „L-3“- grupa II. Elementi obrade: temperaturna $t = 600^{\circ}\text{C}$, vreme = 15 min, hlađenje na vazduhu, ostvarena tvrdo a 68,20HV0.25. Uve anje x200. Uzorak sa sl.93 ponovo žaren na temperaturi neposredno ispod temperature rekristalizacije; dobijena fina + struktura



Slika 98.- Legura „L-3“- grupa II; elementi obrade: kao na slike 97. Uve anje x500



Sliak 99.- Legura „L-3”- grupa II. Elementi obrade: temperature $t = 400^{\circ}\text{C}$, $\tau = 30$ min, hla enje na vazduhu, ostvarena maksimalna tvrdoća od 75,50HV0.25. Uve anje x200. Struktura veoma slična strukturi sa slike 95, samo sa višom temperaturom i dužim vremenom trajanja procesa; pojava dvojnika po granicama zrna, kao i pojava taloga



Slika 100.- Legura „L-3”- grupa II. Elementi obrade: kao na sl.99. Uve anje x500. Struktura veoma slična strukturi sa slike 96

Na mikrofotografijama se uočava razlika u mikrostrukturi uzorka, počev od žarenog stanja na temperaturi rekrystalizacije, preko hladno-valjanog do stanja žarenja na temperaturi starenja. Za svaku ispitivanu ekstremnu temperaturu prikazane su po dve mikrofotografije, i to sa uvećanjem 200 i 500 puta, u cilju lakšeg sagledavanja mikrostrukturnih promena.

6.7.4.- Rezultati ispitivanja SEM/EDS

Analiza mikrostrukture skeniraju im elektronskim mikroskopom – SEM, ravan je na uređaju tipa JEOL JSM 6610LV sa EDS – *Oxford instruments energy dispersive spectrometer X MAX SDD*, za hemijsku analizu.

SEM snimanje uzorka vršeno je u visokom vakumu, od oko $30 \mu\text{Pa}$, (10^{-8} Pa), u *bek sketer* modu (BEC), kao i u modu sekundarnih elektrona (SEI). Efektivni prenik snopa pri EDS analizi, iznosio je $1 \mu\text{m}$, a vreme prikupljanja oko 30 sec.

Za SEM/EDS analizu odabrani su reprezentativni uzorci istraživanih legura na bazi zlata (legure L-1 i L-2) kao i legure na bazi srebra (legura L-3), koje su obrazene u optimizovanom režimu termomehaničke obrade starenjem. Osnovni cilj primene SEM/EDS analize je, da se ovim visokorezolutivnim metodama dodatno ispita mikrostrukture i identifikuju, odnosno potvrde o ekivane mikrostrukturne promene koje su nastale u primjenjenom režimu termomehaničke obrade, a koje su u direktnoj vezi sa poboljšanjem finalnih funkcionalnih svojstava istraživanih legura.

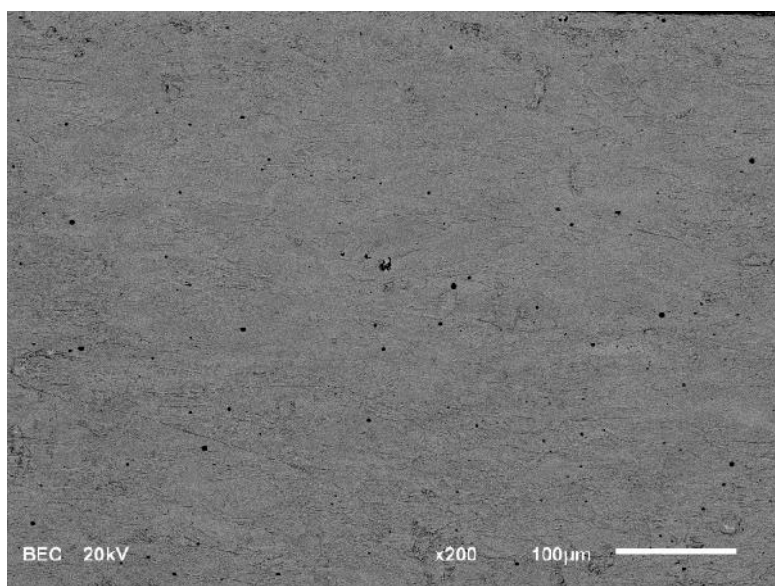
U cilju dobijanja što boljeg uvida u nastale mikrostrukturne promene i njihove pouzdane identifikacije, SEM ispitivanja su vršena sa tri različita uvećanja na reprezentativnim uzorcima legura na bazi zlata (legure L-1 i L-2), i sa dva različita uvećanja na reprezentativnom uzorku legure na bazi srebra (legura L-3). Mikrostruturna analiza je vršena na nagrizanoj, prethodno visoko poliranoj površini poprečnog preseka ispitivanih uzorka. Svi uzorci su nakon poliranja nagrizani [112], zbog potreba optike mikroskopije.

Primenom EDS analize ispitana je hemijski sastav za svaki odabrani uzorak istraživanih legura. Ispitivanje je vršeno u pet takava. Ispitne temperature su izabrane tako da se identificuje hemijski sastav formiranih karakterističnih fazova/dvojnika, kao i što pouzdaniji sastav odnosno udio konstitutivnih elemenata u ispitivanim legurama u celini.

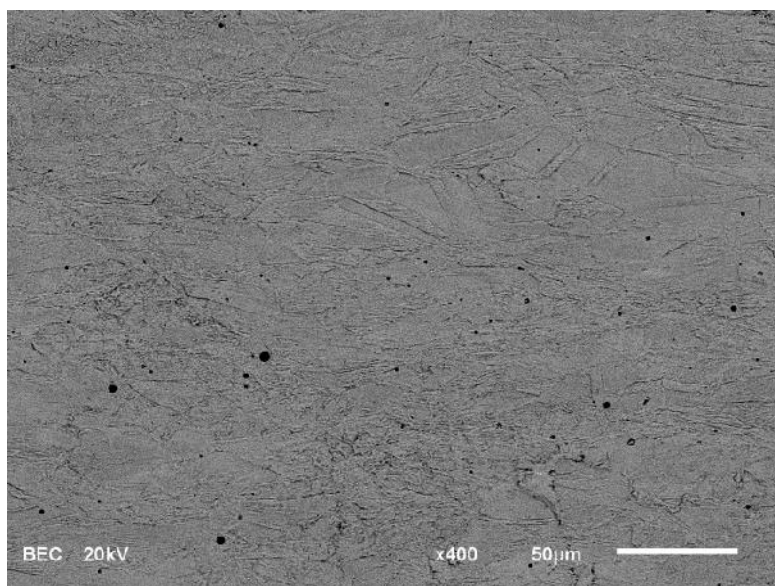
Rezultati EDS analize za svaki ispitani uzorak vršeni su na SEM snimcima sa označenim ispitnim tačkama. U radu je prikazan sumarni EDS spektar za svaki analizirani uzorak, uz svaku leguru posebno. Na osnovu EDS spektra, za svaku ispitnu temperaturu na analiziranim uzorcima istraživanih legura, izračunat je udio konstitutivnih elemenata (mas.%), i prikazan tabelarno za odgovarajući ispitni uzorak ponaosob.

6.7.4.1.- Rezultati ispitivanja SEM/EDS legure „L-1” –Au585Ag90Cu264Zn61

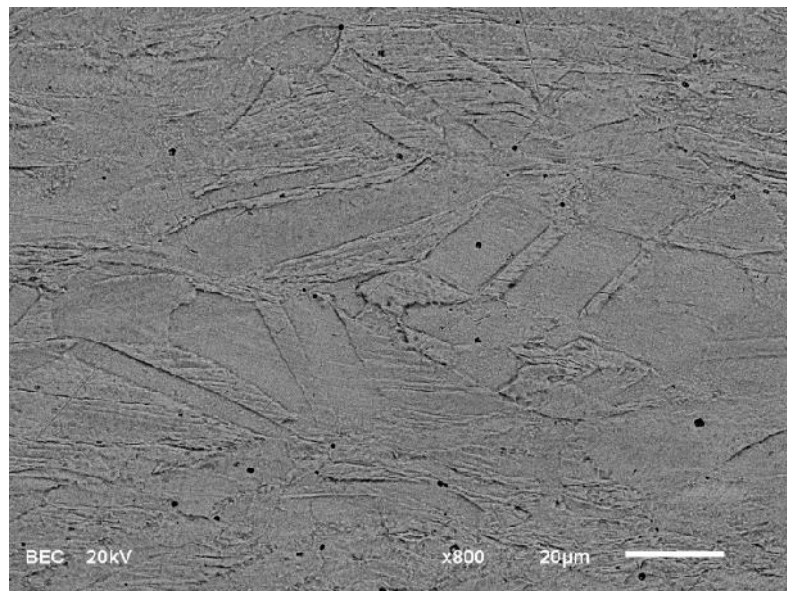
Rezultati ispitivanja SEM, za leguru L-1, grupa I, su za uzorak sa slike 59 optičke mikrofotografije i prikazani su na slikama 101 do 103, dok je za leguru L-1, grupa II, korišten uzorak sa slike 62 optičke mikrofotografije i prikazani na slikama 105 do 107. Za obe grupe odabrani su reprezentativni uzorci, tj. uzorci na kojima su starenjem postignuti maksimalni rezultati o vršavanja.



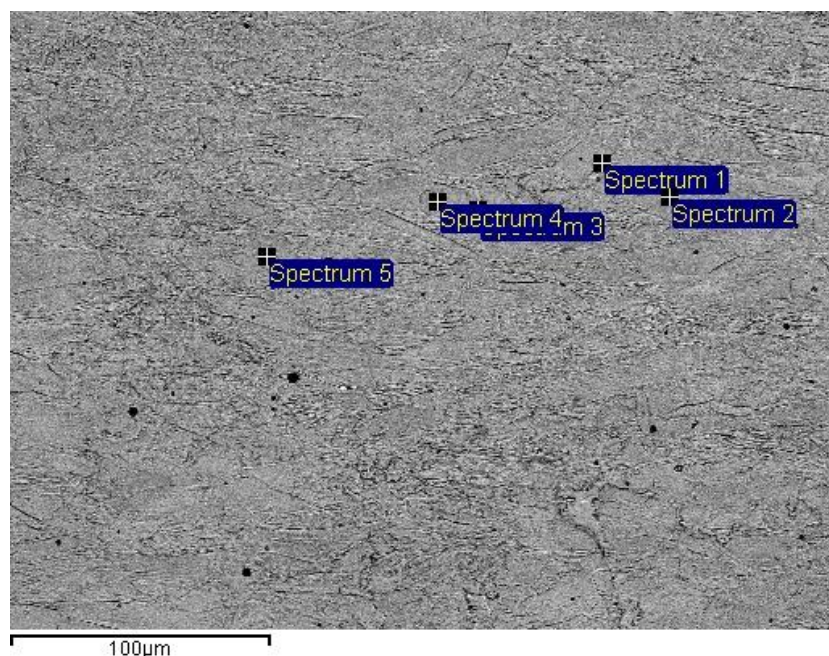
Slika 101.- Izgled snimka uređeno SEM-om, sa uvećanjem x200. Uzorak „L-1”, grupa I. Uzorak sa slike 59. Elementi obrade: $t = 200^{\circ}\text{C}$, $\tau = 30 \text{ min}$, 251.00HV0.25



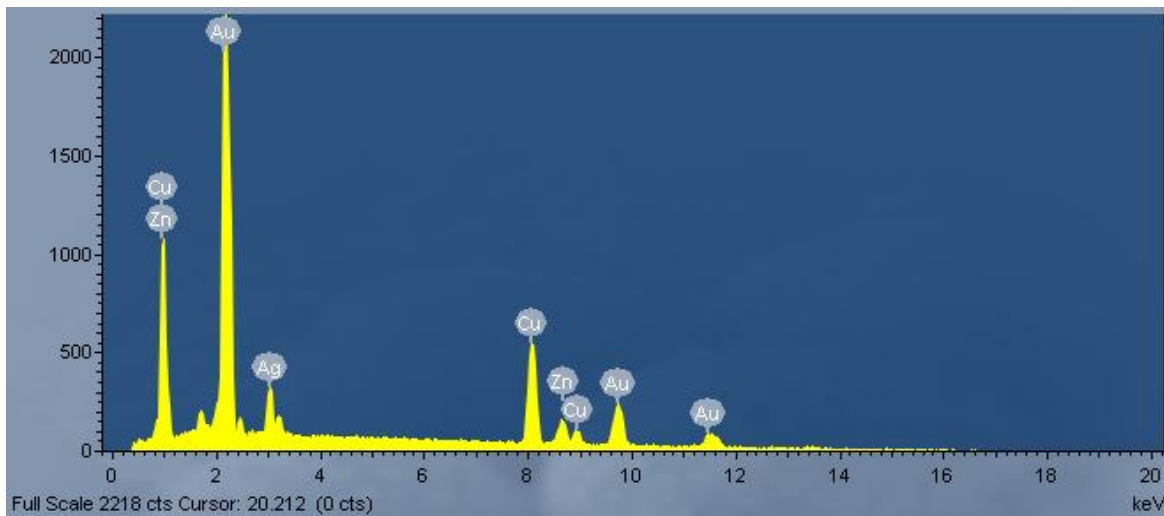
Slika 102.- Izgled snimka SEM, slike 101. Uvećanje x400



Sliak 103.- Izzgled snimka SEM, slike 101. Uve anje x800. Istaknuta pojava dvojnika u strukturi



Slika 104.- Prikaz slike 102 sa tačkama za ispitivanje hemijskog sastava. Uve anje x400

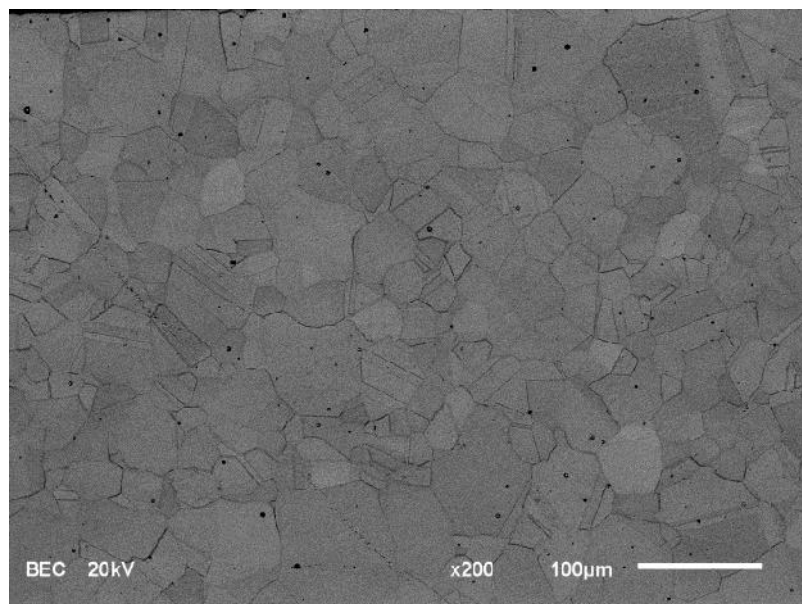


Slika 105.- Rezultati EDS analize uzorka sa slike 101

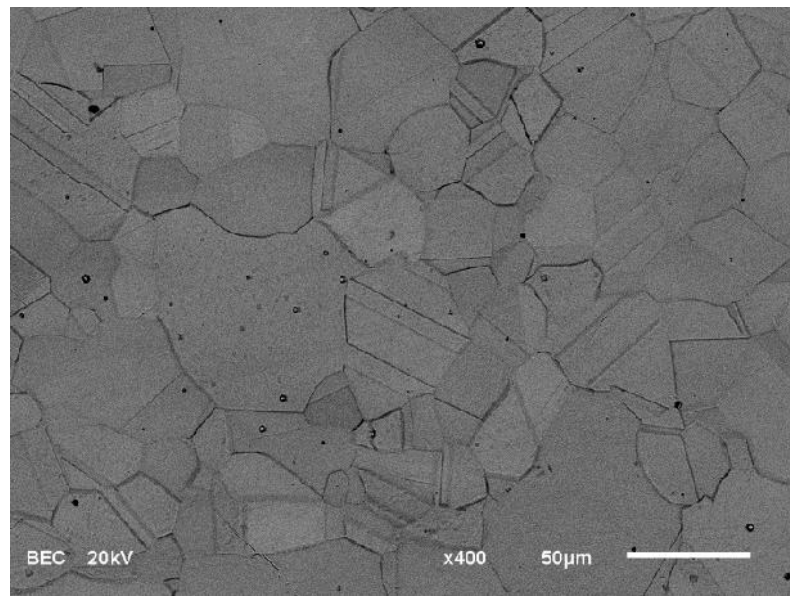
Tabela 7.- Sadržaj komponenata legure u pojedinim tačkama prema slici 104

Spektar	Cu, wt%	Zn, wt%	Ag, wt%	Au, wt%	Total, wt%
Spectrum 1	25.56	7.49	7.93	59.03	100.00
Spectrum 2	23.86	7.15	7.77	61.22	100.00
Spectrum 3	24.97	6.36	7.16	61.51	100.00
Spectrum 4	24.36	6.19	7.60	61.86	100.00
Spectrum 5	24.02	6.91	7.72	61.34	100.00
Srednjavrednost	24.56	6.82	7.63	60.99	100.00
Std. devijacija	0.71	0.54	0.29	1.13	-
Max.	25.56	7.49	7.93	61.86	-
Min.	23.86	6.19	7.16	59.03	-

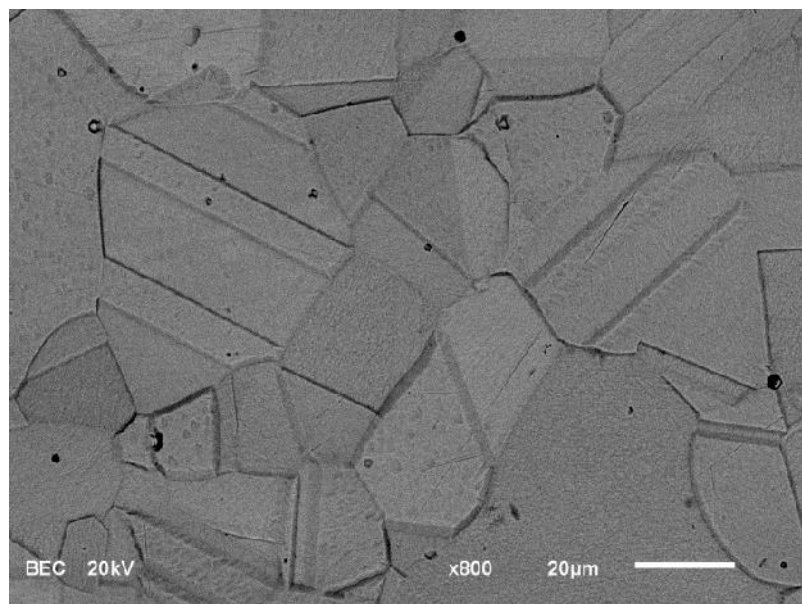
Kao što je vidljeno, na slikama 101, 102 i 103, prikazane su mikrofotografije uređene skenirajućom elektronskom mikroskopijom – SEM, sa različitim uvećanjima, i to: 200, 400 i 800 puta, za uzorak sa slike 59. Na slici 104, sa uvećanjem od 400 puta, u pojedinim karakteristikama tačkama uzorka (mesta dvojnika i sl.) određen je hemijski sastav legure na nivou mikrokonstituenta, i prikazano je za pojedine tačke u tabeli 7. Merenje je rađeno u sredini zrna, odnosno nije rađeno po granici zrna.



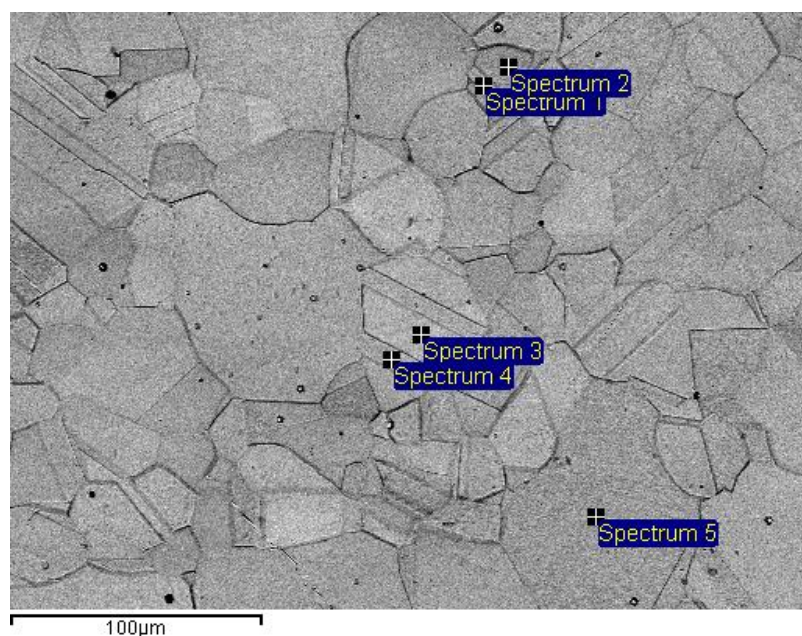
Slika 106.- Izgled snimka ura enom ure ajem SEM, sa uve anjem x200; Uzorak: „L-1”, grupa II, uzorak sa slike 62. Elementi obrade: $t = 200^{\circ}\text{C}$, $\tau = 30 \text{ min}$, 169.80HV0.25



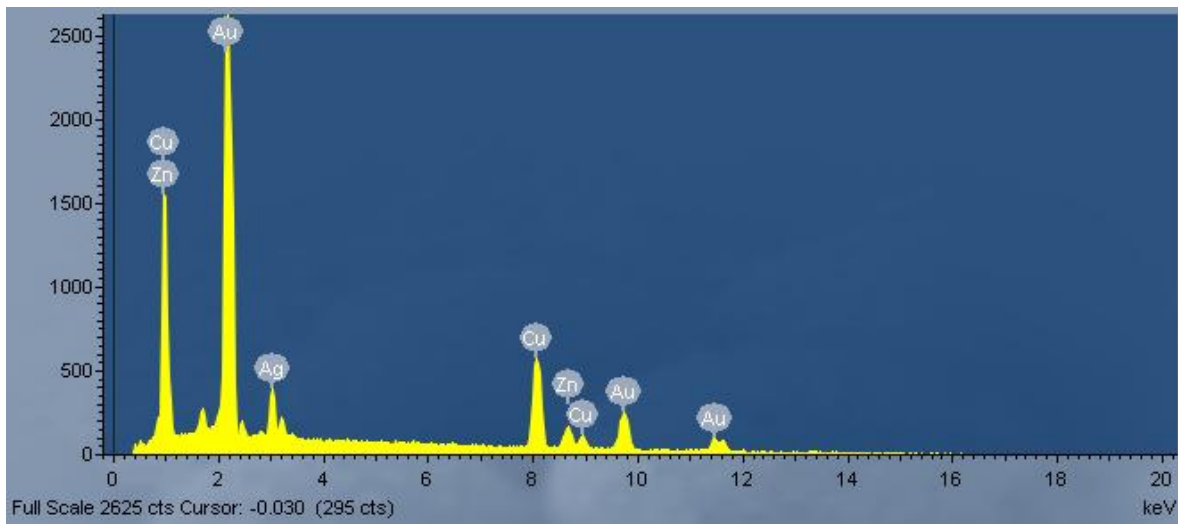
Slika 107.- Izgled snimka SEM sa slike 106, sa uve anjem x400. Isti e se pojava dvojnika žarenja u strukturi legure



Slika 108.- Izgled dela slike 106, snimak SEM-a, sa uve anjem od x800. Izrazito istaknuti dvojnici žarenja



Slika 109.- Prikaz ispitnih taka za određivanje hemijskog sastava sa slike 107. Uve anje x400



Slika 110.- Rezultati EDS uzorka sa slike 106

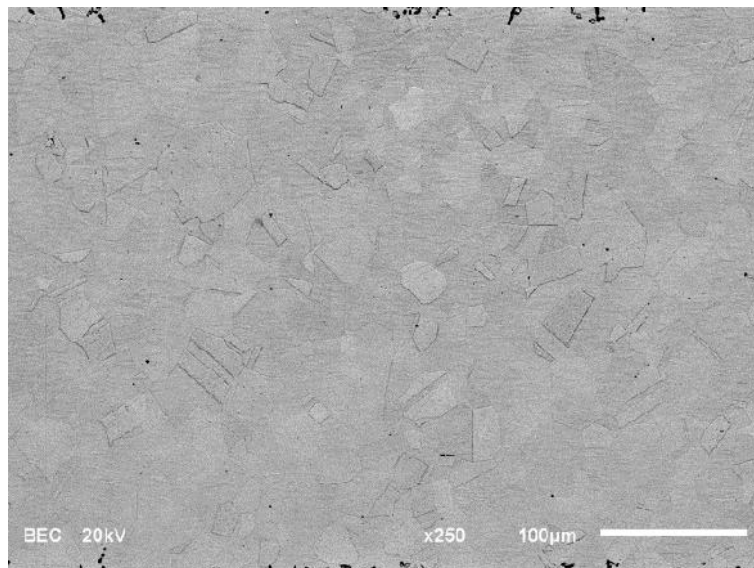
Tabela 8.- Sadržaj komponenata legure u pojedinim tačkama, prema sl.109

Spektar	Cu, wt%	Zn, wt%	Ag, wt%	Au, wt%	Total, wt%
Spectrum 1	23.91	6.75	8.27	61.07	100.00
Spectrum 2	24.77	6.88	7.11	61.23	100.00
Spectrum 3	23.94	7.19	7.94	60.94	100.00
Spectrum 4	24.50	6.71	7.92	60.87	100.00
Spectrum 5	24.09	6.49	8.26	61.16	100.00
Srednjavrednost	24.24	6.80	7.90	61.06	100.00
Std. devijacija	0.38	0.26	0.47	0.15	-
Max.	24.77	7.19	8.27	61.23	-
Min.	23.91	6.49	7.11	60.87	-

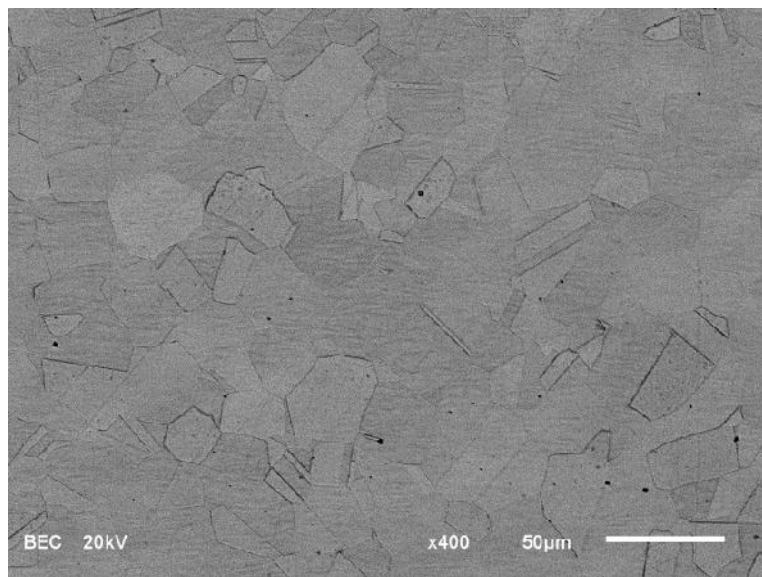
Slike 106 do 110, uključujući i tabelu 8, prikazuju rezultate SEM analize za uzorak legure „L-1”, grupa II, uzorak sa slike 62, optičke mikroskopije, sa sledećim elementima obrade: temperature $t = 200^{\circ}\text{C}$, vreme $= 30 \text{ min}$, hlađenje na vazduhu, ostvarena tvrdo a 168,80HV0.25, što predstavlja maksimum ostvarene tvrdoće na dijagramu.

6.7.4.2.- Rezultati ispitivanja SEM/EDS legure „L-2” – Au585Ag65Cu277Zn16Pd57

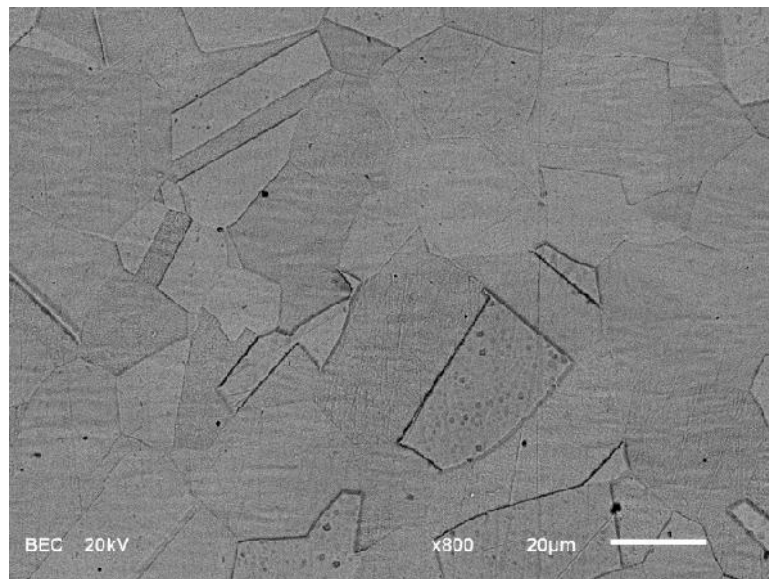
Za ispitivanje SEM/EDS, kod legure „L-2”, „belo zlato”, korišten je uzorak iz grupe II, sa sledećim elementima obrade: temperature starenja $t = 300^{\circ}\text{C}$, vreme $= 30 \text{ min}$, hlađenje na vazduhu, ostvarena tvrdo a 224,00HV0.25, što je maksimalno ostvarena tvrdoća na dijagramu slike 67. Ispitivani uzorak je prikazan optičkom mikroskopijom na slici 78, pri uvećanju x200, kao i na slici 79, pri uvećanju x500.



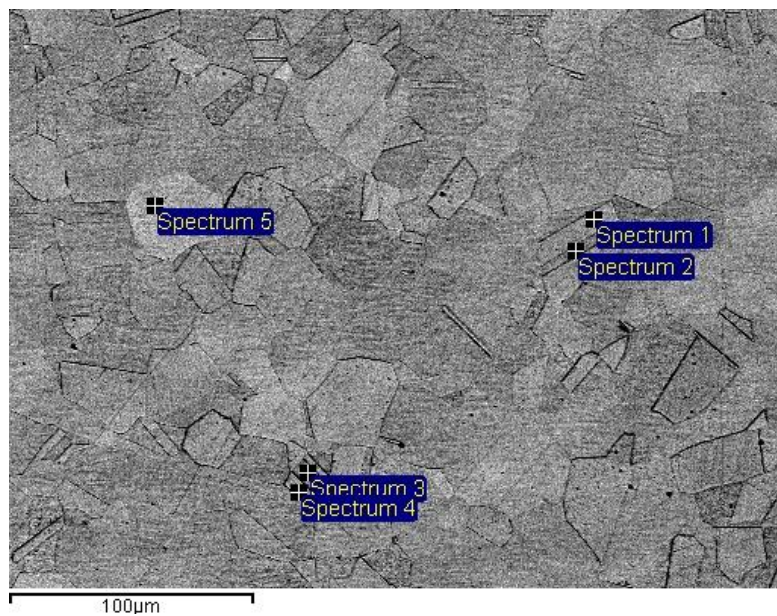
Slika 111.- Izgled snimka ure enom na ure aju SEM, sa uve anjem x250. Uzorak „L-2”, grupa II. Uzorak sa slika 78/79, opti ke mikrofotografije. Elementi obrade: $t = 300^{\circ}\text{C}$, $\omega = 30 \text{ min}$, ostvarena tvrdo a 224,00HV0.25



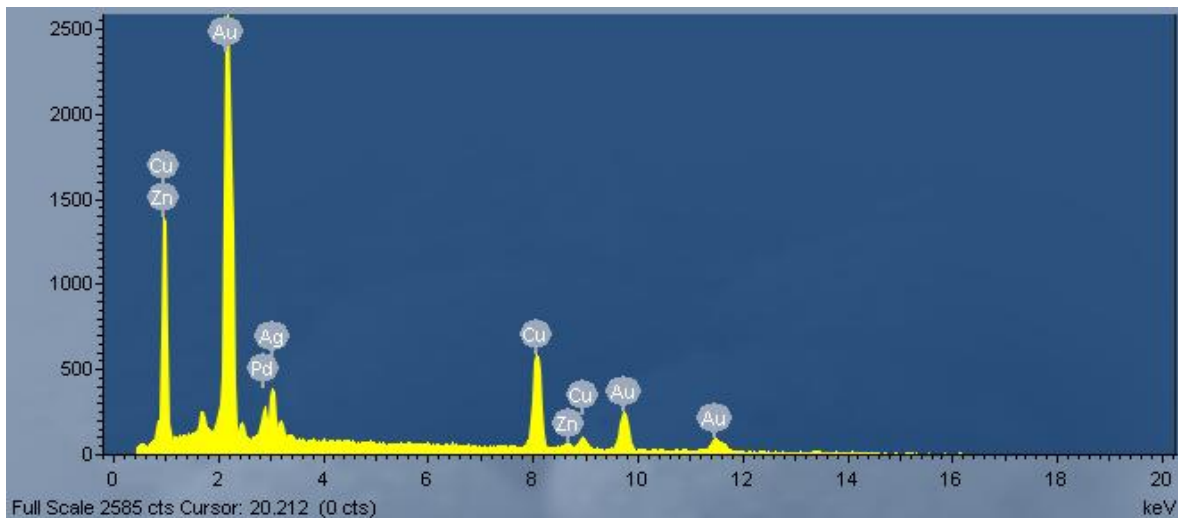
Slika 112.- Izgled snimka SEM sa slike 111, pri uve anju x400. Pojava dvojnika žarenja u strukturi legure



Slika 113.- Izgled snimka SEM sa slika 111/112, pri uve anju x800. Izrazito izraženi dvojnici žarenja



Slika 114.- Ispitne tačke za određivanje hemijskog sastava, slike 112. Uve anje x400



Slika 115.- Rezultati EDS uzorka sa slike 111

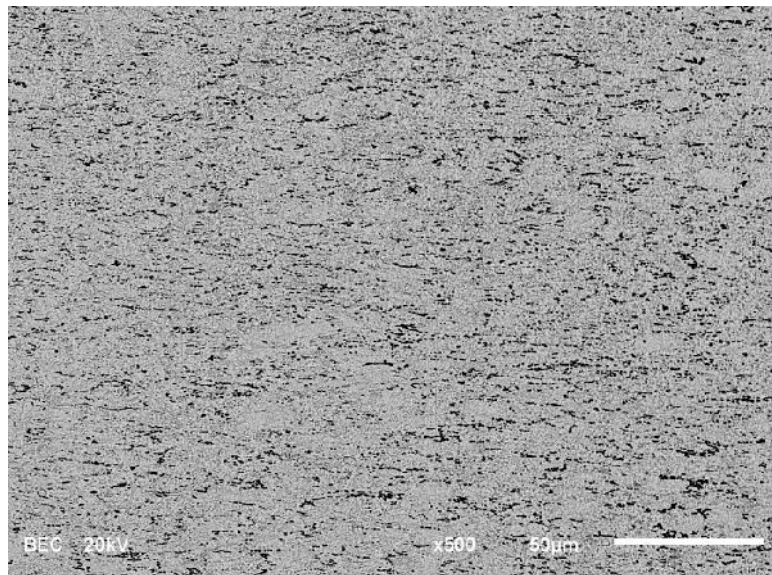
Tabela 9.- Sadržaj komponenata legure u pojedinim tačkama, prema slici 114;

Spektar	Cu, wt%	Zn, wt%	Pd, wt%	Ag, wt%	Au, wt%	Total, wt%
Spectrum 1	25.70	1.23	5.01	7.00	61.07	100.00
Spectrum 2	26.45	1.28	5.33	5.89	61.05	100.00
Spectrum 3	26.21	1.10	5.41	6.57	60.71	100.00
Spectrum 4	26.04	1.34	5.68	6.21	60.73	100.00
Spectrum 5	26.88	1.26	5.54	5.84	60.48	100.00
Srednjavrednost	26.26	1.24	5.39	6.30	60.81	100.00
Std. devijacija	0.44	0.09	0.25	0.49	0.25	-
Max.	26.88	1.34	5.68	7.00	61.07	-
Min.	25.70	1.10	5.01	5.84	60.48	-

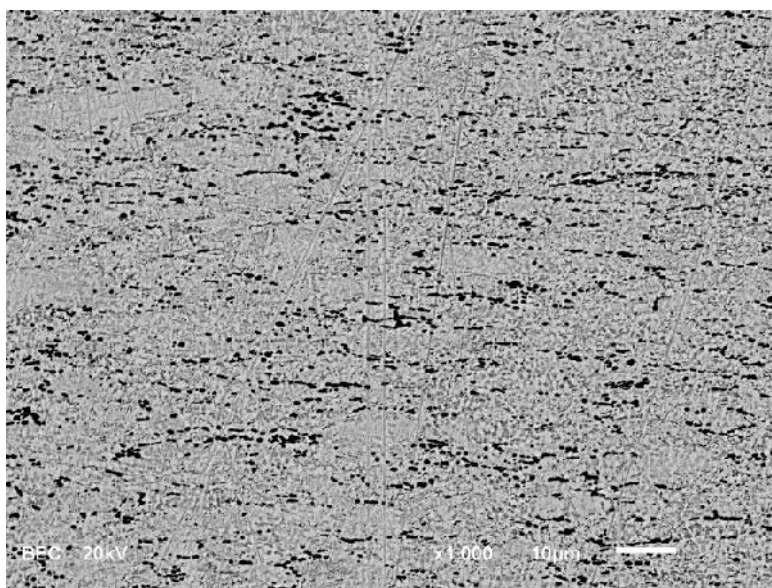
Na slikama 111 do 115, uključujući i tabelu 9, prikazana je obrada uzorka sa slike 78/79, optičke mikrofotografije, za leguru „L-2”, „belo zlato”, grupa II, sa već opisanim elementima obrade. Treba samo napomenuti da je ovo uzorak na kome je ostvarena maksimalna vrsto a pri starenju legure, i da je uzorak iz grupe II, što predstavlja da je prethodno žaren na temperaturi rekristalizacije, shodno tabeli 6.

6.7.4.3.- Rezultati ispitivanja SEM/EDS legure „L-3” – Ag925Cu75

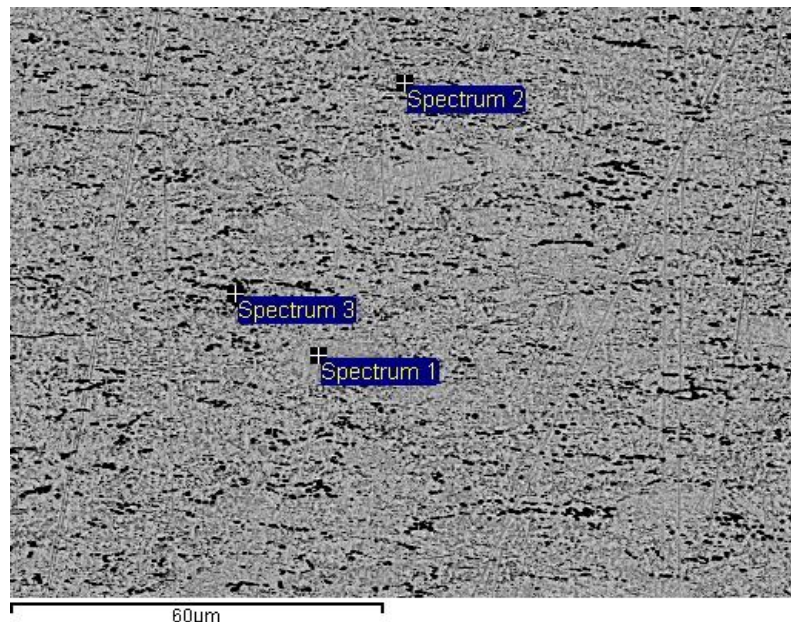
Za leguru „L-3“, ispitivanje SEM-om, odabran je uzorak iz grupe I, prikazan na slikama 89/90, sa uvećanjem x200, odnosno x500, i sa sledećim elementima obrade: temperatura starenja: $t = 200^{\circ}\text{C}$, vreme = 30 min, hlađenje na vazduhu, sa ostvarenom tvrdinom 133,50HV0.25, što predstavlja maksimalnu vrsto u na dijagramu slici 82.



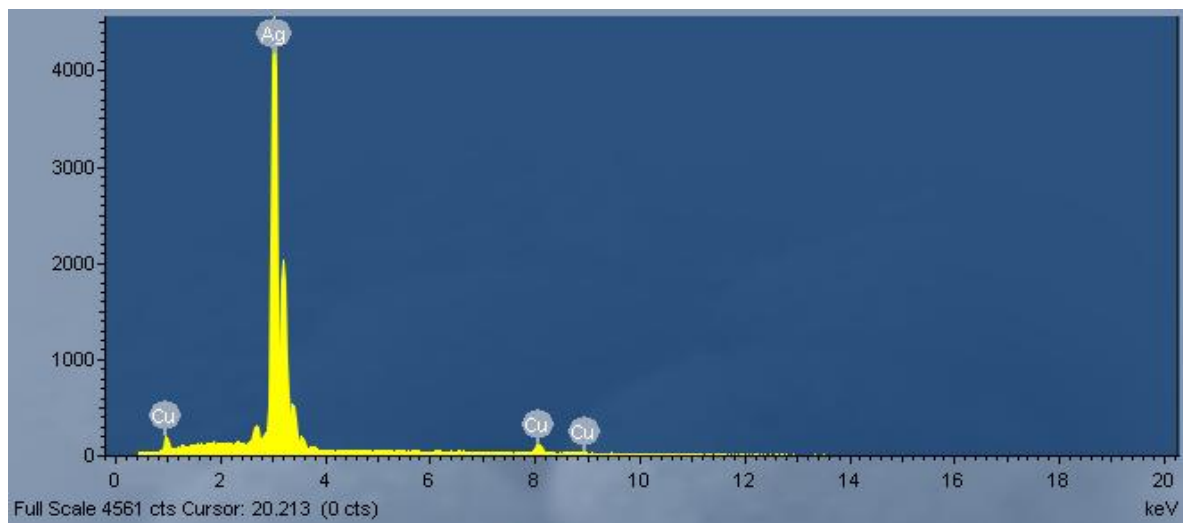
Slika 116.- Izgled snimka uzorka „L-3”, Grupa I, ura enom ure ajem SEM, sa uve anjem x500, uzorka sa slika 89/90 opti ke mikrofotografije. Elementi obrade: $t = 200^{\circ}\text{C}$, $\vartheta = 30 \text{ min}$, 133,50HV0.25



Slika 117.- Izgled snimka SEM sa slike 116, pri uve anju x1000



Slika 118.- Ispitne tačke za određivanje hemijskog sastava, slika 117. Uvećanje x1000



Slika 119.- Rezultati EDS uzorka sa slike 116;

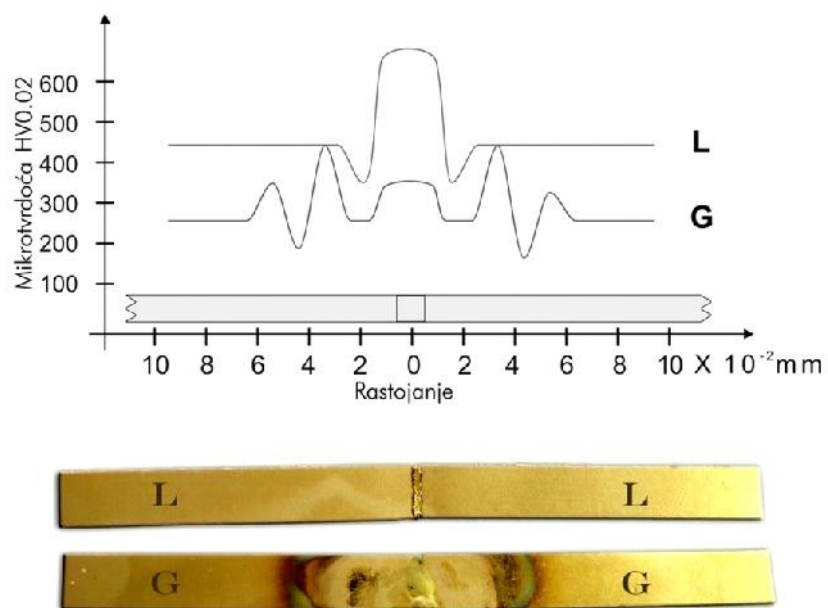
Slike 116 do 119, prikazuju obradu uzorka sa slike 89/90, optičke mikrofotografije, za leguru „L-3”, grupa I, legura srebra. U tabeli 10, prikazan je hemijski sastav u pojedinim takama uzorka na slici 118. Ovaj uzorak je sa ostvarenom maksimalnom vrstom označen obradi, grupa I.

Tabela 10.- Sadržaj komponenata legure „L-3”, u pojedinim tačkama, prema slici 118

Spektar	Cu, wt%	Ag, wt%	Total, wt%
Spectrum 1	4.68	95.32	100.00
Spectrum 2	5.16	94.84	100.00
Spectrum 3	4.76	95.24	100.00
Srednjavrednost	4.87	95.13	100.00
Std. devijacija	0.25	0.25	-
Max.	5.16	95.32	-

6.7.5.- Rezultati ispitivanja laserom, legure „L-1” – Au585Ag90Cu264Zn61

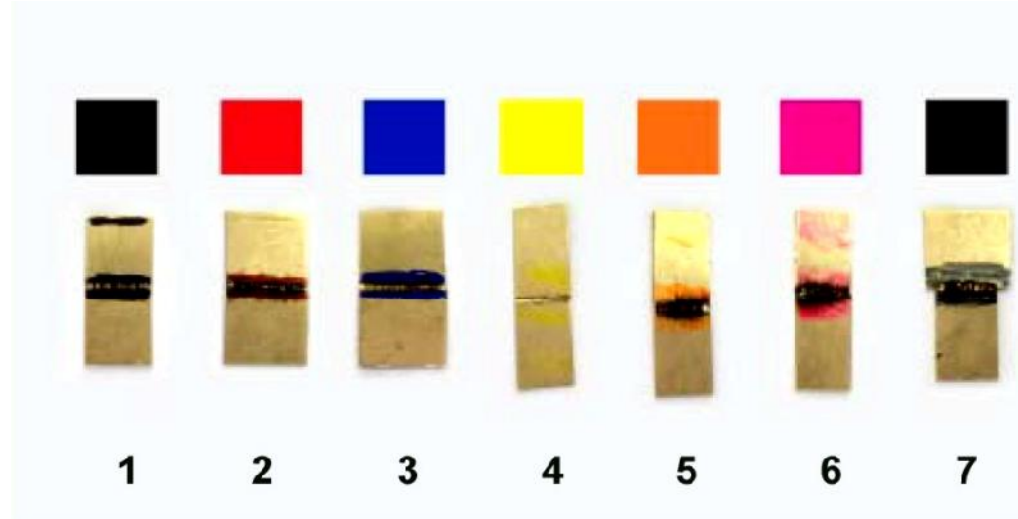
Korištenje lasera u proizvodnji nakita u zlatarstvu, najviše se primjenjuje prilikom zavarivanja bez ili sa dodatkom materijala. Za ispitivanje u radu korištena je legura „L-1”, grupa I, po etnog stanju (O.S), tj. bez obrade starenjem.



Slika 120.- Dijagram promene mikrotvrdće, HV0.02, na dva uzorka zavarenih laserom (L), i zalemljenih gasom (G). Razmera uzoraka 1:1. Legura „L-1“, grupa I, „O.S“

Na slici 120, prikazana je uporedna analiza promene mikrotvrdoće HV0.02 kod uzoraka zavarenih laserom (L) i zalemljenih gasom (G), u zavisnosti od rastojanja od mesta vara [57,58].

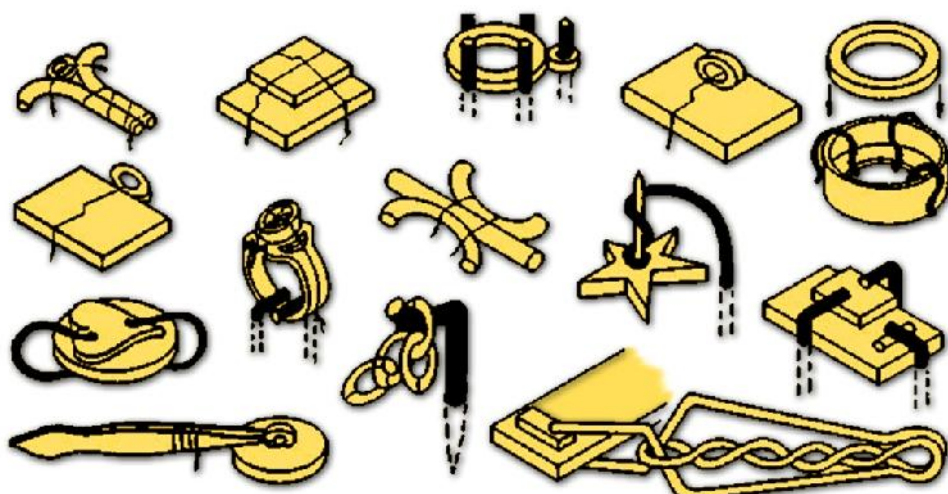
Kao što je rečeno u tačke 3.4.1, i u tačke 5, ovoga rada, najveći problemi prilikom zavarivanja su refleksija koja se stvara prilikom zavarivanja, i rasipanje energije, [54,57]. Da bi se smanjila refleksija, a samim time povećala apsorpcija, kod legura zlata, urađena je proba ispitivanja zatamnjivanjem zone delovanja lasera. To je urađeno običnim test-markerom različitih boja. Nanošenjem tankog sloja boje test-markera, za nekoliko sekundi ostaje takočno tanka prevlaka, slika 121, [54,59].



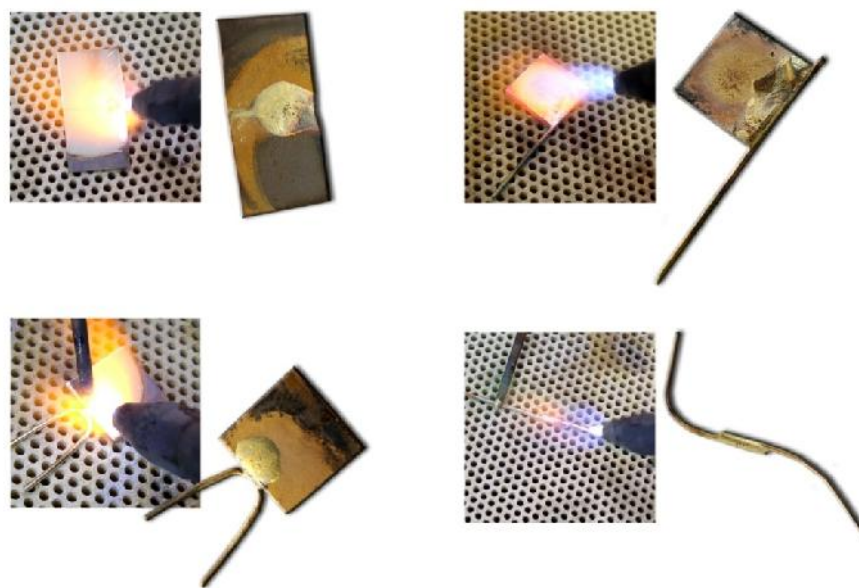
Slika 121.- Makrosnimci (fotografije) uređene u beloj komori zavarenih laserom plastičnih delova legure „L-1“, grupa I, „O.S.“, prema različitim bojama test-markera

Korišćenje lasera, posebno se primenjuje za zavarivanje sitnih delova: držača kamera na prestenu, naušnici i sl. (krapnice), narođito u slučajuje reparacije nakita. Takođe se koristi za privarivanje i pričuvanje nakita, kao priprema iz poluproizvoda za lemljenje gotovih proizvoda, [122].

Na slici 122, prikazani su razni sitni delovi nakita, koji su pripremljeni za lemljenje, konvencionalnim metodama, a to je vezivanjem žicom, stezanjem, i sl. Potom je na slici 123, prikazan način lemljenja plamenom, što zauzima dosta prostora i vremena za više samih poluproizvoda. Slika 124, prikazuje mogućnosti privarivanja i pričuvanja delova raznih oblika i veličina, što se izvodi, praktično, bez pomoći pribora i alata, a nakon toga može da se u zaostale praznine, između delova proizvoda, izvrši finalna dorada sa lemom, koji poseduje nižu temperaturu topljenja od tegačke topljenja osnovnog materijala [122]. Razmera svih poluproizvoda i proizvoda je 1:1.



Slika 122.- Delovi nakita pripremljeni za lemljenje konvencionalnom metodom



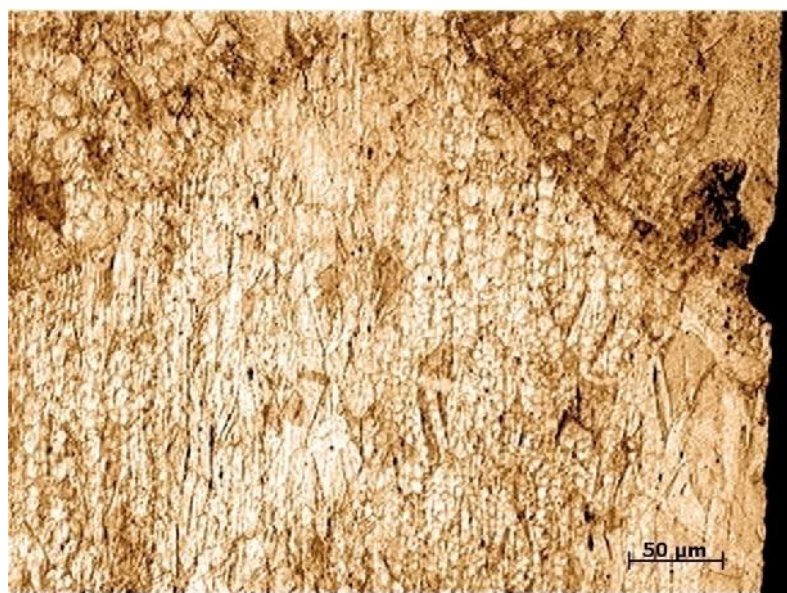
Slika 123.- Priprema poluproizvoda, služajnim izborom, za izradu gotovog proizvoda, lemljenjem plamenom

Nakon uporednog posmatranja i pravnenja zavarivanja laserom i lemljenja plamenom, sledeći korak u proučavanju ponašanja legure je izrada optičkih mikrofotografija za pojedine karakteristike preseke. Važno je sagledati promenu materijala u blizini varu ili lemu, kao i sagledati mogućnost pojave grešaka prilikom rada.

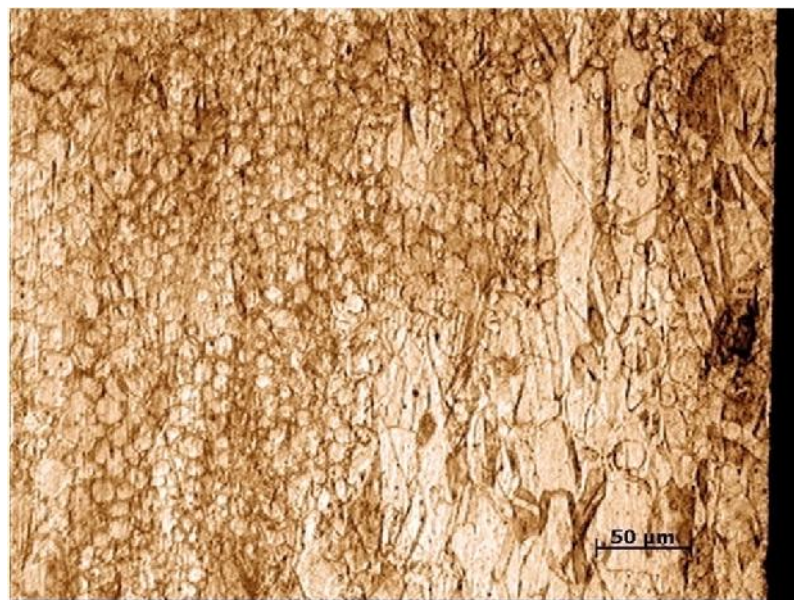


Slika 124.- Priprema poluproizvoda, služajno odabranih, za izradu gotovih proizvoda, zavarenih laserom;

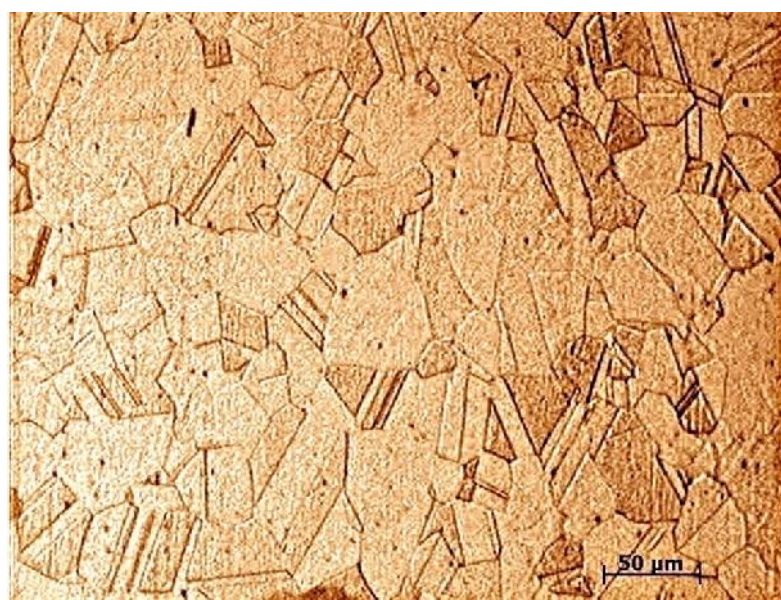
Slika 125, prikazuje mikrofotografiju, uraenu optikom mikroskopijom, na samom varu laserom, gde je prikazana struktura dela vara, u obliku „klina“, koji je nastao topljenjem i zavarivanjem laserom osnovnog materijala, dok je na slici 126, prikazana ova ista struktura, samo u zoni uticaja toplote [4].



Slika 125.- Legura „L-1“. Lim hladno deformisan, $\epsilon = 30\%$ i zavaren laserom; vidljivi različiti oblici zrna pri lokalnom zagrevanju. Uvećanje x200



Slika 126.- Uzorak sa sl.125, samo prikaz dela varu sa prikazom zone uticaja topote (ZUT). Uve anje x200



Slika 127.- Legura „L-I“, žareno stanje. Neposredno pored mesta lemljenja gasom. Krupnozrna rekristalizovana struktura, sa velikim brojem dvojnika. Uve anje x200

7.- DISKUSIJA

Kompleksnost proizvodnje nakita, usled velikog assortimana i kompletne izrade proizvoda na jednom mestu, sa većim brojem različitih obrada: livenje, valjanje, duboko izvlačenje, savijanje, prosecanje, ručna obrada, lemljenje i zavarivanje, kao i razni oblici termičke obrade, neminovno dovode proizvod u jedno termodinamički nestabilno stanje [19,123,124,125]. U svim ovim postupcima prerade, postoji mogućnost nekog specifičnog unutrašnjeg problema, posebno kada se na kraju proizvodu postavljaju specijalni estetski zahtevi, visoki sjaj i posebno koroziona postojanost. Materijal koji poseduje mogućnost ojačanja legura starenjem, nudi prednost da, mašinski ili ručno proizveden zlatarski proizvod, nakon izrade, u jednom termodinamički nestabilnom stanju, sa zaostalim naponima unutar samog materijala i proizvoda, putem relativno jednostavne termičke obrade, proizvede u ojačan proizvod, povećane tvrdoće i vrstoće u odnosu na polazne veličine.

Proučavanje i poznavanje trojnog dijagrama stanja Au-Ag-Cu, zahteva prethodno dobro poznavanje dvojnih dijagrama stanja: Au-Ag, Au-Cu i Ag-Cu. Na slikama 2, 3 i 4, prikazani su dvojni dijagrami stanja, koji, u stvari, predstavljaju osnovu za konstrukciju trojnog dijagrama stanja. Fazni preobražaji kao i rastvorljivost pojedinih elemenata po inđije od dvojnih dijagrama stanja, koji se prostiru po koncentracionim osama trojnog dijagrama stanja. U tačka 3.2. sagledane su promene koje se dešavaju u dvojnim dijagramima stanja i koje su bitne prilikom konstrukcije i pri razjašnjenju promena u trojnom dijagramu stanja Au-Ag-Cu.

Primena i korišćenje troj- i više-komponentnih legura za proizvodnju nakita, zahteva poznavanje, u ovom slučaju dijagrama stanja Au-Ag-Cu. U tačka 3.3., posebno je obrazac konstrukcija dijagrama, koristeći horizontalne preseke, dobijene uglavnom eksperimentalnim putem [7,8,15,41] prikazano na slici 17 do slike 23. Za proučavanje faznih promena u trojnom dijagramu jednaku važnost imaju i vertikalni preseci, što je na slici 24 prikazano za tipove legura koje se najčešće koriste u proizvodnji nakita i to za legure sa konstantnom količinom zlata od 416%, 585% i 750% [40], obzirom da ovi dijagrami daju razjašnjenja otvrđivanja i povećanja vrstoće legure sa pojmom taloga, nakon hlađenja iz jednofaznog područja i starenju u dvofaznom području. Tabela 2 posebno definiše ravnotežne temperature, kod trojnog Au-Ag-Cu dijagrama, pojavu od trojnog eutektikuma pa do sobne temperature. Prilikom izrade nakita, posebno treba обратити pažnju u kom se području trojnog dijagrama nalazi legura [15,42,43], da bi na taj način postojala mogućnost da se unapred odredi približna temperatura starenja, da prilikom eksploatacije ne bi došlo do uticaja sredine na zaostale napone u proizvodu i do pojava naprslina.

Savremena proizvodnja nakita iziskuje savremenu opremu, korišćenjem svih blagodeti današnjice u XXI veku, ali i sa svim prisutnim novim problemima. Jedna od tih blagodeti je upotreba laserske tehnike u zavarivanju delova nakita. Najviše korišćen tip

lasera u proizvodnji nakita je: Nd³⁺YAG, sa mogu noš u zavarivanja do pre nika varaljne \varnothing 0.2 mm, veoma precizno, obzirom da se radi pomoć u stereoskopskog mikroskopa sa rešetkom. Međutim problemi nastaju usled reflektivnosti plemenitih metala, što je posebno obrazeno u tačka 3.4.1 [54,126,127]. Reflektivnost se kod plemenitih metala kreće od 0.90 do 0.95, što ustvari predstavlja odnos reflektovanog i upadnog svetlosnog zraka [19,58]. Na slikama 28 i 29, prikazana je zavisnost koeficijenta refleksije od energije zračenja za legure zlata sa paladijumom i srebrom.

U radu se posebno obratila pažnja na boju legure zlata, obzirom da su kod korisnika proizvoda prisutni pojmovi „žuto“ i „belo“ zlato. Bez obzira, što je zlato metal izuzetno lepe žute boje, legiranjem sa bakrom, koji je crvene boje, i srebrom, koji je poznate metalne –srebrne boje, dobija se veliki izbor boja, slika 31 [67].

Poznato je da zakon ne pozna boje, već samo finu, i propisuje konstantnu količinu zlata u leguri. Na proizvodu je da odabere odgovarajuću boju legure, koja će mu omogućiti dobar pristup na tržištu. Da bi izbor boja funkcionišao potrebno je utvrditi sistem za određivanje boja, što je i u inđenju sa CIELAB [66] sistemom, koji se najviše koristi u svetu, dok se ostali sistemi parcijalno koriste [39,63,64,65]. Za proizvodnju nakita koriste se legure u velikom dijapazonu boja. Metalurški posmatrano, dobijanje različitih boja legura zlata, klasificuje se u tri kategorije:

- °- trojni dijagram stanja Au-Ag-Cu i veza između boje i sastava, slika 31 [67];
- °- boje intermetalnih jedinjenja, slike 32, 33 i 34 [39];
- °- obojeni površinski oksidni slojevi [71].

Uticaj dodatnih legirnih elemenata na legure Au-Ag-Cu sistema, za proizvodnju nakita, može se posmatrati u dva pravca:

- °- uticaj na kvalitet legure;
- °- uticaj na boju legura.

Da bi postojala mogućnost ispitivanja legura za proizvodnju nakita po pitanju kvaliteta i boje, veoma je važno odrediti koje su to konstantne veličine. U ovom slučaju konstantne veličine su masa zlata (58,5 mas.%), kod legura za proizvodnju nakita od zlata, bez obzira da li je „žuto“ ili „belo“ zlato, i masa srebra (92,5 mas.%), kod legura za proizvodnju nakita od srebra. Konstanta, koja je takođe korištena u radu, je temperatura od $t = 50^{\circ}\text{C}$ do 600°C , sa promenom od $t = 50^{\circ}\text{C}$, kao i vreme trajanja procesa od $t = 15, 30$ i 60 min.

Boja i kvalitet, kod legura Au-Ag-Cu-Zn sistema, u direktnoj su zavisnosti od količine pojedinih elemenata, obzirom da je matrica legure 58,5 mas.% Au. Uticaj cinka na kvalitet Au-Ag-Cu sistema, ogleda se u ubrzavanju disperzionog otvrđivanja, a prilikom livenja dolazi do dezoksidacije liva [19]. Cink, takođe, utiče na smanjenje

dvostrukne oblasti pri reakciji: $(\text{Au}, \text{Ag}, \text{Cu})'(\text{Ag}, \text{Au}) + ''(\text{Cu}, \text{Au})$, kao i na sniženje temperature preobražaja [19,73], prikazano na slici 24. Uvo enje cinka u većoj količini, do 15,0 mas.%, u proizvodnju nakita, u metalurškom smislu, smatra se da u ovim legurama obavlja ulogu modifikatora [9,74], tj. dovodi do usitnjavanja zrna prilikom livenja i o vrš avanja. Injenica, da su legure sa matricom 58,5 mas.% Au u polju crvene i crvenkaste legure, slika 31, uvojem cinka dolazi do stabilizacije žu kaste (yellowish) boje, koja je veoma tražena na našem tržištu. Cink, takođe, prilikom stvaranja superstrukture, ulazi u rešetku AuCu I, koja je površ.c.t.-rešetka i pakuje se po ravni (002) u kristalnoj površ.c.k.-rešetki, po kojoj kristališu svi ostali legirajući elementi [33,68,75]. Ulaskom cinka i nastankom površ.c.t.-rešetke, dolazi do smanjenja domena, slika 13, što dovodi do stabilizacije strukture AuCu I i AuCu II [30].

Zakoni EU, o zabrani legiranja niklom, usled pojave alergije na nikl kod korisnika [4,77], usvojeni su u periodu do 2004. godine, te nakon tog vremena otpojuje period legiranja sa paladijumom, za dobijanje „belog“ zlata, koji je takođe plemeniti metal. Legure zlata sa paladijumom su korištene tokom celog XX veka u zubarskoj industriji, tačka 3.5.2. Kod legura Au-Ag-Cu-Pd sistema, sa dodatkom cinka, otvrđivanje usled starenja nastaje po sistemima Au-Cu i Ag-Cu [80]. U legurama sistema Au-Cu o vrš avanje se ostvaruje stvaranjem srećne strukture AuCu I, tačka 3.5.1, [16,81]. U legurama sistema Ag-Cu, legure otvrđuju zahvaljujući mehanizmu taloženja iz presi, enog vrstog rastvora, kao i mehanizmu faznog razdvajanja, usled čega dolazi do stvaranja dvostrukog područja tokom procesa starenja [80]. Uvojem paladijuma i cinka u Au-Ag-Cu trojni dijagram stanja, dovodi do veoma kompleksnih promena u strukturi materijala [82,83]. U toku starenja se ostvaruje mehanizam otvrđivanja usled starenja [80], kod legura Au-Ag-Cu-Zn-Pd, pri starenju na oko 400°C dolazi do spinodalnog razlaganja – faze, na α-fazu bogatu srebrom i β-fazu bogatu bakrom, što dovodi do povećane vrstoće, i vidno odložene reakcije omekšavanja strukture, usled ujednjenja fine spinodalne strukture [84,128]. Pri starenju ovih legura u opsegu od 200°C do 500°C [82], dolazi do stvaranja metastabilne strukture AuCu I i pločaste strukture koja sadrži paladijum, što dovodi do vidnog ovrš avanja.

Kod legura koje sadrže relativno veliku količinu paladijuma, odgovarajućim termičkim obradom, dolazi do prelaska deformacije sa srećne AuCu I u srećnu Au₃Cu [81], slika 38. Kod ovih legura, kada su u koegzistenciji Au₃Cu i AuCu I srećne faze, kao i srećna struktura AuCu I sa nesrećnom površ.c.k.-rešetkom, dolazi do pojave „crno-bele“ mikrostrukture, oblika sličnog „šahovskoj tabli“ [120], i velike vrstoće. Ova pojava se poklapa sa pojavom srećne crno-bele strukture kod legure Co_{39,5}Pt_{60,5}, gde su u koegzistenciji svetla kubna L1 – faza, i tamna tetragonalna L1₀ faza [119].

Odabir legura za eksperimentalno ispitivanje, ugrađen je na in, da su odabrane legure koje se najčešće koriste u neposrednoj proizvodnji za proizvode koji se dobijaju plastičnom deformacijom. To su sledeće oznake i boje, kao što je i prikazano u tabeli 3:

- °- „L-1” - „žuto” zlato: Au585Ag90Cu264Zn61;
- °- „L-2” - „belo” zlato: Au585Ag65Cu277Zn16Pd57;
- °- „L-3” – srebro: Ag925Cu75.

Prikaz i postavka ovih legura na dijagramu Au-Ag-Cu, nalazi se na slikama 42, 43 i 44.

Izrada uzoraka za ispitivanje izvršena je u nekoliko koraka, što je posebno prikazano u tabeli 6, rada.

Na slikama 53 i 54, prikazani su dijagrami promene tvrdoće, HV0.25, u zavisnosti od temperature starenja, kao i vremena držanja na određenoj temperaturi, legure „L-1” - grupa I (tabela 6). Svi rezultati merenja tvrdoće, na osnovu kojih je konstruisan dijagram, prikazani su u prilozima 1, 2 i 3. Polazna tvrdoća, tačka „O.S.” – grupa I, iznosi 193.00HV0.25. Žarenje starenjem, kao što je i prikazano na dijagramu, slika 53, izvodi se na temperaturi od 50°C do 600°C sa vremenom držanja t = 50°C. Prilikom žarenja, uzorci su podeljeni u tri vremenske grupe držanja na temperaturi, i to: t = 15 min, 30 min i 60 min. Posmatrajući krive, može se konstatovati da je pri žarenju na t = 50°C do 100°C došlo do pada tvrdoće pri vremenu držanja t = 15 min i 30 min. Povećanjem temperature žarenja tvrdoće po inje da raste, i maksimalna vrednost se postiže, pri starenju na t = 200°C i vremenu držanja t = 30 min, u vrednosti od 251.00HV0.25. Sa daljim povećanjem temperature vrednost tvrdoće opada, da bi pri temperaturi od t = 600°C i vremenu držanja t = 15 min i 30 min, vrednost tvrdoće opala ispod vrednosti polazne tvrdoće, što je i očekivano, jer je polazna vrednost tvrdoće ustvari vrednost hladnovaljane legure, tj. legure ojaane hladnom deformacijom. To pokazuje da je ostvarena rekristalizacija hladnovaljanog lima. Na slikama 58, 59 i 60, prikazana je mikrostruktura u ove tri ekstremne temperature, ustanovljene optičkom mikroskopijom, tj. polazne „O.S.” – tačke, zatim tačke sa maksimalnom vrednošću tvrdoće kao i tačke sa minimalnom vrednošću tvrdoće, odnosno tačke sa izvršenom rekristalizacijom. Slika 58 prikazuje mikrostrukturu polazne „O.S.” – tačke na dijagramu, i uočljiva je struktura hladnovaljanog lima sa izduženim kristalnim zrnima u pravcu valjanja, koji su dobijeni stepenom deformacije φ = 66,6% (tabela 5). Pored izduženih zrna, nastalih hladnom deformacijom, uočljiva je i izvesna količina dvojnika, koji takođe nastaju hladnom deformacijom, i dovode do ojačanja materijala [21]. Na slici 59, je pored još uvek izduženih kristalnih zrna, iako izražena struktura dvojnika, od kojih je deo zaostao od hladne deformacije dok je veći deo nastao žarenjem na temperaturi starenja površinskih metala [21,33,37,68], a samim time postignuta je i najveća vrednost tvrdoće. Nakon toga, na slici 60, pri temperaturi od t = 600°C, i vremenu držanja t = 30 min, struktura lagano prelazi u veoma finu sitnozrnu strukturu, karakterističnu za strukturu rekristalizacije nakon hladne deformacije. Istovremeno je posmatrana i promena osobina, koja nastaje, u delu dijagrama sa maksimalno dobijenim rezultatima, prikazana na slici 54, pri temperaturi od t = 150°C do 300°C. Konstatovano je da sa proširenjem vremena žarenja od t = 60 min, vrednost tvrdoće po inje da opada. Na ovoj slici

prikazan je deo dijagrama u prostornom obliku, pri čemu se uočava promena tvrdoće u okolini tačke sa ostvarenom maksimalnom tvrdoćom od 251,00HV0.25, za $t = 200^\circ\text{C}$ i $t = 30$ min. Pri ovoj operaciji starenja ostvareno je povećanje tvrdoće za 23,10 %, u odnosu na vrednost tvrdoće u početnoj tački „O.S.“, što predstavlja povećanje tvrdoće za hladno valjani lim, postignuto starenjem. Ovde je 193,00HV0.25, vrednost tvrdoće u tački „O.S.“, sa dijagrama slika 53, dok je 251,00HV0.25, maksimalno dobijena tvrdoća, na istom dijagramu.

Na slikama 55 i 56, prikazani su rezultati ispitivanja, odnosno merenja tvrdoće, za leguru „L-1“ – grupa II (tabela 6), koja je nakon završnog valjanja, prema tabeli 5, žarena na temperaturi rekristalizacije, $t = 680^\circ\text{C}$ [4], pri čemu je ostvarena tvrdoća „O.S.“ = 115,4HV0.25, što predstavlja početnu tačku na dijagramu. Uzorci su nakon toga žareni na temperaturi starenja, grupa II, od $t = 50^\circ\text{C}$ do 600°C , sa $t = 50^\circ\text{C}$. Početna tačka na dijagramu je „O.S.“ = 115,4HV0.25, i taj je mikrostruktura dobijena optičkom mikroskopijom, a prikazana je na slici 61. Na slici je uočljiva krupnozrnasta mikrostruktura kompleksne etvorokomponentne legure „L-1“ u žarenom stanju. Legura je, pozivajući se na sliku 25, hlačna iz jednofaznog područja, a potom žarena na temperaturi starenja da bi se dobila dvofazna struktura. Pored toga, na slici 62, su vidljivi veoma izraženi dvojnici žarenja, koji se prostiru u raznim pravcima, što utiče na povećanje tvrdoće, ali, na povećanje tvrdoće, tako da utiče i izdvajanje taloga po granicama zrna, pri čemu dolazi do reakcije: $(\text{Au}, \text{Ag}, \text{Cu}) \rightarrow (\text{Au}, \text{Ag}) + (\text{Au}, \text{Cu})$. Rezultati na osnovu kojih je konstruisan dijagram na slikama 55 i 56, prikazani su u prilozima 4, 5 i 6. I kod legure „L-1“- grupa II, kao i kod iste legure grupa I, fenomen maksimalnog povećanja tvrdoće pojavio se u temperaturnom opsegu od $t = 150^\circ\text{C}$ do 300°C , a što je prikazano i na prostornom dijagramu, slika 56. Maksimalno dobijena vrednost tvrdoće je u tački: $t = 200^\circ\text{C}$, $t = 30$ min, i iznosi 169,80HV0.25. Procenat povećanja tvrdoće, u odnosu na vrednost polaznog stanja „O.S.“ iznosi 31,60 %. Na slici 63, prikazana je struktura, koja je dobijena žarenjem na $t = 550^\circ\text{C}$ i $t = 30$ min, sa dobijenom tvrdoćom od 118,20HV0.25, što je približno jednak polaznoj tvrdoći, a i mikrostruktura ovog uzorka je veoma slična mikrostrukturi polaznog uzorka.

Na slikama 101 do 105, uključujući tabelu 7, prikazani su rezultati ispitivanja na skeniranjem elektronskom mikroskopu –SEM (*Scanning Electron Microscopy*), za leguru „L-1“ – grupa I. Slike 101 do 103, predstavljaju prikaz rezultata mikrostrukture uzorka sa slikom 59, odnosno uzorka sa postignutom maksimalnom vrstom, sa uvećanjem od 200, 400 i 800 puta. Na uzorku je vidljiva pojava dvojnica žarenja, posebno pri uvećanju od 800 puta. Na slici 104, na uređaju mikroskopa EPMA (*Electron Probe Micro Analyzer*), pomoću X – zraka, uranij je ispitivanje hemijskog sastava i prikazano u tabeli 7. Distribucija elemenata pokazuje da je u dvojnicima žarenja, povećana količina zlata, bakra i cinka, dok je Ag u manjku u središtu zrna i, najverovatnije je distribuiran po granicama zrna. AuCu I stvara dvojnice i istiskuje Ag prema granici zrna. EDS dijagram (*EDS, EDX – Energy Dispersive Spectroscopy – X-ray analysis*), [114], slika 105, pokazuje raspored elemenata u kristalnoj strukturi

uzorka, pri čemu dokazuje da je u strukturi materijala dominantno zlato pa potom bakar, srebro i cink. Slike 107 do 110, zajedno sa tabelom 8, prikazuju SEM analizu, tako da za leguru „L-1“ – grupa II. Na slici 107, 108 i 109, vidljiva je izrazita mikrostruktura dvojnika žarenja, uzorak je sa slici 62, odnosno sa maksimalnom tvrdom om ostvarenom u grupi II, legure „L-1“. Distribucija elemenata kao i EDS snimak na slici 110, veoma su slični, ili skoro isti kao rezultati za uzorak sa slike 59, tako da već obran na SEM-u, legure „L-1“ – grupa I.

Obzirom da se laserska tehnika sve više primenjuje u proizvodnji nakita, i u radu je primenjena metoda zavarivanja laserom i sprovedena odredena ispitivanja.

Imajući u vidu različitost veličine i oblika proizvoda od plemenitih metala, u proizvodnji nakita više se koriste impulsni od kontinuiranih lasera. Za ove potrebe najviše se koristi prenosni laserski aparat tipa Nd³⁺:YAG, a manje CO₂ tipa.

Površina u okolini laserskih varova ostaje ista, u odnosu na konvencionalno lemljene i varenje plamenom, slika 123 i 124. U cilju smanjenja reflektivnosti primenjeni su tekstmarkeri za stvaranje prevlaka, tj. za zatamnjivanje površine [54,58,59]. Primljena metoda se pokazala dobrom, iz razloga što tekst-markeri brzo isparavaju već na sobnoj temperaturi i ne ostavljaju vidljiv trag nakon izvršenog laserskog varenja, slika 121. Najbolji rezultati, odnosno, najbolji izgled vara dobijen je korišćenjem žutog i plavog markera, obeleženih brojevima 3 i 4. Uklanjanje ostataka boje nakon zavarivanja lako je i jednostavno, alkoholom.

Privarivanje i privarenje nakita, pre završnog lemljenja i zavarivanja, je jedna od primena lasera u proizvodnji nakita [122]. Razlog korišćenja lasera kod ovakvog oblika proizvodnje je u velikom smanjenju vremena proizvodnje, Na slici 122, prikazana je grupa proizvoda koje je potrebno pripremiti, pre lemljenja i zavarivanja. Korišćenjem lasera sa ovaj rad se izbegava, obzirom da se položaj pojedinih delova određuje ručno, ispod stereoskopskog mikroskopa lasera sa rešetkom.

Optičke mikrofotografije prikazane su na slikama 125, 126 i 127. Na slikama 125 i 126 prikazane su promene oblika i veličine zrna, neposredno pored, kao i na samom varu, dok je na slici 127 prikazana uporedna mikrofotografija, neposredno pored vara proizvoda zavarenog gasom [4].

Rezultati merenja električne provodljivosti varu eni su za obrade grupa I i grupa II, (tabela 6), na osnovu rezultata koji su prikazani u prilogu 7 i 8, u vremenu držanja na temperaturi od $t = 30$ min, uzimajući u obzir da su u ovom vremenu trajanja starenja, postignuti maksimalni rezultati vrstoće kod obe obrade. Kao što se vidi na slici 57, i na osnovu dobijenih rezultata, sa povremenjem temperature starenja i električne provodljivosti raste. Ne može se tačno uspostaviti matematička zavisnost promene električne provodljivosti od temperature starenja, obzirom da su i kompleksne promene izazvane starenjem u samoj leguri.

Iskustveni rezultati izgleda površine gotovih proizvoda, pre i nakon starenja za pojedine proizvode, na slici 64 prikazani su proizvodi dubokog izvlačenja [5,110], i može se, donekle, vizuelno, oceniti kvalitet proizvedene i obražene legure.

Slike 65 i 66, prikazuju krive promene tvrdoće, HV0.25 u zavisnosti od temperature starenja i vremena držanja na određenoj temperaturi, legure „L-2” grupa I (tabela 6). Rezultati merenja tvrdoće, na osnovu kojih su konstruisani dijagrami na slikama 65 i 66, prikazani su u prilozima br. 9, 10 i 11. Polazna tvrdoća, tako da „O.S.”- grupa I obrade, iznosi 251,00HV0.25. Termička obrada žarenja starenjem, kao što je i prikazano na dijagramu, slika 65, izvodi se na temperaturama od $t = 50^{\circ}\text{C}$ do 600°C , sa $\Delta t = 50^{\circ}\text{C}$. Uzorci za ispitivanje podeljeni su u tri vremenske grupe žarenja, i to: $\tau = 15 \text{ min}, 30 \text{ min}$ i 60 min .

Konstrukcijom krive za vreme držanja od $\tau = 15 \text{ min}$, konstatovano je, da je promena tvrdoće, od tačke „O.S.” do 200°C , neznatna. Nakon temperature od $t = 200^{\circ}\text{C}$, došlo je do porasta tvrdoće do $t = 400^{\circ}\text{C}$, kada je vrednost tvrdoće počela da opada, da bi na $t = 500^{\circ}\text{C}$ dostigla svoj minimum, a nakon ove temperature ponovo dolazi do porasta tvrdoće na 550°C i 600°C . Obzirom da se vrednost maksimalne tvrdoće javlja u temperaturnom opsegu od $t = 200^{\circ}\text{C}$ do 400°C , tako je dalje ispitivanje tvrdoće izvršeno u istom temperaturnom intervalu za vreme žarenja od $\tau = 30 \text{ min}$ i 60 min . Konstatovano je, da je za vreme od $\tau = 30 \text{ min}$ dostignuta maksimalna vrednost tvrdoće, i sa povremenjem vremena žarenja došlo je do opadanja vrednosti tvrdoće, što se i vidi sa krive za vreme od $\tau = 60 \text{ min}$.

Vrednost tvrdoće raste sa porastom temperature starenja, od tačke „O.S.” pa sve do $t = 300^{\circ}\text{C}$, i vremenu $\tau = 30 \text{ min}$, kada je postignuta maksimalna vrednost tvrdoće od 307,00HV0.25, prikazano na slici 66. Sa daljim povremenjem, kako temperature, tako i vremena trajanja procesa, vrednost tvrdoće opada, obzirom da se približilo termičkim uslovima rekristalizacije hladno-valjane legure, a samim time i do smanjenja tvrdoće. To pokazuju i slike optičke mikrofotografije, počev od slike 70 pa do slike 75, gde se uočava promena veličine zrna, od usmerenih hladno-deformisanih zrna u pravcu valjanja, do pojave ravno-osnih zrna, svojstvenih rekristalizacionoj strukturi. Slike 70 i 71, sa različitim uvečanjima iste mikrostrukture, pokazuju usmerena zrna hladno-valjanog lima. To je polazna tačka „O.S.” na dijagramu sa stepenom hladne deformacije $\epsilon = 66,6\%$ (tabela 6) i vrednošću tvrdoće od 251,00HV0.25. Pored usmerene strukture na slici 71, gde je uvečanje 500 puta, može se uočiti pojava dvojnika, nastalih hladnom deformacijom, što izaziva porast tvrdoće i ojačanje hladno-deformisanog materijala [21]. Slika 72 prikazuje strukturu uzorka sa maksimalnom vrednošću vrstoće i sledećim parametrima: $t = 300^{\circ}\text{C}$, $\tau = 30 \text{ min}$ i tvrdoća 307,80HV0.25, kao i slika 73 samo sa većim uvečanjem. Posebno je na slici 73 jako izražena struktura dvojnika koji su nastali starenjem metala sa površ.c.k. rešetkom, pored usmerenih zrna u pravcu valjanja, nastalih kao posledica hladne deformacije valjanjem [21,33,37,68], i koja još nisu izgubila svoj polazni oblik. Nakon toga na slici 74, pri temperaturi $t = 600^{\circ}\text{C}$ i

vremenu $\tau = 30$ min, struktura materijala prelazi u strukturu rekristalizacije, što je posebno izraženo na slici 75, sa većim uvečanjem, i gde se primeđe uju tamno-svetla polja sa paladijumom i cinkom, koja nastaju kod ovog tipa legura [119,120].

Promena vrstog je, u okolini tuge sa maksimalno ostvarenom tvrdom od starenjem, prikazana je na slici 66. Na prostornom dijagramu, uočava se promena tvrdog je u zavisnosti od promene temperature i vremena trajanja procesa, u okolini tuge sa $307,80\text{HV}0.25$, pri uslovima: temperatura $t = 300^\circ\text{C}$ i vremena $\tau = 30$ min. Pri ovoj operaciji došlo je do povećanja vrednosti tvrdog je u odnosu na polaznu vrednost: 18,40%, što predstavlja procenat povećanja tvrdog je hladno-valjanog lima, koji je postignut starenjem. Ovde je $251,00\text{HV}0.25$, polazna vrednost tvrdog je na takoj „O.S.“ sa dijagrama na slici 65, dok je $307,80\text{HV}0.25$, vrednost maksimalno ostvarene tvrdog je na istom dijagramu.

Konstrukcija promene dijagrama tvrdog je u zavisnosti od temperature starenja i vremena trajanja procesa, legure „L-2“ – grupa II (tabela 6) prikazane su na slikama 67 i 68. Polazna vrednost tvrdog je, tako da „O.S.“ na dijagramu, slika 67, iznosi $139,70\text{HV}0.25$. Potom su, uzorci žareni na temperaturi starenja od $t = 50^\circ\text{C}$ do 600°C , sa $\tau = 50$ min, za vreme od $\tau = 15$ min. Kao što se na dijagramu pokazuje, vrednost tvrdog je neprestano raste, do temperature od $t = 300^\circ\text{C}$, a zatim počne da opada. Da bi se odredila maksimalna vrednost tvrdog je za leguru „L-2“ sa obradom Grupa II, izvršene su još dve grupe merenja u temperaturnom opsegu od $t = 50^\circ\text{C}$ do 500°C , za vreme trajanja procesa od $\tau = 30$ i 60 min. Vrednost vrstog je, pri vremenu od $\tau = 30$ min, još uvek rasla, dok je pri vremenu trajanja procesa starenja od $\tau = 60$ min, vrednost počne da opada, što je i prikazano na prostornom dijagramu na slici 68, gde se može sagledati kretanje vrednosti tvrdog je oko tuge maksimalne vrednosti od $224,00\text{HV}0.25$, sledeći parametar: temperatura $t = 300^\circ\text{C}$ i vremena od $\tau = 30$ min. Prostorni dijagram je rađen za temperaturni opseg od $t = 200^\circ\text{C}$ do 400°C i vremena od $\tau = 15$ min, 30 min i 60 min. Procenat povećanja vrednosti tvrdog je u odnosu na polaznu vrednost iznosi: 37,60%, što predstavlja povećanje tvrdog je legure, koje se postiže žarenjem na temperaturi starenja. Na slici 76, prikazana je mikrostruktura uzorka, snimljeno metodom optičke mikroskopije, na kome je izvršena rekristalizacija nakon hladne deformacije valjanjem. Ostvarena tvrdost je na takoj „O.S.“ iznosi od $139,70\text{HV}0.25$. Vidljiva je kompleksna krupnozrna struktura petokomponentne legure, dok je na slici 77, taj isti uzorak sa većim uvečanjem gde je primetan po etak formiranja lamelarne strukture [80]. Mikrostruktura uzorka sa vrednošću maksimalne vrednosti tvrdog je, prikazana je na slici 78 kao i na slici 79. Na ovim slikama su uočljivi dvojnički žerenja [26,68,111], kao i pojava taloga po granicama zrna [119,120]. Na slikama 80 i 81, je mikrofotografija uzorka sa temperaturom starenja $t = 600^\circ\text{C}$, i vremenom $\tau = 15$ min, pri čemu je ostvarena vrednost tvrdog je pod $170,00\text{HV}0.25$, što je niža vrednost u odnosu na vrednost maksimalne vrednosti tvrdog je, i približno je jednaka vrednosti tvrdog je polazne tuge na dijagramu, tj. tuge „O.S.“, koja je takođe žarena i naglo hlađena (gašenje), kao što je već rečeno, sa $t = 680^\circ\text{C}$.

Analiza i proučavanje mikrofotografija, legure „L-2” – grupa II, na SEM ure aju, prikazana je na slikama 111 do 115, uključujući i tabelu 9. Slike 111 do 113, daju rezultate mikrofotografije SEM-a, uvećanjem od 200, 400 i 800 puta. Na svim snimcima je uočljiva pojava dvojnika žarenja, a povećanje vrsto je, već je utvrđeno merenjem tvrdoće i metalografskom analizom optičkim mikrofotografijama na slikama 78 i 79, kao i dijagramu na slici 67. Na ure aju EPMA, ugrađeno je ispitivanje hemijskog sastava u pet karakterističnih tačaka, slika 114, i tabela 9. EDS analiza pokazala je raspored elemenata u kristalnoj strukturi, pri čemu se pokazuje da je u sastavu legure dominantno zlato, potom bakar, srebro, paladijum i cink. Distribucija elemenata pokazuje malo povećanu količinu zlata u središtu dvojnika, uz neznatno smanjenje srebra, što može da se smatra, da koegzistiraju AuCu I i AuCu₃, usled prisustva pločastih kristala paladijuma i cinka [79, 81-84].

Rezultati merenja električne provodljivosti, u zavisnosti od temperature starenja, prikazani su na slici 69, za leguru „L-2”, obrade grupa I i II, a za vreme trajanja procesa od $t = 15$ min. U ovom vremenskom intervalu, kao i potpunom temperaturnom tretmanu, postignuta je promena električne provodljivosti na krivoj, prema rezultatima merenja u prilozima br. 15 i 16. Zavisnost vrednosti promene električne provodljivosti, od temperature starenja, prati zavisnost vrednosti promene tvrdoće, tako da je od temperature starenja, kod ove legure, što se može u potpunosti utvrditi sa slici 69, gde je u istom temperaturnom intervalu došlo do pojave maksimuma vrednosti električne provodljivosti.

Uticaj temperature starenja, na rezultate promene tvrdoće legure „L-3” – grupa I, prikazani su na slici 82 i 83, i prilozima br. 17, 18 i 19, sa rezultatima merenja, na osnovu kojih su krive konstruisane. Tvrdoće po etape tako da na dijagramu, „O.S.”, za grupu I, iznosi 118,00HV0.25. Termička obrada žarenja starenjem, kao što je i prikazano na slici 82, izvodi se na temperaturi od $t = 50^\circ\text{C}$ do 600°C , sa $t = 50^\circ\text{C}$. Uzorci za ispitivanje podeljeni su u tri vremenske grupe, i to: $t = 15$ min, 30 min i 60 min.

Konstrukcijom krive za vreme trajanja procesa $t = 15$ min, konstatovano je da tvrdoće od polazne tačke „O.S.” raste do $t = 100^\circ\text{C}$, a potom konstantno opada do $t = 600^\circ\text{C}$, što je približno jednako temperaturi rekristalizacije [12,13]. Iznos maksimalne vrednosti tvrdoće, ostvarene na krivoj za $t = 15$ min, je 128,70HV0.25, pri temperaturi $t = 100^\circ\text{C}$, što je približno jednako vrednosti maksimalne tvrdoće na krivoj za $t = 30$ min i temperaturi $t = 200^\circ\text{C}$, od 133,50HV0.25. Sličan rezultat u iznosu od 132,50HV0.25, postignut je i pri merenju tvrdoće uzorka sa sledećim parametrima: temperatura $t = 50^\circ\text{C}$ i vreme $t = 60$ min. Daljim povećanjem vremena i temperature, nakon označenih vrednosti, na kojima su već ostvarene maksimalne vrednosti tvrdoće, dolazi do opadanja vrednosti, da bi se nakon temperature od $t = 400^\circ\text{C}$, vrednosti tvrdoće skoro izjednaile. Na slici 83 prikazan je deo krivih sa slici 82, za sva tri vremena trajanja žarenja, ali za temperaturni opseg od $t = 50^\circ\text{C}$ do 250°C , u obliku prostornog dijagrama, pri čemu je dobijena kriva površina, koja približno pokazuje ponašanje tvrdoće metala sa

prikazanim temperaturama u nekom realnom vremenu od $t = 15$ min, 30 min i 60 min. Posmatranje i pregled ovih promena prikazan je posebno i na slikama od sliki 87 do sliki 92, pri čemu su metodom optičke mikroskopije prikazane promene u strukturi materijala, počev od prve tako da na dijagramu, „O.S.”, preko tihaka koje poseduju maksimalnu tvrdost, pa do tihaka da je ostvarena minimalna tvrdost, tj. kada je izvršena rekristalizacija uzorka. Slike 87 i 88, sa razlikom uvećanjima (200 i 500 puta), pokazuju usmerenu mikrostrukturu hladno-valjanog lima. Ove fotografije predstavljaju mikrostrukturu tako da „O.S.”, sa izvršenim stepenom hladne deformacije $\delta = 66,66\%$, i ostvarenom vrednošću tvrdosti od 118,00HV0.25. Na slikama su usmerena zrna kao rezultat ostvarene hladne deformacije [12,13,21]. Slike 89 i 90, sa razlikom uvećanjem iste strukture, prikazuju uzorak sa sledećim elementima: temperatura starenja $t = 200^{\circ}\text{C}$, vreme držanja $t = 30$ min, sa maksimalno ostvarenom tvrdostom na dijagramu od 133,50HV0.25 (Prilog br.18). Na fotografijama su još uvek vidljivi tragovi od usmerenih zrna nastalih hladnom deformacijom, kao i pojava dvojnika žarenja. Može se smatrati, da je do povećanja tvrdosti došlo usled obrazovanja presi enog vrstog rastvora srebra, kao i izdvajanjem taloga prilikom žarenja na temperaturi starenja, obzirom da se starenje izvodi u dvofaznom području, $\alpha + \beta$, dvojnog dijagrama stanja Ag-Cu [12,13]. Na slikama 91 i 92, pri uvećanju od 200 i 500 puta, prikazana je mikrostruktura za uzorak, pri temperaturi žarenja $t = 600^{\circ}\text{C}$ i vremenu tajanja procesa $t = 15$ min, pri čemu je ostvarena tvrdost 76,80HV0.25. Vidljiva je struktura rekristalizacije hladno-deformisanog materijala [4,21]. Promena tvrdosti, u okolini tihaka sa maksimalno ostvarenom tvrdostom starenjem, kao što je već napisano, prikazana je na sliki 83. Maksimalna vrednost tvrdosti ostvarena je u iznosu od 133,50HV0.25, sa sledećim elementima obrade uzorka: temperatura $t = 200^{\circ}\text{C}$, vreme držanja $t = 30$ min, hlađenje na vazduhu. Povećanje vrednosti tvrdosti u odnosu na polaznu vrednost „O.S.”, iznosi 11,61%, što ustvari predstavlja procenat povećanja tvrdosti hladno-valjanog lima postignuto starenjem. Ovde je 118,00HV0.25 – vrednost tvrdosti u polaznoj temperaturi „O.S.”, sa slike 82, dok je 133,50HV0.25 – maksimalna vrednost ostvarene tvrdosti sa istog dijagrama.

Na slikama 84 i 85, prikazane su konstrukcije dijagrama, za istu leguru „L-3”, ali za obradu grupa II (tabela 6), pri čemu je dobijena polazna tvrdost, (tako da „O.S.” na sliki 84, i prilogu br.21), u iznosu od 66,80HV0.25. Konstrukcije dijagrama pokazuju da vrednosti tvrdosti neznatno odstupaju od polazne vrednosti, tako da je već i deo dijagrama skoro horizontalan, i već broj vrednosti uzorka se kreće oko vrednosti polazne „O.S.” – tvrdosti. Da bi odredili maksimalnu tvrdost, koja može da se postigne, i kod legure „L-3” – grupa II, izvršene su tri grupe merenja sa vremenom od $t = 15$ min, 30 min i 60 min, što je i prikazano u prilozima br.20, 21 i 22. Obzirom da se povećanje tvrdosti javlja u temperaturnom opsegu od $t = 250^{\circ}\text{C}$ do 450°C , urađen je prostorni dijagram, slika 85, koji prikazuje površinu promene tvrdosti oko tihaka maksimalne tvrdosti u iznosu od 77,90HV0.25, postignutom sa parametrima: temperatura $t = 300^{\circ}\text{C}$ i vreme trajanja procesa od $t = 15$ min, hlađenje na vazduhu.

Povećanje tvrdoće na iznos od 75,20HV0.25, pri temperaturi $t = 400^{\circ}\text{C}$ i vremenu trajanja procesa $= 30$ min, ostvareno je i prikazano na dijagramu. Pri vremenu trajanja procesa od $= 60$ min, vrednost tvrdoće u svim takama po inje da opada. Procenat povećanja vrednosti tvrdoće u odnosu na polaznu vrednost iznosi 14,0%, što ustvari predstavlja procenat povećanja tvrdoće legure, koja se postiže žarenjem na temperaturi starenja. Ovde je 66,80HV0.25 – vrednost tvrdoće u polaznoj takmi „O.S.” sa slike 84, dok je 77,90HV0.25 – maksimalna vrednost ostvarene tvrdoće sa istog dijagrama. Slike 93 i 94 prikazuju mikrostrukturu uzorka za taku „O.S.”, sa različitim uvećanjem, gde se uočavaju kristali primarnog – vrstog rastvora. Na slikama 95 i 96, prikazana je mikrostruktura uzorka sa maksimalnom vrednošću tvrdoće od 77,90HV0.25, sa sledećim parametrima: temperatura starenja $t = 300^{\circ}\text{C}$ i vreme trajanja procesa $= 15$ min, hlađenje na vazduhu. Povećanje vrstoće usled pojave taloga po granicama zrna kao i pojave velikog broja dvojnika žarenja [13,28]. Slike 97 i 98, prikazuju strukturu uzorka, koji je praktično dva puta žaren na temperaturi rekristalizacije, sa tvrdoćom od 68,20HV0.25, i parametrima: temperatura $t = 600^{\circ}\text{C}$, vreme trajanja procesa $= 15$ min, hlađenje na vazduhu, pri čemu je dobijena veoma fina, dvofazna, $\alpha + \beta$, struktura. Posebno je prikazana, na slikama 99 i 100, sa različitim uvećanjem, struktura uzorka sa ostvarenom tvrdoćom od 75,50HV0.25, sledećih parametara: temperatura $t = 400^{\circ}\text{C}$, vreme trajanja procesa $= 30$ min, hlađenje na vazduhu, pri čemu je prikazana struktura veoma slična strukturi prikazanoj na slikama 95 i 96, samo je u ovom slučaju viša temperatura starenja i duže vreme trajanja procesa, i ovde se dvojnici pojavljuju po granicama zrna, a prisutna je i pojava većekoličine taloga, što izaziva povećanje tvrdoće, u ovom slučaju od 11,5%.

Legura „L-3” – grupa I, za ispitivanje na SEM-u odabran je uzorak sa slike 89 i 90, na kome je postignuta maksimalna tvrdoća prilikom termičke obrade starenjem. SEM-om su uređene mikrofotografije strukture sa uvećanjem od 500 i 1000 puta. Uzorak je žaren na $t = 200^{\circ}\text{C}$ u vremenu od $= 30$ min, ali je još uvek zadržana struktura hladno-deformisanog lima. Ispitivanja hemijskog sastava, slika 118 i tabela 10, pokazuju da distribucija elemenata se kreće tako da srebro se više akumulira prema središtu zrna, dok se bakar, kao nepllemenitija komponenta, više raspoređuje po granicama zrna kao talog. EDS analiza, sl. 119, pokazuje raspored elemenata u kristalnoj strukturi, pri čemu je srebro dominantno u odnosu na bakar.

Rezultati promene električne provodljivosti, u zavisnosti od temperature starenja, za leguru „L-3”- grupa I i grupa II, za vreme trajanja procesa od $= 30$ min, prikazani su na slici 86, dok su rezultati merenja prikazani u prilozima br. 23 i 24. Zavisnost vrednosti promene električne provodljivosti prati promenu tvrdoće. Maksimalna električna provodljivost pojavljuje se u temperaturnom opsegu gde je i došlo do pojave maksimalne vrednosti tvrdoće, dobijene starenjem legure „L-3”- grupa I i grupa II.

8.- ZAKLJUČAK

Na osnovu teorijskih razmatranja referentne literature i sprovedenih istraživanja u eksperimentalnom delu disertacije, obrade, uporedne analize i diskusije ostvarenih eksperimentalnih rezultata, uporedne analize i diskusije postignutih rezultata sa do sada publikovanim i obra enim rezultatima drugih autora u teorijskom delu ovog rada, koji obra uju tematiku blisku realizaciji predmeta i ciljeva postavljenih u realizaciji ove disertacije, može se zaključiti sledeće:

1.- Legure trojnog sistema Au-Ag-Cu, mogu da zadovolje željeni sastav, sa stanovišta zakonskih propisa, ali u zavisnosti od sredine gde se obavlja proizvodnja, a pre svega plasira nakit na tržište, potrebno je izvršiti dodatno legiranje za dobijanje odgovarajuće boje legure, ne zanemarivši nijednog momenta zahtevane mehaničke osobine proizvoda. Iz ovog razloga se proizvode etvoro- i više-komponentne legure, u zavisnosti od zahteva tržišta.

2.- Pored uočenih mikrostrukturnih promena, pre svega formiranja dvojnika, nedvosmisleno je utvrđeno da dolazi i do povećanja tvrdoće žarenjem na temperaturi starenja usled pojave precipitata (talog), kako po granicama zrna, tako i u samom zrnu, kao i usled kojeg dislokacija, koje su nastale hladnom deformacijom i koje pokušavaju da se oslobođe, dovođenjem spoljne energije. Kao posledica ove avanja starenjem, odnosno nastalih mikrostrukturnih promena, eksperimentalno je potvrđeno da povećanje tvrdoće istraživanih sistema legura, prati i povećanje električne provodljivosti. Rezultati postignuti za svaku istraženu leguru, detaljno su prikazani u diskusiji rezultata, a ovde su predstavljeni u obliku zaključnih razmatranja sa navedenjem najznačajnijih procesnih parametara i kvantitativno izraženih vrednosti ispitivanih finalnih osobina.

3.- Za potrebe realizacije istraživanja, planiranih u eksperimentalnom delu rada, proizvedena su tri tipa legura, saglasno zakonskim propisima u pogledu sadržaja zlata i srebra, i to:

- °- Legura „L-1” - „žuto” zlato, sastava: Au585Ag90Cu264Zn61;
- °- Legura „L-2” - „belo” zlato, sastava Au585Ag65Cu277Zn16Pd57;
- °- Legura „L-3” – legura srebra, sastava Ag925Cu75;

U zavisnosti od načina predhodne obrade, pre žarenja na temperaturi starenja i ostalog ispitivanja, uzorci su podeljeni u dve grupe: **Grupa I i Grupa II**.

4.- Za izradu uzoraka za ispitivanje upotrebljena je legura proizvedena od granula istih plamenitih metala i predlegura garantovanog hemijskog sastava, obezbeđujući i time garantovan i pouzdani kvalitet proizvoda, saglasno zakonskim propisima. Za izradu granula legure, za topljenje i livenje koristi se induktivna peć sa zaštitnom atmosferom azota, dok je kristalizacija i

o vršavanje granula ura eno u hladnoj proto noj vodi. Za izradu lima za ispitivanje upotrebljene su granule koje su dalje topljene i livene prema proceduri, prezentovanoj u eksperimentalnom delu, koja uključuje i na inobrade lima.

5.- Ispitivane legure „L-1”, „L-2“ i „L-3“, proizvedene su od elemenata sa površ.c.k. rešetkom, osim cinka, koji kristališe po g.p.h. – rešetki, ali ulazi u strukturu srećene AuCu I faze. Sumiranjem postignutih eksperimentalnih rezultata, nadvozmisleno se može konstatovati da postoji tako na dijagramu: **temperatura – vreme – tvrdoća**, na kojoj se postiže maksimalno poboljšana svojstva za svaku istraženu leguru ponaosob, sa osnovom sistema Au-Ag-Cu, u istraživanom optimizovanom režimu ojaavanja starenjem. Vrednost tvrdoće, za sve ispitane legure, dobijene ojaavanjem starenjem, povećava se od 11,61 do 37,60%, u odnosu na vrednost tvrdoće po etnog stanja. Ojavanje, odnosno povećanje tvrdoće, je prevashodno izraženo kod legura sa komponentama koje kristališu po površ.c.k. rešetki, izuzev cinka koji kristališe po g.p.h. rešetki.

6.- Maksimalno ostvarena tvrdoća, kod legure „L-1“ – grupa I, iznosi 251,00HV0.25, sa procentom povećanja tvrdoće od 23,10%, pri uslovima starenja: temperatura $t = 200^{\circ}\text{C}$ i vreme trajanja procesa $= 30 \text{ min}$. Mikrostruktura legure ovog tipa, analizirana optičkom i skenirajućom elektronskom mikroskopijom – SEM, ukazuje da je u procesu starenja došlo do mikrostrukturnih promena, od usmerene strukture hladno-valjanog lima, preko stvaranja dvojnika žarenja maksimalne vrste, do pojave rekristalizacione strukture.

Istovremeno se za leguru „L-1“ – grupa II, može konstatovati da je maksimalno izmerena tvrdoća 169,80HV0.25, sa procentom povećanja od 31,60%, ostvarena pri istim uslovima: temperature $t = 200^{\circ}\text{C}$, vreme trajanja procesa $= 30 \text{ min}$. Na osnovu rezultata optičke mikroskopije i SEM analize, može se konstatovati, da je povećanje vrste u temperaturi starenja, direktno izazvano stvaranjem dvojnika žarenja kao i pojavom precipitata po granicama zrna.

7.- Maksimalno ostvarena tvrdoća u zavisnosti od temperature starenja, za leguru „L-2“ – grupa I, sa procentom povećanja vrednosti tvrdoće od 18,4%, iznosi 307,00HV0.25, za uslove termičkog tretmana uzorka: temperature $t = 300^{\circ}\text{C}$, i vreme trajanja procesa $= 30 \text{ min}$. Mikrostrukturna analiza uzorka, na kojima su izmerene maksimalne vrednosti tvrdoće, ugrađena optičkom mikroskopijom, ukazuje na prisustvo velike količine dvojnika žarenja, koji su izraženi po grupama, kao i usmerena zrna koja su posledica hladnog valjanja, što je i dovelo do maksimalnog povećanja tvrdoće.

Maksimalno ostvarena vrednost tvrdoće za leguru „L-2” – grupa II, iznosi 224,00HV0.25, sa procentom povećanja vrednosti tvrdoće od 37,6%, postignuta je pri sledećim uslovima tretiranja uzorka: temperatura $t = 300^{\circ}\text{C}$ i vreme trajanja procesa starenja $= 30 \text{ min}$. Mikrostrukturna analiza optičkom i SEM mikroskopijom, ukazala je na prisustvo dvojnika žarenja i izraženih precipitata po granicama zrna, što je direktno uticalo na povećanje mehaničkih osobina kao i postizanja maksimalnih vrednosti tvrdoće ispitivane legure.

8.- Posmatranjem promene tvrdoće, pri zagrevanju na temperaturi starenja, kod legure „L-3” – grupa I, utvrđeno je da je maksimalno ostvarena vrednost tvrdoće od 133,50HV0.25, sa ostvarenim procentom povećanja vrednosti tvrdoće od 11,61%, postignuta pri termičkom tretmanu na temperaturi $t = 200^{\circ}\text{C}$, u vremenu trajanja procesa od $= 30 \text{ min}$. Mikrostruktura uzorka legure „L-3” – grupa I, sa maksimalno izmerenom vrednošću tvrdoće, proučavana optičkom i SEM mikroskopijom, pokazuje usmerena zrna, kao posledica valjanja, i veliku količinu dvojnika žarenja u mikrostrukturi, kao i pojava taloga po granicama zrna, što je uticalo na povećanje vrednosti tvrdoće, a samim time i vrstoće.

Maksimalna vrednost tvrdoće od 77,90HV0.25, i procentom povećanja tvrdoće u iznosu od 14,0%, za leguru tipa „L-3” – grupa II, ostvarena je starenjem legure na temperaturi $t = 300^{\circ}\text{C}$, u vremenu trajanja procesa od $= 15 \text{ min}$. Mikrostrukturna analiza uzorka ovog tipa legure sa izmerenim maksimalnim vrednostima tvrdoće, proučavana optičkom mikroskopijom, pokazala je vidljivo formiranje velikog broja dvojnika žarenja u mikrostrukturi, a takođe i izdvajanje precipitata po granicama zrna.

9.- Sistematsko posmatranje i merenje promene električne provodljivosti legure „L-1” – grupa I i grupa II, u zavisnosti od temperature starenja, pokazuje kod ove legure neznatno povećanje električne provodljivosti sa povećanjem temperature starenja. Električna provodljivost uzorka grupa II, povećana je za maksimalno 5%, u odnosu na vrednost električne provodljivosti grupe I.

Promena električne provodljivosti, u zavisnosti od temperature žarenja za leguru „L-2” – grupa I i grupa II, prati promenu vrednosti tvrdoće, što ukazuje da je u temperaturnom intervalu u kom je dostignuta povećana i maksimalna tvrdoća, postignuta povećana i maksimalna električna provodljivost.

Električna provodljivost legure „L-3”, približno je devet puta veća od provodljivosti legura „L-1” i „L-2”, u apsolutnom iznosu. Ali, i kod same legure „L-3”, u zavisnosti od temperature starenja, postoje promene električne provodljivosti, koje prate zavisnost promene tvrdoće.

10.- Za proizvode zlatarske industrije, veoma važna osobina je tvrda i termodinamički stabilna legura, sa mogućnošću u dobijanja visokog sjaja

prilikom završne obrade. Kao potvrda optimalno odabranih istraživanih procesnih parametara, vizuelni prikaz kvaliteta površinske obrade, ilustrovan je u eksperimentalnom delu rada za leguru „L-1”. Uzorci su predhodno oblikovani dubokim izvlačnjem, a potom žarenji na temperaturi $t = 200^{\circ}\text{C}$ i vremenu trajanja procesa od $\tau = 30$ min.

11.- U cilju proširenja oblasti primene istraživanih sistema višekomponentnih legura na bazi zlata i srebra, objavljena su obimna uporedna ispitivanja električne provodljivosti legura u ojačanom stanju. Postignute vrednosti električne provodljivosti ukazuju da se istraživane višekomponentne legure sa osnovom Au-Ag-Cu, osim u juvelirskoj industriji, mogu uspešno koristiti kao savremeni funkcionalni materijali u elektrotehnici i elektronici.

Doprinos sprovedenih istraživanja, na osnovu uporedne analize dobijenih eksperimentalnih rezultata, sa do sada publikovanim rezultatima drugih autora, ogleda se pre svega u injenici da su postignutim rezultatima u ovom radu, dopunjena i proširena eksperimentalna i teorijska saznanja o značaju termičke obrade i uticaju režima termičke obrade u procesu starenja, na ojačanje i na sveukupno poboljšanje mehaničkih i električnih svojstava istraživanih višekomponentnih legura, sa osnovom sistema Au-Ag-Cu.

Originalnost sprovedenih istraživanja u realizaciji ovog rada, sadržana je u istraživačkom pristupu, da se istraživanje ojačanja starenjem ispita u procesu termičke obrade u odabranom temperaturnom intervalu, ali u tzv. realnom vremenu od 15 – 60 min., što pored naučnog doprinosa ovoj oblasti, ima sa gledišta primenljivosti i značajnu ekonomsku vrednost. Na osnovu postignutih rezultata, postavljene su eksperimentalne osnove za izbor najpovoljnijeg režima termičke obrade u procesu ojačanja starenjem u realnom vremenu, u odnosu na zahtevane finalne osobine istraživanih sistema legura, kako za primenu u industriji proizvodnje nakita tako i za druge funkcionalne namene.

9.- Literatura

- [1] *Biblija, Sveti pismo Novoga zavjeta*, po prevodu Vuk St. Karadžić, Britansko inostrano biblijsko društvo Beograd, Serbian Bible 063, MBS-EPF-1993-8M, p. 1420-1425;
- [2] I.Popović, *Kasnoantijski i ranovizantijski nakit od zlata u Narodnom muzeju u Beogradu*, Narodni muzej Beograd, 2001, str.7-13;
- [3] I.Popović, *Rimski nakit u Narodnom muzeju u Beogradu*, Narodni muzej Beograd, Beograd, 1996, str. 8-13;
- [4] R.Perić, *Uticaj režima prerade legure zlata na kvalitet šupljeg nakita*, Magistarski rad, Univerzitet u Beogradu, Tehnički fakultet u Boru, 2010;
- [5] Personalna percepcija;
- [6] J.Hening, *Phase Transformation in 18-carat Gold Alloys Studied by Mechanical Spectroscopy*, These N°.4635, Institut de Physique de la Matière Condensée programme Doctoral en Physique, (2010), pp. 1–40;
- [7] M.Grimwade, *Introduction to precious metals, Metallurgy for Jewelers and Silversmith*, by Mark Grimwade, ISBN:978-1-929565-30-6, 2009, Brynmorgen Press, Brunswick, Maine 04011 USA;
- [8] B.Božić, *Fizička metalurgija*, Naučna knjiga, Beograd, (1964), Univerzitetski udžbenik, str. 167-220 i 360-375;
- [9] S.P.Ringer, K.Hono, *Microstructural Evolution and Age Hardening in Aluminium Alloys: Atom Probe Field-Ion Microscopy and Transmission Electron Microscopy Studies*, Materials Characterization 44:101-131 (2000); Elsevier Science Inc, 2000;
- [10] G.H.Jeon, Z.H.Kwon, H.J.Seol, H.I.Kim, *Hardening and overaging mechanisms in an Au-Ag-Cu-Pd alloy with In additions*, Gold Bulletin, 2008, 41/3, pp. 257-263;
- [11] Direttiva 2004/96/CE della Commissione del 27 settembre 2004 – Ni;
Direttiva 2002/96/CE del Parlamento Europeo del Consiglio del 27 gennaio 2003 – Cd;
- [12] P.Gertik, *Plementi metali*, Pavle Gertik, (1997)., pp. 13-106;
- [13] V.M.Mališev, D.V.Rumjancev, *Serebro*, Moskva, Metalugija, (1987), pp. 22-178;

- [14] Republika Srbija, *Zakon o kontroli predmeta od dragocenih metala*, „Sl.Glasnik RS“, br. 36/2011;
- [15] A.Prince, Silver-Gold-Copper, *The present MSI Eureka World Library*, updated by Tamara Velikanova and Mikhail Turchanin, www.matport.com;
- [16] K.Yasuda, *Age-Hardening and Related Phase Transformation in Dental gold Alloys*, Gold Bulletin, 1987, 20(4), pp. 90-103;
- [17] A.Wilm, DRP 244554 (German patent), 1906, Metalurgie, 8, p. 223, p. 650, (1911),(I.J.Polmear, Aluminium Alloys – A Centuri of Age Hardening, Materials forum Volume 28, 2004, Institut of Materials Emgineering Australasia, LTD), Edited by J.F.Nie, A.J.Morton and B.C. Muddle, pp. 1-15;
- [18] R.L.Coleman, *Physical Properties of Dental Materials (Gold Alloys and Accessory Materials)*, Bur.Stand. J. Res. 1, 867-938, (1928);
- [19] V.M.Mališev, D.V.Rumjancev, *Zoloto*, Moskva, Metalurgija, 1979, pp. 23-205;
- [20] <http://www.chemicalelements.com/elements/au.html>
- [21] H.Šuman, *Metalografija*, Univerzitet u Beogradu, Univerzitetski udžbenik, 1965, pp. 96-395;
- [22] L.Vitiello, *Oreficeria moderna, tecnica – practica*, Editore Urlico Hoepli Milano, 1987, pp. 183–226;
- [23] H.Okamoto and D.J.Chakrabarti and D.E.Langhlin and T.B.Massalski, *The Au-Cu (Gold – Copper) System*, Byllentin of Alloy Phase Diagrams, Vol.8, N°5, 1987, pp. 453-473;
- [24] M.E.Dric, N.R.Bo var, L.J.Guzei, *Dvojne i mnogokomponentne splavi na osnove medi*, M.Nauka, 1979;
- [25] A.A.Presnjakov, S.N.Volejnik, *Svojsva medi i jejo splavov*, Trudi instituta jadernoj fiziki, A.N. Kazahanskaja SSR, 1969, pp. 29-36;
- [26] Z.Kovačević, Z.Karastojković, R.Perić, *How to Avoid Chemical Aggressive Substances in Waste Waters from Gold Jewel Production*, Proceedings of 11th International multidisciplinary Scientific Geo-conference & EXPO SGEM 2011 on Modern Management of Mine Producing, Geology and Environmental Protection, Published by Ministry of Environment and Water, Sofia, Bulgaria,(2011), pp. 405-411;
- [27] L.Stuparević, D.Marković, D.Gusković, B.Stanojević, S.Ivanov, *The influence of thermomechanical deformation regime to gold alloys structure and properties*, glasnik rudarstva i metalurgije, 28, (1992), pp. 85-91;

- [28] B.Perović, *Fizika metalurgije*, Univerzitet „Veljko Vlahović“ u Titogradu, Univerzitetski udžbenik, (1984), str. 4-417;
- [29] D.Gratis and M.Condat, *Antiphase Domain in ordered Au₃Cu*, Compt.Rend., 273 (4), (1971), pp. 336-338;
- [30] H.Sato and R.S.Toth, *Effect of Additional Elements on the Period of CuAu II and the Origin of The Long-Period Superlattice*, Scientific Laboratory, Ford Motor Company, Dearborn Michigan, (Received July 14, 1961)., pp. 1833-1847;
- [31] G.Grube, G.Schoenman, F.Vaupd and W.Weber, *The Equilibrium Diagram of Copper-Gold Alloys*, Z.Anorg.Chem., 201, (1931), pp. 41-47;
- [32] F.N.Rhines, W.E.Bond and R.A.Rummel, *Constitution of ordering Alloys of the System Copper-Gold*, Trens.Amer.Soc.Met. 47, (1955), pp. 578-597;
- [33] W.F.Hosford, *Physical Metallurgy*, (2005) by Taylor & Francis Group, LLC, USA, <http://www.taylorandfrancis.com>, pp. 87-210;
- [34] R.Süss, E.V.D.Lingen and L.Glaner, *18 Carat Yellow Gold Alloy with Increased Hardness*, *Physical Metallurgy Division*, Mintek, Priv.Bag X3015, Randburg 2125, South Africa, Gold Bulletin, (2004), 3713-4, pp. 196-207;
- [35] A.M.Hunt and D.W.Pashley, *Electron Microscope Studies of the Mechanism of Nucleation and Growth of AuCu II from the Disordered State*, Le Journal de Physique et le Radium, 23, (1962), pp. 846-853;
- [36] M.Hirabayashi, J.Weissmann, *Study of CuAu I by Transmission electron microscopy*, Acta Metalurgica, Vol.19, Issue 1, Jan. 1962,pp. 25-36;
- [37] R.Perić, Z.Karastojković, Z.Kovačević, D.Gusković, *The Age-hardening Mechanism of Au58.5Ag9.0Cu26.4Zn6.1 Gold Alloy for Jewelry Production*, Proceedings of III International Congress „Engineering, environment and materials in processing industry“ Jahorina 2013, Bosnia and Herzegovina, Republic of Srpska, Jahorina, March, 2013, pp. 951-960;
- [38] R.Perić, G. or ević, Z.Karastojković, *Prilog raspravi o kvalitetu šupljeg nakita od legure zlata 585*, Specijalizovani asopis za unapredjenje kvaliteta, Poslovna politika AD, Beograd, Zemun, god. XVIII, (3-4), (2008), str. 65-67;
- [39] C.Gretu and E.van der Lingen, *Coloured Gold Alloys*, Mintek, Private Bag X3015, Randburg 2125, South Africa,(1999. 7. Sept.), pp. 31-40;
- [40] W.S.Rapson, *The Metallurgy of the Coloured Carat Gold Alloys*, Gold Bulletin, (1990), 23 (4), pp. 125-134;

- [41] G.H.Sistare, *Ag-Au-Cu*, in ASM Metals Handbook, Vol.8 ASM, Gaithersburg (1973), pp. 377-378;
- [42] A.Prince, *Critical Assessment of Copper-Gold-Silver Ternary System*, Int.Mater.Rev., 33(6), (1988), pp. 314-338;
- [43] A.Prince, *Silver-Gold-Copper in Ternary Alloys*, A Comprehensive Compendium of Evaluated Constitutional Date and Phase Diagrams, Petzow,G., Effenberg,G., (Eds), Vol.1, 165-176 (Phase Diagrams, Phase Relations, Crys.Structure, Assessement, 31), 1988, pp.165-176;
- [44] O.Ntugoku, J.B.Cadoff, *Til Line Compsitions of Ternary Cu-Ag-Au Alloys Within Miscibility Gap*, Mat.Sci.Techn. 2(1986), pp. 528-533; www.ingentaconnect.com/conect/.../art00002/,
- [45] T.O.Ziebold, *Ternary Diffusion in Cu-Ag-Au Alloys*, Thesis, Massachusetts Institute of Technology (1963-1965);
- [46] V.D.Sukhanov, T.S.Beyarchinova, *Continuos Complex Reactions of Ordering and Decomposition in Ordering Alloys Based on Au₃Cu*, Phys.Met.Metalogr., 72(3), (1991), p. 117-125, translated from Fiz.Met.Metalloved., (9), (1991), pp. 123-131;
- [47] Z.Karastojković, R.Perić, M.Srećković, Z.Janjušević, S.Jakovljević, Z.Kovačević, *Fazne transformacije kao razlog propadanja legure zlata 585*, Knjiga radova X YUCORR – Saradnja istraživača i razvojnih struka na polju korozije, zaštite materijala i životne sredine, SITZAM – Beograd, Srbija, Tara – 2008, str. 289-293;
- [48] R.Perić, Z.Karastojković, I.Perić, R.Perić, *Svetlosna mikroskopija interkristalne korozije kod legura zlatnog nakita 585/1000*, Knjiga radova XI YUCORR – Saradnja istraživača i razvojnih struka na području korozije, zaštite materijala i životne sredine, SITZAM – Beograd, Srbija, Tara – 2009, str. 243-248;
- [49] R.Perić, Z.Karastojković, I.Perić, R.Perić, *Interkristalna korozija šupljeg nakita kod legure zlata za nakit*, Zbornik radova savetovanja: Korozija i zaštita materijala u toku eksploatacije, Narodna tehnika, Požarevac, (2008), Srbija, str.135-146;
- [50] P.Bataini, *La metalografia ottica nella fabricazione dei gioelli come evitare e problemi e migliorare la qualità*, Jewelry Technology Forum, Vicenza, Italia, 2008, pp.242-270;
- [51] S.Glasstone, *Atomska energija*, (Samuel Glasstone – Consultant to the United States Atomic Energy Commission), (2), (1964), str. 63-115;

- [52] D.Cvetković, *Fizički parametri radne i životne sredine, osvetljenje, FP.* Predavanja, 2013, <http://www.znrfak.ni.ac.rs/SRB/10-studije/10-01-OAS>;
- [53] S.Pajević, *Optičke metode analize*, Predavanje: Metode u biološkim analizama, www.2.dbe.pmf.uns.ac.rs/.../metode.pdf;
- [54] R.Perić, Z.Karastojković, M.Srećković, Z.Janjušević, Z.Kovačević, *Absorption layers in laser welding of silver & golden jewels*, Proceedings of 40th International October Conference on Mining and Metallurgy, October 2008, Soko-banja, Serbia (2008), pp. 452-458;
- [55] M.A.Krishtal, A.A.Zhukov, A.N.Kokora, *Struktura i svojstva splavov obrabotanih izlučenjem lasera*, Moskva 1973, Metalurgija, pp. 7-28;
- [56] R.E.Reed-Hill, *Physical Metallurgy Principles*, New York, 1973, D.Van Nostrand Co, pp.534-539; 568-607;
- [57] Z.Karastojković, M.Srećković, R.Perić, M.Kutin, Z.Janjušević, *Width of heated area during gas and laser welding of small parts made from 585 gold alloy*, XXXVIII October Conference on Mining and Metallurgy, Donji Milanovac – Serbia, 2006, Proceedings, pp. 610-619;
- [58] Z.Karastojković, R.Perić, M.Srećković, Z.Janjušević, S.Jakovljević, Z.Kovačević, *Metallurgy of gas and laser welding of thin parts made from 585 gold alloy*, 10th National Conference of Metallurgy with International participation, Varna – Bulgaria, 2007, A-27;
- [59] Z.Karastojković, R.Perić, M.Srećković, Z.Janjušević, Z.Kovačević, *Apsorpcione prevlake za uspešno lasersko lemljenje i varenje zlatnog nakita*, Conference, Zavarivanje 2008, Subotica, Serbia, Proceedings on CD, pages 7;
- [60] Practicum Goldschmieden: New Techniques, Laser/Pulse Brush, N°10, pp. 7-26;
- [61] S.Pantelić, N.Borna, M.Srećković, Z.Kovačević, Z.Karastojković, R.Perić, T.Volkov-Husović, Z.Janjušević, *Nd³⁺:YAG laser interaction with optical fibres in optical fibre – connector system*, Journal of the Serbian Chemical Society, Published by Serbian Chemical Society, Ref.N°.4202, (2009);
- [62] B.W.Weinberger, *An Introduction to the History of Dentistry*, Vol.I, Mosby Co., St. Louis, 1948, {An Illustrated History, (Mosby), 1995};
- [63] D.P.Agarwal and G.Raykhtsaum, in The Santa Fe symposium on Jewelry Manufacturing Technology 1988, ed. D.Schneller, Santa Fe 1988, pp. 229-235;
- [64] G.Raykhtsaum and D.P.Agarwal, *The Color of Gold Technology*, (1977), N°22, pp. 26-30;

- [65] C.W.Zanariah, C.W.Ngah and Norita Mohamed, *Color Measurements of Electroplated Gold Film on Hull Cell Panels*, International Journal of Research in Engineering and Technology, (2013), 02/07, pp. 9-12;
- [66] M.Poliero, *Leghe d'oro bianco per microfusione*, Leg.Or. s.r.l., Bressanvido, Vicenza, Italia, pp. 10-20.
- [67] P.Gertik, *Umetni ka obrada metala – Nakit i ukrasni predmeti*, Muzej primenjene umetnosti, Beograd, 2004, str. 66-290;
- [68] R.Peri , Z.Karastojkovi , Z.Kovačević , D.Guskovi , *Age-Hardening Effect of Au58.5Ag9.0Cu26.4Zn6.1 and Application in the Manufacture of Jewelry*, Metalurgia International, Vol. XVIII, (2013), Special Issue N°4, pp. 352-361;
- [69] D.Ott, *Optimizing Gold Alloys for the Manufacturing Process*, Gold Technology, 34(1), (2002), pp. 37-44;
- [70] D.P.Agarwal and G.Raykhtsaun, in Precious Metals 1993, Proceedings of the 17th International Precious Metals Conference, Newport, Rhode Island, ed R.K. Misra International Precious Metals Institute, Newport, Rhode Island, 1993, pp. 153-170;
- [71] Y.H.Shen, T.Gao, M.M.Wang, *Effect of Intense Laser Irradiation on the Lattice Stability of Al₂Au*, Communications in Theoretical Physics, vol.59, N°5, May 15, 2013, Institute of Molecular Physics, Sichuan University, Chengdu 610065, China, pp. 589-593;
- [72] O.Untracht, in „Jewelry Concepts and Technology“, ed. R.Hale, Double day & Company, London, 1982, Published by Oxford University Pres, pp. 391,718, www.the_grove_encyclopedia_of_materials_and_techniques_in_art.com;
- [73] T.O.Ziebold, *Ternary Diffusion in Copper-Silver-Gold Alloys*, Massachusetts Institute of Technology (1963), pp. 1-150;
- [74] A.S.McDonald and G.H.Sistare, *The metallurgy of some carat gold jewelry alloys*, Gold Bulletin, 1978, 11(3), pp. 66-73;
- [75] R.Peri , Z.Karastojkovi , Z.Kovačević , D.Guskovi , *The Aging of Gold Alloys for Production of Jewelry*, Zbornik radova savetovanja: Primena savremenih materijala u tehnologijama i konstrukcijama, Požarevac, Srbija, (2012), str. 86-94;
- [76] H.J.Seol, T.Shiraishi, Y.Tanaka, E.Miura, K.Hisatsune, H.I.Kim, *Ordering behaviors and age-hardening in experimental AuCu-Zn pseudobinary alloys for dental applications*, Biomaterials, 23 (2002), pp. 4873-4879, www.elsevier.com/locate/biomaterials

- [77] V.Ilić, V.Batanić, B.Jović, *Epidemiološki i patogeni aspekti trovanja niklom*, 2007, <http://www.publisher.medfak.ni.ac.rs>,
- [78] D.Gusković, Z.Stanković, *Preparation of amorphous alloys in Zr-Mo-Pd system*, Material Science and Technology, 10 (1994), pp. 337-341;
- [79] D.Gusković, Z.Stanković, *Some amorphous alloys production in ternary systems Zr-(Pd,Ru,Mo)-(Si,B)*, Journal of Materials Science, 28 (1993), pp. 949-954;
- [80] S.H.Lee, I.S.Lim, M.H.Cho, A.R.Pio, Y.H.Kwon, H.J.Seol, H.I.Kim, *Age-hardening and overaging mechanisms related to the metastable phase formation by the decomposition of Ag and Cu in a dental Au-Ag-Cu-Pd-Zn alloy*, Gold bulletin, 07.july 2011, DOI 10.1007/s13404-011-0021-x, pp. 1-8;
- [81] K.Yasuda, G.Van Tendeloo, J.Van Landuyt, and S.Amelinckx, *High-resolution Electron Microscopic Study of Age-hardening in a Commercial Dental Gold Alloy*, Journal of Dental Research, September, 1986, pp. 1179-1185,
- [82] T.Tani, K.Udoh, KYasuda, G.VanTendeloo, and J.Van Landuyt, *Age-hardening Mechanisms in a Commercial Dental Gold Alloy Containing Platinum and Palladium*, Journal of Dental Research, October, 1991, pp. 1350-1357;
- [83] Y.O.Kim, H.I.Kim, M.H.Cho, S.Y.Cho, G.Y.Lee, Y.H.Kwon, H.J.Seol, *Age-hardenability related to precipitation and lamellar-forming grain boundary reaction in dental low-carat gold alloy*, Dept.of Dental Materials, School of Dentistry and Medical Research Institute Pusan National University, Pusan National University, Beomeo-Ri, Mulgeum-Eup, Yangsan-Si, Gyeongsangnam-Do, 626-814, South Korea, Document N°MK110904, www.ijmr.de, pp.1-7.
- [84] M.G.Park, C.H.Yu, H.J.Seol, Y.H.Kwon, H.I.Kim, *Age-Hardening Behavior of a Spinodally Decomposed Low-Carat Gold Alloy*, Journal Mater.Sci. 43 (2008), pp. 1539-1545;
- [85] Ž.A.Spasojević, Z.V.Popović, *Elektrotehnički i elektronski materijali*, Naučna knjiga, Beograd, (1979);
- [86] Enciclopedia Britannica, Inc. Encyclopedia Britannica, (2004); <http://www.britannica.com/EBchecked/topic/860782/conductivity>, (pristup. 11.10.2014.);
- [87] W.D.Callister Jr., *Materials Science and Engineering An Introduction*, 7th Ed. John Wiley & Sons, Inc., (2007);
- [88] Encyclopedia of world environmental history, Shepard Krech III, McNeill, Carolyn Merchant, eds., Routledge (2004), Volume 3, pp. 597;

- [89] General Electric Contact Materials, Electrical Contact Catalog (Material Catalog), Tanaka Precious Metals, (2005);
- [90] M.A.Krishtal, A.A.Zhukov, A.N.Kokora, *Struktura i svojstva splavov obrabotanih izlu eniem lazera*, Moskva, 1973, Metallurgija, pp. 7-28;
- [91] N.N.Rykalin, A.A.Uglov, *Lazernaja i elektronno-lu evaja obrabotka materialov*, Moskva, 1985, Mašinostroenie, pp. 269-315;
- [92] K.W.Carlson, *The role of heat input in deep penetration laser welding*, International Conference „Laser Welding, Machining and Materials Procesing” – San Francisco, 1985, Book of Proceedings, pp.49-58;
- [93] H.Koebner, *Industrial Application of Lasers*, Moskva, 1988, Mašinostroenie, pp. 76-93;
- [94] Carl F. Baasel, *Instruction Handbook*, Starnberg, Carl Baasel – Lasertechnik & Co, KG Petersbrunner, 82319, (1999);
- [95] M.S.Grimwade, *Manuale sulla saldatura ed altre tecniche di giunzione,nella fabbricazione di gioielleria in oro*, International Technology, World Gold Council, Londra, (2002), pp. 39-42;
- [96] M.Stojanović, *Metode za ocenu otpornosti prema koroziji metala u različitim uslovima eksploatacije*, Izdava : Integritet i vek konstrukcije br. 2/2007, str. 71-78;
- [97] P.Battaini, *Lavorazioni meccaniche e trattamenti termici di ricottura nella produzione di semilavorati per oreficeria*, Jewellery Technology Forum, Convegno internazionale sulla tecnologia produtiva orafa, (2005), pp. 47-71;
- [98] Z.Karastojković, M.Srećković, R.Perić, Z.Janjušević, Z.Kovačević, *Primena lesera u ispitivanju korozionih proizvoda*, Zbornik radova savetovanja, Korozija i zaštita materijala u toku eksploatacije, Izdava : Narodna tehnika, Požarevac, 2010, Srbija, str. 125-134;
- [99] www.legor.com/index.php?pagina=catalogo_pdf_2.php&codicecat=02, Instruzioni per lavoro Leghe madri – Scheda tecnica, LEGOR-GROUP S.p.A., Vicenza, Italy, (2013), Instruzioni per lavoro;
- [100] www.indutherm.de/it/products/VC_400, Idutherm, Erwärmungsanlagen GmbH, Instruction Manual for Vacuum Pressure Casting Machine VC 400, Brettener Strasse 32, D-75045 Walzbachtal, Germany, (2004);

- [101] B.Kočovski, *Metalurgija obojenih metala*, Bor, 1967, Rudarsko-metalurški fakultet, Univerzitet u Beogradu, str. 28-74;
- [102] M. auševi, *Teorija plasti ne prerade metala*, Svjetlost – Sarajevo, Metalurški fakultet u Zenici, 1979;
- [103] P.Battaini, *Lavorazioni meccaniche e trattamenti termici di ricottura nella produzione di semilavorati per oreficeria*, Jewelry Technology Forum, Vicenza – Italia, 2005, Lavori racolti, pp. 47-71;
- [104] G.Petzow, V.Carle, *Metallographic etching*, Ohio, ASM Int, 1999, pp.64-67;
- [105] B.Musafia, *Obrada metala plastišnom deformacijom*, Univerzitet u Sarajevu, Sarajevo, 1972, str.23-106.-
- [106] V.B.Bahtinov, *Prokatnoe proizvodstvo*, Moskva „Metalurgija”, 1987, pp. 12-109;
- [107] A.P.Grudev, *Teorija prokatki*, Moskva „Metalurgija”. 1988, pp. 9-119;
- [108] Z.Karastojković, *Analiza uticaja procesa zavarivanja, lemljenja i termičke obrade na kvalitet spojeva legure zlata fino e 585*, Univerzitet u Beogradu, Već za multidisciplinarne studije, Doktorska disertacija, Beograd, 2013;
- [109] <http://www.rgf.rs/predmet/RO/VI%20semestar/4.TehDi.pdf>
- [110] <http://www.rgf.bg.ac/predmet/RO/III%20semestar/pdf>, *Tehnologija materijala u rударству, Ispitivanje tvrdo e*, Univerzitet u Beogradu,(2012), str. 43-68;
- [111] R.Perić, Z.Karastojković, M.Perić, I.Perić, R.Perić, *Light Microscopy Introduction and Improving the Quality of Hole-Jewels from 585/1000 Gold Alloy*, Proceedings of 1st International Congress on Engineering, Materials and Management in the Processing Industry, Faculty of Technology Zvornik, Republic of Srpska, B&H, Jahorina 2009, (2009), pp. 257-262;
- [112] S.Jakovljević, Z.Karastojković, R.Perić, Z.Janjušević, *Poteško e pri pepoliranju i ponovnom nagrizanjukomercijalnih legura zlata za opti ku mikroskopiju*, Zbornik izvoda radova VII Savetovanja metalurga Srbije – Perspektive razvoja metalurške industrije, Savez inženjera metalurga Srbije, Beograd, Septembar (2008), Srbija, CD-77;
- [113] B.Hafner, *Scanning Electron Microscopy Primer*, Characterization Facility, University of Minnesota – Twin Cities, 4/16/2007, pp. 1-29;
- [114] A.Werner, B.Skilberd, H.Fjeld, *Scanning Electron Microscopy – SEM*, MENA3100, Predavanje: Power Point, www.uio.no/studier/emner/.../24february09.ppt, (pristup, 22.04.2014.g.);

- [115] E.V.Panenko, J.A.Skakov, B.I.Krimer, P.P.Aršentjev, K.V.Popov, M.J.Cviling, *Laboratorija metalografije*, pod redakcijej dokt.tehn.nauk.prof.B.G.Livšica, Metalurgija, Moskva, 1965, pp. 11-349;
- [116] Z.Karastojković, R.Perić, Z.Janjušević, Z.Kovačević, *Deformation Regime and Microstructures of Gold Alloy 585*, Proceedings of 3rd International Conference, Deformation Processing and Structure of Materials, Association of Metallurgical Engineers of Serbia (AME), Faculty of Technology and Metallurgy, University of Belgrade, Institute of Nuclear Sciences „Vinča“, Serbian Chemical Society, September 2007, Belgrade, Serbia, (2007), pp. 293-298;
- [117] R.Perić, Z.Karastojković, Z.Kovačević, Z.Janjušević, D.Gusković, *Tempering/Ageing in Region 50-600°C of Quenched and Cold Deformed 585 Gold Alloy for Jewelry Production*, Metalurgija, 53 (2014) 3, pp. 346-348; (IF-0.69), Croatian Metallurgical Society –CMS;
- [118] PDPP „PERI & PERI“&Co. d.o.o., *Tehnološka karta proizvodnje*, Požarevac, Srbija, 2013;
- [119] H.Winn, Y.Tanaka, T.Shiraishi, K.Udoh, E.Miura, R.I.Hernandez, Y.Takuma, K.Hisatsune, *Two Types of Checkerboard-like Microstructures in Au-Cu-Pd Ternary Alloys*, www.elsevier.com/locate/jalcom, Journal of Alloys and Compounds 306 (2000) pp.262-269;
- [120] Y.Le Bouar, A.Loiseau and A.G.Khachaturian, *Origin of Chessboard-like Structures in Decomposing Alloys*, Theoretical Model and Computer Simulation, Acta mater. Vol.46, No.8, pp.2777-2788,(1998), Acta Metallurgica Inc.
- [121] R.Perić, Z.Karastojković, Z.Kovačević, D.Gusković, *Hardness Changes in Ag92.5Cu7.5 Jewel Alloy After Tempering of As-Casted, Rolled and Quenched States*, Proceedings of 43rd International October Conference on Mining and Metallurgy, Univetsity of Belgrade – Technical Faculty in Bor, Serbia, Kladovo, October 2011, (2011), pp. 171-175;
- [122] R.Perić, Z.Karastojković, Z.Janjušević, Z.Kovačević, *Privarivanje i pri vršivanje delova pre tvrdog lemljenja*, Zavarivanje i zavarene konstrukcije, 54/2009/2, str.63-67;
- [123] S.Marković, S.Stojadinović, S. orlović, Z.Marković, *Terminološki rečnik – Leksikon fizike metalurgije*, Savez inženjera metalurgije Jugoslavije, Beograd, 1996. godine;
- [124] P.Battaini, *Lavorazioni meccaniche e trattamenti termici di ricottura nella produzione di semilavorati per oreficeria*, (Jewlry Technology Forum), Vicenza – Italia, Giugno 2005, Lavori racolti, pp. 47-71;

- [125] V.P.Novikov, *Početki i razvoj o juvelirnih izdelijah*, Sankt-Peterburg „Kontinent” 1995, pp. 34-79;
- [126] R.Peri, Z.Karastojković, M.Srećković, Z.Kovačević, Z.Janjušević, I.Peri, *Reflectivity of Absorption Layers for Laser Welding of 585/1000 Gold Alloy Measuring at Day Light*, Proceedings of 41st International October conference on Mining and Metallurgy, Serbia, Bor – Kladovo, (2009), pp. 613-620;
- [127] Z.Karastojković, R.Peri, M.Srećković, Z.Janjušević, *Uvod u laserske tehnike u zlatarstvu*, Beograd (2008), VII savetovanje metalurga Srbije, Zbornik izvoda, pp.77;
- [128] J.I.Jeong, H.I.Kim, G.Y.Lee, Y.H.Kwon, H.J.Seol, *Spinodal decomposition related to age-hardening and cuboidal structures in a dental low-carat gold alloy with relatively high Cu/Ag content ratio*, Gold Bulletin (2014) 47, pp.65-73;

°- Opšta literatura:

M.Šipka, *Pravopisni rednik srpskog jezika*, Prometej, Novi Sad, (2010);

I.Klajn, M.Šipka, *Veliki rednik stranih reči i izraza*, Prometej, Novi Sad, (2006);

10.- PRILOZI

Prilog br.1.- Tvrdoća uzorka, HV0.25, legure „L-1”, Grupa I, vreme = 15 min ;

Red. Br.	Oznaka uzorka	Temperatura (°C)	Izmerene vrednosti tvrdoće (HV 0.25)	Srednja vrednost tvrdoće (HV 0.25)	Primedba
1	11	O.S.	185, 193, 193, 201, 193	193,0	
2	49	50	175, 176, 174, 176, 174	175,0	
3	50	100	184, 180, 183, 182, 183	182,5	
4	12	150	193, 201, 210, 201, 193	203,0	
5	13	200	210, 229, 219, 219, 219	219,2	
6	14	250	229, 219, 229, 219, 219	223,0	
7	15	300	229, 229, 219, 219, 229	225,0	
8	16	350	201, 185, 193, 201, 193	194,6	
9	17	400	185, 185, 201, 201, 201	194,6	
10	18	450	133, 133, 133, 133, 138	134,0	
11	19	500	124, 120, 120, 120, 120	120,8	
12	20	550	110, 113, 113, 106, 103	111,0	

Prilog br.2.- Tvrdoća uzorka, HV0.25, legura „L-I”, Grupa I, vreme = 30 min;

Red. Br.	Oznaka uzorka	Temperatura (°C)	Izmjerene vrednosti tvrdoće (HV 0.25)	Srednja vrednost tvrdoće (HV 0.25)	Primedba
1	11	O.S.	185, 193, 193, 201, 193	193,0	
2	51	50	177, 178, 178, 176, 176	177,0	
3	52	100	202, 200, 202, 200, 201,	201,0	
4	31	150	210, 229, 210, 210, 229	217,6	
5	32	200	251, 251, 251, 251, 251	251,0	
6	33	250	239, 263, 229, 251, 239	244,2	
7	34	300	229, 229, 210, 210, 229	221,4	
8	35	350	219, 219, 219, 219, 219	219,0	
9	36	400	193, 185, 185, 171, 171	181,0	
10	37	450	138, 133, 129, 133, 138	134,2	
11	38	500	133, 129, 129, 129, 133	130,6	
12	39	550	120, 117, 117, 120, 117	118,2	
13	40	600	110, 106, 110, 100, 106	106,4	

Univerzitet u Beogradu, Tehnički fakultet u Boru

Doktorska disertacija

Prilog br. 3.- Tvrdoća uzorka, HV0.25, legura „L-1”, Grupa I, vreme = 60 min;

Red. Br.	Oznaka uzorka	Temperatura (°C)	Izmerene vrednosti tvrdoće (HV 0.25)	Srednja vrednost tvrdoće (HV 0.25)	Primedba
1	45	150	180, 181, 182, 184, 185	182,6	
2	46	200	209, 205, 209, 205, 207	207,0	
3	47	250	205, 205, 209, 207, 209	207,0	
4	48	300.	169, 172, 169, 171, 168	169,9	

Prilog br. 4.- Tvrdoća uzorka, HV0.25, legura „L-1”, Grupa II, vreme = 15 min;

Red. Br.	Oznaka uzorka	Temperatura (°C)	Izmerene vrednosti tvrdoće (HV 0.25)	Srednja vrednost tvrdoće (HV 0.25)	Primedba
1	1	O.S.	117, 113, 113, 117, 117	115,4	
2	53	50	105, 105, 106, 106, 106	105,5	
3	54	100	120, 120, 121, 122, 122	121,0	
4	2	150	133, 138, 138, 138, 138	137,0	
5	3	200	178, 165, 165, 165, 171	168,8	
6	4	250	148, 148, 148, 143, 148	147,0	
7	5	300	129, 124, 124, 124, 124	125,0	
8	6	350	113, 113, 113, 113, 113	113,0	
9	7	400	110, 113, 110, 110, 113	111,2	
10	8	450	106, 103, 103, 113, 106	106,2	
11	9	500	103, 103, 100, 103, 100	101,8	
12	10	550	117, 113, 113, 117, 113	114,6	

Univerzitet u Beogradu, Tehnički fakultet u Boru**Doktorska disertacija**

Prilog br. 5.- Tvrdoća uzorka, HV0.25, legura „L-1”, Grupa II, vreme = 30 min;

Red. Br.	Oznaka uzorka	Temperatura (°C)	Izmerene vrednosti tvrdoće (HV 0.25)	Srednja vrednost tvrdoće (HV 0.25)	Primedba
1	1	O.S.	1117, 113, 113, 117, 117	115,4	
2	55	50	109, 109, 111, 110, 111	110,0	
3	56	100	121, 120, 120, 122, 122	121,0	
4	21	150	171, 171, 171, 159, 165	167,4	
5	22	200	171, 171, 171, 171, 165	169,8	
6	23	250	165, 165, 165, 159, 165	163,8	
7	24	300	120, 129, 120, 120, 120	121,8	
8	25	350	120, 129, 120, 124, 120	122,6	
9	26	400	120, 120, 117, 117, 120	118,8	
10	27	450	120, 120, 117, 117, 120	118,6	
11	28	500	133, 124, 120, 120, 120	123,4	
12	29	550	120, 117, 117, 117, 120	118,2	
13	30	600	117, 113, 110, 117, 117	114,8	

Prilog br. 6.- Tvrdoća uzorka, HV0.25, legura „L-1”, Grupa II, vreme = 60 min;

Red. Br.	Oznaka uzorka	Temperatura (°C)	Izmerene vrednosti tvrdoće (HV 0.25)	Srednja vrednost tvrdoće (HV 0.25)	Primedba
1	41	150	144, 145, 145, 144, 145	144,6	
2	42	200	139, 137, 138, 140, 136	138,0	
3	43	250	144, 148, 145, 147, 148	146,3	
4	44	300	129, 130, 129, 126, 123	127,3	

Prilog br. 7.- Električna provodljivost, MS/m, legura „L-1”, Grupa I, vreme = 30 min;

Red. Br.	Oznaka uzorka	Temperatura (°C)	Električna provodljivost (MS/m)	Srednja vrednost (MS/m)	Srednja vrednost (%IACS)	Primedba
1	1	O.S.	5.435 - 5.430 - 5.425	5.43	9.36	
			5.435 - 5.425 - 5.430	5.43	9.36	
2	2	150	5.439 - 5.436 - 5.453	5.44	9.38	
			5.45 - 5.429 - 5.461	5.45	9.39	
3	3	200	5.502 - 5.507 - 5.547	5.52	9.51	
			5.51 - 5.501 - 5.54	5.52	9.51	
4	4	250	5.573 - 5.543 - 5.581	5.57	9.60	
			5.574 - 5.536 - 5.565	5.56	9.58	
5	5	300	5.575 - 5.532 - 5.545	5.55	9.57	
			5.578 - 5.522 - 5.543	5.55	9.56	
6	6	350	5.512 - 5.505 - 5.565	5.53	9.53	
			5.541 - 5.534 - 5.59	5.56	9.58	
7	7	400	5.556 - 5.531 - 5.554	5.55	9.56	
			5.56 - 5.536 - 5.55	5.55	9.57	
8	8	450	5.533 - 5.525 - 5.587	5.55	9.57	
			5.56 - 5.529 - 5.584	5.56	9.58	
9	9	500	5.526 - 5.529 - 5.576	5.54	9.56	
			5.542 - 5.533 - 5.586	5.55	9.58	
10	10	550	5.542 - 5.512 - 5.548	5.53	9.54	
			5.56 - 5.523 - 5.559	5.55	9.56	
11	22	600	5.550 - 5.500 - 5.450	5.50	9.47	
			5.500 - 5.450 - 5.550	5.50	9.47	

Prilog br. 8.- Električna provodljivost, MS/m, legura „L-1”, Grupa II, vreme = 30 min;

Red. Br.	Oznaka uzorka	Temperatura (°C)	Električna provodljivost (MS/m)	Srednja vrednost (MS/m)	Srednja vrednost (%IACS)	Primedba
1	11	O.S.	5.550 - 5.560 - 5.570	5.56	9.58	
			5.560 - 5.550 - 5.570	5.56	9.58	
2	12	150	5.507 - 5.492 - 5.55	5.52	9.51	
			5.5 - 5.506 - 5.532	5.51	9.50	
3	13	200	5.465 - 5.452 - 5.481	5.47	9.42	
			5.488 - 5.461 - 5.494	5.48	9.45	
4	14	250	5.527 - 5.503 - 5.506	5.51	9.50	
			5.528 - 5.501 - 5.514	5.51	9.51	
5	15	300	5.594 - 5.574 - 5.634	5.60	9.66	
			5.599 - 5.571 - 5.616	5.60	9.65	
6	16	350	5.637 - 5.588 - 5.607	5.61	9.67	
			5.631 - 5.591 - 5.612	5.61	9.67	
7	17	400	5.625 - 5.612 - 5.634	5.62	9.70	
			5.639 - 5.609 - 5.65	5.63	9.71	
8	18	450	5.564 - 5.568 - 5.592	5.57	9.61	
			5.587 - 5.562 - 5.596	5.58	9.62	
9	19	500	5.603 - 5.569 - 5.595	5.59	9.64	
			5.616 - 5.563 - 5.596	5.59	9.64	
10	20	550	5.621 - 5.595 - 5.623	5.61	9.68	
			5.636 - 5.6 - 5.623	5.62	9.69	
11	39	600	5.620 - 5.640 - 5.630	5.63	9.71	
			5.630 - 5.640 - 5.620	5.63	9.71	

Prilog br.9.- Tvrdoća uzoraka, HV0.25, legura „L-2“, Grupa I, vreme = 15 min;

Red. Br.	Oznaka uzorka	Temperatura (°C)	Izmerene vrednosti tvrdoće (HV 0.25)	Srednja vrednost tvrdoće (HV 0.25)	Primedba
1	b01	O.S.	251, 251, 251, 251, 251, 251	251,0	
2	b02	50	239, 239, 239, 239, 239, 239	239,0	
3	b03	100	263, 239, 239, 229, 239, 229	239,7	
4	b04	150	239, 229, 239, 239, 229, 239	235,7	
5	b05	200	251, 251, 239, 239, 244, 239	243,8	
6	b06	250	263, 251, 251, 251, 251, 251	253,0	
7	b07	300	251, 251, 263, 263, 251, 263	257,0	
8	b08	350	276, 263, 276, 263, 276, 263	269,5	
9	b09	400	276, 256, 251, 251, 239, 263	256,0	
10	b10	450	185, 185, 185, 193, 201, 210	193,2	
11	b11	500	178, 171, 165, 171, 165, 165	169,2	
12	b12	550	185, 171, 171, 178, 171, 171	174,5	
13	b13	600	185, 178, 185, 185, 193, 193	186,5	

Prilog br.10.- Tvrdoća uzorka, HV0.25, legura „L-2”, Grupa I, vreme = 30 min;

Red. Br.	Oznaka uzorka	Temperatura (°C)	Izmerene vrednosti tvrdoće (HV 0.25)	Srednja vrednost tvrdoće (HV 0.25)	Primedba
1	b 01	O.S.	251, 251, 251, 251, 251, 251	251.0	
2	b 54	50	241, 241, 243, 243, 240, 244	242.0	
3	b 55	100	242, 244, 242, 244, 241, 245	243.0	
4	b 56	150	245, 245, 248, 244, 247, 247	246.0	
5	b14	200	251, 251, 251, 251, 251, 259	249.0	
6	b15	250	290, 276, 276, 290, 290, 276	283,0	
7	b16	300	305, 390, 321, 305, 321, 305	307,8	
8	b17	350	290, 290, 290, 305, 321, 321	302,8	
9	b18	400	251, 276, 251, 251, 251, 263	257,2	
10	b 66	450	201, 201, 200, 200, 202, 202	201.0	
11	b67	500	182, 182, 183, 181, 182, 182	182.0	

Prilog br.11.- Tvrdoća uzorka, HV0.25, legura „L-2”. Grupa I, vreme = 60 min;

Red. Br.	Oznaka uzorka	Temperatura (°C)	Izmerene vrednosti tvrdoće (HV 0.25)	Srednja vrednost tvrdoće (HV 0.25)	Primedba
1	b 01	O.S.	251, 251, 251, 251, 251, 251	251.0	
2	b 57	50	238, 238, 239, 241, 242, 242	240.0	
3	b 58	100	238, 239, 241, 238, 242, 242	240.0	
4	b 59	150	234, 238, 235, 235, 237, 237	236.0	
5	b19	200	239, 276, 251, 251, 239, 239	249,2	
6	b20	250	276, 276, 290, 290, 276, 290	283,0	
7	b21	300	290, 290, 290, 305, 305, 290	295,0	
8	b22	350	290, 305, 290, 290, 290, 290	292,5	
9	b23	400	250, 250, 250, 250, 250, 250	250.0	
10	b 68	450	174, 174, 174, 176, 176, 176	175.0	
11	b 69	500	173, 173, 173, 173, 173, 173	173.0	

Prilog br.12.- Tvrdoća uzorka, HV0.25, legura „L-2”, Grupa II, vreme = 15 min;

Red. Br.	Oznaka uzorka	Temperatura (°C)	Izmerene vrednosti tvrdoće (HV 0.25)	Srednja vrednost tvrdoće (HV 0.25)	Primedba
1	B31	O.S.	138, 138, 143, 143, 143, 133	139,7	
2	b32	50	153, 143, 143, 133, 120, 129	136,8	
3	b33	100	148, 159, 159, 138, 143, 138	147,5	
4	b34	150	138, 159, 153, 148, 138, 159	149,2	
5	b35	200	159, 159, 165, 171, 165, 159	163,0	
6	b54	250	193, 178, 171, 193, 185, 171	181,8	
7	b55	300	219, 210, 219, 219, 219, 193	213,2	
8	b38	350	193, 193, 178, 193, 165, 185	184,5	
9	b39	400	143, 159, 138, 129, 120, 138	137,8	
10	b40	450	143, 148, 138, 138, 148, 129	140,7	
11	b41	500	143, 153, 148, 138, 145, 145	145,3	
12	b42	550	165, 170, 160, 165, 165, 165	165,0	
13	b43	600	165, 185, 178, 165, 159, 171	170,0	

Prilog br.13.- Tvrdoća uzorka, HV0.25, legura „L-2”. Grupa II, t = 30 min;

Red. Br.	Oznaka uzorka	Temperatura (°C)	Izmerene vrednosti tvrdoće (HV 0.25)	Srednja vrednost tvrdoće (HV 0.25)	Primedba
1	b 31	O.S.	138, 138, 143, 143, 143, 143	139.7	
2	b 60	50	138, 138, 139, 137, 140, 136,	138.0	
3	b 61	100	149, 149, 149, 149, 148, 151	149.0	
4	b 62	150	164, 166, 165, 165, 165, 165	165.0	
5	b44	200	185, 185, 185, 185, 185, 178	183,8	
6	b45	250	229, 229, 219, 219, 219, 219	222,3	
7	b46	300	219, 229, 229, 219, 219, 229	224,0	
8	b47	350	201, 193, 229, 229, 251, 229	222,0	
9	b48	400	220, 220, 220, 219, 219, 222	220,0	
10	b 70	450	180, 180, 184, 184, 182, 182	182.0	
11	b71	500	162, 162, 161, 163, 162, 162	162.0	

Prilog br.14.- Tvrdoća uzorka, HV0.25, legura „L-2”, Grupa II, vreme = 60 min;

Red. Br.	Oznaka uzorka	Temperatura (°C)	Izmerene vrednosti tvrdoće (HV 0.25)	Srednja vrednost tvrdoće (HV 0.25)	Primedba
1	b 31	O.S.	138, 138, 143, 143, 143, 143	139.7	
2	b 63	50	138, 138, 142, 142, 139, 141	138.0	
3	b 64	100	149, 149, 145, 145, 147, 174	149.0	
4	b 65	150	160, 160, 161, 161, 159, 159	165.0	
5	b49	200	171, 210, 178, 185, 185, 185	186,8	
6	b50	250	193, 165, 210, 219, 210, 178	195,8	
7	b51	300	201, 239, 229, 201, 185	213,3	
8	b52	350	219, 211, 219, 219, 219, 209	216,0	
9	b53	400	218, 216, 210, 219, 210, 213	214,2	
10	b 72	450	178, 179, 179, 179, 179, 180	179.0	
11	b 73	500	159, 159, 166, 160, 161, 161	160.0	

Prilog br. 15.- električna provodljivost, MS/m, legura „L-2”, Grupa I, vreme = 15 min.

Red. Br.	Oznaka uzorka	Temperatura (°C)	Električna provodljivost (MS/m)	Srednja vrednost (MS/m)	Srednja vrednost (%IACS)	Primedba
1	b01	O.S.	6.054 - 6.042 - 6.071 6.053 - 6.046 - 6.07	6.06	10.44	
2	b02	50	6.088 - 6.055 - 6.044 6.097 - 6.049 - 6.105	6.06	10.45	
3	b03	100	6.014 - 5.985 - 5.987 5.996 - 5.994 - 6.016	6.00	10.34	
4	b04	150	5.99 - 5.962 - 5.989 5.971 - 5.957 - 6.004	5.98	10.31	
5	b05	200	5.896 - 5.877 - 5.88 5.883 - 5.858 - 5.885	5.88	10.15	
6	b06	250	5.823 - 5.824 - 5.834 5.828 - 5.821 - 5.869	5.83	10.05	
7	b07	300	6.088 - 6.06 - 6.087 6.082 - 6.083 - 6.09	6.08	10.48	
8	b08	350	6.725 - 6.696 - 6.706 6.708 - 6.688 - 6.714	6.71	11.057	
9	b09	400	6.655 - 6.626 - 6.631 6.664 - 6.644 - 6.679	6.64	11.44	
10	b10	450	6.012 - 5.939 - 5.96 6.002 - 5.954 - 5.98	5.97	10.29	
11	b11	500	5.834 - 5.826 - 5.829 5.839 - 5.824 - 5.86	5.83	10.05	
12	b12	550	5.826 - 5.792 - 5.826 5.848 - 5.794 - 5.825	5.81	10.03	
13	b13	600	5.847 - 5.832 - 5.846 5.843 - 5.813 - 5.859	5.84	10.07	

Univerzitet u Beogradu, Tehnički fakultet u Boru

Doktorska disertacija

Prilog br. 16.- Električna provodljivost, MS/m, legura „L-2”, Grupa II, vreme = 15 min.-

Red. Br.	Oznaka uzorka	Temperatura (°C)	Električna provodljivost (MS/m)	Srednja vrednost (MS/m)	Srednja vrednost (%IACS)	Primedba
1	b31	O.S.	5.869 - 5.849 - 5.876	5.86	10.11	
			5.86 - 8.835 - 5.893	5.86	10.11	
2	b32	50	5.797 - 5.778 - 5.814	5.80	9.99	
			5.794 - 5.784 - 5.845	5.81	10.01	
3	b33	100	5.854 - 5.859 - 5.864	5.86	10.10	
			5.834 - 5.834 - 5.848	5.84	10.07	
4	b34	150	5.9 - 5.903 - 5.907	5.90	10.18	
			5.906 - 5.922 - 5.904	5.91	10.19	
5	b35	200	5.981 - 5.968 - 5.958	5.97	10.29	
			5.976 - 5.964 - 5.988	5.98	10.30	
6	b36	250	6.027 - 6.023 - 6.052	6.03	10.40	
			6.056 - 6.016 - 3.039	6.04	10.41	
7	b37	300	6.095 - 6.951 - 6.072	6.06	10.41	
			6.092 - 6.09 - 6.096	6.09	10.50	
8	b38	350	6.904 - 6.868 - 6.813	6.86	11.83	
			6.931 - 6.879 - 6.831	6.88	11.86	
9	b39	400	6.881 - 6.801 - 6.776	6.82	11.76	
			6.809 - 6.781 - 6.796	6.80	11.72	
10	b40	450	5.852 - 5.797 - 5.816	5.82	10.04	
			5.884 - 5.851 - 5.907	5.88	10.14	
11	b41	500	5.906 - 5.853 - 5.885	5.88	10.14	
			5.897 - 5.865 - 5.905	5.89	10.15	
12	b42	550	5.804 - 5.787 - 5.817	5.80	10.00	
			5.807 - 5.78 - 5.821	5.80	10.00	
13	b43	600	5.838 - 5.831 - 5.877	5.85	10.08	
			5.839 - 5.835 - 5.88	5.85	10.09	

Univerzitet u Beogradu, Tehnički fakultet u Boru**Doktorska disertacija**

Prilog br.17.- Tvrdoća uzorka, HV0.25, legura „L-3“ – Grupa I, vreme = 15 min;

Red. Br.	Oznaka uzorka	Temperatura (°C)	Izmerene vrednosti tvrdoće (HV 0.25)	Srednja vrednost tvrdoće (HV 0.25)	Primedba
1	01	O.S.	124, 106, 124, 124, 124, 106	118,0	
2	02	50	113, 124, 113, 124, 124, 124	120,3	
3	03	100	124, 133, 129, 129, 124, 133	128,7	
4	04	150	129, 120, 129, 129, 120, 129	126,0	
5	05	200	120, 120, 120, 120, 120, 120	120,0	
6	06	250	117, 117, 103, 117, 113, 103	111,0	
7	07	300	113, 113, 106, 110, 113, 106	110,2	
8	08	350	106, 106, 106, 106, 103, 103	105,0	
9	09	400	91,9; 91,9; 91,9; 91,9; 97,5; 94,5	93,3	
10	10	450	87,0; 87,0; 89,4; 89,4; 89,4; 89,4	88,6	
11	11	500	84,6; 84,6; 87,9; 87,0; 87,0; 87,0	86,2	
12	12	550	82,5; 82,5; 78,2; 78,2; 78,2; 78,2	79,6	
13	13	600	72,5; 78,2; 82,5; 77,2; 74,2; 76,2	76,8	

Univerzitet u Beogradu, Tehnički fakultet u Boru**Doktorska disertacija**

Prilog br.18.- Tvrdoća uzorka, HV0.25, legura „L-3”- Grupa I, vreme = 30 min;

Red. Br.	Oznaka uzorka	Temperatura (°C)	Izmerene vrednosti tvrdoće (HV 0.25)	Srednja vrednost tvrdoće (HV 0.25)	Primedba
1	01	O.S.	124, 106, 124, 124, 124, 106	118,0	
2	40	50	124, 124, 120, 120, 120, 120	121,3	
3	41	100	129, 133, 124, 120, 124, 124	125,7	
4	42	150	124, 138, 117, 129, 129, 138	129,2	
5	43	200	138, 138, 129, 138, 129, 129	133,5	
6	48	250	124, 113, 113, 110, 113, 110	113,8	
7	45	300	103, 106, 106, 103, 103, 103	104,0	
8	46	350	94,5; 97,5; 97,5; 94,5; 100; 103	97,8	
9	47	400	94,5; 100; 97,5; 94,5; 89,4; 91,9	94,6	

Prilog br.19.- Tvrdoća uzorka, HV0.25, Legura „L-3” – Grupa I, vreme = 60 min;

Red. Br.	Oznaka uzorka	Temperatura (°C)	Izmerene vrednosti tvrdoće (HV 0.25)	Srednja vrednost tvrdoće (HV 0.25)	Primedba
1	01	O.S.	124, 106, 124, 124, 124, 106	118,0	
2	65	50	129, 133, 133, 138, 133, 129	132,5	
3	66	100	129, 133, 129, 138, 133, 129	131,8	
4	67	150	129, 129, 129, 129, 133, 129	123,7	
5	68	200	124, 124, 124, 133, 129, 129	127,2	
6	69	250	117, 117, 117, 117, 124, 124	119,3	
7	70	300	113, 110, 110, 110, 110, 117	111,7	
8	71	350	100, 100, 100, 100, 94,5; 97,5	98,7	
9	72	400	94,5; 94,5; 94,5; 94,5; 94,5; 91,9	94,1	

Prilog br.20.- Tvrdoća uzorka, HV0.25, legura „L-3” – Grupa II, vreme = 15 min;

Red. Br.	Oznaka uzorka	Temperatura (°C)	Izmerene vrednosti tvrdoće (HV 0.25)	Srednja vrednost tvrdoće (HV 0.25)	Primedba
1	14	O.S.	69,0; 65,7; 67,2; 65,7; 65,7; 67,2	66,8	
2	5	50	64,2; 60,0; 61,2; 60,0; 64,2; 61,2	61,8	
3	16	100	67,2; 67,2; 64,2; 67,2; 64,2; 67,2	66,2	
4	17	150	72,5; 70,7; 70,7; 70,7; 72,5; 70,7	71,3	
5	18	200	69,0; 67,2; 65,7; 65,7; 69,0; 67,2	67,3	
6	19	250	69,0; 70,7; 70,7; 70,7; 70,7; 69,0	70,1	
7	20	300	78,2; 78,2; 78,2; 78,2; 78,2; 76,2	77,9	
8	21	350	72,5; 76,2; 78,2; 84,6; 74,2; 78,2	77,3	
9	22	400	78,2; 72,5; 72,5; 72,5; 72,5; 74,2	73,8	
10	23	450	74,2; 74,2; 76,2; 70,7; 70,7; 74,2	73,4	
11	24	500	70,7; 69,0; 72,5; 72,5; 72,5; 67,2	70,7	
12	25	550	70,7; 62,7; 67,2; 69,0; 69,0; 72,5	68,5	
13	26	600	70,7; 70,4; 64,2; 67,2; 67,2; 69,0	68,2	

Prilog br. 21.- Tvrdoća uzorka, HV0.25, legura „L-3”- Grupa II, vreme = 30 min;

Red. Br.	Oznaka uzorka	Temperatura (°C)	Izmerene vrednosti tvrdoće (HV 0.25)	Srednja vrednost tvrdoće (HV 0.25)	Primedba
1	14	O.S.	69,0; 65,7; 67,2; 65,7; 65,7; 67,2	66,8	
2	27	50	64,2; 62,7; 62,7; 62,7; 64,2; 64,2	63,5	
3	28	100	70,7; 65,7; 65,7; 65,7; 64,2; 64,2	66,0	
4	29	150	69,0; 67,2; 65,7; 65,7; 67,2; 65,7	66,8	
5	30	200	69,0; 69,0; 69,0; 69,0; 65,7; 70,7	68,7	
6	35	250	70,7; 72,5; 67,2; 70,7; 67,2; 70,7	69,8	
7	32	300	74,2; 70,7; 72,5; 72,5; 69,0; 74,2	72,1	
8	33	350	76,2; 74,2; 70,7; 72,5; 76,2; 74,2	74,2	
9	34	400	76,2; 76,2; 74,2; 76,2; 76,2; 74,2	75,5	
10	38	450	74,3; 70,6; 71,5; 73,5; 70,7; 73,2	72,2	

Prilog br.22.- Tvrdoća uzorka HV0.25, legura „L-3” – Grupa II, vreme = 60 min;

Red. Br.	Oznaka uzorka	Temperatura (°C)	Izmerene vrednosti tvrdoće (HV 0.25)	Srednja vrednost tvrdoće (HV 0.25)	Primedba
1	14	O.S.	69,0; 65,7; 67,2; 65,7; 65,7; 67,2	66,8	
2	55	50	64,2; 64,2; 64,2; 61,2; 65,7; 64,2	63,9	
3	56	100	65,7; 65,7; 65,7; 64,2; 64,2; 65,7	65,2	
4	57	150	65,7; 65,7; 65,7; 69,0; 64,2; 65,7	66,0	
5	58	200	67,2; 65,7; 65,7; 67,2; 67,2; 65,7	66,5	
6	59	250	67,2; 69,0; 69,0; 69,0; 69,0; 69,0	68,7	
7	60	300	69,0; 70,7; 69,0; 72,5; 70,7; 70,7	70,4	
8	61	350	69,0; 70,7; 72,5; 72,5; 72,5; 72,5	71,6	
9	62	400	72,5; 72,5; 72,5; 72,5; 72,5; 72,5	72,5	
10	63	450	69,7; 70,5; 69,0; 70,5; 70,5; 70,5	70,0	

Prilog br. 23.- Električna provodljivost uzorka, MS/m, legura „L-3”- Grupa I, vreme = 30 min;

Red. Br.	Oznaka uzorka	Temperatura (°C)	Električna provodljivost (MS/m)	Srednja vrednost (MS/m)	Srednja vrednost (%IACS)	Primedba
1	1	O.S.	44.56 - 44.52 - 44.66	44.58	76.86	
			44.65 - 44.63 - 44.68	44.65	76.99	
2	2	50	45.72 - 45.78 - 45.93	45.81	78.98	
			45.75 - 45.83 - 46.03	45.87	79.08	
3	3	100	44.9 - 44.95 - 45.04	44.96	77.52	
			44.78 - 44.92 - 44.88	44.86	77.34	
4	4	150	45.23 - 45.12 - 45.41	45.25	78.02	
			44.99 - 45.04 - 45.07	45.03	77.64	
5	5	200	46.06 - 46.16 - 46.15	46.12	79.52	
			45.9 - 46.13 - 46.1	46.04	79.38	
6	6	250	50.95 - 51.22 - 51.23	51.13	88.16	
			51.16 - 51.3 - 51.27	51.24	88.35	
7	7	300	52.89 - 52.78 - 52.93	52.87	91.15	
			52.92 - 52.7 - 52.63	52.75	90.95	
8	8	350	55.29 - 55.33 - 55.14	55.25	95.26	
			55.23 - 55.36 - 55.3	55.30	95.34	
9	9	400	55.69 - 55.62 - 55.6	55.64	95.92	
			55.67 - 55.41 - 55.62	55.57	95.80	
10	10	450	55.1 - 55.06 - 55	55.05	94.92	
			54.99 - 54.96 - 54.72	54.89	94.64	
11	11	500	53.84 - 54.09 - 53.92	53.95	93.02	
			53.96 - 53.78 - 53.63	53.79	92.74	
12	12	550	52.08 - 52.05 - 52.16	52.10	89.82	
			51.87 - 51.74 - 52.02	51.88	89.44	
13	13	600	50.32 - 49.94 - 50.05	50.10	86.38	
			49.63 - 50.05 - 48.74	49.47	85.30	

Prilog br. 24.- Električna provodljivost uzorka, Ms/m, Legura „L-3“ – Grupa II,
vreme = 30 min;

Red. Br.	Oznaka uzorka	Temperatura (°C)	Električna provodljivost (MS/m)	Srednja vrednost (MS/m)	Srednja vrednost (%IACS)	Primedba
1	14	O.S.	46.35 - 46.35 - 46.26	46.38	79.96	
			46.08 - 46.06 - 46.05	46.06	79.42	
2	15	50	46.34 - 46.19 - 46.41	46.31	79.85	
			46.06 - 46.22 - 46.3	46.19	79.64	
3	16	100	46.55 - 46.54 - 46.47	46.52	80.21	
			46.21 - 46.26 - 46.28	46.25	79.74	
4	17	150	46.25 - 46.44 - 46.26	46.32	79.85	
			46.56 - 46.58 - 46.43	46.52	20.21	
5	18	200	46.41 - 46.55 - 46.45	46.47	80.12	
			46.6 - 46.46 - 46.5	46.52	80.21	
6	19	250	48.34 - 48.25 - 48.07	48.22	83.14	
			48.31 - 47.99 - 48.22	48.17	83.06	
7	20	300	49.6 - 49.78 - 49.89	49.76	85.79	
			49.14 - 49.25 - 49.31	49.23	84.88	
8	21	350	51.23 - 51.49 - 51.51	51.41	88.64	
			50.45 - 50.99 - 50.95	50.80	87.58	
9	22	400	51.11 - 51.26 - 51.08	51.15	88.19	
			50.62 - 50.49 - 50.76	50.62	87.28	
10	23	450	51.02 - 51.12 - 50.83	50.99	87.91	
			50.9 - 50.85 - 50.71	50.82	87.62	
11	24	500	50.86 - 50.39 - 50.69	50.65	87.32	
			49.93 - 50.25 - 50.41	50.20	86.54	
12	25	550	49.75 - 49.9 - 49.74	49.80	85.85	
			49.59 - 49.06 - 49.68	49.44	85.25	
13	26	600	48.91 - 48.81 - 48.77	48.83	84.19	
			48.62 - 48.59 - 48.98	48.73	84.02	

B i o g r a f i j a

Ime i prezime: Radiša S.Peri

Adresa: ul. Dunavska 116, 12000 Požarevac

Telefon: 012553059; 012554081; 063227037; 0659860001;

e-mail: pericradisa@gmail.com;

Mr Radiša Peri, rođen je 19.05.1951. godine, u selu Vukovcu, opština Žagubica. Osnovnu i srednju školu, kao i gimnaziju prirodno-matematičkog smera, završio je u Petrovcu na Mlavi, 1969. godine. Diplomirao je na Rudarsko-metalurškom fakultetu u Boru, smer za prerađivačku metalurgiju, i stekao akademsko zvanje **diplomirani inženjer metalurgije**. Po etkom 1976. godine, zaposlio se u Fabričkoj mašini „MORAVA” u Požarevcu, na poslovima tehnologa hladnog kovanja i termičke obrade vijane robe. Po povratku iz JNA, krajem 1978. godine, prelazi na rad u Fabriku odlivaka u Žagubici, u osnivanju, gde aktivno učestvuje u izgradnji Fabrike, i dalje rada kao tehnički direktor. Fabrika je poslovala u sastavu Rudarsko-topioničarskog Basena Bor, i proizvodila je odlivke od mesinga, i legura aluminijuma, za graviransku industriju, industriju nameštaja i mašinsku industriju. 1986. godine, vraća se u Fabriku mašina „MORAVA” u Požarevcu, gde se, kao rukovodilac pogona, bavio problematikom hladnog kovanja i termičke obrade vijane robe, i izrade specijalnih alata za hladno kovanje. 1990. godine osniva, a 1992. godine, otpočinje sa radom u sopstvenoj firmi za preradu legura plemenitih metala i izradu nakita, PDPP „PERI & PERI” & Co. d.o.o., u Požarevcu, u kojoj i danas radi. U svojoj firmi se bavi istraživanjem u oblasti prerade legura plemenitih metala na bazi zlata i srebra, a koje se koriste u izradi nakita, i to: livenjem u kokilama, vakuumu i po topljivim modelima, plastičnom preradom – valjanjem limova i traka, dubokim izvlačenjem, izvlačenjem žice, savijanjem, i sl, lemljenjem i zavarivanjem plamenom i laserom, termičkom obradom i površinskom zaštitom. Magistarski rad sa temom: „Uticaj režima prerade legura zlata na kvalitet šupljeg nakita”, odbranio je 2010. godine na Univerzitetu u Beogradu – Tehničkom fakultetu u Boru i stekao zvanje **magistar nauka za prerađivačku metalurgiju**. Područje interesovanja je kompletan program prerade legura plemenitih metala, posebno za legure sistema Au-Ag-Cu, sa posebnim osvrtom na izradi i preradi legura različitih boja. Saradnju obavlja sa Tehničkim fakultetom u Boru i Tehnološko-metalurškim fakultetom u Beogradu, Univerziteta u Beogradu, u obliku stručne prakse studenata, iz oblasti prerađivačke metalurgije. Objavio je 7 radova u asopisima sa SCI liste, 6 radova u domaćim asopisima van SCI liste, 17 saopštenja na skupovima međunarodnog značaja, 16 radova na skupovima nacionalnog značaja.

Prilog 1.-

Izjava o autorstvu

Potpisani: PERIĆ, Stanoje, RADIŠA,

Broj

upisa:

Izjavljujem

da je doktorska disertacija pod naslovom:

ISPITIVANJE OJA AVANJA STARENJEM LEGURA SISTEMA

Au-Ag-Cu ZA PROIZVODNJU NAKITA

- °- rezultat sopstvenog istraživačkog rada,
- °- da predložena disertacija u celini ni u delovima nije bila predložena za dobijanje bilo koje diplome prema studijskim programima drugih visokoškolskih ustanova,
- °- da su rezultati korektno navedeni, i
- °- da nisam kršio autorska prava i koristio intelektualnu svojinu drugih lica.

U Beogradu/Boru, _____

Potpis doktoranda:

Prilog 2.-

Izjava o istovetnosti štampane i elektronske verzije doktorskog rada

Ime i prezime autora: RADIŠA, Stanoje, PERI ,

Broj upisa:

Studijski program:

Naslov rada: ISPITIVANJE OJA AVANJA STARENJEM LEGURA
SISTEMA Au-Ag-Cu ZA PROIZVODNNU NAKITA

Mentor: Prof. Dr Dragoslav Guskovi

Potpisani:

Izjavljujem da je štampana verzija mog doktorskog rada istovetna elektronskoj verziji koju sam predao za objavljivanje na portalu **Digitalnog repozitorijuma Univerziteta u Beogradu**.

Dozvoljavam da se objave moji li ni podaci vezani za dobijanje akademskog zvanja doktora nauka, kao što su ime i prezime, godina i mesto rođenja i datum odbrane rada.

Ovi li ni podaci mogu se objaviti na mrežnim stranicama digitalne biblioteke, u elektronskom katalogu i u publikacijama Univerziteta u Beogradu.

U Beogradu/Boru_____

Potpis doktoranda:

Prilog 3.-

Izjava o korišćenju

Ovlašćujem Univerzitetsku biblioteku „Svetozar Marković“ da u Digitalni repozitorijum Univerziteta u Beogradu unese moju doktorsku disertaciju pod naslovom:

**ISPITIVANJE OJA AVANJA STARENJEM LEGURA SISTEMA Au-Ag-Cu
ZA PROIZVODNJU NAKITA**

koja je moje autorsko delo.

Disertaciju sa svim prilozima predao sam u elektronskom formatu pogodnom za trajno arhiviranje.

Moju doktorsku disertaciju pohranjenu u Digitalni repozitorijum Univerziteta u Beogradu mogu da koriste svi koji poštaju odredbe sadržane u odabranom tipu licence Kreativne zajednice (Creative Commons) za koju sam se odlučio:

- 1.- Autorstvo
- 2.- Autorstvo – nekomercijalno
- 3.- Autorstvo – nekomercijalno – bez prerade
- 4.- Autorstvo – nekomercijalno – deliti pod istim uslovima
- 5.- Autorstvo – bez prerade
- 6.- Autorstvo – deliti pod istim uslovima

U Beogradu/Boru _____

Potpis doktoranda:

1.- Autorstvo – Dozvoljavate umnožavanje, distribuciju i javno saopštavanje dela, i prerade, ako se navede ime autora na na in odre en od strane autora ili davaoca licence, ak i u komercijalne svrhe. Ovo je najslobodnija od svih licenci.

2.- Autorstvo – nekomercijalno. Dozvoljavate umnožavanje, distribuciju i javno saopštavanje dela, i prerade, ako se navede ime autora na na in odre en od strane autora ili davaoca licence. Ova licenca ne dozvoljava komercijalnu upotrebu dela.

3.- Autorstvo – nekomercijalno – bez prerade. Dozvoljavate umnožavanje, distribuciju i javno saopštavanje dela, bez promena, preoblikovanja ili upotrebe dela u svom delu, ako se navede ime autora na na in odre en od strane autora ili davaoca licence. Ova licenca ne dozvoljava komercijalnu upotrebu dela. U odnosu na sve ostale licence, ovom licencem se ograničava najveći obim prava korišćenja dela.

4.- Autorstvo – nekomercijalno – deliti pod istim uslovima. Dozvoljavate umnožavanje, distribuciju i javno saopštavanje dela, i prerade, ako se navede ime autora na na in odre en od strane autora ili davaoca licence i ako se prerada distribuira pod istom ili slijedom licencem. Ova licenca ne dozvoljava komercijalnu upotrebu dela.

5.- Autorstvo – bez prerade. Dozvoljavate umnožavanje, distribuciju i javno saopštavanje dela, bez promena, preoblikovanja ili upotrebu dela u svom delu, ako se navede ime autora na na in odre en od strane autora ili davaoca licence. Ova licenca dozvoljava komercijalnu upotrebu dela.

6.- Autorstvo – deliti pod istim uslovima. Dozvoljavate umnožavanje, distribuciju i javno saopštavanje dela, i prerade, ako se navede ime autora na na in odre en od strane davaoca licence i ako se prerada distribuira pod istom ili slijedom licencem. Slijedna je softverskim licencama, odnosno licencama otvorenog koda.

Prilog 4.-

SPISAK RADOVA OBJAVLJENIH U 2013/2014. GODINI

1.- R.Peri , Z.karastojkovi , Z.Kovačević , D.Guskovi , *Age-Hardening Effect of Au585Ag90Cu264Zn61 and Application in the Manufacture of Jewelry*, Metalurgia International, Vol.XVIII(2013), M-23, Special Issue N° 4, (ISSN 1582-2214), (IF = 0.084), Category: Metallurgy&Metallurgical Engineering (69/74), pp. 352-361;

2.- R.Peri , Z.Karastojkovi , Z.Kovačević , D.Guskovi , *The Age-Hardening Mechanism of Au585Ag90Cu264Zn61 Gold Alloy for Jewelry Production*, Proceedings of III International Congress „Engineering, environment and materials in processing industry“, Jahorina 2013., Bosnia and Herzegovina, Republic of Srpska, (ISBN 978-99955-81-09-1), Edited by Miladin Gligorić , Published by Faculty of Technology Zvornik, (march, 2013), pp. 951-960; (Rad je, od strane komisije za ocenu radova, proglašen najboljim radom na savetovanju, i na granici besplatnim izlaganjem na sledećem savetovanju.) Rad je u međuvremenu štampan u asopisu: Journal of Engineering & Processing Management, ISSN 1840-4774, DOI:10.7251/JEPMSR 1305067P, UDK:669.215 – Scientific paper, Vol.5, No.1 (2013), pp. 67-79;

3.- R.Peri , Z.Karastojkovi , M.Jovanović , M.Srećković , Z.Janjušević , G.Radoš, *Elliosometric Measurings of Amplitude Diminutions at Annealed and Cold Rolled Strips with Low Deformations of Gold Alloy 585*, Proceedings of III International congress „engineering, environment and materials in processing industry“, Jahorina 2013., Bosnia and Herzegovina, Republic of Srpska, ((ISBN 978-99955-81-09-1), Edited by Miladin Gligorić , Published by Faculty of Technology Zvornik, (march, 2013), p.p. 1138-1143;

4.- R.Peri , Z.Karastojkovi , Z.Kovačević , D.Guskovi , *The thermic Hardening of Au-Ag-Cu Alloys in Jewelry Production – Age-Hardening*, 1st Metallurgical&Materials Engineering Congress of South-East Europe, Proceedings&Book of Abstracts, May, 2013, Serbia, Editors: Dr Endre Romhanji, Dr Milan T. Jovanović , Dr Nenad Radović , Published by: Association of Metallurgical Engineers of Serbia, (ISBN 987-86-87183-24-7), pp.368-379;

5.- Z.Karastojković , R.Peri , Z.Janjušević , N.Bajić , A.Sedmak, *Surface Roughness Changes Around Tig Welds of AlMg₅ Sheets*, 1st Metalurgical&Materials Engineering Congress of South Europe, Proceedings&Book of Abstracts, May, 2013, Serbia, Editors: Dr Endre Romhanji, Dr Milan T. Jovanović , Dr Nenad Radović , Published by: Association of Metallurgical Engineers of Serbia, (ISBN 987-86-87183-24-7), pp. 297-304;

6.- Z.Karastojković, R.Perić, M.Jovanović, M.Srećković, Z.Janjušević, G.Radoš, *Ellipsometric Measuring of tan() and cos() at Annealed and Cold Rolled Strips made from Gold Alloy 585*, 1st Metalurgical&Materials Engineering Congress of South Europe, Proceedings&Book of Abstracts, May, 2013, Serbia, Editors: Dr Endre Romahnji, Dr Milan T.Jovanović, Dr Nenad Radović, Published by: Association of Metallurgical Engineers of Serbia, (ISBN 987-86-87183-24-7), pp. 304-312;

7.- R.Perić, Z.Karastojković, Z.Kovačević, D.Gusković, *The Effects of Aging of Gold Alloys for Jewelry Production with Au-58,5 (wt.%) matrix*, 45th International October Conference on Mining and Metallurgy „IOC 2013“, Proceedings, Editors: N.Štrbac, D.Živković, S.Nestorović, October 2013, Serbia, ISBN 978-86-6305-012-9, p.p. 511-514;

8.- Z.Karastojković, R.Perić, M.Srećković, M.Jovanović, Z.Janjušević, R.Gajić, *Ellipsometric measurement of n.k. cos() and tan() on cold rolled strip from gold alloy 585*, 45th International October Conference on Mining and Metallurgy „IOC 2013“. Proceedings, Editors: N.Štrbac, D.Živković, S.Nestorović, October 2013, Serbia, ISBN 978-86-6305-012-9, pp. 447-451;

9.- Z.Karaastojković, R.Perić, Z.Janjušević, D.Gusković, M.Rakin, *Determination of Annealing Temperatures for Coldworked Strip of 585 Gold Alloy for Successful Deep-Drawing Into Tube*, Metalurgia International, **M-23**, Vol.XVIII(2013), N°3, (ISSN 1582-2214), (IF = 0.084) Category: Materials Science, pp. 428-432;

10.- Z.Karastojković, R.Perić, Z.Janjušević, Z.Kovačević, A.Sedmak, A.Raković, *High Reflectance as Desired Property of Shining Surface and Undesired for Laser Welding in Jewel Production of 585 Gold Alloy*, Metalurgia International, **M-23**, Vol.XVIII (2013), N°3, (ISSN 1582-2214), (IF = 0.084) Category: Materials Science, p.p. 39-43;

11.-R.Perić, Z.Karastojković, Z.Kovačević, Z.Janjušević, D.Gusković, *Tempering in Region 50-600°C of Quenched and Cold Deformed 585 Gold Alloy for Jewelry Production*, Journal Metalurgia, N°1936 – List of Articles for Publishing in Journal Metallurgy 2013/2014, **M-23**, (ISSN 0543-5846) (IF = 0.69), Croatian Metallurgical Society – CMS, President: Acad.Dr.Sc.Dr.h.c. Ilija Mamuzić, Prof.h.c.;53 (2014), 3;

12.- Z.Karastojković, R.Perić, Z.Janjušević, D.Gusković, *Electrolytic Gold Plating on Golden Jewels made from 585 Alloy*, asopis „Zaštita materijala“, **M-24**, (ISSN 0351-9465), (Status: Journal category PK51, PK52, JBR Impact factor 5, 0.815). Inženjersko društvo za koroziju, Beograd, Editor: Prof.dr aslav La njevac, (2013/2014); 54(2014)4, str. 366-371;

13.- R.Perić, Z.Karastojković, M.Jovanović, M.Srećković, Z.Janjušević, R.Gajić, *Optical Properties of Gold Alloy 585 Monitored Through Amplitude Diminutions at Annealed and Cold Rolled Strips with Low Deformations*, **M-24**, (ISSN 0351-9465), (Status: Journal category PK51, PK52, JBR Impact factor 5, 0.851), Journal Materials Protection. Beograd, Editor: Prof.dr aslav La njevac (2013/2014), 55(2014)2,str.143-147;

14.- R.S.Peri , Z.M.Karastojkovi , Z.M.Kovačevi , M.B.Miri , D.M.Guskovi , *Changes of Hardness and Electrical Conductivity White Gold Alloy Au-Ag-Cu After Aging Treating.* **M-23**, ISSN 0324-1130, IF = 0.320, Bulgarian Chemical Communications, Journal of the Chemical Institutes of the Bulgarian Academy of Sciences and of the Union of Chemists in Bulgaria, Editor: Prof.Dragomir S.Jankov, (2014); The manuscript was registered under N° 3507/26.02.‘14; - accepted;

15.- M.B.Miri , R.S.Peri , S.P.Dimitrijevi , S.A.Mladenovi , S.R.Marjanovi , *Differences in the mode of thermomechanical processing between white gold alloys to produce semi-finished products.* **M-23**, ISSN 0324-1130, IF = 0.320, Bulgarian Chemical Communications, Journal of the Chemical Institutes of the Bulgarian Academy of Sciences and of the Union of Chemists in Bulgaria, Editor: Prof. Dragomir S.Jankov, (2014) ; The manuscript Was registered under N°3492/12.02.‘14, - accepted;

16.- R.Peri , Z.Karastojkovi , Z.Janjuševi , N.Baji , V. osovi , D.Guskovi , *Hardness and Specific Electrical Conductivity Measurements of Aged Gold Alloy 585 with Palladium.* 46th International October Conference on Mining and Metallurgy, 01-04. October (2014), Bor lake, Bor, Serbia - accepted;